

**136285**

KIRIKKALE ÜNİVERSİTESİ  
FEN BİLİMLERİ ENSTİTÜSÜ

FİZİK ANABİLİM DALI  
DOKTORA TEZİ

**BAZI ERBİYUM ÇEKİRDEKLERİNİN ELEKTROMANYETİK  
GEÇİŞLERİİNİN KUTUPSAL KARIŞIM ORANLARININ VE YAPISAL  
ÖZELLİKLERİNİN İNCELENMESİ**

HARUN REŞİT YAZAR



OCAK-2003

Fen Bilimleri Enstitüsü Müdürlüğünün onayı.



Bu tezin Doktora tezi olarak Fizik Anabilim Dalı standartlarına uygun olduğunu onaylarım.

Prof. Dr. İhsan ULUER

Anabilim Dalı Başkanı

Bu tezi okuduğumuzu ve Doktora tezi olarak bütün gerekliliklerini yerine getirdiğini onaylarız.

Prof. Dr. İhsan ULUER

Danışman

Jüri Üyeleri

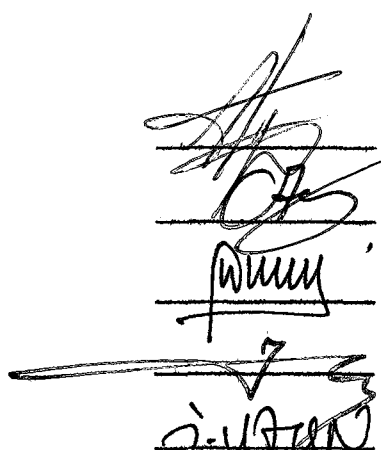
Prof. Dr. Ali E. KULIEV

Prof. Dr. Saleh SULTANSOY

Prof. Dr. D. Mehmet ZENGİN

Prof. Dr. İhsan ULUER

Doç. Dr. İbrahim UZUN



## ÖZET

# BAZI ERBIYUM ÇEKİRDEKLERİNİN ELEKTROMANYETİK GEÇİŞLERİİNİN KUTUPSAL KARIŞIM ORANLARININ VE YAPISAL ÖZELLİKLERİNİN İNCELENMESİ

YAZAR , Harun Reşit

Kırıkkale Üniversitesi

Fen Bilimleri Enstitüsü

Fizik Anabilimdalı, Doktora Tezi

Danışman : Prof. Dr. İhsan Uluer

Ocak 2003, 145 sayfa

Bu çalışmada,  $150 \leq A \leq 190$  deforme bölge ortasında bulunan Erbiyum izotoplarının geçişlerinin E2/M1 kutupsal karışım oranları, B(E2) geçiş olasılıkları,  $Q_0$  ve  $Q(2^+)$  kuadropol momentleri,  $\beta_0$  ve  $\beta_2$  deformasyon parametreleri ve enerji düzeyleri; çift-çift Er çekirdeklerinin dinamik simetri yerleşimleri IBM faz üçgeninde belirlenip, bu çekirdeklerin parametre kümelerinin, O(6)-SU(3) geçiş bölgesinde, SU(3) bölgesine yakın olduğu ve iyi bir rotasyonel duruma sahip oldukları gözönünde bulundurularak Etkileşen Bozon Model (IBM-II) yaklaşımı ile hesaplanmıştır. Çift-Tek izotoplarında ise bu parametrelerden bazıları Etkileşen Bozon Fermiyon Model (IBFM) kullanılarak elde edilmiştir.

Tezin birinci bölümünde, Çift-çift ve Çift-tek Erbiyum izotoplara ait önceki çalışmalar özetlenmiştir. İkinci bölümde çiftlenim ve kuadropol kuvvetler, nükleer deformasyon açıklanarak bunlarla ilgili gerekli formülasyon sunulmuş olup, aynı bölümde Etkileşen Bozon modelinin ve Etkileşen Bozon Fermiyon Modelinin Hamiltonyenleri tanımlanarak; modelin grup yapısı, durumların sınıflandırılması ve simetri özellikleri incelenmiştir. Elektromanyetik geçiş özelliklerine,  $E2/M1$  karışım oranlarına,  $B(E2)$  geçiş olasılıklarına,  $Q_0$  ve  $Q(2^+)$  kuadropol momentlerine,  $\beta_0$  ve  $\beta_2$  nükleer deformasyon parametrelerine ait formüllasyon ortaya konulmuştur.

Üçüncü bölümde, Çift-çift Erbiyum çekirdeklerinin uyarılmış düzeyleri ve bunların geçişlerinin kutupsal karışımı ayrıntılı olarak araştırılmış olup, bir önceki bölümde verilen ifadeler kullanılarak, farklı düzeyleri birleştiren geçişlere ait  $E2/M1$  kutupsal karışım oranları,  $B(E2)$  değerleri,  $Q_0$  ve  $Q(2^+)$  kuadropol momentleri ile  $\beta_0$  ve  $\beta_2$  deformasyon parametreleri hesaplanmış ve tablolar halinde verilmiştir. Ayrıca Çift-tek Erbiyum iztoplari için enerji düzeyleri ve  $B(E2)$  geçiş olasılıkları da hesaplanmıştır.

Dördüncü bölümde, tüm çekirdekler için hesaplanan veriler daha önce yapılmış deneysel ve teorik çalışmalarla birlikte tablolarda verilmiştir. Sonuçlar deneysel verilerle ve önceki teorik çalışmaların verileri ile karşılaştırılmış, elde edilen değerlerin, deneysel verilerle uyumlu oldukları; diğer teorik çalışmaların sonuçlarından deneylere daha yakın oldukları ve bazı değerler için henüz karşılaştırılabilecek deneysel ve teorik veri bulunmadığı görülmüştür.

**Anahtar Kelimeler :** Etkileşen Bozon Modeli, Dinamik simetriler, Etkileşen Bozon Fermiyon Model

## **ABSTRACT**

### **THE INVESTIGATION OF MULTIPOLE MIXING RATIOS OF ELECTROMAGNETIC TRANSITIONS AND SOME STRUCTURAL PROPERTIES OF SOME ERBIUM ISOTOPES**

YAZAR, Harun Reşit

Kırıkkale University

Graduate School Of Natural and Applied Sciences

Department of Physics , Ph.D Thesis

Supervisor : Prof. Dr. İhsan Uluer

January 2003, 145 pages

In this work, For the Erbium isotopes in the middle of the  $150 \leq A \leq 190$  deformed region, The E2/M1 multipole mixing ratios of transitions,  $B(E2)$  transition rates,  $Q_0$  and  $Q(2^+)$  quadrupole moments,  $\beta_0$  and  $\beta_2$  deformation parameters and the energy levels of the excited states, are calculated by the Interacting Boson Model (IBM-II) approach, taking into account of the dynamic symmetry location of the even-even Er nuclei at the IBM phase triangle where their parameter sets are at the O(6)-SU(3) transition region, and closer to SU(3) and possessing good rotational states. Whereas for the even-odd Er isotopes some of these parameters are obtained by applying the Interacting Boson Fermion Model (IBFM).

In chapter one, previous work concerning even-even and Even-odd Erbium isotopes were summarised. In chapter two the formulation of the pairing forces, quadrupole forces and nuclear deformation were given. The Hamiltonian for IBM-II and for IBFM were also defined and the group structure of the model, classification of the states and properties of symmetries were examined in the same chapter. Here The equations for electromagnetic transition probabilities, E2/M1 mixing ratios, B(E2) transition rates,  $Q_0$  and  $Q(2^+)$  quadrupole moments,  $\beta_0$  and  $\beta_2$  deformation parameters were given as well.

In chapter three, the excited states of Even-even Erbium isotopes and multipole mixing ratios for transitions of these isotopes were investigated in detail. E2/M1 mixing ratios of transitions, B(E2) values for transitions joining different levels,  $Q_0$  and  $Q(2^+)$  quadrupole moments,  $\beta_0$  and  $\beta_2$  deformation parameters , were calculated by using equations given and presented in tables. In addition to these calculations, the energy levels and the B(E2) transition probabilities for even-odd Erbium isotopes were also calculated.

In chapter four, all the data obtained in this work and from the previous experimental and theoretical studies were presented. The comparison of the results has shown that the results of this work agree better with the previous experimental ones. Besides, it was found that the some of the results could not be compared with any experimental or theoretical values, because there are no reports on these values in the literature.

**Key Words:** Interacting Boson Model, Dynamic Symmetries, Interacting Boson Fermion Model

## **TEŞEKKÜR**

Bu çalışmam esnasında, bana yardım edip sabırla yetiştiren, kıymetli zamanlarını bana harcamaktan çekinmeyen ve değerli fikirlerinden sürekli yararlandığım Danışman Hocam Sayın Prof. Dr. İhsan Uluer 'e; parametrik hesaplamalarda bana öneri ve tavsiyelerde bulunan Australian National University Öğretim Üyesi Sayın Prof. Dr. Serdar Kuyucak'a; Hesaplamalar için gerekli bilgisayar kodlarını karşılık beklemeden gönderen ve kodların derlenmesinde bilgisine başvurduğum Kernfysisch Versneller Instituut Öğretim Üyesi Sayın Prof. Olaf Scholten 'e ve alanında yazılmış en son kitaplardan biri olan "An introduction to the Interacting Boson Model of the Atomic Nucleus" adlı kitabı gönderen değerli yazar Universität Zürich öğretim üyesi Dr. Walter Pfeifer'a teşekkür eder, şükran ve saygılarımı sunarım.

## **İÇİNDEKİLER**

ÖZET .....	i
ABSTRACT .....	iii
TEŞEKKÜR .....	v
İÇİNDEKİLER.....	vi
ŞEKİLLER DİZİNİ .....	x
ÇİZELGELER DİZİNİ .....	xii
1.GİRİŞ .....	1
1.1 Önceki Çalışmalar .....	3
1.2 Çalışmanın Amacı .....	9
2. MATERİYAL VE METOD .....	10
2.1 Giriş .....	10
2.1.1 Beta,Gama Ve Oktopol Titreşimler .....	15
2.1.2 Çiftlenim Ve Kuadropol Kuvvetleri .....	16
2.1.3 Çekirdek Deformasyonu .....	17
2.1.3.1 Proton Ve Nötronların Dağılımının Deformasyonu .....	17
2.1.3.2 Kolektif Durumların Nükleer Momentleri .....	19
2.2 Etkileşen Bozon Modeli (IBM) .....	20
2.2.1 Elektromanyetik Geçiş Operatörleri .....	25
2.2.2 Dinamik Simetriler .....	27
2.2.3 Elektromanyetik Geçiş Özellikleri .....	31
2.2.3.1 Vibrasyonel Limit .....	31
2.2.3.2 Rotasyonel Limit .....	36
2.2.3.3 $\gamma$ -Kararsız Limit .....	37

2.2.4 IBM Hamiltonyen Ve Dinamik Simetriler .....	38
2.2.4.1 Koordinat Sisteminin Oluşturulması .....	40
2.3 Etkileşen Bozon Fermiyon Modeli (IBFM) .....	42
2.3.1 IBFM Hamiltonyen .....	42
2.3.2 U(5) Limitinde Etkileşen Bozon Fermiyon Model .....	45
3. ARAŞTIRMA BULGULARI .....	49
3.1 Bazı Çift-Çift Erbiyum İzotoplarının İncelenmesi .....	49
3.1.1 $^{162}\text{Er}$ Çekirdeği .....	50
3.1.1.1 $^{162}\text{Er}$ Çekirdeğinin Enerji Düzeyleri ve Geçişlerin Kutupsallığı .....	52
3.1.1.2 $^{162}\text{Er}$ Çekirdeğinin Kutupsal Karışım Oranları .....	55
3.1.1.3 $^{162}\text{Er}$ Çekirdeği İçin Hesaplanan B(E2) Geçiş Olasılıkları $\beta_0$ Ve $\beta_2$ Deformasyon Parametreleri, $Q_0$ Ve $Q_{2+}$ Kuadropol Momentleri .....	55
3.1.2 $^{164}\text{Er}$ Çekirdeği .....	56
3.1.2.1 $^{164}\text{Er}$ Çekirdeğinin Enerji Düzeyleri Ve Geçişlerin Kutupsallığı .....	59
3.1.2.2 $^{164}\text{Er}$ Çekirdeğinin Kutupsal Karışım Oranları .....	63
3.1.2.3 $^{164}\text{Er}$ Çekirdeği İçin Hesaplanan B(E2) Geçiş Olasılıkları $\beta_0$ Ve $\beta_2$ Deformasyon Parametre- leri, $Q_0$ Ve $Q_{2+}$ Kuadropol Momentleri .....	63
3.1.3 $^{166}\text{Er}$ Çekirdeği .....	64
3.1.3.1 $^{166}\text{Er}$ Çekirdeğinin Enerji Düzeyleri ve Geçişlerin Kutupsallığı .....	67
3.1.3.2 $^{166}\text{Er}$ Çekirdeğinin Kutupsal Karışım Oranları.....	71

3.1.3.3 $^{166}\text{Er}$ Çekirdeği İçin Hesaplanan B(E2) Geçiş Olasılıkları $\beta_0$ Ve $\beta_2$ Deformasyon Parametreleri, $Q_0$ Ve $Q_{2+}$ Kuadropol Momentleri .....	73
3.1.4 $^{168}\text{Er}$ Çekirdeği .....	74
3.1.4.1 $^{168}\text{Er}$ Çekirdeğinin Enerji Düzeyleri ve geçişlerin Kutupsallığı .....	77
3.1.4.2 $^{168}\text{Er}$ Çekirdeğinin Kutupsal Karışım Oranları.....	81
3.1.4.3 $^{168}\text{Er}$ Çekirdeği İçin Hesaplanan B(E2) Geçiş Olasılıkları $\beta_0$ Ve $\beta_2$ Deformasyon Parametreleri, $Q_0$ ve $Q_{2+}$ Kuadropol Momentleri .....	82
3.1.5 $^{170}\text{Er}$ Çekirdeği .....	83
3.1.5.1 $^{170}\text{Er}$ Çekirdeğinin Enerji Düzeyleri ve geçişlerin Kutupsallığı.....	85
3.1.5.2 $^{170}\text{Er}$ Çekirdeğinin Kutupsal Karışım Oranları.....	88
3.1.5.3 $^{170}\text{Er}$ Çekirdeği İçin Hesaplanan B(E2) Geçiş Olasılıkları $\beta_0$ Ve $\beta_2$ Deformasyon Parametreleri, $Q_0$ ve $Q_{2+}$ Kuadropol Momentleri .....	89
3.2 Bazı Çift-Tek Erbiyum izotoplарının İncelenmesi .....	90
3.2.1 $^{159}\text{Er}$ Çekirdeği .....	92
3.2.2 $^{159}\text{Er}$ Çekirdeğinin enerji düzeyleri ve geçişlerin kutupsallığı .....	92
3.2.3 $^{161}\text{Er}$ Çekirdeği .....	98
3.2.4 $^{161}\text{Er}$ Çekirdeğinin enerji düzeyleri ve geçişlerin kutupsallığı .....	98
3.2.5 $^{163}\text{Er}$ Çekirdeği .....	104

3.2.6 $^{163}\text{Er}$ Çekirdeğinin enerji düzeyleri ve geçişlerin kutupsallığı .....	105
3.2.7 $^{165}\text{Er}$ Çekirdeği .....	111
3.2.8 $^{165}\text{Er}$ Çekirdeğinin enerji düzeyleri ve geçişlerin kutupsallığı .....	111
<b>4. TARTIŞMA VE SONUÇ .....</b>	<b>117</b>
4.1 Erbiyum İzotoplarına Ait $ \delta(E2/M1) $ Kutupsal Karışım Oranları.....	117
4.2 Erbiyum Çekirdeklerine Ait $B(E2;L \rightarrow L+2)$ Geçiş Olasılıkları.....	123
4.3 Erbiyum İzotoplarına Ait $B(E2) \uparrow$ İndirgenmiş Geçiş Olasılıkları, $\beta_0$ Ve $\beta_2$ Deformasyon Parametreleri, $Q_0$ ve $Q_{2+}$ Kuadropol Momentleri .....	128
4.4 Çift-tek Erbiyum izotoplarına ait enerji düzeyleri ve $B(E2;L \rightarrow L+2)$ geçiş olasılıkları .....	132
<b>KAYNAKLAR .....</b>	<b>140</b>
<b>ÖZGEÇMİŞ .....</b>	<b>146</b>
<b>EK 1. PROGRAM KODLARININ TANITIMI .....</b>	<b>147</b>

## ŞEKİLLER DİZİNİ

### ŞEKİL

2.1 Çekirdeğin kütle deformasyonu .....	18
2.2 Spektrum yapısının U(5) limiti ile gösterimi .....	28
2.3 SU(3) limitinin tipik spektrumu .....	29
2.4 S(6) limitindeki tipik spektrum .....	30
2.5 IBM - Koordinat sistemi .....	40
2.6 IBM Faz üçgeninde çekirdeklerin yerlesimi .....	41
3.1 $^{162}\text{Er}$ Çekirdeğine ait uyarılmış düzeylerinin basitleştirilmiş bozunum şeması .....	53
3.2 $^{164}\text{Er}$ Çekirdeğine ait uyarılmış düzeylerinin basitleştirilmiş bozunum şeması .....	60
3.3 $^{166}\text{Er}$ Çekirdeğine ait uyarılmış düzeylerinin basitleştirilmiş bozunum şeması .....	68
3.4 $^{168}\text{Er}$ Çekirdeğine ait uyarılmış düzeylerinin basitleştirilmiş bozunum şeması .....	80
3.5 $^{170}\text{Er}$ Çekirdeğine ait uyarılmış düzeylerinin basitleştirilmiş bozunum şeması .....	87
3.6 $^{159}\text{Er}$ Çekirdeğine ait uyarılmış düzeylerinin basitleştirilmiş bozunum şeması .....	95
3.7 $^{161}\text{Er}$ Çekirdeğine ait uyarılmış düzeylerinin basitleştirilmiş bozunum şeması .....	102

3.8 <sup>163</sup> Er Çekirdeğine ait uyarılmış düzeylerinin basitleştirilmiş bozunum şeması .....	107
3.9 <sup>165</sup> Er Çekirdeğine ait uyarılmış düzeylerinin basitleştirilmiş bozunum şeması .....	113
4.1 Erbiyum çekirdekleri için hesapladığımız Kutupsal Karışım oranının nötron sayısına bağlı olarak değişimi .....	123
4.2 Çift-çift Erbiyum çekirdekleri için elde ettiğimiz B(E2) Geçiş olasılığının nötron sayısına bağlı olarak değişimi .....	127

## ÇİZELGELER DİZİNİ

### ÇİZELGE

3.1. IBM-2 Hamiltoňen Parametreleri .....	50
3.2. $^{162}\text{Er}$ izotopunun Enerji Düzeyleri .....	51
3.3. $^{162}\text{Er}$ izotopu için $\delta(E2/M1)$ Karışım Oranları .....	55
3.4. $^{162}\text{Er}$ Izotopuna Ait B(E2) Geçiş olasılıkları .....	56
3.5. $^{162}\text{Er}$ izotopu için Hesaplanan Bazı Parametreler.....	56
3.6. $^{164}\text{Er}$ izotopunun Enerji Düzeyleri .....	57
3.7. $^{164}\text{Er}$ izotopu için $\delta(E2/M1)$ Karışım Oranları .....	63
3.8. $^{164}\text{Er}$ Izotopuna Ait B(E2) Geçiş olasılıkları .....	64
3.9. $^{164}\text{Er}$ Izotopu için Hesaplanan Bazı Parametreler.....	64
3.10. $^{166}\text{Er}$ izotopunun Enerji Düzeyleri .....	66
3.11. $^{166}\text{Er}$ izotopu için $\delta(E2/M1)$ Karışım Oranları.....	72
3.12. $^{166}\text{Er}$ izotopuna ait B(E2) Geçiş Olasılıkları .....	73
3.13. $^{166}\text{Er}$ Izotopu için Hesaplanan Bazı Parametreler .....	74
3.14. $^{168}\text{Er}$ izotopunun Enerji Düzeyleri.....	76
3.15. $^{168}\text{Er}$ izotopu için $\delta(E2/M1)$ Karışım Oranları .....	81
3.16. $^{168}\text{Er}$ izotopuna ait B(E2) Geçiş Olasılıkları .....	82
3.17. $^{168}\text{Er}$ Izotopu için Hesaplanan Bazı Parametreler .....	83
3.18. $^{170}\text{Er}$ izotopunun Enerji Düzeyleri.....	84
3.19. $^{170}\text{Er}$ izotopu için $\delta(E2/M1)$ Karışım Oranları .....	89
3.20. $^{170}\text{Er}$ izotopuna ait B(E2) Geçiş Olasılıkları .....	89
3.21. $^{170}\text{Er}$ Izotopu için Hesaplanan Bazı Parametreler .....	90

3.22. IBFM-Hamiltonyen Parametreleri.....	91
3.23. $^{159}\text{Er}$ izotopunun düşük spin enerji düzeyleri ve pariteleri.....	96
3.24. $^{159}\text{Er}$ izotopunun pozitif pariteli yüksek spin enerji düzeyleri.....	97
3.25. $^{159}\text{Er}$ izotopu için hesaplanan B(E2) geçiş olasılıkları .....	97
3.26. $^{161}\text{Er}$ izotopunun düşük spin enerji düzeyleri ve pariteleri.....	103
3.27. $^{161}\text{Er}$ izotopunun pozitif pariteli yüksek spin enerji düzeyleri.....	104
3.28. $^{161}\text{Er}$ izotopu için hesaplanan B(E2) geçiş olasılıkları .....	104
3.29. $^{163}\text{Er}$ izotopunun düşük spin enerji düzeyleri ve pariteleri .....	109
3.30. $^{163}\text{Er}$ izotopunun pozitif pariteli yüksek spin enerji düzeyleri.....	110
3.31. $^{161}\text{Er}$ izotopu için hesaplanan B(E2) geçiş olasılıkları: .....	110
3.32. $^{165}\text{Er}$ izotopunun düşük spin enerji düzeyleri ve pariteleri.....	115
3.33. $^{165}\text{Er}$ izotopunun pozitif pariteli yüksek spin enerji düzeyleri.....	116
3.34. $^{165}\text{Er}$ izotopu için hesaplanan B(E2) geçiş olasılıkları.....	116
4.1 $^{162}\text{Er}$ için Teorik ve Deneysel $\delta(E2/M1)$ Karışım Oranları .....	118
4.2 $^{164}\text{Er}$ için Teorik ve Deneysel $\delta(E2/M1)$ Karışım Oranları.....	119
4.3 $^{166}\text{Er}$ için Teorik ve Deneysel $\delta(E2/M1)$ Karışım Oranları .....	120
4.4 $^{168}\text{Er}$ için Teorik ve Deneysel $\delta(E2/M1)$ Karışım Oranları.....	121
4.5 $^{170}\text{Er}$ için Teorik ve Deneysel $\delta(E2/M1)$ Karışım Oranları.....	122
4.6 $^{162}\text{Er}$ Izotopuna ait Teorik ve Deneysel B(E2) Geçiş olasılıkları.....	124
4.7 $^{164}\text{Er}$ Izotopuna ait Teorik ve Deneysel B(E2) Geçiş olasılıkları.....	124
4.8 $^{166}\text{Er}$ Izotopuna ait Teorik ve Deneysel B(E2) Geçiş olasılıkları.....	125
4.9 $^{168}\text{Er}$ Izotopuna ait Teorik ve Deneysel B(E2) Geçiş olasılıkları.....	126
4.10 $^{170}\text{Er}$ Izotopuna ait Teorik ve Deneysel B(E2) Geçiş olasılıkları.....	127
4.11 $^{162}\text{Er}$ Izotopu için Teorik ve Deneysel Bazı Parametreler.....	128

4.12 $^{164}\text{Er}$ Izotopu için Teorik ve Deneysel Bazı Parametreler.....	129
4.13 $^{166}\text{Er}$ Izotopu için Teorik ve Deneysel Bazı Parametreler.....	130
4.14 $^{168}\text{Er}$ Izotopu için Teorik ve Deneysel Bazı Parametreler.....	131
4.15 $^{170}\text{Er}$ Izotopu için Teorik ve Deneysel Bazı Parametreler.....	132
4.16 $^{159}\text{Er}$ izotopunun pozitif pariteli yüksek spin enerji düzeyleri .....	133
4.17 $^{159}\text{Er}$ izotopuna ait Teorik ve Deneysel B(E2) geçiş olasılıkları.....	134
4.18 $^{161}\text{Er}$ izotopunun pozitif pariteli yüksek spin enerji düzeyleri .....	135
4.19 $^{161}\text{Er}$ izotopuna ait Teorik ve Deneysel B(E2) geçiş olasılıkları.....	135
4.20 $^{163}\text{Er}$ izotopunun pozitif pariteli yüksek spin enerji düzeyleri .....	136
4.21 $^{163}\text{Er}$ izotopuna ait Teorik ve Deneysel B(E2) geçiş olasılıkları.....	137
4.22 $^{165}\text{Er}$ izotopunun pozitif pariteli yüksek spin enerji düzeyleri .....	137
4.23 $^{165}\text{Er}$ izotopuna ait Teorik ve Deneysel B(E2) geçiş olasılıkları.....	138

## 1.GİRİŞ

Çekirdeklerin yapısı, bağımsız parçacık hareketlerine ağırlık veren Kabuk Modeli ve sadece sınırlı sayıda koordinat kullanan Kolektif Model yardımıyla geniş ölçüde anlaşılmıştır. Fakat karşılıklı parçacık etkileşimi, Kolektif serbestlik dereceleri,  $150 \leq A \leq 190$  deformasyon bölgesindeki çekirdeklerin nükleer yapısının anlaşılmasında, çekirdeklerin enerji spektrumundaki geçişlerin kutupsallıkları ve onların karışım oranları ile ilgili birçok cevaplanmamış soru mevcuttur. Bu problemlere cevap aramak amacıyla son yıllarda Arima ve Iachello<sup>(1)</sup> tarafından ortaya atılan, her biri açısal momentumun sıfır veya iki birimini taşıyan ve etkileşen bozonlar topluluğuna dayanan bir modelde oldukça iyi başarı sağlanmıştır. Arima ve çalışma arkadaşları bu modelde bozonları, nükleon (proton-nötron) çiftleri olarak yorumladılar.

Nükleon-nükleon etkileşimi etrafında bilinseydi, Schrödinger denklemi nümerik çözümüyle çekirdeklerin enerji düzeyleri ve diğer istenilen nükleer özellikleri hesaplanabilirdi. Pratikte ise bu yaklaşımın mümkün olmadığı birçok serbestlik derecesi vardır ki bu durum ancak en realistik fiziksel sistemlerde görülür ve kütleyinin çok küçük olduğu çekirdekler için kesin çözüm yapılabılır. Bundan başka bir diğer pratik güçlük ise nükleon-nükleon etkileşiminin detaylarının bilinmemesidir. Etkileşim basit bir şekilde olmadığı gibi, yalnızca nükleon-nükleon saçılma deneylerinin nümerik analizlerinden bilinmektedir. Böyle bir analiz ise etkileşim hakkında yalnızca kısmi bilgiler verir.

Nükleonların karmaşık kuark yapısı nedeniyle, nükleon-nükleon etkileşimi parçacık-parçacık arasındaki etkileşimden ziyade iki molekül arasındaki etkileşime benzemektedir. Etkileşim karmaşıklığına ve çok sayıdaki serbestlik derecesine rağmen yıllar süren deneyler ile nükleer yapının birçok değişik özelliği belirlenebilmiştir.

Nükleer yapı fiziğinde, ortaya atılan teorik modeller bu modellerin uygulanması ve sadeleştirilmesiyle, bir model ve diğerleri arasındaki benzerlik ve birliğin kurulmasıyla ve çok cısim problemlerinden başlayarak modeller için yaklaşık bir temel kurma girişimleriyle ilgilenirler. Bazı çekirdekler için başarılı olan bir modelin bazı çekirdekler ya da çekirdek grupları için başarısız kaldığı ve hatta belli bir çekirdekte farklı durumların değişik modellerle basitçe tanımlanıldığı uzun süredir kabul edilmektedir. Bütün bunlar göz önünde bulundurulursa, modellerin birleştirilmesi önemli bir amaç olarak ortaya çıkar. Her model, çekirdeklerin özelliklerini ve özellikle de o çekirdeğin karakteristiği olan gözlenebilir farklı büyüklükler arasındaki ilişkileri anlamamıza yardım eder.

Etkileşen Bozon Modeli, yukarıda açıklanan olumsuzlukları büyük ölçüde giderdiği gibi çekirdeklerin Kolektif durumlarının betimlenmesinde oldukça başarılıdır.

## 1.1 Önceki Çalışmalar

GREINER (1966), manyetik dipol geçişleri ve rotasyonel  $g_R$  faktörlerinin azalması arasındaki ilişkiyi inceledi. Ortaya koyduğu modelde, protonlar arasındaki eşleşme kuvvetlerinin nötronlar arasındaki eşleşme kuvvetinden büyük olmasından dolayı proton dağılımı deformasyonundan daha küçük olduğunu belirtmiştir. Ayrıca  $g_R$  faktörlerinin deneySEL değerlerinin  $Z/A$  'dan farklı olmasının nedenlerini açıklamıştır<sup>(2)</sup>.

GÖTZ ve ark. (1972), deforme bölge civarında çekirdeklerin deformasyon enerjilerini inceleyip, bazı izotopların  $\beta_2$  kuadrupol deformasyon parametrelerini hesapladılar. Bu değerleri deneySEL verilerle karşılaştırıp teorik değerlerin deney sonuçlarıyla uyum içerisinde olduğunu belirttiler<sup>(3)</sup>.

KRANE (1975),  $A > 152$  kütle numarasına sahip çift-çift çekirdeklerde gama ışını geçişlerinin E2/M1 karışım oranları üzerinde genel bir inceleme yaptı. Literatürdeki açısal dağılım ve korelasyon verilerini analiz etti<sup>(4)</sup>.

KISHIMOTO ve TAMURA (1976) , bozon teknığının bir formülasyonunu, kuadrupol-çiftlenim etkileşiminin dağılımına, Kolektif ve Kolektif olmayan uyarılma modları arasındaki kublajı eklemek suretiyle geliştirmiştir. Bu formalizme bağlı olarak periyotlar cetvelinin değişik bölgelerinde bulunan Kolektif çekirdeklerin  $B(E2;2_1^+ \rightarrow 0_1^+)$  geçiş olasılıklarını,  $Q(2^+)$  kuadrupol momentlerini, deformasyon parametrelerini ve enerji düzeylerini hesapladılar<sup>(5)</sup>.

ARIMA ve IACHELLO (1978) , etkileşen bozon modelinin rotasyonel limitini tartışarak, bu limit durumunda enerjiler ve elektromanyetik geçiş oranları için bir kaç analitik ifade ortaya koydular<sup>(6)</sup>.

ARIMA ve IACHELLO (1978), tarafından etkileşen bozonlar sistemi yardımıyla, Kolektif nükleer durumların birleşik tasviri yapıldı ve vibrasyonel limit ile rotasyonel limit tekrar gözden geçirilerek enerjiler ve elektromanyetik geçişler için oldukça geniş bir analitik ifade seti ileri sürüldü<sup>(7)</sup>.

SCHOLTEN ve ark. (1978), etkileşen bozon model çatısı içerisinde vibrasyonel limitten, rotasyonel limite geçişini incelenerek, geçiş çekirdeklerinde; enerjiler elektromanyetik geçişler, çokkutuplu momentler, nükleer yarıçap ve iki-nükleon transfer şiddetlerinin bu model yardımıyla nasıl hesaplanabileceğini gösterdiler<sup>(8)</sup>.

ARIMA ve IACHELLO (1979), etkileşen bozon modelin üçüncü limit durumunu tartıştılar. Bu limit durumu altı boyutta ortogonal dönüşümlerin O(6) grubu ile ilişkilendirdiler, bu simetri içerisinde enerjiler ve elektromanyetik geçiş oranları ile ilgili ifadeleri ortaya koydular<sup>(9)</sup>.

GUPTA ve ark. (1980), bazı çift-çift çekirdeklerin gama vibrasyonel bandının  $2^+$  düzeyinden, temel hal bandının  $0^+$  düzeye ve temel hal bandın  $2^+$  düzeyinden  $0^+$  düzeye geçişlerin olasılıklarını incelediler<sup>(10)</sup>.

WARNER ve ark.(1981), deform olmuş çift-çift çekirdeklerde, deneysel E2/M1 karışım oranları etkileşen bozon yaklaşımı (IBA) modelinin tahmini değerleriyle karşılaştırmış ve IBA sonuçlarının geometrik yaklaşımından elde edilenlere eş değer olduklarını belirtmişlerdir<sup>(11)</sup>.

BIJKER ve DIEPERINK (1982), Warner ve Casten tarafından rapor edilen etkileşen bozon yaklaşımının rotasyonel limitinde  $\beta \rightarrow \gamma$ ,  $\gamma \rightarrow g$  ve

$\beta \rightarrow g$  E2 geçişlerinin üstünlüğünü E2 matris elemanlarının özellikleri cinsinden basitçe açıklanabileceğini gösterdiler<sup>(12)</sup>.

COSTANOS ve ark. (1982), çift-çift çekirdeklerin düşük enerjili düzeylerini tek bir IBA Hamiltoneyen kullanarak tasvir ettiler. Sonuç olarak genel Hamiltoneyenin bir kaç teriminin ihmali edilebileceğini gösterdiler<sup>(13)</sup>.

LANGE ve ark. (1982), çift-çift çekirdeklerde elektromanyetik geçişlerin E2/M1 ve E0/E2 çokkutuplu karışım oranları ölçümlerine ait değerleri tablolardaki veriler. Aynı geçiş sınıfları için çekirdekten çekirdeğe ve verilen bir çekirdeğe ait farklı spin düzeylerinden geçişler için E2/M1 karışım oranlarının büyüklükleri ve işaretlerindeki değişimi incelediler<sup>(14)</sup>.

WARNER ve CASTEN (1982), deform olmuş çekirdeklerde E2 operatörünü uygulayarak, etkileşen bozon yaklaşımının yapısını incelediler. SU(3) 'ün farklı gösterimleri arasındaki geçişlere ait B(E2) değerlerinin, E2 operatörünün düşünülen parametrelerinden bağımsız olduğunu gösterdiler<sup>(15)</sup>.

ELLIOTT (1985), farklı formdaki etkileşen bozon modeli ve modelin çekirdek zincirine uygulamalarını gözden geçirdi. Etkileşen bozon modeli ve Kolektif model arasındaki ilişkileri tartışarak, Kabuk Modelinden etkileşen bozon modelinin türetilmesi üzerinde durdu<sup>(16)</sup>.

CASTEN ve WOLF ( 1987 ), etkileşen bozon modeli çatısı içinde  $B(E2 ; 2_1^+ \rightarrow 0_1^+)$  geçiş olasılıklarının hesaplanması için basit analitik bir ifade elde ettiler. Elde ettikleri bu analitik ifadenin sonuçları nümerik

hesaplamalarla karşılaştırılarak %16 hata payına sahip olduğunu ileri sürdüler<sup>(17)</sup>.

LIPAS ve ark. (1987), etkileşen bozon modelin temel formu IBA-1 kullanarak bazı çift-çift çekirdeklerin enerji düzeyleri arasındaki geçişlere ait E2/M1 karışım oranlarını hesapladılar. Dalga fonksiyonlarına ve M1 parametrelerine bağımlı olan M1 matris elemanlarını hesapladılar. Elde ettikleri sonuçların, Kumar 'ın mikroskopik Modelinin neticelerinden iy olduğunu belirttiler<sup>(18)</sup>.

ENGEL ve ark. (1990), etkileşen bozon model içerisinde bir limit üçgeni kullanılarak farklı simetri limitlerini ve geçiş bölgelerini tasvir ettiler. Buna ek olarak bazı çift-çift çekirdeklerin hamiltonyenlerinde bulunan parametreleri hesapladılar<sup>(19)</sup>.

NAZAREWICZ ve ark.(1990), bazı çift-çift çekirdeklerin  $\beta_2$  deformasyon parametrelerini hesapladılar<sup>(20)</sup>.

JARRIO ve ark.(1991),  $^{160-170}\text{Er}$  ve  $^{182-186}\text{W}$  çekirdeklerinde rotasyonel durumlarının SU(3) yapısını inceleyerek, bu çekirdekler için indirgenmiş B(E2) ve  $Q_2^+$  değerlerini hesapladılar<sup>(21)</sup>.

YOSHINAGA,N ve ark.(1992), SU(3) tensör formalizmi içerisinde sdg-Etkileşen Bozon Modelini ortaya koyup, bu modeli aşırı deforme  $^{168}\text{Er}$  çekirdeğine uyguladılar<sup>(22)</sup>.

THOURSLUND ve ark.(1992),  $^{166}\text{Er}$  'da temel hal bandının  $6^+$  dan ve  $12^+$ 'ya kadar olan beş düzeyinde ve  $\gamma$ - bandının  $12^+$  spin-düzeyine kadar olan bütün çift durumlarının yarı ömürlerini geri tepme uzaklığını metodunu

kullanıp ölçtüler. Ayrıca bu çekirdeğe ait indirgenmiş elektrik kuadrupol geçiş olasılıklarını elde ettiler ve temel hal bandı ile  $\gamma$ -bandı arasındaki karışıntımları incelediler<sup>(23)</sup>.

CHAKRABARTI ve ark., geniş hacimli ve yüksek ayırım gücüne sahip Germanium detektörlerini kullanarak gama ışını spektroskopisi yardımıyla  $^{164}\text{Tm}$ 'nin 6 izomerinin bozunumu üzerinde çalıştılar ve bozunum sonucu  $^{164}\text{Er}$ 'ün  $K^{\pi}=0^+, 2^+, 0^-, 2^-, 5^-$  ve  $7^-$  olan altı değişik bandını gözlediler<sup>(24)</sup>.

MOSBAH,D.S ve ark.,(1994), IBM-2 teknigi kullanarak Wolfram çekirdeğinin çokkutuplu karışım oranlarını, indirgenmiş karışım oranlarını, B(E2) geçiş olasılıklarını teorik olarak hesapladılar<sup>(25)</sup>.

R.F. CASTEN ve D.D.WARNER (1996), ( $n,\gamma$ ) reaksiyonu ile Ge detektörü kullanarak  $^{168}\text{Er}$  çekirdeğinin enerji düzeyleri hakkında yeni bilgiler elde ettiler. 250 yeni çakışma ilişkisi tespit ederek  $^{168}\text{Er}$  için yeni enerji düzeylerini ortaya koydular<sup>(26)</sup>.

A.ARIMA (1997),deforme çekirdeklerde SU(3) için yeni dinamik simetri kavramlarını ortaya attı<sup>(27)</sup>.

I.ALFTER ve E.BODENSTEDT (1998), M1 / E2 çokkutuplu karışım oranını  $^{168}\text{Er}$  için deneysel yöntemlerle belirlediler<sup>(28)</sup>.

L.M.Chen(1998),  $159 \leq A \leq 165$  arası erbiyum izotoplarının negatif pariteli yüksek spin düzeylerine ait hesaplamaları etkileşen bozon fermiyon modeli ile hesapladı.<sup>(107)</sup>

V.K.B. Kota ve U.Datta Pramatik(1998), SU(3) çiftlenim şemasını tek-tek çekirdekler için etkileşen bozon fermiyon modeli ile gösterimini gerçekleştirdiler.<sup>(108)</sup>

J.P. ELLIOTT (1999), SU(3) modelinin kabuk modelinden bozon modeline geçiş hakkında yeni veriler ortaya koydu<sup>(29)</sup>.

B.R.BARRETT Ve S.KUYUCAK (1999), E2/M1 karışım oranını  $^{168}\text{Er}$  için IBM-II kullanarak elde ettiler. Bu yaklaşımlarında Hamiltonyenin seçiminin ve parametrelerin hesaplanması etkin olduğunu gösterdiler<sup>(30)</sup>.

I.SÍNAÍ (1999), SU(3) kısmi dinamik simetri kavramını deformen çekirdekler için açıkladı<sup>(31)</sup>.

A.ARIMA (1999), SU(3) dinamik simetrisinin tarihsel kronolojisi hakkında bilgi verdi<sup>(32)</sup>.

J.JOLIE,H.G.BORNER (2000), GRID metot kullanılarak  $^{168}\text{Er}$  çekirdeğinin 12 durumunun negatif pariteli kısmını ölçtüller.  $K^\pi=0^-$  ve  $K^\pi=2^-$  bandları ve E1 geçişleri için elde edilen değerlerin IBA-1 sdf ile uyum içerisinde olduğunu gözlemlediler<sup>(33)</sup>.

R.S.Gou ve L.M.Chen(2000),  $^{155-165}\text{Er}$  izotoplarının yüksek spin düzeylerinin pozitif pariteli durumlarını etkileşen bozon fermiyon modeli ile çalıştılar. İlgili izotopların enerji düzeyleri ve B(E2) değerlerini hesapladılar.<sup>(109)</sup>

J.B.GUPTA ve J.H.HAMILTON (2001), Dinamik deformasyon teorisini, çiftlenim kuadrupol etkileşimi ile birlikte,  $^{168}\text{Er}$  çekirdeğinin çoklu fonon bant

yapısını çalışmak üzere uyguladılar.  $K^\pi=0^+$ ,  $K^\pi=2^+$  ve  $K^\pi=4^+$  bant yapılarını analiz ettiler. Düşük bant yapıyı Etkileşen Bozon Modeli ile analiz ettiler<sup>(34)</sup>.

E.MELBY, A. SCHILLER (2001),  $^{168}\text{Er}$  ve  $^{167}\text{Er}$  çekirdeklerinin  $\gamma$ -ışını spektrumlarını ( $^3\text{He}, \alpha$ ) ve ( $^3\text{He}, ^3\text{He}\gamma$ ) reaksiyonlarından elde ettiler. Entropi, sıcaklık ve ısı kapasitelerini düşük yoğunlukta hesapladılar<sup>(35)</sup>.

## 1.2. Çalışmanın Amacı

Etkileşen Bozon Modeli Kullanılarak,  $150 < A < 190$  deformе bölge ortasındaki bazı çift-çift izotopların enerji düzeyleri arasındaki elektromanyetik geçişlere ait  $\delta(E2/M1)$  karışım oranlarını,  $\beta_0$  ve  $\beta_2$  deformasyon parametrelerini,  $Q_0$  ve  $Q(2^+)$  kuadrupol momentlerini ve temel hal bandı üyeleri arasındaki  $B(E2; L+2 \rightarrow L)$  geçiş olasılıklarını hesaplayıp, bu parametrelerin geçiş bölgesindeki davranışlarını incelemektir. Hesaplanan Çift-çift çekirdeklere ait bu veriler yardımıyla erbiyum çekirdeğinin Tek-çift izotoplarına ait enerji düzeyleri ve  $B(E2; L+2 \rightarrow L)$  geçiş olasılıklarını hesaplamaktır.

## **2. MATERİYAL VE YÖNTEM**

### **2.1. Giriş**

Çekirdeğe ait kuvvetlerden faydalananarak, çekirdeklerin yapısını ve değişik özelliklerini açıklayabilen genel bir teori henüz kurulamamıştır. Farklı metodlarla yapılan deneylerin sonuçlarını açıklayabilmek için çeşitli çekirdek modelleri geliştirilmiştir. İlk çekirdek modelini 1930 yılında Bohr ileri sürmüştür<sup>(36)</sup>. Bu modele göre çekirdek, sıvı damlasına benzetilmektedir. Bu Modelin sihirli çekirdeklerin komşu çekirdeklere göre gösterdikleri daha kararlı durumları açıklamadığı için ömrü az olmuştur. Bu durumu açıklayabilmek için 1934' te Elsasse ve Guggenheimer tarafından Kabuk modeli ileri sürülmüştür. Nükleonlar, sihirli sayıda değerler aldıklarında , çekirdeklerde proton ve nötron kabuklarının dolduğu ve diğer çekirdeklere göre özel bir kararlılık gösterdikleri gözlenmiştir. Bunun yanında proton ve nötron sayıları sihirli sayılara eşit olan çekirdeklerin kuadropol momentlerinin sıfır yakını olması da, bu çekirdeklerde, küresel simetriye yakın kapalı kabukların varlığını desteklemektedir. Bu modelin en büyük eksikliği deform olmuş bölgedeki büyük kuadropol momentlerini açıklayamamasıdır. Ayrıca elektromanyetik geçiş olasılıkları ve düşük enerjili uyarma spektrumları da kabuk modeliyle açıklanamaz<sup>(37)</sup>.

Kabuk modelinin açıklayamadığı nükleer olayların açıklanabilmesi amacıyla 1950 yılında Bohr ve Mottelson Kollektif modeli ileri sürmüşlerdir<sup>(36)</sup>. Bu modelde çekirdek içerisindeki bütün parçacıkların kollektif hareketleri dikkate alınarak, bu hareket sonucu oluşan çekirdek

deformasyonları incelenir. Çekirdek deformasyonunun oluşumunda, kapalı kabukların dışındaki artık nükleonların hareketiyle ortaya çıkan kutuplanmanın yanı sıra, kapalı kabuk içerisindeki özün biçimini ve açısal momentumunu da dikkate alınmıştır<sup>(38)</sup>. Kollektif modelde de kabuk modelinde olduğu gibi çekirdekteki nükleonlar, çekirdeğin merkezinden ölçülen r uzaklığının fonksiyonu olan bir kuvvet alanı içerisinde serbestçe hareket eder. Fakat küresel simetri  $V(r)$  potansiyeli, çekirdek içindeki nükleonların etkileşmesi sonucu biçimini değiştirebilir. Bu çekirdeğin deformasyonu anlamına gelir. Ayrıca bu modelde potansiyel enerji deformasyona bağlı olarak değişir. Eksenel simetride,  $\beta_0$  deformasyon parametresinin bir fonksiyonu olarak, enerjinin iki minimumu vardır. Eğer  $\beta_0$  pozitif ise, çekirdek prolate(puro) şekli,  $\beta_0$  negatif ise, çekirdek oblate(armutumsu) şekli ifade eder.

Çekirdekte ilk uyarılmış çekirdek düzeyi spin ( $L=2$ )'den temel durum ( $L=0$ )'a geçiş anında üretilen elektromanyetik radyasyon alanı, nükleer yükün kuadropol dağılımından bir küresel dağılıma yeniden düzenlenmesinden doğar. Bunun için elektromanyetik radyasyon E2 karakterine sahiptir ve geçiş kuadropol geçişi. Deforme çekirdeğin nükleer yüzeyini tanımlamak için küresel harmonik açılımı,

$$R(\theta, \phi) = R_0 [1 + \sum_{\mu} a_{\mu} Y_{2\mu}(\theta, \phi)]$$

ile verilmiştir. Burada  $R_0$  küresel denge durumunun yarıçapıdır<sup>(39)</sup>.

Sihirli sayıda nötron ya da proton sayısına sahip olan çekirdekler küreseldir. Sihirli çekirdeklere komşu çekirdeklere de çiftlenim etkisiyle küresel öz bozulamaz ve nükleonların  $L=0$  açısal momentumuna sahip çiftler oluşturdukları görülür. Çekirdeğin küresel denge biçimini etrafındaki kollektif

hareketi bir vibrasyon hareketidir. Kapalı kabuk dışına ilave olan valans nükleonlarının sayısı arttıkça, uzun menzilli kuadropol kuvvetleri, küresel yapının bozulmasına neden olur. Bu bozulma küresel özde de kendini göstererek çekirdek elipsoidal bir şekil kazanır. Bu durumda kollektif hareket, denge biçimini etrafındaki vibrasyonel hareketiyle birlikte deform olmuş çekirdeğin yönelme doğrultusunun rotasyonundan meydana gelir. Vibrasyon halinde eksenel simetri korunur ve bunun sonucu olarak  $K=0$  ve spin paritesi  $0^+, 2^+, 4^+$  olan durumlar ortaya çıkar.  $K$  çekirdek spininin z-ekseni yönündeki iz düşümüdür ve aksiyel simetriden dolayı korunmaktadır. Genellikle oldukça düşük uyarmalar, gama vibrasyonu durumlarıdır. Bu bant için  $K=2$  olup, bandın durumları  $2^+, 3^+, 4^+, 5^+ \dots$  dir. Negatif pariteli rotasyonel bandın en düşük düzeyi  $1^-$  dir ve oktopol vibrasyonlardan oluşmuştur.

Kolektif hareketin, rotasyonla birlikte olan başlıca üç tip spektruma karşılık geldiği deneylerden anlaşılmıştır. Bunlar temel hal bandı, kuadropol gama bandı ve kuadropol beta bandıdır. Burada dikkate alınan çift-çift çekirdek, nükleer yüzeyin kuadropol bozulmasıyla tanımlanır. Böyle bir şekli bozulması beş  $\alpha_\mu$  değişkeni ile ifade edilir. Bu parametreler  $\alpha_\mu (\mu=0, \pm 1, \pm 2)$  bir kuadropol tensörün bileşenleridir. Eş değer bir tanımlama parçacık sisteminde kuadropol bozulmayı tanımlayan  $\beta$  ve  $\gamma$  değişkenleriyle verilebilir. Parçacık-sabit sisteminin uzayındaki yönelimi Euler açılarıyla tanımlanır. Böylece bu değişkenler cinsinden Bohr Hamiltoniyeni yazılabilir ve bu Hamiltonyenin öfonksiyonları kollektif durumların iyi bir tanımlamasını verir. Bohr hamiltonyenindeki  $V(\beta, \gamma)$  potansiyel enerji  $\beta$  ve  $\gamma$ 'nın fonksiyonudur. Bazı potansiyeller için uygun çözümler elde edilmiştir. Bunlar vibrasyonel, rotasyonel ve  $\gamma$ -kararsız çekirdeklerine karşılık gelir. Potansiyel

enerji yarı denel olarak veya deform olmuş bazda mikroskopik hesaplamalarla oluşturulmuştur. Genelde çok yoğun sayısal çözümleme integraleri kullanılarak çözümler elde edilebilmektedir. Bir başka eş değer yöntemle problemi çözmek için, beş boyutlu harmonik salinicinin dalga fonksiyonları ortogonal durumların tam bir seti gibi kabul edilebilir. Eğer Bohr Hamiltonyenindeki potansiyel enerji, beş  $\alpha_\mu$  değişkenin ikinci dereceden bir fonksiyon ise, böyle durumlarda diferansiyel denklemin çözümleri olurlar. Bu şekildeki özdurumlar, rankı-2 olan küresel tensör bileşenli bozon durumları tanımlamak üzere  $L=2$  açısal momentumlu d bozonları ileri sürülmüştür. Küresel denge yüzeyi civarındaki vibrasyon hallerinde böyle bir tanımlama oldukça basittir. Bunun yanında eğer denge yüzeyi ( $\beta_0=0$ ) bozulursa, yüzey civarındaki rotasyon ve vibrasyonların tanımlanması d bozonlarıyla güç olur. Ayrıca d bozonlarıyla nükleer durumların basit bir tanımlanması,  $\gamma$ -kararsız grubun indirgenemez temsili bazındaki durumlarıyla yapılabilir.  $\gamma$ -kararsız grubunun tam indirgenemez temsilleri N tam sayı ile gösterilir ve bu sayı maksimum d bozonları sayısını verir. Böyle bir modele daraltılmış kuadropol model (TQM) adı verilir.  $\gamma$ -kararsız grubunun avantajı, rotasyonel grubunu bir alt grup olarak içermesidir. Rotasyonel grubu ise daha önce Elliot<sup>(40)</sup> tarafından Tabaka modeliyle rotasyonel spektrumu tanımlamak için önerilmiştir. Buna göre rotasyonel spektrum, d bozonları durumlarından elde edilmiştir, d bozonlarıyla ilgili uzay beş boyutludur.  $\gamma$ -kararsız ve rotasyonel üreticileri d bozonlarının yaratıcı ve yok edici işlemlerinin karmaşık ifadelerinden oluşur. Bütün bunlardan farklı olarak Arima ve Iachello tarafından yeni

bir model geliştirilmiştir<sup>(41)</sup>. Etkileşen bozon model ( veya yaklaşıklığı ) diye adlandırılan bu yaklaşıklık orta ve ağır kütleyeli çekirdeklerin spektrumlarını açıklamak için ileri sürülmüştür. Etkileşen bozon modeli genelde cebirsel ve grup teoriksel yaklaşımalar üzerine dayanmaktadır. Modelde orta ve ağır kütleyeli çekirdeklerin spektrumlarını açıklamak üzere altı tane bozon işlemcisi tanımlanmıştır. Bunlar  $L=2$  açısal momentumlu d bozonları ve buna eklenen  $L=0$  açısal momentumlu s bozonudur, s bozonunun bir bileşeni ile d bozonlarının beş bileşeni altı boyutlu bir uzay oluşturur. Böylece grup yapısı da U(6) olur. U(6) grubunun işlemcileri ve temsilleri de uygun şekilde oluşturulabilir. U(6)'nın tam simetrik temsillerini karakterize eden N sayısı , s ve d bozonlarının toplam sayısına eşit olur. Hamiltonyenin özdeğerleri ve özdurumları çok iyi hesaplanabilir. Yarı deneysel bir model olan Etkileşen Bozon Modelinde problemi uygun şekilde çözmek üzere değişik kollektif Hamiltonyenler kullanılmıştır. N tam sayısı kollektif Hamiltonyenin bağlı durumlarının sayısını tayin eder. N sayısı limit durumuna geldiğinde, bozon Hamiltoneni Kollektif modele yaklaşır. Böylece Bozon modeline, Kollektif modelin bir uyarlanması olarak bakılabilir<sup>(42)</sup>.

Buna göre ,

IBM-1=TQM  $\xrightarrow{N \rightarrow \infty}$  Kollektif Model

olarak düşünülebilir. Bozon modelinin daha derin bir öneme sahip olup olmadığı veya Kabuk modeli ile bağlantısının ne olduğu sorusu akla gelebilir. Fermiyonlara ait  $L=0$  ve  $L=2$  'ye çiftlenmiş özdeş aktif nükleon çiftlerinin s ve d bozonlarına karşılık geldiği öne sürülmüştür<sup>(43)</sup>. Bu çiftler, yarı-sihirli çekirdekte olduğu gibi aktif nötronların veya aktif protonların kabuk Modeli

özdurumlarını oluşturmak için kullanılabilir. Aktif proton ve nötronlu çekirdekte ise; proton ve nötronlar arasındaki kuvvetli, çekici ve senyorateyi bozan etkileşme önemli rol oynamaktadır. Eğer kuadropol-kuadropol etkileşmesi kullanılırsa, özdurumlar  $S_{\pi}, D_{\pi}$  ve  $S_v, D_v$  çiftlerini oluşturan proton( $\pi$ ) ve nötron( $v$ ) durumlarının karışıntılarından oluşacaktır. Bu Kabul Modeli tanımlaması da  $s_{\pi}, d_{\pi}$  proton bozonları ve  $s_v, d_v$  nötron bozonlarını içeren bir başka bozon modeline yol açar. Bozon Hamiltonyeni proton ve nötron bozonları arasında kuvvetli ve çekici bir kuadropol etkileşmesini içerecektir. Bu çok ayrıntılı modelde, aktif proton ve aktif nötron sayılarının etkisi ayrı ayrı incelenebilir. Bu model Etkileşen Bozon Model-2 (IBM-2) olarak adlandırılır.

IBA-2, Kabuk modelinden oluşturduğu için etkileşen bozon yaklaşımı olarak da adlandırılır. Böylece ,

Kabuk Modeli  $\longrightarrow$  IBA  $\longrightarrow$  IBA-2

olarak ifade edilebilir. Son yıllarda Etkileşen Bozon Yaklaşımı konusu bir çok araştırmacının ilgisini çekmiştir. Çekirdek yapısı ve spektroskopisinde çok sayıda yeni çalışmalara yol açılmıştır. Bu açıdan modelde son yıllarda yapılan pek çok genişletmeler, limitler ve modelin başarıları tartışılmıştır.

### 2.1.1. Beta , Gama ve Oktupol Titreşimler

Sihirli sayıda nötron ya da proton sayısına sahip olan çekirdekler küreseldir. Sihirli çekirdeklere komşu çekirdeklerde de çiftlenim etkisiyle küresel öz bozulmaz ve nükleonların  $L=0$  açısal momentumuna sahip çiftler

oluşturdukları görülür. Çekirdeğin küresel denge biçimini etrafındaki Kolektif hareketi bir titreşim hareketidir. Kapalı kabuk dışına ilave olan valans nükleonlarının sayısı arttıkça, uzun menzilli kuadropol kuvvetleri, küresel yapının bozulmasına neden olur. Bu bozulma küresel özde de kendini göstererek çekirdek elipsoidal bir şekil kazanır. Bu durumda kolektif hareket, denge biçimini etrafındaki titreşim hareketleriyle birlikte, deform olmuş çekirdeğin yönelme doğrultusunun dönmesinden meydana gelir. En basit titreşim,  $\beta$  titreşimidir. Bu titreşim halinde eksenel simetri korunur ve bunun sonucu olarak  $K=0$  ve spin paritesi  $0^+, 2^+, 4^+, \dots$  olan durumlar açığa çıkar. Genellikle oldukça düşük uyarmalar gama titreşimi durumlarıdır. Bu halde eksenel simetriden küçük sapmalar olursa da hala  $K$ , hareketin yaklaşık bir sabitidir. Bu bant için  $K=2$  olup, bandın durumları  $2^+, 3^+, 4^+, 5^+ \dots$ ....dir. Negatif pariteli rotasyonel bandın en düşük düzeyi  $1^-$  dir. Bu bant oktupol titreşimlerinden oluşmuştur. Bu titreşimler z- eksene paralel açısal momentumun, sıfırdan üçe kadar olan değerlerine sahip olabilir.

### 2.1.2. Çiftlenim ve Kuadropol Kuvvetleri

Çekirdeklerdeki nükleonları bir arada tutan nükleonlar arası çekirdeksel kuvvetlerin doyma karakteri göstermesi, kısa menzilli ve çok şiddetli çekici özellikte olması, nükleonların yüklerine bağımlı olmaması ve bu yüklerle nükleonların spin doğrultularının değişim tokusu sonucu, değişim tokuş kuvveti olarak ortaya çıktıları bilinmektedir. Çekirdek davranışlarında etkin olan kuvvetler arasında, çiftlenim ve kuadropol kuvvetlerinin önemli bir yeri vardır.

Çekirdekte, aynı enerji düzeyindeki iki nükleon arasında, karşılıklı spin değiş tokusu ile ortaya çıkan kısa menzilli kuvvete çiftlenim kuvveti denir. Bu kuvvet özellikle, çekirdeklerin dolmamış kabuklarındaki nükleonları etkiler ve küresel simetriyi korumaya çalışır. Çekirdekte kuadropol yük dağılımı sonucu ortaya çıkan kuvvete ise kuadropol kuvveti denir ve bu kuvvet çekirdeği deforme şekele götürmeye meyillidir. Valans nükleonlarının sayısı arttıkça küresel simetriyi korumaya çalışan çiftlenim kuvveti azalır ve kabuk yarıya kadar dolu olduğunda çekirdekte kuadropol kuvvetler hakim duruma geçer. Bu durum çekirdeği rotasyonel spektruma götürerek deformé çekirdek yapısının oluşumuna neden olur.

Dudex ve ark.<sup>(45)</sup> tarafından çekirdekteki çiftlenim sabiti için;

$$G = \{ G_0 + G_1(N-Z) \} / A \quad (2.1)$$

İfadesi verildi.  $G_0$  ve  $G_1$  parametrelerinin proton ve nötron için değerleri yerlerine konularak nadir toprak elementlerinin  $G_P$  proton ve  $G_n$  nötron çiftlenim kuvvetleri

$$G_P = [17.90 + 0.176(N-Z)] / A$$

$$G_n = [18.95 - 0.078(N-Z)] / A \quad (2.2)$$

Bağıntılılarıyla bulunur.

### 2.1.3. Çekirdek Deformasyonu

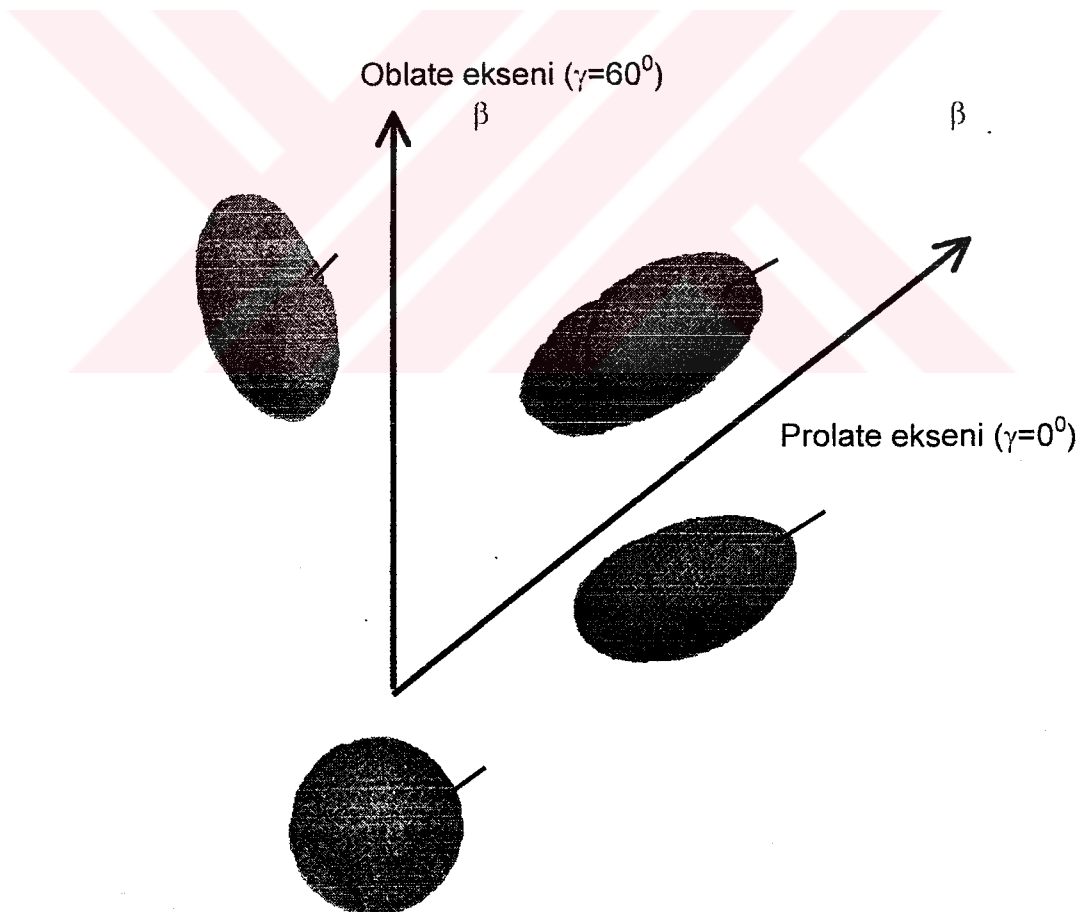
#### 2.1.3.1. Proton ve nötronların Dağılımının Deformasyonu

Protonların çiftlenim sabiti  $G_P$  ve nötronların çiftlenim sabiti  $G_n$  (2.2) ifadesinde görüldüğü gibi farklı değerlere sahiptir ve  $G_P > G_n$  dir.

Çekirdekte proton ve nötronların çiftlenim kuvvetlerindeki bu farklılık, proton ve nötronların dağılımlarının farklı deformasyona sahip olmaları gerektiği fikrinin doğmasına neden olmuştur<sup>(46)</sup>.  $G_p > G_n$  olduğundan,  $\beta_0(p) < \beta_0(n)$  olması gereklidir. Burada  $\beta_0(p)$  ve  $\beta_0(n)$  sırasıyla proton ve nötron dağılımlarının deformasyon parametreleridir. Kütle dağılıminin ortalama deformasyon ise El-Din ve ark.<sup>(46)</sup> tarafından

$$\beta_0 = [N\beta_0(p) + Z\beta_0(n)] / A \quad (2.3)$$

olarak tanımlanmıştır. Çekirdeğin kütle deformasyonu şekil 2.1'de gösterilmiştir.



**Şekil 2.1** Çekirdeğin kütle deformasyonu

Greiner<sup>(47)</sup>,  $\beta_0$  deformasyon parametresini  $\delta(E2/M1)$  karışım oranına bağlı olarak,

$$\beta_0 = 10^3 (\delta(E2/M1) / E_0)_{2 \rightarrow 2} [ f(1-2f) / 0.862 A^{5/3} ] \quad (2.4)$$

şeklinde verilmiştir. Burada  $f$  parametresi;

$$f = N/A [ \beta_0(n) / \beta_0(p) - 1 ] = N/A [ (G_P / G_n)^{1/2} - 1 ] \quad (2.5)$$

ile verilir. Ayrıca kuadropol deformasyon parametresi olarak tanımlanan  $\beta_2$  'de Nazarewicz ve ark.<sup>(20)</sup> tarafından

$$\beta_2 = -7(\pi/80)^{1/2} + [49\pi / 80 + 7\pi Q_0 / 6Z R_0^2]^{1/2} \quad (2.6)$$

olarak tanımlanmıştır.

Burada  $Q_0$  (eb) öz kuadropol momenti ve  $R_0$  yarıçapı da  $R_0^2 = 0.0144 A^{2/3}$  b dır.

### 2.1.3.2. Kolektif Durumların Nükleer Momentleri

$\beta_0$  çekirdek deformasyonu ile oranlı olan elektrik kuadropol momentler, rotasyonel çekirdeklerin yük dağılımlarının küresel simetriden sapmasının bir ölçüsüdür. Bu nedenle deformel çekirdeklerin incelenmesinde önem taşır. Eğer  $Q > 0$  ise çekirdek prolate,  $Q < 0$  ise çekirdek oblate deformasyona sahiptir.  $Q = 0$  hali küresel simetrik bir yük dağılımını gösterir.

## 2.2. Etkileşen Bozon Modeli

Son yıllarda orta ve ağır çekirdeklerin pek çok kollektif özelliklerini açıklayabilen Etkileşen Bozon Modeli'de bir çift-çift çekirdek N tane etkileşen bozonlar sistemi olarak betimlenmektedir. Başlangıçta biri nötron bozonu diğeri proton bozonu olmak üzere iki çeşit bozonun varlığı kabul edilmiştir. Bozonlar iki durumda bulunabilirler. Bu iki durum,  $J=0$  durumunda olan bozonlar s bozonu ve  $J=2$  açısal momentum durumunda olan bozon ise d bozonu olarak tanımlanır<sup>(42)</sup>.

$$\begin{aligned} & s^\dagger, d_\mu^\dagger \quad (\mu=0, \pm 1, \pm 2) \\ & s, d_\mu \quad (\mu=0, \pm 1, \pm 2) \end{aligned} \tag{2.7a}$$

olur. Bu işlemciler aşağıdaki sıra-değişim bağıntılarını sağlarlar.

$$\begin{aligned} [s, s^\dagger] &= 1 & [s, s] &= 0 & [s^\dagger, s^\dagger] &= 0 \\ [d_\mu, d_{\mu'}^\dagger] &= \delta_{\mu\mu'} [d_\mu, d_{\mu'}] &= 0 & [d_\mu^\dagger, d_{\mu'}^\dagger] &= 0 \\ [s, d_\mu^\dagger] &= 0 & [s^\dagger, d_\mu^\dagger] &= 0 \\ [s, d_\mu] &= 0 & [s^\dagger, d_\mu] &= 0 & \mu &= 0, \pm 1, \pm 2 \end{aligned} \tag{2.7b}$$

bu bozon operatörleri için

$$\begin{aligned} b_\alpha^\dagger; b_\alpha; & \quad (\alpha=1, \dots, 6) \\ b_1 = s, b_2 = d_{+2}, b_3 = d_{+1}, b_4 = d_0, b_5 = d_{-1}, b_6 = d_{-2} \end{aligned} \tag{2.8}$$

gösterimlerini kullanabiliriz. Buna göre (2.8) sıra-değişim bağıntıları

$$[b_\alpha, b_\alpha^\dagger] = \delta_{\alpha\alpha'} \quad [b_\alpha, b_{\alpha'}] = [b_\alpha^\dagger, b_{\alpha'}^\dagger] = 0 \tag{2.9}$$

olarak yazılabilir.

Çift-çift çekirdeklerin özelliklerini hesaplayabilmek için ilk olarak uygun işlemciler bulmak gereklidir. Bütün bu işlemciler de bozon işlemcileri cinsinden tanımlanmalıdır. Burada enerji düzeylerini bulabilmek için Hamilton işlemcisine gerek duyulur. Bozon topluluğunun ozdurumlarını bulmak için uygun hamiltonyen oluşturulur. En basit olarak hamiltonyenin tek-parçacık bozon enerjilerini ve bozon-bozon etkileşimlerini içерdiği kabul edilir. Böyle bir Hamiltoneyen oluşturmak için bozon yaratıcı ve yok edici işlemcileri kullanılır. Toplam bozon sayısı N'in korunumlu olduğu kabul edilirse, hamiltonyen işlemcisi bozon işlemcileri cinsinden

$$H = \varepsilon_0 + \sum \varepsilon_{\alpha\beta} b_\alpha^\dagger b_\beta + \sum 1/2 U_{\alpha\beta\gamma\delta} b_\alpha^\dagger b_\beta^\dagger b_\gamma b_\delta + \dots \quad (2.10)$$

Olarak yazılabilir. Burada  $\varepsilon_0$  sabit sayıdır.  $b^\dagger b$  terimi tek-parçacık katkılarını ve ondan sonraki terim de iki-cisim katkılarını temsil ederler. Etkileşme terimlerinin varlığı, modelin bu tipine "Etkileşen Bozon Modeli" adının verilmesine neden olmuştur. Etkileşen bozon modelinin temel kabullenimi (2.10) eşitliğindeki etkileşmelerde bozon sayısının korunumlu olmasıdır. IBA-1 Hamiltoneyenini bozon işlemcileri cinsinden yazmak istediğimiz takdirde ikinci kuantize formu kullanmamız daha uygun olur. Böylece  $d_\mu^\dagger$  ve  $s^\dagger$  işlemcileri oluşturulur. İlk J<sub>Z</sub>=μ'lu durumda bir d bozonu ve ikincisi de bir tane s bozonu oluşturmaktadır. Bu işlemciler kullanılarak

$$d_\mu^\dagger d_\mu, d_\mu^\dagger s, s^\dagger d_\mu, s^\dagger s \quad (2.11)$$

gibi tek-parçacık bozon işlemcileri yazılabilir. 36 tane birbirinden bağımsız böyle işlemciler vardır. Hamiltoneyenin dönmeler altında değişmez olması gereğinden (2.11) eşitliğindeki işlemcilerin belirli çizgisel karışıntılarını

kullanmak çok daha uygun olur. Yaratıcı  $d_\mu^\dagger$  işlemcileri, dönmeler altında rankı 2 olan indirgenemez küresel tensör bileşenleri gibi davranışları.  $d_\mu$  yok etme işlemcileri böyle dönüşüm özelliklerini sağlamadıkları için bu özelliği sağlayan

$$d_\mu = (-)^{2\mu} d_{-\mu} = (-)^\mu d_\mu \quad (2.12)$$

tanımlaması kullanılır. Şimdi k ranklı indirgenemez tensör olan

$$(d^\dagger d) q^{(k)} = \sum <2\mu' 2\mu' | 22kq> d_\mu^\dagger d_\mu \quad k=0,1,2,3,4 \quad (2.13)$$

işlemcileri ve rankı 2 olan

$$d_\mu^\dagger s, s^\dagger d_\mu \quad (2.14)$$

kuadropol işlemcileri ve (rankı 0) olan s's işlemcilerinden oluşan tam bir set tanımlanabilir. Bu işlemcilerin toplam sayısı yine 36 dır.

En genel Hamiltonyen tek-parçacık bozon terimleri ve bozon-bozon etkileşme terimlerini içerir ve dönmeler altında değişmez olmalıdır ( $J$  ile sıra değişimli). Böylece Hamiltonyen (2.13) ve (2.14) eşitliklerindeki rankı sıfırdan farklı indirgenemez tensörlerin bütün mümkün skaler çarpımlarının çizgisel karışımıları olur. Ayrıca iki tane de bir-bozon skaleri eklenebilir. Bunlar açıkça (2.13) ve (2.14) eşitliklerindeki  $k=0$  tensörleridir. Bütün tek-parçacık bozon işlemcileri s ve d bozonlarının sayısını değiştirmeyeceği için Hamiltonyende toplam bozon sayısını değiştirmeyecektir. Diğer bir değişle Hamiltonyen ile sayı işlemcisi

$$N = s^\dagger s + \sum d_\mu^\dagger d_\mu = s^\dagger s + (d^\dagger d) \quad (2.15)$$

sıra-değişimlidir. Bu sayı işlemcisinin N özdeğeri Hamiltonyenin özdurumları için uygun kuantum sayısıdır.

Bozon Hamiltonyeninin hermityen olma koşulu (2.14) eşitliğindeki iki kuadropol işlemcisinin yalnızca belirli karışımlarında içeriklecektir. Terimlerin sayısı yine de fazladır. İki tane tek-parçacık bozon terimine ek olarak dokuz mümkün skaler çarpım vardır. Fakat skaler çarpımların tümü birbirinden bağımsız değildir. Bozon durumlarının simetrisinden dolayı yalnızca  $L=0,2,4$  değerine sahip iki d bozonlu durumlara izin verilir. L'nin tek değerli durumları antisimetriktir. Böylece herhangi iki d bozonu etkileşmeleri en fazla üç bağımsız terime sahip olabilir. Böylece (2.13) eşitliğindeki beş skaler çarpının yalnızca üç bağımsız karışımı kullanılabilir. Bunun için çiftlenim sırasını değiştirerek skaler çarpımları oluşturmak mümkündür. Sıra-değişim bağıntılarından dolayı bozon-bozon etkileşmesine ek olarak tek-parçacık bozon terimleri de ortaya çıkar. Elde edilen Hamiltonyen aşağıdaki şekilde yazılabilir.

$$\begin{aligned}
 H = & \varepsilon_s(s^+s) + \varepsilon_d(d^+d) + \sum_{L=0,2,4} 1/2(2L+1)^{1/2} c_L [(d^+x d^+)^{(L)} (d x d)^{(L)}]^{(0)} \\
 & + 1/\sqrt{2} v_2 [(d^+x d^+)^{(2)} (d x s)^{(2)} + (d^+ x s^+)^{(2)} (d x d)^{(2)}]^{(0)} \\
 & + 1/\sqrt{2} v_0 [(d^+x d^+)^{(0)} (s x s)^{(0)} + (s^+ x s^+)^{(0)} (d x d)^{(0)}]^{(0)} \\
 & + u_2 [(d^+ x s^+)^{(2)} (d x s)^{(2)}]^{(0)} + 1/2 u_0 [(s^+ x s^+)^{(0)} (s x s)^{(0)}]
 \end{aligned} \tag{2.16}$$

burada  $\varepsilon_s$  ve  $\varepsilon_d$ , sırasıyla s ve d bozonlarının bağlanma enerjilerini,  $s^\dagger s$  ve  $(d^\dagger d)$  ise sırasıyla s ve d bozonları için sayı işlemcilerini ve  $d_\mu = (-1)^\mu d_{-\mu}$  küresel tensörü tanımlar.  $c_0$ ,  $c_2$  ve  $c_4$  kat sayıları d-bozonları,  $u_0$  kat sayısı da s-bozonları arasındaki,  $v_2, v_0$  ve  $u_2$  kat sayılarıyla da s-bozonları ile d-

bozonları arasındaki etkileşmelerin şiddetini belirtir. Ayrıca burada  $\mu=0, \pm 1, \pm 2$  şeklindedir<sup>(7)</sup>.

IBM-1 Etkileşen bozon modelinin orijinal formulasyonunda, proton ve nötronun serbestlik dereceleri arasında bir ayırım yapılamaz. Çift-çift çekirdekler düşük enerji kolektif durumları N tane etkileşen, açısal momentum ve parite  $L^P = 0^+$  monopole ve  $L^P = 2^+$  kuadropol ile birlikte, bozonlar sistemi olarak tanımlanabilir. Kuadropol ve monopole bozonun beş bileşeninden dolayı U(6) grup yapısı altı boyutlu bir uzaya kısaltılabilir. Bütün durumlar simetrik azaltılamama gösterimi ile  $[N] U(6)$  tanımlanabilir. IBM de Hamiltonyen ikinci kuantizasyon olarak ifade edilir. Bozonlar için yaratılma operatörleri  $s^+$  ve  $d_m^+$ , yok olma operatörleri ise  $s^-$  ve  $d_m^-$  dir. Bütün hepsi  $b_{lm}^+$  ve  $b_{lm}^-$  olarak tanımlanabilir.

Burada  $l = 0, 2$  ve  $m = -l, -l+1, \dots, l$

$$b_{l\infty}^+ \equiv s^+, \quad b_{2m}^+ \equiv d_m^+ \quad (2.17)$$

$b_{lm}^+$  ve  $b_{lm}^-$  operatörleri bozon komitasyon bağıntısını sağlar.

$$\begin{aligned} [b_{l1m1}^+, b_{l2m2}^+] &= \delta_{l1l2} \delta_{m1m2} \\ [b_{l1m1}^-, b_{l2m2}^-] &= [b_{l1m1}^-, b_{l2m2}^+] = 0 \end{aligned} \quad (2.18)$$

ikinci kuantize formu daha genel olarak bir ve iki cisim rotasyonel invariyan Hamiltonyen verilen bozon sayılarını korur;

$$H = H_0 + \sum_l \epsilon_l \sum_m b_{lm}^+ b_{lm}^- + \sum_L \sum_{l_1, l_2, l_3, l_4} V^{(L)}_{l_1 l_2 l_3 l_4} (b_{l_1}^+ x b_{l_1}^-)^{(L)} (\tilde{b}_{l_2}^+ x \tilde{b}_{l_2}^-)^{(L)} \quad (2.19)$$

$\tilde{b}_{lm} = (-1)^{l-m} b_{l,-m}$  nokta skaler çarpım ve x tensör çarpımını göstermektedir. Valans monopole ve kuadropol bozonlar nükleon çiftleri ile belirlenmesinden dolayı toplam N bozon sayısı aktif proton ve nötron çiftlerinin toplamıyla en yakın kapalı kabuğa göre belirlenmektedir. Örnek olarak,  $^{154}_{62}Sm_{92}$  çekirdeğini göz önüne alalım. 12 adet proton 50-82 proton kabuğunu işgal etmekte ve 10 tane nötron 82-126 nötron kabuğunu işgal etmektedir. Buna (IBM) göre etkileşen bozon sayısı  $N = 6+5 = 11$  olacaktır. Açısal momentum ve pariteleri  $L^P = 0^+, 2^+$  ve  $4^+$  olan durumların sayısı kabuk modelindekinden  $10^{12}-10^{13}$  daha az indirilmiş olur. Bu azaltma, diyagonal Hamiltonyen matrisinin çok küçük boyutlarda olması gerektiğinden çekirdeğin düşük enerji kolektif durumlarının üzerinde çalışmaya olanak sağlamaktadır.

### 2.2.1. Elektromanyetik Geçiş Operatörleri

Etkileşen bozon modelinde, uygun operatörler kullanılarak bazı gözlemlenebilir nicelikler hesaplanabilir. Elektromanyetik geçiş olasılıkları için, bozon serbestlik dereceleri cinsinden ifade edilen tek-bozon operatörünün ilk kuantizasyonu,

$$\hat{T}^{(1)} = \sum_{i=1}^N t_i^{(1)} \quad (2.20)$$

ifadesi ile verilir ve buradaki  $t_i$  tek-parçacık geçiş operatördür. Bu ifadeye eğer gerekirse yüksek mertebeli (iki-cisim...) bozon terimleri eklenebilir. Yukarıdaki ifadenin ikinci kuantizasyon formu ;

$$\hat{T}^{(1)} = \alpha_2 \delta_{12} (d^+ s + s^+ d)_m^{(2)} + \beta_1 (d^+ d)_m^{(1)} + \tau_0 \delta_{m0} \delta_{10} (s^+ s)_0^{(0)} \quad (2.21)$$

şeklindedir.

Bu ifade açılırsa aşağıdaki elektromanyetik geçiş operatörleri elde edilir<sup>(7,48)</sup>.

$$\hat{T}_0(E0) = \gamma_0 + \beta_0(d^+ \times d)_0^{(0)} + \alpha_0(s^+ \times s)_0^{(0)}$$

$$\hat{T}_m(M1) = \beta_1(d^+ \times d)_m^{(1)}$$

$$\hat{T}_m(E2) = \alpha_2(d^+ \times s + s^+ \times d)_m^{(2)} + \beta_2(d^+ \times d)_m^{(2)} \quad (2.22)$$

$$\hat{T}_m(M3) = \beta_3(d^+ \times d)_m^{(3)}$$

$$\hat{T}_m(E4) = \beta_4(d^+ \times d)_m^{(4)}$$

Yukarıdaki denklemlerin ilkinde yani E0 elektrik monopol geçiş operatöründe

$N = n_s + n_d$  tanımı kullanılırsa

$$\begin{aligned} T_0(E0) &= \tau_0 N + \beta_0 n_d \\ \beta_0 &= \frac{\beta_0}{\sqrt{5}} - \tau_0 \end{aligned} \quad (2.23)$$

ifadesi elde edilir. Bu denklemdeki  $\tau_0 N$  terimi sadece diagonal matris elemanlarına sahiptir. Bundan dolayı E0 geçişlerine katkıda bulunmaz<sup>(7)</sup>. Ayrıca M1 operatörü şu şekilde yazılabilir.

$$\hat{T}_m(M1) = (10)^{-1/2} \beta_0 \hat{L}_m \quad (2.24)$$

burada  $L$  açısal momentum operatördür. Bu son ifade sadece manyetik momentlere katkıda bulunur, bunun için IBM yaklaşımında M1 geçişleri gözlenebilmektedir<sup>(48)</sup>. Yukarıdaki E2 geçiş operatörünün rankı 2 olan hermityen bir tensördür ve bu ifadedeki  $\alpha_2$  kat sayısı etkin bozon yükü olarak adlandırılır.

IBM kullanılarak hesaplanan diğer nükleer özellikler izomer ve izotop değişimleri, iki nükleon ayrılma enerjileri ve iki nükleon transfer reaksiyonlarının şiddetleridir. Bütün bu özellikler nötron ve proton serbestlik derecelerine açıkça bağlı olmasından dolayı IBM yaklaşımı kullanılarak oldukça iyi hesaplamalar yapılabilir<sup>(1,42)</sup>.

### **2.2.2. Dinamik Simetrisi**

Genelde, Hamiltonyen matris nümerik olarak enerji özdeğerlerini elde etmek için diyagonalleştirilir. Fakat limit durumu da mevcuttur yani; enerji spektra kapalı analitik formdan da hesaplanabilir. Bu özel durumlar dinamik simetrisiyle ilgilidir, ve ne zaman Hamiltonyen, Casimir invariant zincir alt grup U(6) terimleri cinsinden yazılırsa göz önüne alınır<sup>(42)</sup> nükleer durumlar iyi açısal momentum sahip olduklarıdan, üç boyuttaki SO(3) rotasyonel grup bütün alt grup zincirlerini içermektedir. Bu kısıtlamalar altında üç muhtemel zincir bulunmaktadır<sup>(42)</sup>.

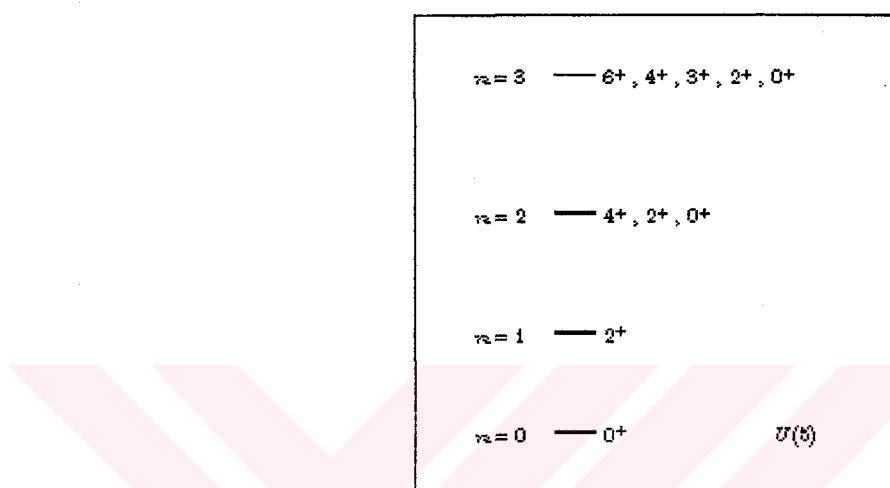
$$U(6) \supset \begin{cases} U(5) \supset SO(5) \supset SO(3) \\ SU(3) \supset SO(3) \\ SO(6) \supset SO(5) \supset SO(3) \end{cases}$$

İlgili dinamik simetrisi U(5) , SU(3) ve SO(6) olarak gösterilir.

(i)- U(5) limitinde enerji özdeğerleri

$$E(n, v, L) = E_0 + \epsilon_n + \alpha n(n+4) + \beta v(v+3) + \gamma_L(L+1) \quad (2.25)$$

ile verilir. Burada  $n$ ,  $v$  ve  $L$  kuantum sayılarıdır ve ana düzeyleri etiketler.  $N$  kuadropol bozonların sayısını,  $v$  bozon senyöritesini, mesela kuadropol bozonların sayısı açısal momentum sıfırda çiftlenmez ve  $L$  açısal momentumu belirler. Enerji spektrumu tipik bir



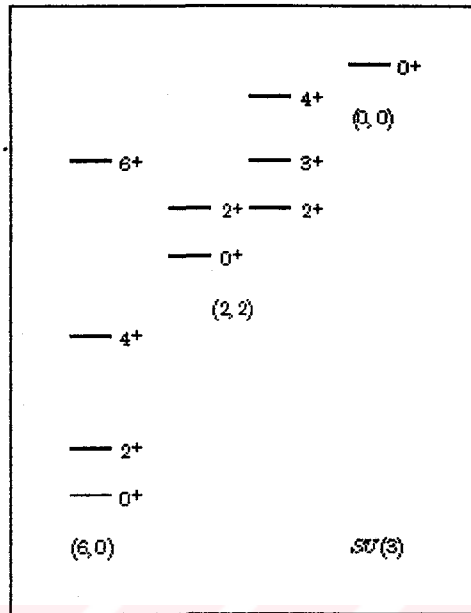
**Şekil 2.2** Spektrum yapısını U(5) limiti ile gösterimi

ani sabit enerji aralığındaki ( $\alpha, \beta, \gamma \ll \epsilon$ )  $n$  'le bir seri multiplet etiketlemeyle karakterize edilebilir. Temel düzey  $n = v = L = 0$  durumu olup temel düzey enerjisine,  $E_0$  'a karşılık gelir.

#### (ii) – SU(3) limitinde enerji özdeğerleri

$$E(\lambda(\mu, L)) = E_0 - \kappa [\lambda(\lambda + 3) + \mu(\mu + 3) + \lambda\mu - 2N(2N + 3)] + \kappa' L(L + 1) \quad (2.26)$$

ile verilir. Burada  $\lambda$ ,  $\mu$  ve  $L$  ana düzeyleri etiketler. Spektrum ( $\lambda, \mu$ ) ile etiketlenen bir seri bantla rijit rotor modelinde karakterize edilebilir. Burada enerji aralıkları  $L(L+1)$  ile doğru orantıdır. Temel düzey bandı ( $\lambda, \mu$ ) = (2N, 0) prolate rotor için ya da ( $\lambda, \mu$ ) = (0, 2N) oblate rotor içindir. Her iki durumda temel düzey enerjisi  $E_0$  dır.

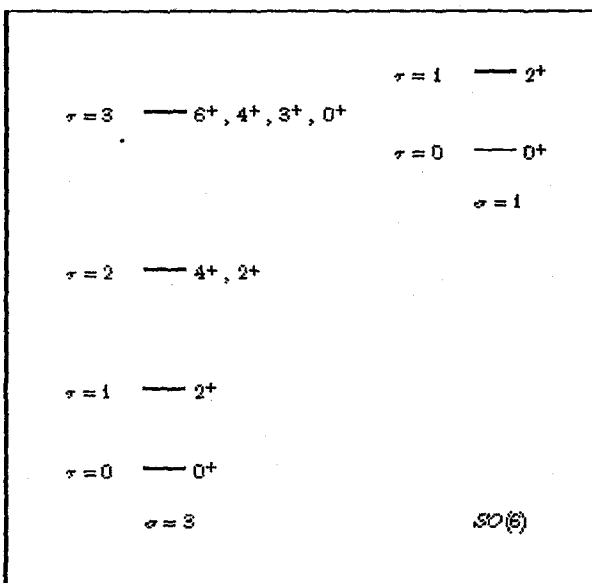


**Şekil 2.3** SU(3) limitinin tipik spektrumu

(iii) SO(6) limitinde enerji formülü

$$E(\sigma, \tau, L) = E_0 + A(N - \sigma)(N + \sigma + 4) + B\tau(\tau + 3) + cL(L + 1) \quad (2.27)$$

ile verilir. Burada  $\sigma, \tau$  ve  $L$  ana düzeyleri karakterize etmektedir.  $\sigma$  ve  $\tau$  bozon senyörите etiketleri,  $\tau$  U(5) limitindeki  $\tau$  ile aynı anlamdadır.  $\sigma$  monopole ve kuadropol bozonlarını içeren genelleştirilmiş senyöritedir. Enerji spektrumu  $\sigma$  ile etiketlenen bir çok titreşim multiplet serisinden oluşmaktadır. Enerji aralığı denklem (2.27)'deki ifadenin son iki terimi ile doğru orantılıdır. Temel düzey  $\sigma = N$ ,  $\tau = L = 0$  ve  $E_0$  enerji düzeyidir.



Şekil 2.4 S(6) limitindeki tipik spektrum

Üç dinamik simetri enerji için bir kapalı analitik ifadeler kümesi sağlar. Elektromanyetik geçiş oranları ve seçim kuralları deneye kolaylıkla test edilebilir. Bunlar, kalitatif veri yorumlamasında son derece önemli rol oynar. Bununla birlikte, yalnızca birkaç çekirdek bu sınırlandırılmış durumla tanımlanabilir. Bilindiği üzere düşük enerji düzeylerinde  $^{110}_{48}Cd_{62}$ ,  $^{156}_{64}Gd_{92}$  ve  $^{196}_{78}Pt_{118}$  U(5), SU(3) ve SO(6) simetrileri için oldukça iyi örneklerdir<sup>(63)</sup>. Bir çok çekirdek, dinamik simetriler arasında benzer özellikleri gösterir. Herhangi üç dinamik simetri arasında geçiş bölgelerini tanımlamak için denklem (2.16)'daki en genel IBM Hamiltonyen formu kullanılmalıdır. Bunun özdeğerleri ve özvektörleri nümerik(sayısal) diyagonalizasyonla elde edilir. Geçiş bölgelerine örnekler, daha önce belirtilen Pt izotoplari arasındaki ağır

bölge ve nadir toprak çekirdeklerinin iyi deform olmuş bölgeleri ( $SO(6) \leftrightarrow SU(3)$  ile yorumlanan) geçişler, Sm izotopunda titreşim ve rotasyonel spektra arasındaki keskin geçiş ( $U(5) \leftrightarrow SU(3)$ ) ve Ru izotopunda titreşim ve  $\gamma$  kararsız çekirdek arasındaki geçişlerdir ( $U(5) \leftrightarrow SO(6)$ ).

### 2.2.3. Elektromanyetik Geçiş Özellikleri

Elektromanyetik geçiş operatörlerini 2.2.1.'de incelenmişti. Bu defa elektromanyetik geçiş olasılıkları ele alınacaktır. Geçiş operatörleri verildikten sonra elektromanyetik geçiş olasılıkları,  $T^{(1)}$  elektromanyetik geçiş operatörünün ilk ve son durumlar arasında indirgenmiş matris elemanının bulunması ile hesaplanır. E2 geçişleri için olasılıklar :

$$B(E2; I_Y \rightarrow I_f) = 1/(2I_i + 1) \left| \langle I_f | \hat{T}_m^{(E2)} | I_i \rangle \right|^2 \quad (2.28)$$

şeklinde tanımlanır<sup>(7)</sup>. Şimdi yukarıdaki bölümlerde açıklanan üç limit durumunda, elektromanyetik geçiş olasılıkları ve  $\delta(E2/M1)$  ve  $\delta(M2/E1)$  karışım oranları için yapılan analitik çözümler incelenebilir.

#### 2.2.3.1. Vibrasyonel Limit

Bu limitte E2 elektromanyentik geçiş olasılıkları,

$$\hat{T}_m^{(E2)} = \alpha_2 (d^+ s + s^+ \tilde{d})_m^{(2)} + \beta_2 (d^+ \tilde{d})_m^{(2)} \quad (2.29)$$

operatörünün  $|\Psi\rangle = |[N] n_d, v, n_\delta, L, M\rangle$  özvektörleri arasında

$$\Delta n_d = 0, \pm 1$$

seçim kuralı kullanılarak elde edilen matris elemanları yardımıyla(2.28) ifadesinden hesaplanır<sup>(7)</sup>. Eşitlik (2.29)'un matris elemanlarının cinsinden ifadesi,

$$\langle n_d, L, M | \hat{T}^{(E2)} | n_d, L', M' \rangle = (-)^{L-M} \begin{pmatrix} L & k & L' \\ M & k & M' \end{pmatrix} \langle L | \hat{T}^{(E2)} | L' \rangle \quad (2.30)$$

ile verilir<sup>(11)</sup>. Böylece  $|\langle N, n_d, v, n_\delta, L, M \rangle\rangle$  durumları ,  $n_d$  d-bozonlarının sabit bir sayısı ile karakterize edildiğinden temel hal bandında  $B(E2)$  değerleri  $n_d$  ,  $v = n_d$  ,  $n_\delta = 0$  ve  $L = 2n_d$  kuantum sayıları ile tanımlanır. Yani ;

$$\begin{aligned} B(E2; n_d + 1, v = n_d + 1, n_\delta = 0, L = 2n_d 2 \rightarrow n_d, v = n_d, n_\delta = 0, L = 2n_d) \\ = \alpha_2^2 (2 + L/2)(2N - L/2) \\ = 1/4(L + 2)(2N - L)/N B(E2; 2, + \rightarrow 0, +) \end{aligned} \quad (2.31)$$

dır.  $N_d = 0$  yani  $L' = , L = 0$  için

$$B(E2; 2, + \rightarrow 0, +) = \alpha^2 N \quad (2.32)$$

elde edilir. Burada  $\alpha^2$  kat sayısı elektron-barn cinsinden etkin bozon yükü olarak adlandırılır. Benzer şekilde kuadropol momentleri de,

$$Q_L = (16\pi/5)^{1/2} \langle L, M = L | \hat{T}_m^{(E2)} | L, M = L \rangle \quad (2.33)$$

ile verilir. Temel hal bandına ait durumlar için,

$$Q_L = \beta_2 \left( \frac{16\pi}{70} \right)^{1/2} L \quad (2.34)$$

ve  $\beta_2 = -1/2\alpha^{1/2}$  olduğundan

$$Q_L = \alpha_2 \left( \frac{16\pi}{40} \right)^{1/2} L \quad (2.35)$$

elde edilir. M1 geçişleri için ,

$$\hat{T}_k^{(m1)} = m1 \left( d^+ \tilde{d} \right)_k^{(1)} \quad (2.36)$$

geçiş operatörü yazılabilir. Burada m1 kat sayısı tek parçacık biriminde olup <sup>(49)</sup>, (2.28) operatörü, bozon açısal momentum operatörü L ile orantılıdır<sup>(50)</sup>. Bundan dolayı, bu operatör bozon bazında sadece köşegen matris elemanlarına sahiptir. Bu matris elemanları da uyarılmış durumların g-faktörlerine katkıda bulunurlar<sup>(51)</sup>. (2.36) ifadesinin matris elemanları,

$$\langle n_d, X, L | \hat{T}^{(m1)} | n_d, X', L' \rangle = m1 (L(L+1)(2L+1)/10)^{1/2} \delta_{n_d} \delta_{n_d} \delta_{XX'} \delta_{LL'} \quad (2.37)$$

şeklindedir ve bu geçiş operatörü daha genel olarak ,

$$\hat{T}_k^{(M1)} = m1 \left( d^+ \tilde{d} \right)_k^{(1)} + m1 \left[ d^+ \left( d^- \tilde{d} \right)^{(1)} + \left( d^- \tilde{d} \right)^{(1)} d \right]_k^{(1)} \quad (2.38)$$

biçiminde yazılabilir. Bu operatörün matris elemanları da,

$$\begin{aligned} \langle n_d, X, L | \hat{T}^{(m1)} | n_d, X', L' \rangle &= m1 (-)^{L+L'-1} 3^{1/2} (L(L+1)(2L+1)/10)^{1/2} \\ &\langle n_d, X, L | d | n_{d-1}, X', L' \rangle \begin{Bmatrix} 1 & 2 & 1 \\ L' & L & L \end{Bmatrix} \end{aligned} \quad (2.39)$$

şeklinde ifade edilir.Matris elemanlarının hesaplanması Arima ve Iachello <sup>(7)</sup> tarafından detaylı bir şekilde ele alınmıştır. (2.38) ifadesinin matris elemanları ve (2.30) denklemi yardımıyla indirgenmiş karışım oranı ifadesi,

$$\Delta^{(E2/M1)} = \langle n_d, X, L | \hat{T}^{(E2)} | n_d + 1, X', L' \rangle / \langle n_d, X, L | \hat{T}^{(M1)} | n_d + 1, X', L' \rangle \quad (2.40)$$

şeklinde verilir. Böylece E2 ve M1 geçişleri için karışım oranı,

$$\delta(E2/M1) = 0,832 \times 10^{-2} E_\gamma \Delta^{(E2/M1)} \quad (2.41)$$

şeklinde yazılabilir. burada,  $E_\gamma$  MeV ve  $\Delta^{(E2/M1)}$  indirgenmiş karışım oranları ise  $fm^2/\mu_n$  cinsindendir.

Açışal momentum kuantum sayıları, üç boyutlu uzayın eş yönlü dönme ve yansımıası altında fiziksel sistemin değişimine bağlıdır. Bu sebepten  $I$  ve  $M$  açışal momentum kuantum sayıları tam sayılardır<sup>(38)</sup>. Toplam açışal momentum seçim kuralı

$$|I_i - I_f| \leq L_\gamma \leq I_i + I_f \quad (2.42)$$

şeklindedir. İlk ve son paritelerle, çokkutuplunun paritesi arasında,

$$\pi_i = \pi_f \cdot \pi_\gamma$$

bağıntısı vardır. Elektrik çokkutuplu fotonlar için  $\pi_\gamma = (-1)^{L_\gamma}$ , Manyetik çokkutuplu fotonlar için  $\pi_\gamma = -(-1)^{L_\gamma}$  bağıntıları geçerlidir.

Seçim kuralları göz önüne alınarak herhangi bir geçişin çokkutupluluğu belirlenebilir. İki düzey arasındaki geçişlerde farklı tipte ışınlardan meydana gelmiş bir karışım yayılması mümkündür.

Çekirdekte bir  $I_i$  spin düzeyini,  $I_f$  spin düzeyine bağlayan gama ışını seçim kuralında belirtildiği gibi  $I_i + I_f$  ve  $I_i - I_f$  arasında herhangi bir açışal momentum taşıyabilir. Böylece  $E2/M1$  çokkutuplu karışım oranı, saniyedeki  $E2$  geçişlerinin sayısını  $T(E2; I_i \rightarrow I_f)$  ve  $M1$  geçişlerinin sayısını  $T(M1; I_i \rightarrow I_f)$  olmak üzere

$$\delta(E2/M1; I_i \rightarrow I_f) = [T(E2; I_i \rightarrow I_f) / T(M1; I_i \rightarrow I_f)]^{1/2} \quad (2.43)$$

şeklinde tanımlanır<sup>(44)</sup>. Benzer şekilde  $M2/E1$  karışım oranı,

$$\delta(M2/E1; I_i \rightarrow I_f) = [T(M2; I_i \rightarrow I_f) / T(E1; I_i \rightarrow I_f)]^{1/2} \quad (2.44)$$

olarak verilir.

$$\delta = \langle I_f || A(E2) || I_i \rangle / \langle I_f || A(M1) || I_i \rangle \quad (2.45)$$

olarak tarif edilmiştir.

E1 ve M2 geçişleri için geçiş operatörleri sırasıyla,

$$T_k^{(E1)} = g_1 \left( d^+ f \right) \left( f^+ \tilde{d} \right)_k^{(1)} + g_1 \left[ \left( d^+ \tilde{d} \right)^{(2)} \left( f + f^+ \right)^{(3)} \right]_k^{(1)} \quad (2.46)$$

ve

$$T_k^{(M2)} = m2 \left( d^+ f \right) \left( f^+ \tilde{d} \right)_k^{(2)} + m2 \left[ \left( d^+ \tilde{d} \right)^{(2)} \left( f + f^+ \right)^{(2)} \right]_k^{(2)} \quad (2.47)$$

şeklinde ifade edilir. Burada kullanılan f bozonu , açısal momentumu L=3 ve L=0 olan durumları işgal eden oktopol f-bozonları olarak adlandırılır. Bu bozonlar oktopol durumları etkileşen bozon modeli içerisinde karakterize edebilmek için teoriye dahil edilmişlerdir<sup>(7)</sup>. (2.29) ve (2.30) ifadelerinin matris elemanlarının oranı bizi  $\delta(M2/E1)$  indirgenmiş karışım oranına götürür. Yani;

$$\Delta^{(M2/E1)} = \langle n_d, X, L || \hat{T}^{(M2)} || n_d + 1, X', L' \rangle / \langle n_d, X, L || \hat{T}^{(E1)} || n_d + 1, X', L' \rangle \quad (2.48)$$

yazılabiliriz. Burada da  $\delta(M2/E1)$  karışım oranı için

$$\delta^{(M2/E1)} = 0.921 \times 10^{-4} E_\gamma \Delta^{(M2/E1)} \quad (2.49)$$

yazılabilir<sup>(7)</sup>. (2.49) denkleminde  $E_\gamma$  , MeV ve  $\Delta^{(M2/E1)}$  oranları ise  $\mu_N / e$  şeklinde dir.

### 2.2.3.2. Rotasyonel Limit

Bu limitte E2 elektromanyetik geçiş olasılıkları,

$$\begin{aligned}\hat{T}_m^{(E2)} &= \alpha_2 Q_k^{(2)} \\ &= \alpha_2 \left[ (d^+ s + s^+ \tilde{d})_m^{(2)} - 7^{1/2}/2 (d^+ \tilde{d})_m^{(2)} \right]\end{aligned}\quad (2.50)$$

elektromanyetik geçiş operatörünün  $|\Psi\rangle = |[N](\lambda, \mu)K, L, M\rangle$  özvektörleri arasında ,

$$\Delta\lambda = 0, \Delta\mu = 0$$

seçim kuralları kullanılarak elde edilen matris elementleri yardımıyla (2.33) ifadesinden hesaplanabilir<sup>(52)</sup>. Özellikle burada önemli olan temel durum bandının üyeleri arasındaki B(E2) geçiş olasılıklarıdır. Bu olasılıklar L açısal momentumuna bağlı olarak şu şekilde ifade edilir.

$$B(E2; L+2 \rightarrow L) = \alpha_2^2 3/4 \frac{(L+2)(L+1)/(2L+3)(2L+5)}{(2N-L)(2N+L+3)} \quad (2.51)$$

özel bir hal için B(E2) değerleri L = 0 alınarak

$$B(E2; 2_1^+ \rightarrow 0_1^+) = \alpha_2^2 N/5(2N+3) \quad (2.52)$$

elde edilir<sup>(17)</sup>. Bu limit için kuadropol momentlerini

$$Q(L) = \alpha_2 \left( \frac{16\pi}{40} \right)^{1/2} L/2L+3(4N+3) \quad (2.53)$$

şeklinde ifade edebiliriz. Bu ifadeden de  $Q_0$  öz kuadropol momenti için ( L = 0 ),

$$Q_0 = \alpha_2 \left( \frac{16\pi}{40} \right)^{1/2} (4N+3) \quad (2.54)$$

elde edilir. (2.34) ve (2.36) ifadelerinden görüldüğü gibi  $Q_0$  öz kuadropol momentleri N bozon sayısına doğrusal olarak,  $B(E2)$  değerleri de kuadratik olarak bağımlıdır. Vibrasyonel limitte ise  $B(E2)$  değerlerinin N' e bağımlılığı doğrusaldır.

$\delta(E2/M1)$  ve  $\delta(M2/E1)$  karışım oranlarını veren ifadeler, vibrasyonel limitteki ifadelerle aynı olur.

### 2.2.3.3. $\gamma$ - Karasız Limit

Bu limitte E2 elektromanyetik geçiş olasılıkları,

$$\hat{T}_m^{(E2)} = \alpha_2 (d^+ s + s^+ \tilde{d})_m^{(2)} \quad (2.55)$$

elektromanyetik geçiş operatörünün  $|\Psi\rangle = |[N]\sigma, \tau, v\delta\Delta, M\rangle$  öz vektörleri arasında,

$$\Delta\sigma = 0, \Delta\tau = \pm 1$$

seçim kuralları kullanılarak elde edilen matris elemanları yardımıyla (2.33) ifadesinden hesaplanabilir<sup>(9)</sup>. Böylece elde edilen  $B(E2)$  değerleri,

$$\begin{aligned} B(E2; \sigma = N, \tau + 1, v\delta = 0, L' = 2\tau + 2 \rightarrow \sigma = N, \tau, v\delta = 0, L = 2\tau) \\ = \alpha_2^2 1/4 \{L + 2/2(L + 5)\} \\ (2N - L)(2N + L + 8) \end{aligned} \quad (2.56)$$

şeklindedir.  $L = 0$  için  $B(E2; 2_1^+ \rightarrow 0_1^+)$  değeri de şu şekilde verilir.

$$B(E2; 2_1^+ \rightarrow 0_1^+) = \alpha_2^2 1/5N(N + 4) \quad (2.57)$$

$Q(L)$  değerleri ise  $Q(L) = 0$  şeklindedir<sup>(53)</sup>.

Bu limit için detaylı çalışmalar Arima ve Iachello<sup>(6)</sup> tarafından yapılmıştır.

Bir çok çekirdek yukarıda belirtilen bu üç limit durumundan uzağa düşerler.

Özellikle A~160 giriş bölgesi civarındaki Er izotoplari belirtilen bu üç limit durumu ara bölgesinde bulunurlar<sup>(54)</sup>.

Bundan dolayı Mevcut üç simetri arasındaki geçişlerin de incelenmesi gerekmektedir.

#### 2.2.4. IBM Hamiltoenyen ve Dinamik Simetrliler

IBM Hamiltoenyeni basit olarak  $\varepsilon_d$  ve  $\chi$  parametreleri cinsinden,

$$H = \varepsilon_d n_d + \kappa Q(\chi) Q(\chi) \quad (2.58)$$

şeklinde yazılabilir<sup>(19)</sup>.

Burada  $n_d = (d^+ \cdot \bar{d})$   $Q(\chi) = (s^+ \bar{d} + d^+ s)^2 + \chi (d^+ \cdot \bar{d})^2$  operatördeki parametreler  $\varepsilon_d$ ,  $d$ -bozon uyarılma enerjisi,  $\kappa$  etkileşme şiddeti ve  $\chi$  kuadropol etkileşiminde yapı parametresidir. Parametreler, (2.46) Hamiltoenyenin özdeğerleri ile deneyel düşük enerji spektrumlarının çakıştırılması ile elde edilir. Eşitlik (2.46) deki Hamiltoenyenin özdeğerleri düşük enerjili deneyel uyarılma spektrumunu ayarlar.

Özel parametre seti, Denklem (2.46) deki Hamiltoenyen ve ilgili Dinamik simetrlilerle birlikte aşağıdaki gibidir<sup>(19)</sup>.

$$\kappa = 0$$

$$U(5)$$

$$\text{II} \quad \varepsilon_d = 0, \chi = -\frac{1}{2}\sqrt{7} \quad \text{SU}(3) \quad (2.59)$$

$$\text{III} \quad \varepsilon_d = 0, \chi = 0 \quad \text{O}(6)$$

Scholten ve arkadaşları tarafından tanımlanan  $\xi$  parametresi,<sup>(8)</sup> :

$$\xi = -\frac{\varepsilon_d}{Nk} \left(1 + \frac{\varepsilon_d}{Nk}\right)^{-1} \quad (2.60)$$

yardımıyla, parametre seti limitler arası durumlar için yazılabilir. Burada N toplam bozon sayısı, IBM deki limitler arası geçişler şu şekilde tanımlanabilir.

$$\text{O}(6) \rightarrow \text{U}(5); \xi = 0 \rightarrow \xi = 1; \chi = 0$$

$$\text{SU}(3) \rightarrow \text{U}(5); \xi = 0 \rightarrow \xi = 1; \chi = -\frac{1}{2}\sqrt{7} \quad (2.61)$$

$$\text{O}(6) \rightarrow \text{SU}(3); \xi = 0, \chi = 0 \rightarrow \chi = -\frac{1}{2}\sqrt{7}$$

Tüm bu parametrelere bağlı olarak elde edilen Hamiltonyen ise,

$$H = \frac{\kappa}{\xi - 1} (N \cdot \xi_d + (\xi - 1) Q(\chi) Q(\chi)) \quad (2.62)$$

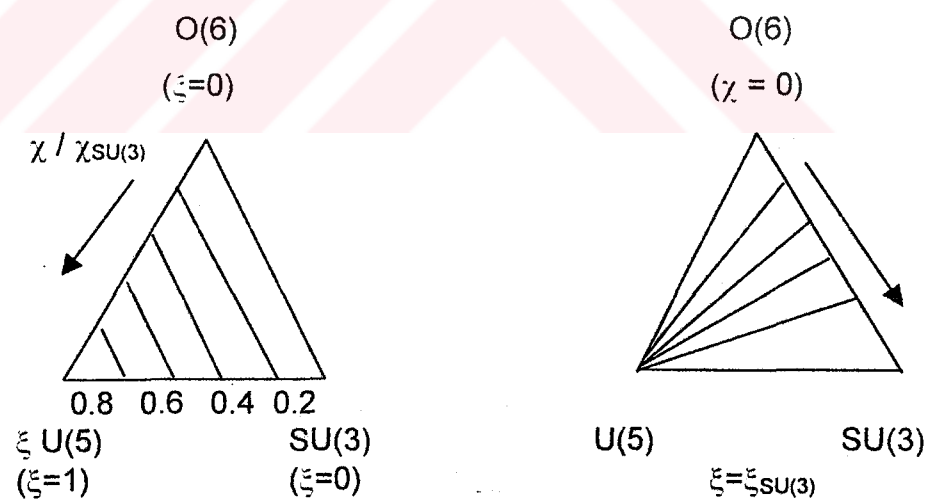
$$H = \frac{\kappa}{\xi - 1} H'(\xi, \chi)$$

olarak yeniden yazılabılır. Bu formalizmde, incelenen bir çekirdeğin simetri özelliklerini ortaya koymak için fit edilerek bulunan K ve  $\varepsilon_d$  değerleri yardımıyla hesaplanan  $\xi$  ve  $\chi$  ile karşılaştırılır. Genellikle fit edilerek elde

edilen bir parametre seti (2.49) ifadesinde verilen herhangi bir limit durumu parametreleri ile uyumlu olmadığı için çekirdeğin simetri üçgeninin iç bölgesinde yerleşmiş olması gereklidir. Böylece bir yerleşimi belirtmek amacıyla da yeni bir koordinat sistemine gereksinim vardır<sup>(19)</sup>.

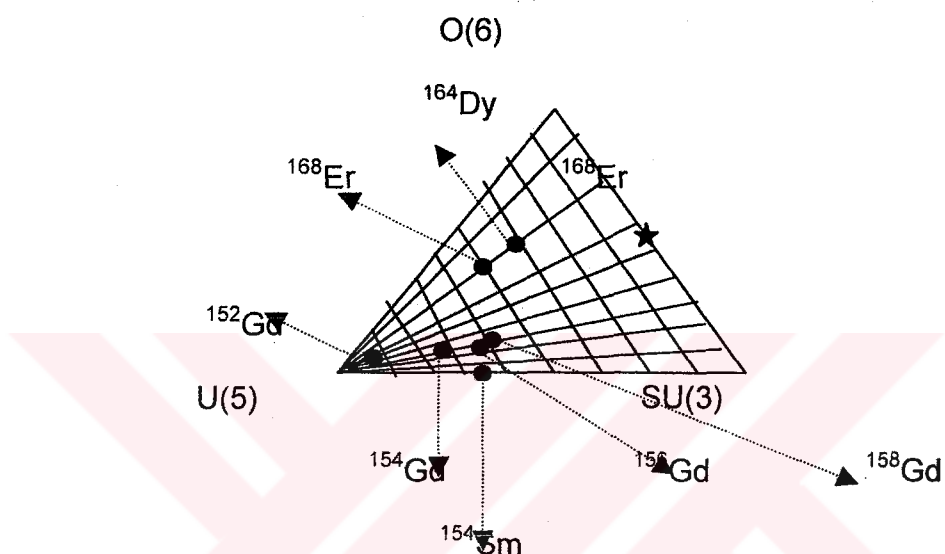
#### 2.2.4.1. Koordinat sisteminin oluşturulması

Koordinat sistemi şekil-2.5'de gösterilmiştir. Sabit  $\chi$  koordinat çizgileri, üçgenin U(5) köşesinden başlayarak O(6)-SU(3)'ü birleştiren kenarını  $\chi_{SU(3)}$  biriminde böler.  $\xi$  koordinat çizgileri O(6)-SU(3) kenarına paralel olarak yerleştirilir. Bu paralel çizgi hem SU(3)-U(5)'i hem de O(6)-U(5) kenarını ölçekler.



**Şekil 2.5** Koordinat sistemi ( sol taraf  $\xi$  koordinat çizgilerine göre sağ taraf  $\chi$  koordinat çizgilerine göredir)

Grafik gösterimi nadir toprak çekirdeklerinin parametre kümelerinin üçgen içerisinde hangi dinamik simetriye uygun olduğunu belirtmede kullanılır. Şekil-2.6 ’da görüleceği gibi çekirdeklerin yerlesimi dairesel olarak çizilmiştir.



**Şekil 2.6** IBM Faz üçgeninde çekirdeklerin yerleşimi

Burada verilen çekirdeklerin hiçbir SU(3) köşegenine yaklaşık yerleşmiş durumda değildir. Bu çekirdeklerin çoğu iyi rotorlar olarak bilinirler. Bununla birlikte, Gd izotoplarnın göreceli tabiatı çizgilerle gösterilen, titreşim bölgesinden rotasyonel çekirdeğe geçiş şeklinde düşünülebilir. Bu düşünce beklenenle oldukça uyum içerisindeidir. Buna ek olarak,  $^{168}\text{Er}$  çekirdeğinin ikinci alternatif yerleşimi üçgende yıldız şeklinde işaretlenmiştir.

### **2.3. Etkileşen Bozon Fermiyon Modeli ( IBFM )**

Daha önceki kısımlarda , etkileşen bozon modelinin genelleştirilmiş formunda tek sayıdaki proton veya nötronlar için bir anlatım yoktur. Bu kısımda ise etkileşen boson fermiyon modelde (IBFM) , U(5) limitinde bozon-nükleon etkileşimleri ile Hamiltonyen parametrelerinin nasıl indirgendiği ortaya konulacaktır.Nükleon çiftleri için yaratma ve yok olma operatörleri Hamiltonyen denklemi için geleneksel bir formda daha önce ortaya kondu. Bu formdan yararlanarak ilgili Hamiltonyen genişletilecek ve yeni form Tek-çift çekirdeklerde uygulanabilir hale getirilecektir.

#### **2.3.1. IBFM Hamiltonyen**

Daha önceki kısımlarda nükleer model çift proton ve çift nötron sayıları ile sınırlanmıştır. Bununla birlikte , bir çok çekirdek tek-çift (even-odd) veya tek-tek (odd-odd) nükleonlardan meydana gelmiştir. Bu çekirdekleri de içerecek şekilde, etkileşen boson modeli bozon konfigürasyonuna bir tek nükleon eklemekle genişletilebilir. Örneğin tek-tek çekirdek için, bir tek proton ve nötron eklemek gerekmektedir. Böylece bozon sayısı bir önceki kısımda da anlatıldığı gibi sabitlenmiş olacaktır. Eğer aktif bozonlar holler ise , nükleon hol durumu olarak ele alınmak zorundadır.

Bozonlar için küresel taban durumları bir nükleon durumu ile etkileştirildiğinde yapılrsa tek-çift çekirdek için en basit temel durum oluşturulur.Bu yalın durum aşağıdaki ifadede verilmiştir.

$$|N_B n_d \tau n_u J_B j JM\rangle \equiv \left| \left[ (N_B n_d \tau n_u)^{(J_B)} x_j \right]^{(j)} M \right\rangle \quad (2.63)$$

nükleonlar için , yaratma ve yok olma operatörleri ise,

$$a_{jm}^+, a_{jm}^-$$

şeklinde olup nükleon durumları ( $j,m$ ) olarak belirler. Yok olma operatörünün tensör formu ,

$$\tilde{a}_{jm} = (-1)^{j+m} a_{j,-m}$$

şeklindedir.

Nükleon operatörleri gerek yaratma ya da yok olma şeklinde olsun antisimetrik durumlara karşılık geldiklerinden komütasyon bağıntısını sağlamazlar. Dolayısı ile komütatörler anti-komütatörle değiştirilirler. Bozonlar ve nükleonlar için Hamiltoneyen operatörü , bozonların birbirleriyle etkileşmelerinden dolayı, nükleon-nükleon ve nükleon-bozon etkileşimini de içerir. Etkileşen bozon modeline benzer şekilde etkileşen bozon fermiyon hamiltoneyeni ,

$$H = H_B + H_F + V_{BF} \quad (2.64)$$

şeklinde yazılabilir.

Bozon kısmı  $H_B$  IBM-I Hamiltoneyen ile ifade edilir. Saf nükleon Hamiltoneyeni  $H_F$  benzer şekilde aşağıdaki eşitlikle ifade edilebilir.

$$H_F = E_0 + \sum j \varepsilon_j \sqrt{2j+1} [a_{j,j}^+ x a_{j,j}^-]^{(0)} + \sum J j' j'' j''' c^{(j')} j'' j''' \\ [ [a_{j,j}^+ x a_{j,j}^+]^{(j)} x [a_{j,j}^- x a_{j,j}^-]^{(j)} ] \quad (2.65)$$

bu noktadan sonra ifadeler tek-çift çekirdekler için sınırlanacaktır. Bu nedenle , yukarıdaki eşitlikdeki son toplam dikkate alınmayacaktır. Böylelikle tek nükleon üzerine toplam bir katkı ihmal edilmiş olacaktır.  $\varepsilon_j$  niceliği

(jm) nükleon durumunun tek-nükleon enerji terimidir. Bozon-fermiyon etkileşimi ifadesi aşağıdaki eşitlikle,

$$V_{BF} = \sum l_1 l_2 j_1 j_2 V^{(j)} l_1 l_2 j_1 j_2 [b_{l_1}^+ x a_{j_1}^-]^{(j)} x [b_{l_2}^- x a_{j_2}^-]^{(j)} \quad (2.66)$$

verilir. Burada  $(l_1, l_2) = 0,2$  ve  $(j_1, j_2) = 1/2, 3/2, 5/2, \dots$  şeklindedir,  $b$  bozon operatörünü temsil etmektedir.  $V^{(j)} l_1 l_2 j_1 j_2$  kat sayıları bozon-fermiyon etkileşiminde matris elemanlarını ifade edecek şekilde ,

$$V^{(j)} l_1 l_2 j_1 j_2 = \langle b_{l_1} a_{j_1} | V_{BF} | b_{l_2} a_{j_2} \rangle. \quad (2.67)$$

ile verilir.  $V^{(j)} l_1 l_2 j_1 j_2$  nicelikleri kendi aralarında lineer bağımlıdırlar. Tek nükleon spin için  $j_1 = j_2 = j_n$  durumu, yukarıda verilen eşitliğin daha indirgenmiş bir şekilde yazılmasına yardım eder.

$$V_{BF} = \sum l_1 l_2 j_1 j_2 c^{(j)} l_1 l_2 j_1 j_2 [b_{l_1}^+ x b_{l_2}^-]^{(j)} x [a_{j_1}^- x a_{j_2}^-]^{(j)} \quad (2.68)$$

ifadesindeki  $c^{(j)} l_1 l_2 j_1 j_2$  katsayısı  $V^{(j)} l_1 l_2 j_1 j_2$  teriminin lineer kombizonudur, çarpanları 9-j sembollerini içerirler. d - ve s - operatörleri cinsinden  $V_{BF}$  yeniden yazılacak olursa ,

$$\begin{aligned} V_{BF} = & \sum j c^{(0)} 00jj [s^+ x s]^{(0)} x [a_{j_1}^+ x a_{j_1}^-]^{(0)} + \\ & \sum j c^{(0)} 22jj [d^+ x d^-]^{(0)} x [a_{j_1}^+ x a_{j_1}^-]^{(0)} + \sum j_1 j_2 c^{(2)} 02j_1 j_2 \cdot \\ & \left[ [s^+ x d^-]^{(2)} + [d^+ x s]^{(2)} + (c^{(2)} 22j_1 j_2 / c^{(2)} 02j_1 j_2) [d^+ x d^-]^{(2)} \right] x [a_{j_1}^+ x a_{j_2}^-]^{(2)} \\ & + \sum j_1 j_2 j = 1,3,4 c^{(j)} 22j_1 j_2 \left[ [d^+ x d^-]^{(j)} x [a_{j_1}^+ x a_{j_2}^-]^{(j)} \right]^{(0)} \end{aligned} \quad (2.69)$$

Yukarıdaki son terim  $\left[ [d^+ x d^-]^{(j)} x [a_{j_1}^+ x a_{j_2}^-]^{(j)} \right]^{(0)}$  sıkılıkla başka bir formda yazılır :

$$[a_{j_1}^+ x a_{j_2}^-]^{(j)}_M = (-1)^{j_1+j_2-j} \sum_{m_1 m_2} (j_2 m_2 j_1 m_1 | JM) a_{j_1}^+ a_{j_2}^- \quad (2.70)$$

bu noktadan sonra bozon operatörler nükleon operatörleri olarak yazılabilir<sup>(110)</sup>.  $a_{j_1}^+ a_{j_2}^- \equiv a_{j_1}^- a_{j_2}^+$  böylece,

$$[a_{j_1}^+ x a_{j_2}^-]^{(j)}_M = (-1)^{j_1+j_2-j} [a_{j_1}^- x a_{j_2}^+]^{(j)}_M \quad (2.71)$$

yazılabilir.

$$Q_B (\chi_{j_1 j_2})_\mu = [d^+ x s]^{(2)}_\mu + [s^+ x d^-]^{(2)}_\mu + \chi_{j_1 j_2} [d^+ x d^-]^{(2)}_\mu \quad (2.72)$$

$Q_B$  kuadropol operatör terimi de eklenecek bozon-fermiyon etkileşim ifadesi Hamiltonyen denkleminde yerini alacak şekilde elde edilmiş olur. Böylece,

$$\begin{aligned} V_{BF} = & \sum j c^{(0)}_{00jj} N n_j - \sum j A_j n_d n_j / \sqrt{5(2j+1)} + \\ & \sum j_1 j_2 \Gamma_{j_1 j_2} [Q_B (\chi_{j_1 j_2}) x [a_{j_1}^+ x a_{j_2}^-]^{(2)}]^{(0)} + \\ & \sum j_1 j_2 \Lambda^{(j)} j_2 j_1 : [[d^- x a_{j_1}^-]^{(j)} x [a_{j_1}^+ x d^-]^{(j)}]^{(0)} \end{aligned} \quad (2.73)$$

birimde yazılır. Burada sağ taraftan ikinci terim monopol terimidir. Daha sonra sırasıyla kuadropol ve değişim terimleri gelmektedir.

### 2.3.2. U(5) Limitinde Etkileşen Bozon Fermiyon Model

Eğer  $H_B$  Hamiltonyen özel bir form olarak U(5) limitinde ifade edilecek olursa,  $H_B$  'nin özfonsksiyonunun özdeğer denklemi<sup>(110)</sup>,

$$E^{(0)}_B = \varepsilon_n N + v_n N^2 + (\varepsilon_d' + v_{nd} N) n_d + v_d n_d^2 + v_t \tau (\tau + 3) + v_i J_B (J_B + 1) \quad (2.74)$$

şeklindedir.

$|N_B n_d \tau n_A J_B j JM\rangle \equiv \left| \left[ (N_B n_d \tau n_A)^{(J_B)} x_j \right]^{(J)} M \right\rangle$  bazındaki  $H_B$  matris operatör sadece diyagonal elemanlara sahiptir.  $H_F$ , normalde bir tek-nükleon için diyagonal olup  $\varepsilon_j$  özdeğerlerine sahiptir. Hamiltonyenin tüm özdeğerlerini bulmak için özellikle  $V_{BF}$  diyagonalleştirilmek zorundadır. Bunun içinde birbirinden bağımsız uygun terimlerin bulunması zorunluluğu vardır. Çünkü  $V_{BF}$  ifadesindeki monopol terim yalnızca sayı operatörlerini içermekte olup, bütün diyagonal matris elemanlarına birimsel bir katkı sağlamaktadır.  $V_{BF}$  'deki kuadropol terimler,

$$\sum j_1 j_2 \Gamma_{j_1 j_2} \left[ [d^+ x s + s^+ x d^-]^{(2)} x [a_{j_1}^+ x a_{j_2}^-]^{(2)} \right]^{(0)}$$

ve

$$\sum j_1 j_2 \chi_{j_1 j_2} \Gamma_{j_1 j_2} \left[ [d^+ x d^-]^{(2)} x [a_{j_1}^+ x a_{j_2}^-]^{(2)} \right]^{(0)}$$
(2.75)

operatörlerini içermektedir. İlk operatör enerji matrisindeki diyagonal olmayan elemanları türetmektedir. Deneyimler eğer  $\varepsilon_d$ ' çok büyük bir değerde olursa, bunun katkısının ihmali edilebilecek olduğunu göstermiştir. İkinci operatör diyagonal matris elemanlarına katkıda bulunmaktadır. Tek d-bozonunun bir nükleon durumun  $|jm\rangle$ 'nin çiftlendiği hali göz önüne alalım.

Diyagonal terimler,

$$\langle s^{N-1} [dxj]^{(J)} M \left| \left[ [d^+ x d^-]^{(2)} x [a_{j_1}^+ x a_{j_2}^-]^{(2)} \right]^{(0)} \right| s^{N-1} [dxj]^{(J)} M \rangle =$$

$$\sum j_1 j_2 (2j_1 + 1) \{^{2j_1} j\} {}^{2j_2} j \langle [dxj]^{(J)} M \left| \left[ [d^+ x a_{j_1}^+]^{(J)} x [d^- x a_{j_2}^-]^{(J)} \right]^{(0)} \right| [dxj]^{(J)} M \rangle = \quad (2.76)$$

$$\sum_{JM} \sqrt{5} (-1)^{1+2J-M} \{^{2j_1} j\} {}^{2j_2} j \langle [dxj]^{(J)} M \left| \left[ [d^+ x a_{j_1}^+]^{(J)} M \left[ [d^- x a_{j_2}^-]^{(J)} \right]^{(M)} \right]^{(0)} \right| [dxj]^{(J)} M \rangle$$

şeklinde olup yeniden çiftlenim terimleri arasındaki ilişki belirlenmiş durumdadır.

Bir durumun enerjisi d-bozonu olarak çiftlenmiş j-nükleonlar tarafından  $2j+1$  yada 5 olarak saçılım düzeylerle temsil edilir. Buradaki saçılma geometrik faktörle doğru orantılıdır ve  $J (2 + j \geq J \geq |2 - j|)$  terimine bağlıdır.

$H_B$ ,  $H_F$  ve  $V_{BF}$  operatörleri oldukça fazla sayıda serbest parametrelere bağlı olması nedeniyle model kullanışsız gibi gözükse de bu parametreler indirgenebilir. Özellikle  $V_{BF}$  operatöründe yapılacak bir iyileştirme işi daha kolaylaştıracaktır. Etkileşen bozon modeli ile kabuk modelini birbirine bağlayan mikroskopik teori yardımıyla bir takım faydalı genelleştirmeler yapılmaktadır.  $V_{BF}$  operatöründeki terimleri indirmek üzere aşağıdaki eşitlikler yazılabilir,

$$\begin{aligned} \Lambda_j &= -\sqrt{5(2j+1)}A_0 \\ \Gamma_{j_1j_2} &= \sqrt{5}\gamma_{j_1j_2}\Gamma_0 \quad \gamma_{j_1j_2} = (u_{j_1}u_{j_2} - v_{j_1}v_{j_2})Q_{j_1j_2} \\ \Lambda_{j_1j_2}^j &= -2\sqrt{5/(2j+1)}\varphi_{j_1j_2}\Lambda_0 \quad \varphi_{j_1j_2} = (u_{j_1}u_{j_2} - v_{j_1}v_{j_2})Q_{j_1j_2} \end{aligned} \quad (2.77)$$

yukarıdaki ifadeler yardımcı ile  $V_{BF}$  sadece üç parametreye bağlı hale gelmiş durumdadır. Bunlar sırasıyla  $A_0$ ,  $\Gamma_0$  ve  $\Lambda_0$  parametreleridir.

Tek  $^{159-165}\text{Er}$  izotoplarının enerji spektrumlarının tamamı yüksek spin bandları  $I=13/2^+$  den başlamaktadır.  $^{159-165}\text{Er}$  izotopları 68 proton ve 93-97 nötrondan oluşmaktadır. Proton ve nötronlar  $N=82$  kapalı kabuğun üst kısmındaki yörüngeleri doldurmaktadır ve 9-15 nötron düzeyi olarak karakterize edilmektedir.  $^{159-165}\text{Er}$  izotoplarının IBFA'de uygun tanımlayabilmek için, tek bir fermiyonun (nötron) çift-çift nükleer kora  $^{158-164}\text{Er}$  çiftlenmesi gerekmektedir. Kapalı kabuğa en yakın pozitif paritetli uygun

durum yalnızca  $i=13/2$  nötron yörüngesidir. Bundan dolayı enerji spektrumu hesabında bu değer hesaplamalara katılmıştır. Seçilen dalga fonksiyonu ile elde edilen enerji seviyelerinin doğruluğunu test etmek için genelde  $B(E2)$  değerleri incelenmelidir. Etkileşen bozon fermiyon yaklaşımında  $E2$  geçiş operatörü için kullanılan operatörler,

$$T^{(2)} = e_B T_B^{(2)} + e_F T_F^{(2)}$$

şeklindedir. Burada bozonik operatör<sup>(109)</sup>,

$$T_B^{(2)} = (s^+ x \tilde{d} + d^+ x s)^{(2)} + \chi (d^+ x \tilde{d})^{(2)}$$

Şeklinde verilir. İlgili dinamik simetri değeri  $\chi = -\frac{\sqrt{7}}{2}$  olup fermiyonik operatör,

$$T_F^{(2)} = \sum_{ij} T_{ij}^{(2)} (a_i^+ x \tilde{a}_j)^{(2)}$$

şeklindedir. Hesap edilen  $B(E2)$  değerlerinde,  $E2$  geçiş oranlarının hesabında bozon ve fermiyon etkin yükler sırasıyla  $e_B = 0.13eb$  ve  $e_F = -0.15eb$  olarak seçilmiştir.<sup>(108)</sup> Gözlemlenen  $B(E2)$  değerleri oldukça sınırlı olması nedeni ile bazı değerler için deneysel veriler Mevcut değildir.

İyi deform olmuş erbiyum izotopları için IBFM'de yüksek spin düzeyler için hesaplamalar yapılmaktadır<sup>(107-109)</sup>. Bu cebirsel model bütün Kolektif serbestlik derecesine sahip durumlara uygulanabilmektedir. Etkileşen parametrelerin küçük değişimleri ile çekirdeklerin kollektif özelliklerini hesaplamak bu modelle mümkün olabilmektedir.

### **3. ARAŞTIRMA BULGULARI**

#### **3.1. Bazı Çift-Çift Erbiyum İzotoplarının İncelenmesi**

$150 \leq A \leq 190$  deforme bölge ortalarında bulunan Erbiyum çekirdekleri, bu bölgenin temel yapısını incelememize kaynak teşkil ederler. Bölgenin tipik özelliği, çekirdeklerin vibrasyonel yapıdan rotasyonel yapıya geçtiği ve rotasyonel yapının baskın olduğu kısımdır. Bundan dolayı çift-çift  $^{162-168}\text{Er}$  izotoplari birçok araştırmacının ilgisini çekmiş, değişik metod ve teoriler kullanılarak bu çekirdekler detaylı olarak incelenmiştir. Bu çekirdeklerin deneysel ve teorik incelenmesi halen devam etmektedir. Özellikle, son yıllarda teorik çalışmalar Etkileşen Bozon Modeli (IBM) etrafında yoğunlaşmıştır.

Bu bölümde, deforme bölge ortalarında bulunan nadir toprak elementlerinden Erbiyum izotoplarının bozunum şemaları verilerek enerji düzeyleri, bu düzeyler arasındaki geçişler ve kutupsallıklar incelenmiştir. Bu elektromanyetik geçişlerin  $\delta(E2/M1)$  kutupsal karışım oranları hesaplanmış; her bir izotop için  $0^+$  taban durumundan ilk uyarılmış düzey olan  $2^+$  durumuna geçişin olasılıkları  $B(E2) \uparrow$ , temel hal bandının üyeleri arasındaki  $B(E2; L \rightarrow L - 2)$  geçiş olasılıkları,  $\beta_0$  ve  $\beta_2$  deformasyon parametreleri, özkuadropol momenti  $Q_0$  ve  $Q_{2+}$  kuadropol momentleri hesaplanmış, sonuçlar çizelgeler halinde verilmiştir.

**Çizelge-3.1 IBM-2 Hamiltonyen Parametreleri (MeV)**

Parametre	$^{162}\text{Er}$	$^{164}\text{Er}$	$^{166}\text{Er}$	$^{168}\text{Er}$	$^{170}\text{Er}$
$\epsilon_d$	0.284	0.269	0.232	0.200	0.180
$\kappa$	-0.06	-0.05	-0.04	-0.02	-0.02
$\chi_v$	-0.45	-0.46	-0.49	-0.61	-0.64
$\chi_\pi$	-0.55	-0.56	-0.59	-0.71	-0.74
$\xi_{1,2}$	0.15	0.15	0.15	0.18	0.17
$\xi_3$	0.14	0.13	0.12	0.18	0.17
E2SD	0.177	0.167	0.162	0.184	0.159
E2DD	-0.10	-0.10	-0.10	-0.10	-0.10
M1	0.10	0.10	0.10	0.10	0.10
M1Q	-0.10	-0.10	-0.10	-0.10	-0.10

Çift-çift çekirdekler için ilgili Hamiltonyenin diyagonalleştirilmesi, özdurumlar arası elektromanyetik matris elemanlarının hesaplanması, Program PHINT (Ek. 1) kullanılarak, çizelge-3.1'de verilen IBM-2 parametreleri<sup>(120)</sup> yardımı ile yapıldı.

### 3.1.1. $^{162}\text{Er}$ Çekirdeği

Son yıllarda daha önceki teorik modellere alternatif olarak grup teorisini tekniklerini kullanan Etkileşen Bozon Modeli orta ve ağır çekirdeklerin elektromanyetik özelliklerinin incelenmesine yaygın olarak uygulanmaktadır. Bu model orta ve ağır çekirdeklerin düşük enerjili durumlarının incelenmesinde oldukça başarılıdır.  $^{162}\text{Er}$  çekirdeği deformasyonlu bir çekirdektir. Bu çekirdek, Boer ve ark.(1971,1974), Tjøm ve ark.(1968), West ve ark.(1976), Ronningen ve ark.(1977), T.J. Humanie ve ark.(1982) gibi bir çok araştırmacı tarafından deneysel ve çeşitli modeller yardımı ile

teorik olarak incelenmiş ve bu çalışmalarda deneysel ve teorik olarak enerji düzeyleri,  $B(E2)$  geçiş olasılıkları, karışım oranları gibi birçok elektromanyetik özellik hesaplanmıştır<sup>(55)</sup>.

**Çizelge- 3.2**  $^{162}\text{Er}$  izotopunun Enerji Düzeyleri

Band Yapısı $K^\pi$	Spin Parite $I^\pi$	Deneysel Enerji Düzeyleri(MeV)
Temel Hal Bandı $K^\pi=0^+$	$0^+$	0.00
	$2^+$	0.102
	$4^+$	0.329
	$6^+$	0.666
	$8^+$	1.097
	$10^+$	1.604
Gama Vibrasyonel Bandı $K^\pi=2^+$	$2^+$	0.901
	$3^+$	1.001
	$4^+$	1.129
	$5^+$	1.286
	$6^+$	1.460
	$7^+$	1.670
	$8^+$	1.883
	$0^+$	1.087
Beta Vibrasyonel Bandı $K^\pi=0^+$	$2^+$	1.171
	$4^+$	-
	$6^+$	-
	$8^+$	-

$^{162}\text{Er}$  çekirdeğine ait uyarılmış düzeylerin basitleştirilmiş bozunum şeması Şekil-3.1'de verilmiştir<sup>(115)</sup>. Bozunum şemasının incelenmesinden de görüleceği gibi, temel hal bandının üyeleri,  $0^+[0\text{ MeV}]$ ,  $2^+[0.102\text{ MeV}]$ ,  $4^+[0.329\text{ MeV}]$ ,  $6^+[0.666\text{ MeV}]$ ,  $8^+[1.097\text{ MeV}]$ ,  $10^+[1.604\text{ MeV}]$  düzeyleridir. Gama vibrasyonel bandın üyeleri,  $2^+[0.901\text{ MeV}]$ ,  $3^+[1.001\text{ MeV}]$ ,  $4^+[1.129\text{ MeV}]$ ,  $5^+[1.286\text{ MeV}]$ ,  $6^+[1.460\text{ MeV}]$ ,  $7^+[1.670\text{ MeV}]$  düzeyleridir. Beta

vibrasyonel bandının üyeleri ise  $0+[1.087 \text{ MeV}]$ ,  $2^+[1.171 \text{ MeV}]$  düzeyleridir. Bu veriler daha açıklayıcı bir şekilde Çizelge 3.2'de verilmiştir.

### **3.1.1.1. $^{162}\text{Er}$ çekirdeğinin Enerji Düzeyleri ve Geçişlerin Kutupsallığı**

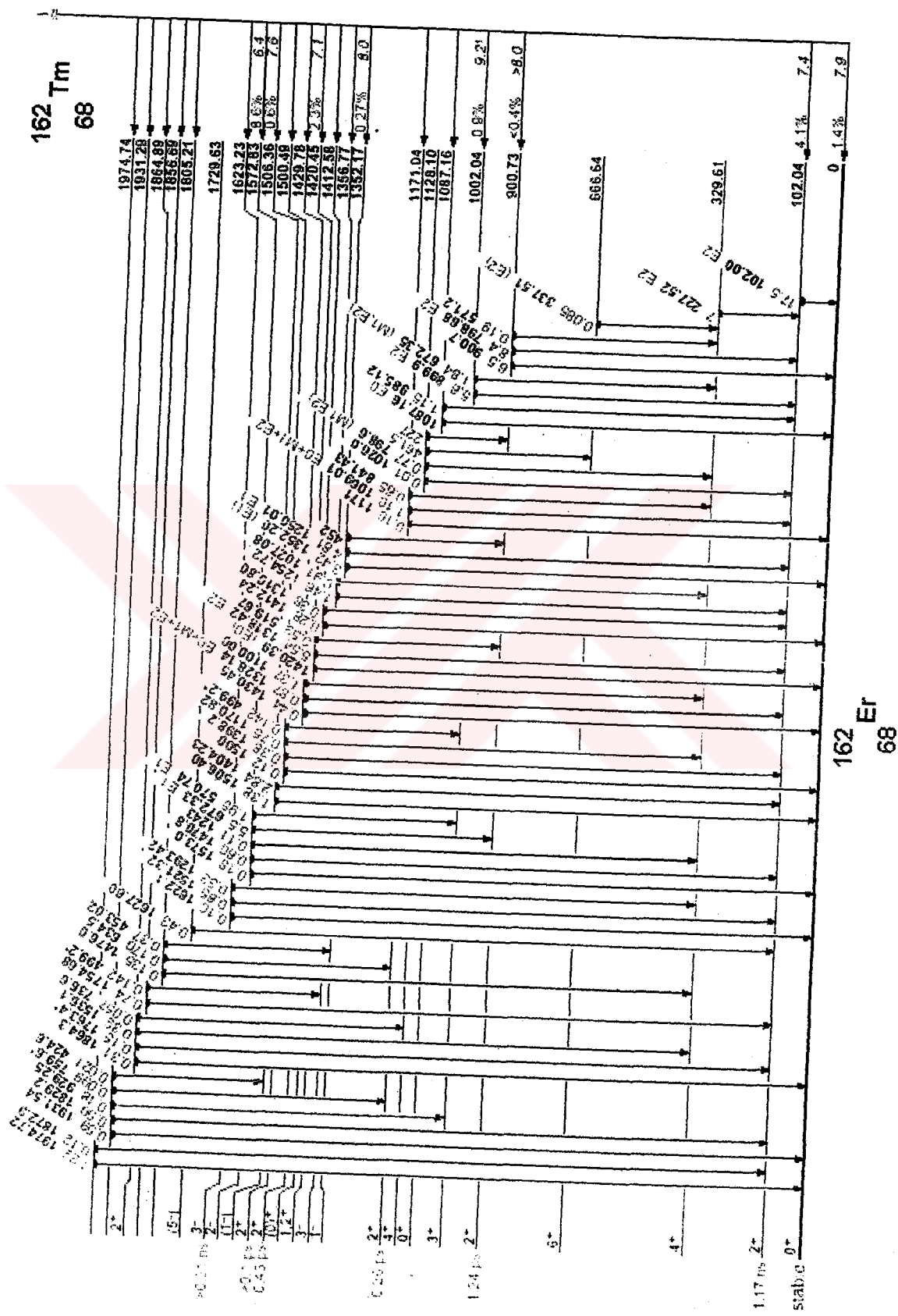
0.10204 MeV Düzeyi :  $K^\pi = 0^+$  temel hal bandının bir üyesi olup spin paritesi  $2^+$  olarak tayin edilmiştir. Bu enerji düzeyinden  $2^+[0.10204 \text{ MeV}]0^+$  ışını geçiş yapar ve kutupsallığı E2 olarak tayin edilmiştir.

0.32961 MeV Düzeyi : Temel hal bandının bir üyesi olup spin paritesi  $4^+$  dır. Bu enerji düzeyinden  $4^+[0.2275 \text{ MeV}]2^+$  ışını kutupsallığı E2 olan bir geçiş yapar.

0.66664 MeV Düzeyi : Temel hal bandının bir üyesidir. Spin paritesi  $6^+$  olan bu düzeyden  $6^+[0.3370 \text{ MeV}]4^+$  ışını geçişi gözlenir. Bu geçişin kutupsallığı E2 şeklinde elde edilmiştir.

0.90073 MeV Düzeyi :  $K^\pi = 2^+$  gama vibrasyonel bandının bant başıdır ve spin paritesi  $2^+$  dır. Bu düzeyden  $2^+[0.5712 \text{ MeV}]4^+$  ışını geçiş yapar. Yine bu düzeyden  $2^+[0.7986 \text{ MeV}]2^+$  ışını ile  $2^+[0.9007 \text{ MeV}]0^+$  ışını geçiş yaparlar ve bu iki geçişin kutupsallığı E2 olarak tayin edilmiştir.

1.00204 MeV Düzeyi : Spin paritesi  $3^+$  olan gama vibrasyonel bandındaki bu düzeyden  $3^+[0.899 \text{ MeV}]2^+$  ışını ve  $3^+[0.672 \text{ MeV}]4^+$  ışını geçiş yaparlar. Bu geçişlerin kutupsallığı sırasıyla E2,E2+M1 dir.



**Şekil 3.1**  $^{162}\text{Er}$  Çekirdeğine ait uyarılmış düzeylerin basitleştirilmiş bozunum şeması

1.08716 MeV Düzeyi : Temel hal bandının bir üyesi olan enerji düzeyinin spin paritesi  $0^+$  olarak tespit edilmiştir. Bu düzeyden kutupsallığı E0 olan  $0^+[1.0817 \text{ MeV}]0^+$  ışını geçişi Mevcuttur.

1.1281 MeV Düzeyi : Bu enerji düzeyi gama vibrasyonel bandının bir üyesi olup spin paritesi  $4^+$  olarak tespit edilmiştir. Bu düzeyden  $4^+[1.026 \text{ MeV}]2^+$  ve  $4^+[0.7966 \text{ MeV}]4^+$  ışınları geçiş yaparlar. Bu geçişlerin kutupsallıkları M1 ve E2 şeklindedir.

1.17104 MeV Düzeyi : Spin paritesi  $2^+$  olan gama vibrasyonel bandındaki bu düzeyden,  $2^+[1.171 \text{ MeV}]0^+$ ,  $2^+[1.069 \text{ MeV}]2^+$  ve  $2^+[0.841 \text{ MeV}]4^+$  ışını geçiş yapar. Bu geçişlerin kutupsallıkları E0, E2+M1 şeklindedir.

1.35217 MeV Düzeyi: Spin paritesi  $1^-$  olan bu düzeyden  $1^-[1.352 \text{ MeV}]0^+$ ,  $1^-[0.452 \text{ MeV}]2^+$  geçişleri gözlenmektedir. İlk iki geçişin kutupsallıkları E1 şeklindedir.

1.42045 MeV Düzeyi : Bu düzeyin spin paritesi  $0^+$  dır. Bu düzeyden geçiş yapan ışınlar sırasıyla  $0^+[1.430 \text{ MeV}]0^+$ ,  $0^+[1.328 \text{ MeV}]2^+$  ve  $0^+[1.100 \text{ MeV}]4^+$  şeklindedir. Bu geçişlerin kutupsallığı E0+M1+E2 şeklindedir.

1.50049 MeV Düzeyi : Spin paritesi  $2^+$  olan bu düzeyden  $2^+[1.5006 \text{ MeV}]0^+$  ve  $2^+[1.404 \text{ MeV}]2^+$  geçişleri Mevcut bulunup, kutupsallıkları hakkında deneysel bilgi yoktur.

### 3.1.1.2. $^{162}\text{Er}$ Çekirdeğinin Kutupsal Karışım Oranları

$^{162}\text{Er}$  çekirdeği için verilen enerji düzeyleri arasındaki elektromanyetik geçişlerde, Etkileşen Bozon Modeli yardımıyla hesaplanan karışım oranları  $\delta(\text{E}2/\text{M}1)$  değerleri Çizelge-3.3' de verilmiştir.

**Çizelge 3.3**  $^{162}\text{Er}$  izotopu için hesaplanan  $\delta(\text{E}2/\text{M}1)$  Karışım Oranları

Başlangıç Enerjisi	Geçiş Enerjisi	Spin-Parite	Karışım Oranı
$E_i(\text{MeV})$	$E_\gamma(\text{MeV})$	$I_f^\pi \rightarrow I_s^\pi$	$\delta(\text{E}2/\text{M}1)$
0.9012	0.799	$2^- \rightarrow 2_g^+$	13
1.002	0.673	$3_-^+ \rightarrow 4_g^+$	0.25
1.1294	0.800	$4_-^+ \rightarrow 4_g^+$	5.17
1.2860	0.957	$5_-^+ \rightarrow 4_g^+$	7.71
	0.620	$5_-^+ \rightarrow 6_g^+$	0.10
1.460	0.793	$6_-^+ \rightarrow 6_g^+$	3.5
	0.173	$6_-^+ \rightarrow 5_g^+$	2.02
1.670	1.003	$7_-^+ \rightarrow 6_g^+$	3.49

Karışım oranları için elde edilen bu değerler, daha ileriki sonuç ve tartışmalar kısmında deneysel ve diğer teorik sonuçlarla karşılaştırılıp, aralarındaki uyum tartışılacaktır.

### 3.1.1.3 $^{162}\text{Er}$ Çekirdeği için Hesaplanan $B(\text{E}2)$ Geçiş olasılıkları $\beta_0$ ve $\beta_2$ Deformasyon Parametreleri, $Q_0$ ve $Q_{2+}$ Kuadropol Momentleri

$^{162}\text{Er}$  çekirdeği için temel hal bandının üyeleri arasındaki  $B(\text{E}2)$  geçiş olasılıkları hesaplandı ve Çizelge-3.4' de verildi.

**Çizelge 3.4**  $^{162}\text{Er}$  İzotopu için hesaplanan B(E2) Geçiş olasılıkları

Spin-Parite		Geçiş Olasılığı
$I_I^\pi$	$I_s^\pi$	B(E2) ( $e^2 b^2$ )
$2^+$	$0^+$	1.13
$4^+$	$2^+$	1.62
$6^+$	$4^+$	1.79
$8^+$	$6^+$	1.86
$10^+$	$8^+$	1.81

$^{162}\text{Er}$  çekirdeği  $0^+$  taban durumundan ilk uyarılmış düzey olan  $2^+$  durumuna geçişin olasılığı  $B(E2; 0^+ \rightarrow 2^+) = 1.13$  eb olarak hesap edildi. Bu geçiş olasılığı literatürde indirgenmiş geçiş olasılığı şeklinde adlandırılır ve  $B(E2)\uparrow$  ile gösterilir. Bu değerler kullanılarak özkuadropol momenti  $Q_0 = 7.53$  eb ve kuadropol momenti  $Q_{2+} = 2.11$  eb olarak hesaplandı. Deformasyon parametresi  $\beta_0 = 0.228$  ve  $\beta_2 = 0.307$  olarak hesaplandı.

**Çizelge 3.5**  $^{162}\text{Er}$  İzotopu için Hesaplanan Bazı Parametreler

$B(E2)\uparrow(e^2 b^2)$	$Q_0(\text{eb})$	$Q_{2+}(\text{eb})$	$\beta_0$	$\beta_2$
5.65	7.53	2.11	0.228	0.307

### 3.1.2. $^{164}\text{Er}$ Çekirdeği

Deforme bölge ortalarında bulunan çift-çift  $^{164}\text{Er}$  izotopunun nötron sayısı  $N \geq 92$  olduğundan iyi deform olmuş ve rotasyonel karaktere sahip bir çekirdek olarak ele alınır. Bu izotopun nükleer yapısıyla ilgili çeşitli metotlar araştırmacılar tarafından incelenerek rapor edilmiştir. Tj̄fm ve

Elbek, erbiyum çekirdeklerinde kolektif vibrasyonel durumları üzerinde çalışılar<sup>(56)</sup>. Jett ve Lind, buharlaşma reaksiyonları ile uyarılan  $^{164}\text{Er}$ 'ün rotasyonel durumlarını incelediler<sup>(57)</sup>. West ve ark.,( $\alpha, 2n\gamma$ ) reaksiyonunu kullanıp  $^{164-168}\text{Er}$  çekirdeklerinin düzeylerini ve  $\delta(M2/E1)$  karışım oranlarını hesapladılar<sup>(58)</sup>.

**Çizelge 3.6**  $^{164}\text{Er}$  izotopunun Enerji Düzeyleri

Band Yapısı $K^\pi$	Spin Parite $I^\pi$	Deneysel Enerji Düzeyleri(MeV)
Temel Hal Bandı	$0^+$	0.0000
$K^\pi=0^+$	$2^+$	0.0913
	$4^+$	0.2994
	$6^+$	0.6144
	$8^+$	0.0246
Gama	$2^+$	0.8603
Vibrasyonel Bandı	$3^+$	0.9463
$K^\pi=2^+$	$4^+$	1.0583
	$5^+$	1.1975
	$6^+$	1.3586
	$7^+$	1.5443
Beta	$0^+$	1.2460
Vibrasyonel Bandı	$2^+$	1.3145
$K^\pi=0^+$	$4^+$	1.4699
$K^\pi=4^+$	$4^-$	1.7022
Oktupol Bandı $K^\pi=0^-$	$1^-$	1.3867
	$3^-$	1.4340
Oktupol Bandı $K^\pi=5^-$	$5^-$	1.6641
	$6^-$	1.7445

Ronningen ve ark., Coulomb uyarılması yöntemi ile B(E2) geçiş olasılıklarını belirlediler<sup>(55)</sup>. Kumar ve Grunye, kendi içinde uyumlu kuadropol artı eşleşme etkileşim modeli ile  $\beta_0$  deformasyon parametresi,  $Q_0$  kuadropol momentleri ve B(E2) geçiş olasılıklarını hesapladılar<sup>(59)</sup>. Fields ve ark.,  $^{164}\text{Er}$  çekirdeğinin negatif bandları üzerinde çalıştilar<sup>(60)</sup>. Lipas ve ark.,  $^{164}\text{Er}$  çekirdeğinin  $\delta(\text{E2/M1})$  karışım oranını incelediler<sup>(18)</sup>. Raman ve ark., temel hal düzeyinden ilk uyarılmış  $2^+$  düzeyine geçişlerin olasılıklarını araştırarak, bu izotopa ait  $\beta_2$  ve  $Q_0$  değerlerini elde ettiler<sup>(61)</sup>. Varshney ve ark., yüksek spinli düzeylerden geçişler için B(E2) değerlerini verdiler<sup>(62)</sup>. Nazarewicz ve ark., bu çekirdeğe ait  $\beta_0$  ve  $\beta_2$  deformasyon parametrelerini teorik olarak hesapladılar<sup>(20)</sup>. Son yıllarda bu çekirdek Chuu ve Hsieh<sup>(63)</sup>, Jarrio ve ark.<sup>(21)</sup> ve Chakrabarti ve ark.<sup>(24)</sup> tarafından incelenmiştir.

$^{164}\text{Er}$  çekirdeğine ait uyarılmış düzeylerin basitleştirilmiş bozunum şeması Şekil 3.2'de verildi<sup>(115)</sup>. Bozunum şemasının incelenmesinden de görüleceği gibi, temel hal bandının üyeleri,  $0^+[0 \text{ MeV}]$ ,  $2^+[0.09139 \text{ MeV}]$ ,  $4^+[0.29947 \text{ MeV}]$ ,  $6^+[0.6144 \text{ MeV}]$ ,  $8^+[1.0246 \text{ MeV}]$  düzeyleridir. Gama vibrasyonel bandın üyeleri,  $2^+[0.86031 \text{ MeV}]$ ,  $3^+[0.94635 \text{ MeV}]$ ,  $4^+[1.0583 \text{ MeV}]$ ,  $5^+[1.1975 \text{ MeV}]$ ,  $6^+[0.3586 \text{ MeV}]$ ,  $7^+[1.5443 \text{ MeV}]$  düzeyleridir. Beta vibrasyonel bandının üyeleri ise  $0^+[1.24602 \text{ MeV}]$ ,  $2^+[1.31457 \text{ MeV}]$ ,  $4^+[1.4699 \text{ MeV}]$  düzeyleridir.  $1^-[1.38677 \text{ MeV}]$ ,  $3^-[1.43403 \text{ MeV}]$ ,  $5^-[1.6641 \text{ MeV}]$  ve  $6^-[1.74457 \text{ MeV}]$  düzeyleri de oktopol bandının üyeleridir. Bu veriler daha açıklayıcı bir şekilde Çizelge 3.6' da verilmiştir.

### **3.1.2.1. $^{164}\text{Er}$ çekirdeğinin Enerji Düzeyleri ve Geçişlerin Kutupsallığı**

0.09139 MeV Düzeyi:  $K^\pi=0^+$  temel hal bandının bir üyesi olup spin paritesi  $2^+$  olarak tayin edilmiştir. Bu enerji düzeyinden  $2^+[0.09139 \text{ MeV}]0^+$  ışını geçiş yapar ve kutupsallığı E2 olarak belirlenmiştir<sup>(64)</sup>.

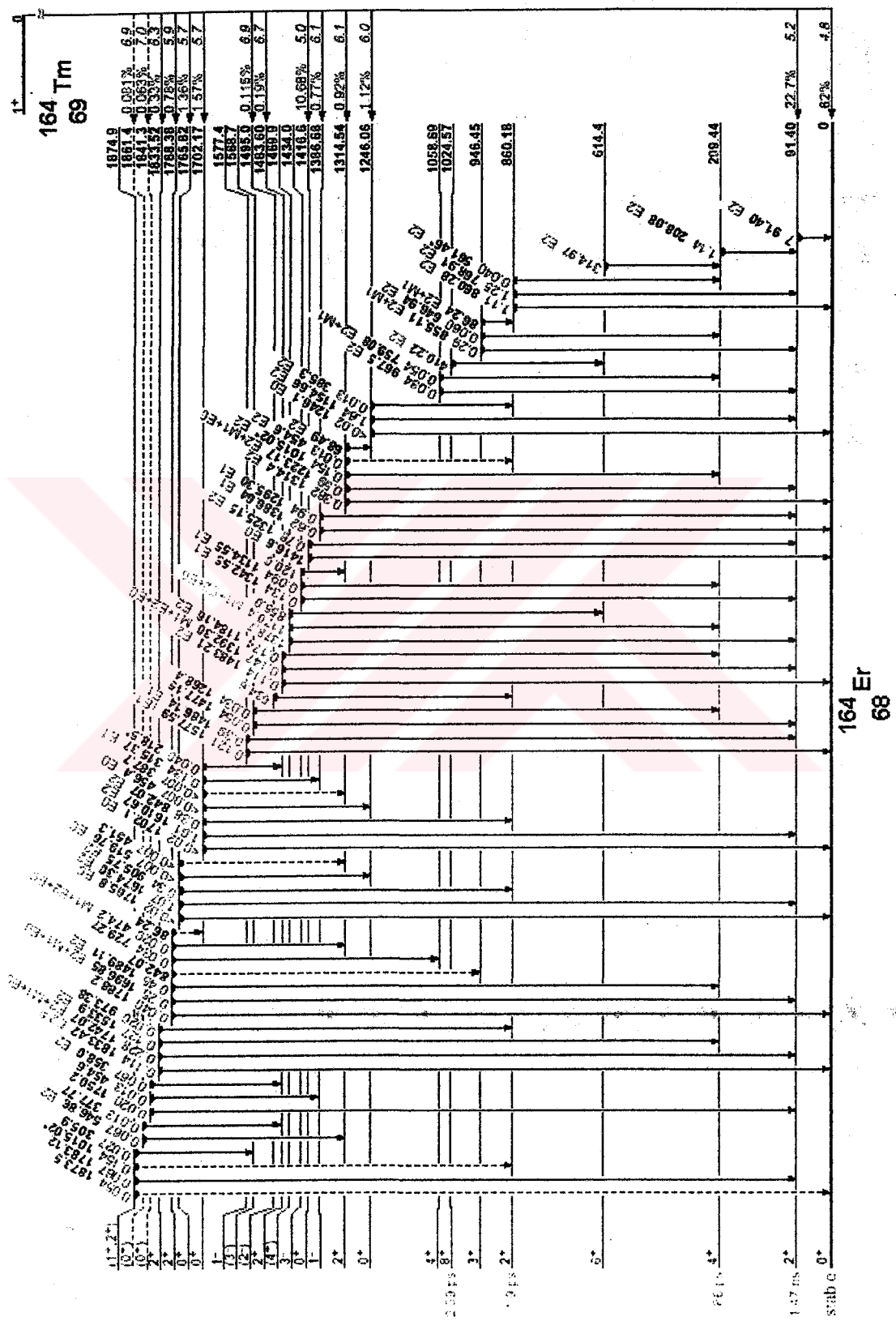
0.29947 MeV Düzeyi: Temel hal bandının bir üyesi olup spin paritesi  $4^+$  dir. Bu enerji düzeyinden  $4^+[0.20808 \text{ MeV}]2^+$  ışını kutupsallığı E2 olan bir geçiş yapar<sup>(56)</sup>.

0.6144 MeV Düzeyi: Temel hal bandının bir üyesidir. Spin paritesi  $6^+$  olan bu düzeyden  $6^+[0.31493 \text{ MeV}]4^+$  ışın geçisi gözlenir. Bu geçisin kutupsallığı E2 şeklinde elde edilmiştir<sup>(60)</sup>.

0.86031 MeV Düzeyi :  $K^\pi=2^+$  gama vibrasyonel bandının bant başıdır ve spin paritesi  $2^+$  dır. Bu düzeyden  $2^+[0.561 \text{ MeV}]4^+$  ışını geçiş yapar. Yine bu düzeyden  $2^+[0.86031 \text{ MeV}]0^+$  ışını ile  $2^+[0.20808 \text{ MeV}]2^+$  ışını geçiş yaparlar ve bu iki geçisin kutupsallığı E2 olarak belirtilmiştir<sup>(65)</sup>.

0.94635 MeV Düzeyi: Spin paritesi  $3^+$  olan gama vibrasyonel bandındaki bu düzeyden  $3^+[0.8549 \text{ MeV}]2^+$  ışını ve  $3^+[0.6469 \text{ MeV}]4^+$  ışını geçiş yaparlar. Bu geçişlerin kutupsallığı sırasıyla E2+M1 ve E2 dir.

1.0246 MeV Düzeyi : Temel hal bandının bir üyesi olan enerji düzeylerinin spin paritesi  $8^+$  olarak belirlenmiştir<sup>(66)</sup>. Bu düzeyden kutupsallığı E2 olan  $8^+[0.4102 \text{ MeV}]6^+$  ışını geçiş yapar.



1.1975 MeV Düzeyi: Bu enerji düzeyi gama vibrasyonel bandının bir üyesi olup spin paritesi  $5^+$  şeklinde verilir<sup>(66)</sup>. Bu düzeyden  $5^+[0.89791 \text{ MeV}]4^+$  ve  $5^+[0.5832 \text{ MeV}]6^+$  ışınları geçiş yaparlar. Bu geçişlerin kutupsallıkları E2 olarak elde edilmiştir<sup>(67)</sup>.

1.24602 MeV Düzeyi :  $K^\pi=0^+$  beta vibrasyonel bandının bant başıdır ve spin paritesi  $0^+$  dır. Bu düzeyden  $0^+[1.245 \text{ MeV}]0^+$  ışını ve  $0^+[1.15463 \text{ MeV}]2^+$  ışını geçiş yaparlar. Bu geçişlerin kutupsallıkları sırasıyla E0 ve E2 olarak elde edilmiştir<sup>(60)</sup>.

1.31457 MeV Düzeyi: Beta vibrasyonel bandının bir üyesi olan düzeyin spin paritesi  $2^+$  olarak elde edilmiştir. Bu enerji düzeyinden  $2^+[0.152 \text{ MeV}]4^+$  ışını geçiş yapar. Yine bu düzeyden kutupsallığı E2 olan  $2^+[1.3148 \text{ MeV}]0^+$  ışını ve kutupsallığı E2+M1+E0 olan  $2^+[1.22312 \text{ MeV}]2^+$  ışını geçiş yaparlar<sup>(64)</sup>.

1.3586 MeV Düzeyi : Spin paritesi  $6^+$  olan gama vibrasyonel bandının üyesi enerji düzeyinden kutupsallığı E2 olan  $6^+[0.7439 \text{ MeV}]6^+$  ışını geçiş yapar.

1.3586 MeV Düzeyi : Spin paritesi  $6^+$  olan gama vibrasyonel bandının üyesi enerji düzeyinden kutupsallığı E2 olan  $6^+[0.7439 \text{ MeV}]6^+$  ışını geçiş yapar.

1.41657 MeV Düzeyi: Bu enerji düzeyi hakkında yeterli bilgi yoktur. Bu düzeyden  $[1.416 \text{ MeV}]0^+$  ışını geçiş yapar ve kutupsallığı hakkında henüz bilgi yoktur. Yine bu düzeyden  $[1.325 \text{ MeV}]2^+$  ışını geçiş yapar ve kutupsallığı E2 dir<sup>(66)</sup>.

1.43403 MeV Düzeyi : Oktupol bandının bir üyesi ve spin paritesi  $3^-$  olan enerji düzeyinden  $3^-[1.3426 \text{ MeV}]2^+$  ışını ve  $3^-[1.1346 \text{ MeV}]4^+$  ışını geçiş yapar. Bu ışınların kutupsallıkları hakkında deneyel veri yoktur.

1.4699 MeV Düzeyi: Beta vibrasyonel bandının bir üyesidir ve spin paritesi  $4^+$  dir. Bu düzeyden  $4^+[1.3785 \text{ MeV}]2^+$  ışını geçiş yapar ve bunun kutupsallığı hakkında deneyel veri yoktur.

1.48386 MeV Düzeyi: Spin paritesi  $2^+$  olan bu enerji düzeyinden  $2^+[1.39252 \text{ MeV}]2^+$  ışını ve  $2^+[1.18432 \text{ MeV}]4^+$  ışını geçiş yaparlar.

1.5443 MeV Düzeyi : Gama vibrasyonel bandının bir üyesi olan düzeyin spin paritesi  $7^+$  olarak verilir ve bu düzeyden kutupsallığı E2+M1 olan  $7^+[0.9299 \text{ MeV}]6^+$  ışını geçiş yapar<sup>(66)</sup>.

1.6641 MeV Düzeyi :  $K^\pi=5^-$  bandının bir üyesi olan enerji düzeyinin spin paritesi  $5^-$  dir. Bu düzeyden kutupsallığı E1 olan  $5^-[1.0498 \text{ MeV}]6^+$  ışını ve kutupsallığı ile ilgili bilgi elde edilemeyen  $5^-[1.3646 \text{ MeV}]4^+$  ışını geçiş yapar.

1.7022 MeV düzeyi:  $K^\pi=4^+$  bandının bir üyesi olan düzeyin spin paritesi  $4^+$  olarak verilir. Bu enerji düzeyinden  $4^+[0.81074 \text{ MeV}]2^+$  ışını ve  $4^+[0.84206 \text{ MeV}]2^+$  ışını geçiş yapar. Yine bu düzeyden  $4^+[0.3155 \text{ MeV}]1^-$  ışını geçiş yapar ve kutupsallığı E1 olarak verilir<sup>(29)</sup>.

1.7445 MeV Düzeyi :  $K^\pi=5^-$  bandının bir üyesi olan düzeyin spin paritesi  $6^-$  dir. Bu enerji düzeyinden  $6^-[1.1301 \text{ MeV}]6^+$  ile  $6^-[0.3855 \text{ MeV}]6^+$  ışınları geçiş yaparlar<sup>(68)</sup>.

### 3.1.2.2. $^{164}\text{Er}$ Çekirdeğinin Kutupsal Karışım Oranları

$^{164}\text{Er}$  çekirdeği için verilen enerji düzeyleri arasındaki elektromanyetik geçişlerde, Etkileşen Bozon Modeli yardımıyla hesaplanan karışım oranları  $\delta(\text{E2/M1})$  değerleri Çizelge-3.7'de verilmiştir.

**Çizelge 3.7**  $^{164}\text{Er}$  izotopu için hesaplanan  $\delta(\text{E2/M1})$  Karışım Oranları

Başlangıç Enerjisi	Geçiş Enerjisi	Spin-Parite	Karışım Oranı
$E_i(\text{MeV})$	$E_\gamma(\text{MeV})$	$I_i^\pi \rightarrow I_s^\pi$	$\delta(\text{E2/M1})$
0.86031	0.7689	$2_g^+ \rightarrow 2_g^+$	6.94
0.94635	0.6469	$3_g^+ \rightarrow 2_g^+$	4.65
	0.6469	$3_g^+ \rightarrow 4_g^+$	180.25
1.05830	0.7588	$4_g^+ \rightarrow 4_g^+$	36.99
	0.8979	$5_g^+ \rightarrow 4_g^+$	4.43
	0.5832	$5_g^+ \rightarrow 6_g^+$	133.41
1.35860	0.7439	$6_g^+ \rightarrow 6_g^+$	6.73
1.54430	0.9299	$7_g^+ \rightarrow 6_g^+$	4.47
	0.8549	$3_g^+ \rightarrow 2_g^+$	5.71
1.48386	1.3925	$2_{\beta}^+ \rightarrow 2_g^+$	12.58

Karışım oranları için elde edilen bu değerler, daha ileriki sonuç ve tartışmalar kısmında deneysel ve diğer teorik sonuçlarla karşılaştırılıp, aralarındaki uyum tartışılacaktır.

### 3.1.2.3. $^{164}\text{Er}$ Çekirdeği İçin Hesaplanan $\text{B(E2)}$ Geçiş olasılıkları $\beta_0$ ve $\beta_2$ Deformasyon Parametreleri, $Q_0$ ve $Q_{2+}$ Kuadropol Momentleri

$^{164}\text{Er}$  çekirdeği için temel hal bandının üyeleri arasındaki  $\text{B(E2)}$  geçiş olasılıkları hesaplandı ve Çizelge 3.8' de verildi.

**Çizelge 3.8  $^{164}\text{Er}$  İzotopu için hesaplanan B(E2) Geçiş olasılıkları**

Spin-Parite		Geçiş Olasılığı B(E2) ( $e^2 b^2$ )
$I_i^\pi$	$I_s^\pi$	
$2^+$	$0^+$	1.1091
$4^+$	$2^+$	1.5899
$6^+$	$4^+$	1.7674
$8^+$	$6^+$	1.8420
$10^+$	$8^+$	1.8027

$^{164}\text{Er}$  çekirdeği  $0^+$  taban durumundan ilk uyarılmış düzey olan  $2^+$  durumuna geçişin olasılığı  $B(\text{E}2; 0^+ \rightarrow 2^+) = 5.50 \text{ eb}$  olarak hesap edildi. Bu geçiş olasılığı literatürde indirgenmiş geçiş olasılığı şeklinde adlandırılır ve  $B(\text{E}2)\uparrow$  ile gösterilir. Bu değerler kullanılarak özkuadropol momenti  $Q_0 = 7.43 \text{ eb}$  ve kuadropol momenti  $Q_{2+} = 2.14 \text{ eb}$  olarak hesaplandı. Deformasyon parametresi  $\beta_0 = 0.237$  olarak hesaplandı.

**Çizelge 3.9  $^{164}\text{Er}$  İzotopu için Hesaplanan Bazı Parametreler**

$B(\text{E}2)\uparrow(e^2 b^2)$	$Q_0(\text{eb})$	$Q_{2+}(\text{eb})$	$\beta_0$	$\beta_2$
5.50	7.43	2.14	0.237	0.301

### 3.1.3. $^{166}\text{Er}$ Çekirdeği

Cift-cift  $^{166}\text{Er}$  çekirdeği  $150 \leq A \leq 190$  deforme bölge ortalarında bulunur. Bu çekirdeğin düzey yapısı ve gama geçişlerinin özellikleri bölgenin genel karakteristiği hakkında iyi bir örnektir. Bu çekirdekle ilgili bir çok

çalışma yapılmıştır. Reich ve Cline, (1200y)  $^{166}\text{Ho}$ , (29h)  $^{166}\text{Ho}$  ve (7.7h)  $^{166}\text{Tm}$ 'nin bozunumunda yayılan  $\gamma$  radyasyonunun enerji ve şiddetlerini ölçtüler. Buradan elde ettikleri bilgilerle  $^{166}\text{Er}$  çekirdeğinin  $\gamma$  vibrasyonel bandı ile temel hal bandı arasındaki karışımı incelediler<sup>(69)</sup>. Domingos ve ark.,  $^{166}\text{Er}$  izotopunda  $\gamma$ -vibrasyonel bandlarının çoklu Coulomb uyarılmalarını incelediler ve E2/M1 karışım oranlarını ölçtüler<sup>(70)</sup>. Schreckenbech ve Gellety,  $^{166}\text{Er}$  izotopunda,  $\gamma$  vibrasyonel bandın üyeleri arasındaki geçişlerde M1 karışımlarının yapısını inceleyerek bu geçişlere ait  $\delta(\text{E2}/\text{M1})$  kutupsal karışım oranlarını ölçtüler<sup>(71)</sup>. McGowan,  $^{166-170}\text{Er}$  izotoplarda vibrasyonel durumların Coulomb uyarılmalarından elde ettiği sonuçları IBM'nin sonuçları ile karşılaştırdı<sup>(72)</sup>. Warner, deform çif-çift çekirdeklerde IBM ile M1 geçişlerini betimledi. Bu modelle bulduğu E2/M1 karışım oranını deneySEL değerlerle karşılaştırdı<sup>(11)</sup>. Alzner ve ark.,  $^{166}\text{Er}$  'da kolektif düzeylere ait g faktörlerini  $\gamma$ - $\gamma$  korelasyon ölçümleri yaparak elde ettiler.

Ayrıca bazı E2/M1 karışım oranlarını ölçtüler<sup>(73)</sup>. Raman ve ark., ile Nazarewicz ve ark.,  $^{166}\text{Er}$  ile ilgili olarak indirgenmiş elektromanyetik geçiş olasılıkları  $B(\text{E2})^\uparrow$ ,  $\beta_2$  kuadropol deformasyon parametresini ve  $Q_0$  özkuadropol momentlerini hesapladılar<sup>(20,74)</sup>. Varshney ve ark.,  $B(\text{E2})$  değerlerini yüksek spinli düzeylerden geçişler için vermişlerdir<sup>(62)</sup>. Son zamanlarda bu çekirdek Binard ve ark.<sup>(75)</sup>, Hamilton ve ark.<sup>(76)</sup> ve Thorslund ve ark.<sup>(77)</sup> tarafından incelenmiştir.

**Çizelge 3.10  $^{166}\text{Er}$  izotopunun Enerji Düzeyleri**

Band Yapısı $K^\pi$	Spin Parite $I^\pi$	Deneysel Enerji Düzeyleri(MeV)
Temel Hal Bandı $K^\pi=0^+$	$0^+$	0.00000
	$2^+$	0.80557
	$4^+$	0.26498
	$6^+$	0.54544
	$8^+$	0.91116
Gama Vibrasyonel Bandı $K^\pi=2^+$	$2^+$	0.78589
	$3^+$	0.85938
	$4^+$	0.95620
	$5^+$	1.07526
	$6^+$	1.21592
	$7^+$	1.37600
	$8^+$	1.55570
Beta Vibrasyonel Bandı $K^\pi=0^+$	$0^+$	1.4599
	$2^+$	1.5282
	$4^+$	1.6736
Oktupol Bandı $K^\pi=0^-$	$1^-$	1.6624
	$3^-$	1.7217
Oktupol Bandı $K^\pi=2^-$	$2^-$	1.45800
	$3^-$	1.51400
	$4^-$	1.59620
	$5^-$	1.66573
	$5^-$	1.69228
	$6^-$	1.78693
Oktupol Bandı $K=4^-$	$4^-$	1.57210

Bu çekirdeğe ait uyarılmış düzeylerin basitleştirilmiş bozunum şeması Şekil 3.3'de verilmiştir<sup>(115)</sup>. Bozunum şemasını incelediğimizde temel hal bandının üyeleri  $0^+[0\text{MeV}]$ ,  $2^+[0.08057\text{MeV}]$ ,  $4^+[0.26498 \text{ MeV}]$ ,  $6^+[0.54544\text{MeV}]$ ,  $8^+[0.9111 \text{ MeV}]$  düzeyleridir. Gama vibrasyonel bandının üyeleri ise;  $2^+[0.78589 \text{ MeV}]$ ,  $3^+[0.79938 \text{ MeV}]$ ,  $4^+[0.95620 \text{ MeV}]$ ,  $5^+[1.07526 \text{ MeV}]$ ,  $6^+[1.21592 \text{ MeV}]$ ,  $7^+[1.37600 \text{ MeV}]$  ve  $8^+[1.55570 \text{ MeV}]$  düzeyleridir. Oktopol bandının üyeleri;  $1^-[1.6624 \text{ MeV}]$ ,  $3^-[1.7217 \text{ MeV}]$ ,  $2^-[1.4580 \text{ MeV}]$ ,  $3^-[1.5140$

MeV], 4[1.5721 MeV], 4[1.5962 MeV], 5[1.69228 MeV], ve 6[1.78693 MeV] düzeyleridir. Bant yapılarının gruplandırılması Çizelge 3.10' da verilmiştir.

### **3.1.3.1. $^{166}\text{Er}$ çekirdeğinin Enerji Düzeyleri ve Geçişlerinin Kutupsallığı**

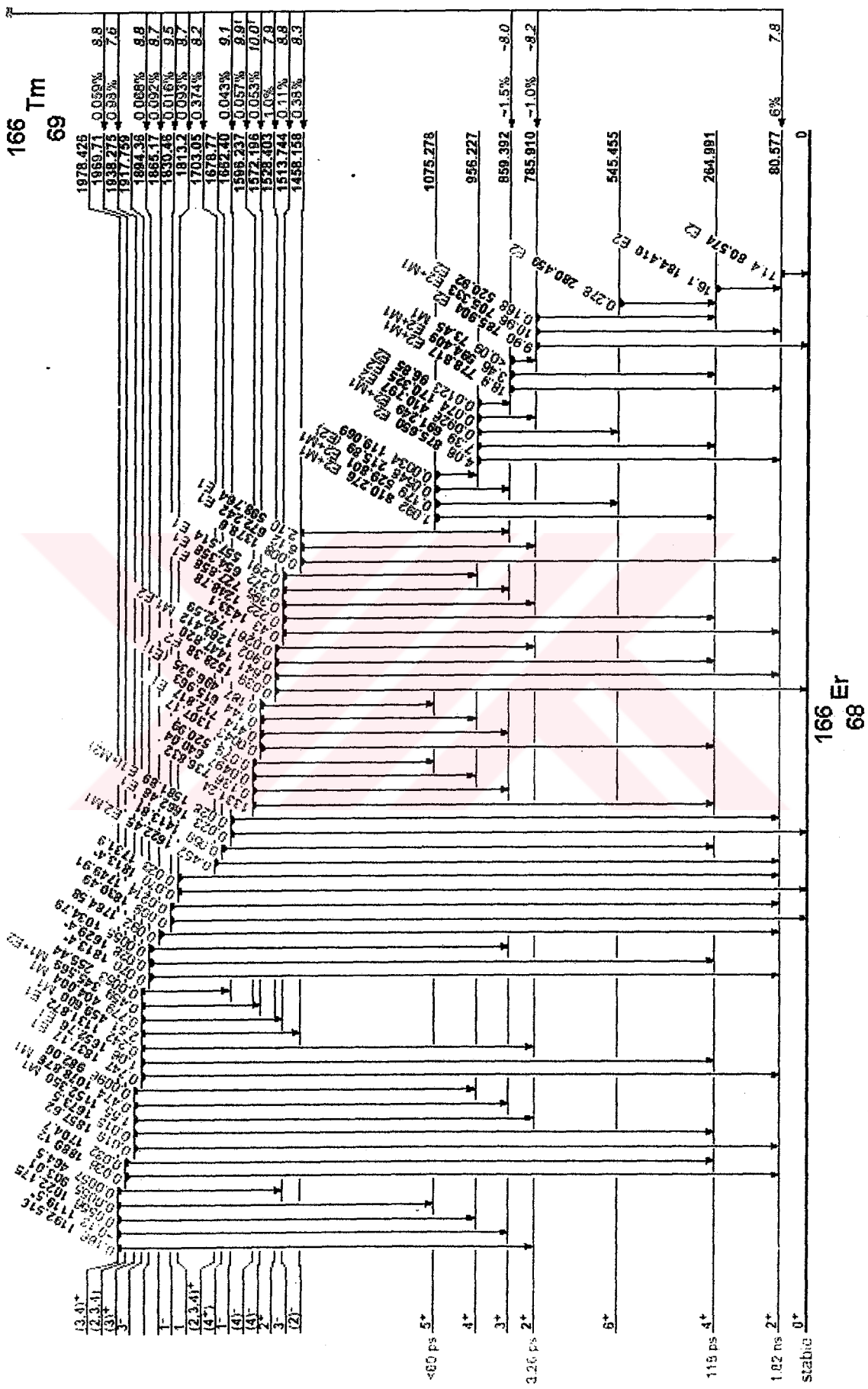
0.08057 MeV düzeyi :  $K^\pi=0^+$  temel hal bandının bir üyesi olan düzeyin spin paritesi  $2^+$  dır. Bu enerji düzeyinden  $2^+[0.08057 \text{ MeV}]0^+$  ışını şiddetli bir geçiş yapar ve kutupsallığı E2 dir.

0.26498 MeV düzeyi: Temel hal bandının bir üyesi olan düzeyin spin ve paritesi  $4^+$  dır. Bu düzeyden  $4^+[0.18441 \text{ MeV}]2^+$  ışını kutupsallığı E2 olan bir geçiş yapar<sup>(78)</sup>.

0.54544 MeV Düzeyi: Spin paritesi  $6^+$  ve temel hal bandının bir üyesi olan düzeyden  $6^+[0.23046 \text{ MeV}]4^+$  ışını geçiş yapar. Bu ışının kutupsallığı E2 şeklindedir.

0.78589 MeV Düzeyi:  $K^\pi=2^+$  gama vibrasyonel bandının bant başıdır ve spin paritesi  $2^+$  dır. Bu enerji düzeyinden  $2^+[0.78589 \text{ MeV}]0^+$  ve  $2^+[0.5209 \text{ MeV}]4^+$  ışınları kutupsallığı E2 olan geçiş yaparlar. Yine bu düzeyden kutupsallığı E2(+M1) olan  $2^+[0.70531 \text{ MeV}]2^+$  ışını geçiş yapar<sup>(78)</sup>.

0.85938 MeV Düzeyi: Gama vibrasyonel bandının bir üyesi olan düzeyin spin paritesi  $3^+$ dır. Bu enerji düzeyinden  $3^+[0.77882 \text{ MeV}]2^+$  ışını ve  $3^+[0.59437 \text{ MeV}]4^+$  ışını geçiş yaparlar. Bu geçişlerin kutupsallığı E2(+M1) şeklinde verilir<sup>(64)</sup>. Yine bu enerji düzeyinden kutupsallığı E2/M1 olan  $3^+[0.7035 \text{ MeV}]2^+$  ışını geçiş yapar.



Şekil 3.3  $^{166}\text{Er}$  Çekirdeğine ait uyarılmış düzeylerin basitleştirilmiş bozunum şeması

0.91118 MeV Düzeyi: Temel hal bandının bir üyesi olan düzeyin spin ve paritesi  $8^+$  dır. Bu enerji düzeyinden  $8^+[0.36574 \text{ MeV}]6^+$  ışını geçiş yapar. Bu geçişin kutupsallığı E2 şeklindedir<sup>(65)</sup>.

0.95620 MeV Düzeyi: Gama vibrasyonel bandının bir üyesi olan bu düzeyin spin ve paritesi  $4^+$  dır. Bu enerji düzeyinden  $4^+[0.87564 \text{ MeV}]2^+$  ışını,  $4^+[0.4109 \text{ MeV}]6^+$  ışını,  $4^+[0.17035 \text{ MeV}]2^+$  ışını ve  $4^+[0.0968 \text{ MeV}]3^+$  ışını geçiş yaparlar. Bu geçişlerin ortak özellikleri E2 kutupsallığına sahip olmalarıdır<sup>(64)</sup>. Yine bu enerji düzeyinden kutupsallığı E2+M1 olan  $4^+[0.69121 \text{ MeV}]2^+$  ışını geçiş yapar<sup>(58,78)</sup>.

1.07526 MeV Düzeyi: Gama vibrasyonel bandının bir üyesi olan düzeyin spin paritesi  $5^+$  olarak verilir<sup>(56)</sup>. Bu enerji düzeyinden  $5^+[0.810031 \text{ MeV}]4^+$ ,  $5^+[0.11904 \text{ MeV}]4^+$  ışınları kutupsallığı E2+M1 olan geçiş yaparlar. Yine bu düzeyden kutupsallığı E2 olan  $5^+[0.21578]3^+$  ışını geçiş yapar<sup>(64)</sup>.

1.21592 MeV Düzeyi: Bu düzeyin spin paritesi  $6^+$  olup gama vibrasyonel bandının bir üyesidir. Bu düzeyden kutupsallığı E2 olan  $6^+[0.9509 \text{ MeV}]4^+$  ışını, kutupsallığı E2+M1 olan  $6^+[0.67051 \text{ MeV}]6^+$  ışını geçiş yapar.

1.37600 MeV Düzeyi: Spin paritesi  $7^+$  ve gama vibrasyonel bandının bir üyesi olan bu enerji düzeyinden kutupsallığı E2+M1 olan  $7^+[0.83056 \text{ MeV}]6^+$  ışınları geçiş yaparlar.

1.4580 MeV Düzeyi:  $K^\pi=2^-$  oktupol bandının bir üyesi olan düzeyin spin paritesi  $2^-$  dir. Bu enerji düzeyinden kutupsallığı E1 olan  $2^-[0.6720 \text{ MeV}]2^+$  ve  $2^-[0.5987 \text{ MeV}]3^+$  ışınları geçiş yaparlar<sup>(68)</sup>.

1.45993 MeV Düzeyi:  $K^\pi=2^+$  beta bandının bant başı olan düzeyin spin paritesi de  $0^+$  dır. Bu enerji düzeyinden kutupsallığı E0 olan  $0^+[1.460 \text{ MeV}]0^+$  ışını ve kutupsallığı E2 olan  $0^+[1.3794 \text{ MeV}]2^+$  ışını geçiş yaparlar<sup>(58,78)</sup>.

1.5140 MeV Düzeyi: Spin paritesi  $3^-$  olan düzey, oktopol bandının bir üyesidir. Bu enerji düzeyinden kutupsallığı E1 olan  $3^-[0.7294 \text{ MeV}]2^+, 3^- [0.655 \text{ MeV}]3^+$  ve  $3^-[0.599 \text{ MeV}]4^+$  ışınları geçiş yaparlar<sup>(78)</sup>.

1.5282 MeV Düzeyi: Beta bandının bir üyesi olan düzeyin spin paritesi  $2^+$  dır. Bu enerji düzeyinden kutupsallığı E2+E0 olan  $2^+[1.447 \text{ MeV}]2^+$  ışını ve kutupsallığı M1,E2 olan  $2^+[1.2683 \text{ MeV}]4^+$  ışını geçiş yapar.

1.5557 MeV Düzeyi: Gama vibrasyonel bandının bir üyesi olan düzeyin spin ve paritesi  $8^+$  dır. Bu düzeyden kutupsallığı E2 olan  $8^+[1.0102 \text{ MeV}]6^+$  ve  $8^+[0.644 \text{ MeV}]8^+$  ışınları geçiş yaparlar. Yine bu düzeyin  $8^+[0.3398 \text{ MeV}]6^+$  ışını geçiş yapar.

1.5721 MeV Düzeyi:  $K^\pi=0^-$  oktopol bandının bir üyesi olan düzeyin spin paritesi  $4^-$  dır. Bu enerji düzeyinden  $4^-[0.7124 \text{ MeV}]3^+$  ışını ve  $4^-[0.4967 \text{ MeV}]5^+$  ışını geçiş yaparlar. Yine bu düzeyden kutupsallığı elde edilemeyen  $4^-[0.617 \text{ MeV}]4^+$  ışını geçiş yapar.

1.5962 MeV Düzeyi:  $K^\pi=2^-$  oktopol bandının bir üyesi ve spin paritesi  $4^-$  dir. Bu enerji düzeyinden  $4^-[0.7367 \text{ MeV}]3^+$  ve  $4^-[0.6398 \text{ MeV}]4^+$  ışınları geçiş yaparlar. Bu ışınların kutupsallığı ile ilgili deneysel bilgi yoktur.

**1.6624 MeV Düzeyi:**  $K^{\pi}=0^-$  oktupol bandının bir üyesi olan düzeyin spin paritesi  $0^-$  dır. Bu enerji düzeyinden  $1^-[1.6624 \text{ MeV}]0^+$  ışını geçiş yapar ve geçişin kutupsallığı E1 dir. Yine bu düzeyden  $1^-[1.5819 \text{ MeV}]2^+$  ışını geçiş yapar. Bu geçişin kutupsallığı E1 şeklinde verilmiştir<sup>(64)</sup>.

**1.66576 MeV Düzeyi:**  $K^{\pi}=0^-$  oktupol bandının bir üyesi olan düzeyin spin paritesi  $5^-$  dır. Bu enerji düzeyinden  $5^-[1.4007 \text{ MeV}]4^+$  ışını ve  $5^-[1.203 \text{ MeV}]6^+$  ışını geçiş yaparlar.

**1.69228 MeV Düzeyi:** Spin paritesi  $5^-$  ve oktupol bandının bir üyesi olan düzeyden  $5^-[1.4270 \text{ MeV}]4^+$  ve  $5^-[1.203 \text{ MeV}]6^+$  ışını geçiş yaparlar.

**1.78693 MeV Düzeyi:**  $K^{\pi}=2^-$  oktupol bandının bir üyesi olan düzeyin spin paritesi  $6^-$  dır. Bu enerji düzeyinden  $6^-[1.2414 \text{ MeV}]6^+$ ,  $6^-[0.71169 \text{ MeV}]5^+$ ,  $6^-[1.5710 \text{ MeV}]7^+$  ışınları geçiş yaparlar. Bu geçişlerin kutupsallıkları E1+M2 olarak elde edilmiştir<sup>(79)</sup>.

### **3.1.3.2. $^{166}\text{Er}$ Çekirdeğinin Kutupsal Karışım Oranları**

Bu çekirdek için verilen enerji düzeyleri arasındaki elektromanyetik geçişlerde, Etkileşen Bozon Modeli yardımıyla hesapladığımız  $\delta(E2/M1)$  karışım oranları Çizelge 3.11' de verildi.

**Çizelge 3.11**  $^{166}\text{Er}$  izotopu için hesaplanan  $\delta(\text{E2/MI})$  Karışım Oranları

Başlangıç Enerjisi	Geçiş Enerjisi	Spin-Parite	Karışım Oranı
$E_i(\text{MeV})$	$E_\gamma(\text{MeV})$	$I_i^\pi \rightarrow I_s^\pi$	$\delta(\text{E2/MI})$
0.78589	0.7053	$2_\gamma^+ \rightarrow 2_g^+$	17.61
0.85838	0.7788	$3_\gamma^+ \rightarrow 2_g^+$	19.11
	0.5943	$3_\gamma^+ \rightarrow 4_g^+$	8.97
1.05830	0.6912	$4_\gamma^+ \rightarrow 4_g^+$	9.32
	0.1190	$5_\gamma^+ \rightarrow 4_g^+$	1.40
	0.5298	$5_\gamma^+ \rightarrow 6_g^+$	5.38
1.35860	0.6705	$6_\gamma^+ \rightarrow 6_g^+$	6.86
1.54430	0.1601	$7_\gamma^+ \rightarrow 6_g^+$	1.23
	0.4618	$7_\gamma^+ \rightarrow 8_g^+$	3.91
1.48386	0.6444	$8_\gamma^+ \rightarrow 8_g^+$	3.74
	0.0733	$3_\gamma^+ \rightarrow 2_\gamma^+$	1.79
	0.0968	$4_\gamma^+ \rightarrow 3_\gamma^-$	-
	0.8103	$5_\gamma^+ \rightarrow 4_\gamma^+$	9.57
	0.1406	$6_\gamma^+ \rightarrow 5_\gamma^+$	-
	0.8306	$7_\gamma^+ \rightarrow 6_\gamma^+$	6.39
	1.4470	$2_{\beta}^+ \rightarrow 2_g^+$	36.14
	1.4007	$4_{\beta}^+ \rightarrow 4_g^+$	-

### 3.1.3.3 $^{166}\text{Er}$ Çekirdeği için Hesaplanan B(E2) Geçiş olasılıkları $\beta_0$ ve $\beta_2$ Deformasyon Parametreleri, $Q_0$ ve $Q_{2+}$ Kuadropol Momentleri

$^{166}\text{Er}$  izotopu için temel hal bandının üyeleri arasındaki  $B(E2; L \rightarrow L-2)$  geçiş olasılıkları için hesapladığımız değerler toplu olarak Çizelge-3.12' de verildi.

**Çizelge 3.12**  $^{166}\text{Er}$  izotopu için hesaplanan B(E2) Geçiş Olasılıkları

Spin-Parite		Geçiş Olasılığı
$I_i^\pi$	$I_s^\pi$	$B(E2) (e^2 b^2)$
$2^+$	$0^+$	1.1292
$4^+$	$2^+$	1.6223
$6^+$	$4^+$	1.8098
$8^+$	$6^+$	1.8974

$^{166}\text{Er}$  çekirdeği için  $0^+$  taban durumundan ilk uyarılmış düzey olan  $2^+$  durumuna geçişin olasılığı  $B(E2; 0^+ \rightarrow 2^+) = 5.60$  eb olarak elde edildi. Bu değerler kullanılarak özkuadropol momenti  $Q_0 = 7.503$  eb ve kuadropol momenti  $Q_{2+} = -2.13$  eb olarak hesaplandı. Deformasyon parametresi  $\beta_0 = 0.295$  değeri ile kuadropol deformasyon parametresi  $\beta_2 = 0.301$  olarak elde edildi. Bu çekirdek için hesapladığımız tüm değerler Çizelge-3.13' de verildi. Elde edilen bu değerler ileriki bölümde, daha önceki çalışmalarla karşılaştırılıp yorumlanacaktır.

### **Çizelge 3.13 $^{166}\text{Er}$ İzotopu için Hesaplanan Bazı Parametreler**

$B(E2) \uparrow (e^2 b^2)$	$Q_0(\text{eb})$	$Q_{2+}(\text{eb})$	$\beta_0$	$\beta_2$
5.60	7.503	2.13	0.295	0.301

#### **3.1.4. $^{168}\text{Er}$ Çekirdeği**

Çift-çift  $^{168}\text{Er}$  çekirdeği kuvvetli deformeli bulunan bir çekirdektir<sup>(63)</sup>. İyi bir rotasyonel yapı özelliği gösteren  $^{168}\text{Er}$  çekirdeği bir çok araştırmacının ilgisini çekmiştir. Bu izotop üzerinde 1970'li yıllarda itibaren günümüze kadar teorik ve deneyel olarak çalışmalar yapılmıştır. Bu çalışmalarla çekirdeğin düzey yapısı, düzeyler arası elektromanyetik geçişlerin kutupsal karışım oranları,  $B(E2)$  geçiş olasılıkları, kuadropol momentleri, deformasyon parametreleri ve diğer nükleer yapı özellikleri detaylı olarak incelenmiştir. Kumar ve Baranger,  $N=82-126$   $Z=50-82$  olan çekirdekler için PPQM kullanıp çift-çift nadir toprak elementlerinde deformasyon enerjilerini özkuadropol momentlerini hesapladılar<sup>(2)</sup>. Michaelis ve ark.,  $^{168}\text{Er}$ 'un düzey yapısını ve uyarılma mekanizmasını kullanarak incelediler<sup>(80)</sup>. Erb ve ark.  $158 < A < 170$  bölgesinde bazı nadir toprak elementlerinin  $^{168}\text{Er}$  elektrik kuadropol matris elemanlarını ölçtüler<sup>(81)</sup>. Warner ve ark., etkileşen bozon modelini  $^{168}\text{Er}$  çekirdeğine uygulayarak, bu çekirdeğin pozitif pariteli durumlarını ve  $B(E2)$  değerlerini teorik olarak hesapladılar<sup>(11)</sup>.

Dumitrescu ve Hamamoto  $^{168}\text{Er}$  'de  $\gamma$ -vibrasyonlarını , mikroskopik ve makroskopik model içinde analiz edildi<sup>(82)</sup>. Bohle ve ark.,  $^{168}\text{Er}$  üzerinde elastik olmayan elektron saçılması yöntemini kullanarak, düşük düzey manyetik dipol modlarını incelediler<sup>(83)</sup> Yoshinaga ve ark., SU(3) tensör formalizmi içinde Etkileşen Bozon Modelini sunarak bu modeli aşırı deformen  $^{168}\text{Er}$  çekirdeğine uyguladılar ve bu çekirdeğin enerji düzeyleri ile elektromanyetik geçişlerini hesapladılar<sup>(22)</sup>. Bu çekirdek son yıllarda Binard ve ark.,<sup>(75)</sup> Kotlinski ve ark.,<sup>(84)</sup> ve Jorrio ve ark.,<sup>(21)</sup> tarafından incelenmiştir.

$^{168}\text{Er}$  Çekirdeğine ait uyarılmış düzeylerin basitleştirilmiş bozunum şeması Şekil-3.4'de verilmiştir<sup>(115)</sup>. Bozunum şemasını incelediğimizde; Temel hal bandının üyeleri, $0^+[0.0 \text{ MeV}], 2^+[0.07980 \text{ MeV}], 4^+[0.26408 \text{ MeV}]$  ve  $6^+[0.5485 \text{ MeV}]$  düzeyleridir. Beta bandının üyeleri ise ,  $0^+[1.2172 \text{ MeV}]$  ve  $2^+[1.2765 \text{ MeV}]$ dir. Gama bandının üyeleri, $2^+[0.8211 \text{ MeV}], 3^+[0.89571 \text{ MeV}], 4^+[0.99465 \text{ MeV}]$  ve  $5^+[1.1176 \text{ MeV}]$  düzeyleridir. Oktupol bandının üyeleri olan düzeyler,  $1^-[1.3589 \text{ MeV}], 3^-[1.4315 \text{ MeV}], 3^-(1.5414 \text{ MeV}], 4^-[1.0939 \text{ MeV}]$  ve  $6^-[1.3115 \text{ MeV}]$  şeklindedir. Bant yapılarına göre düzeylerin gruplandırılmaları daha açıklayıcı şekilde çizelge 3.14' de verilmiştir.

**Çizelge 3.14**  $^{168}\text{Er}$  izotopunun Enerji Düzeyleri

Band Yapısı $K^\pi$	Spin Parite $I^\pi$	Deneysel Enerji Düzeyleri(MeV)
Temel Hal Bandı $K^\pi=0^+$	$0^+$	0.0000
	$2^+$	0.0798
	$4^+$	0.2640
	$6^+$	0.5485
Gama Vibrasyonel Bandı $K^\pi=2^+$	$2^+$	0.8211
	$3^+$	0.8957
	$4^+$	0.9956
	$5^+$	1.1176
Beta Vibrasyonel Bandı $K^\pi=0^+$	$0^+$	1.2172
	$2^+$	1.2765
Oktupol Bandı $K^\pi=1^-$	$1^-$	1.3589
	$3^-$	1.4315
Oktupol Bandı $K^\pi=2^-$	$2^-$	1.4580
	$3^-$	1.5414
	$4^-$	1.6154
Oktupol Bandı $K=3^-$	$4^-$	1.0939
Oktupol Bandı $K=4^-$	$5^-$	1.1931
	$6^-$	1.3115

### 3.1.4.1. $^{168}\text{Er}$ çekirdeğinin Enerji Düzeyleri ve Geçişlerinin Kutupsallığı

0.07980 MeV Düzeyi :  $K^\pi=0^+$  temel hal bandının bir üyesi olan düzeyin spin paritesi  $2^+$  dir. Bu enerji düzeyinden kutupsallığı E2 olan  $2^+[0.0798 \text{ MeV}]0^+$  işini geçiş yapar<sup>(64)</sup>.

0.264081 MeV Düzeyi : Spin paritesi  $4^+$  ve temel hal bandının bir üyesi olan düzeyden kutupsallığı E2 olan  $4^+[0.18428 \text{ MeV}]2^+$  işini geçiş yapar.

0.5485 MeV Düzeyi: Temel hal bandının bir üyesi ve spin paritesi  $6^+$  olan düzeyden kutupsallığı E2 olan  $6^+[0.2845 \text{ MeV}]4^+$  geçisi gözlenir<sup>(85)</sup>.

0.82111 MeV Düzeyi:  $K^\pi=2^+$  gama bandının bir üyesi olan düzeyin spin paritesi  $2^+$  olarak elde edilmiştir<sup>[32]</sup>. Bu enerji düzeyinden  $2^+[0.82109 \text{ MeV}]0^+$  işini ve  $2^+[0.55701 \text{ MeV}]4^+$  işini geçiş yaparlar. Bu iki geçisin kutupsallığı E2 dir. Yine bu enerji düzeyinden  $2^+[0.74130 \text{ MeV}]2^+$  işini geçiş yapar ve bu geçisin geçişlerin kutupsallığını Lederer ve Shirley E2 ve Davitson ve ark. E2+M1 şeklinde vermişlerdir<sup>(64,86)</sup>.

0.89571 MeV Düzeyi: Gama bandının bir üyesi olan bu düzeyin spin paritesi  $3^+$  şeklinde verilir[112]. Bu enerji düzeyinden  $3^+[0.63167 \text{ MeV}]4^+$  işini kutupsallığı E2(+M1) olan bir geçiş yapar. Yine bu enerji düzeyinden  $3^+[0.8159 \text{ MeV}]2^+$  işini ve  $3^+[0.07468 \text{ MeV}]2^+$  işini geçiş yaparlar. Bu geçişlerin kutupsallığı E2 veya E2+M1 şeklinde verilmiştir<sup>(86,87,72)</sup>.

0.99465 MeV Düzeyi: Spin paritesi  $4^+$  ve gama bandının bir üyesi olan bu düzeyden  $4^+[0.91486 \text{ MeV}]2^+$ ,  $4^+[0.73058 \text{ MeV}]4^+$  ve  $4^+[0.1739 \text{ MeV}]2^+$  işinları geçiş yaparlar. Bu geçişlerin tamamının kutupsallıkları E' olarak elde edilmiştir<sup>(85)</sup>.

1.0939 MeV Düzeyi: bu enerji düzeyi  $K^\pi=4^-$  oktopol bandının bir üyesi olup spin paritesi  $4^-$  olarak elde edilmiştir. Bu enerji düzeyinden kutupsallığı M2(+E3) olan  $4^-[1.01418 \text{ MeV}]2^+$  ışını, kutupsallığı M2 olan  $4^-[0.2729 \text{ MeV}]2^+$  ışını ve kutupsallığı E1 olan  $4^-[0.19822 \text{ MeV}]3^+$  ışını geçiş yaparlar. Yine bu enerji düzeyinden  $4^-[0.82938 \text{ MeV}]4^+$  ışını ile  $4^-[0.09929 \text{ MeV}]4^+$  ışını geçiş yaparlar. Bu geçişlerin kutupsallıklarını Lederer ve Shirley E1 ve Davitson ve ark. E1+M2 şeklinde vermişlerdir<sup>(64,86)</sup>.

1.1176 MeV Düzeyi: Bu düzeyin spin ve paritesi  $5^+$  olarak tespit edilmiştir. Bu enerji düzeyinden  $5^+[0.8535 \text{ MeV}]4^+$  ışını ve  $5^+[0.5695 \text{ MeV}]6^+$  ışını geçiş yaparlar. Bu geçişlerin kutupsallıkları E2 olarak verilmiştir<sup>(64)</sup>. Yine bu enerji düzeyinden kutupsallığı E2+m1 olan  $5^+[0.12208 \text{ MeV}]4^+$  ışını geçiş yapar.

1.1931 MeV Düzeyi:  $K^\pi=4^-$  oktopol bandının bir üyesi olan düzeyin spin paritesi  $5^-$  olarak tayin edilmiştir. Bu enerji düzeyinden kutupsallıkları E1 olan  $5^-[0.9288 \text{ MeV}]4^+$  ışını ile  $5^-[0.6456 \text{ MeV}]6^+$  ışını ve kutupsallığını Behar ve ark.<sup>(88)</sup>nın E1(+M2) şeklinde ve Davitson ve ark..[42]'nin E2 olarak verdiği  $5^-[0.099 \text{ MeV}]4^+$  ışını geçiş yapar. Yine bu enerji düzeyinden kutupsallıkları ile ilgili veri elde edilemeyen  $5^-[0.2978 \text{ MeV}]3^+$  ve  $5^-[0.07555 \text{ MeV}]5^+$  ışını geçiş yapar.

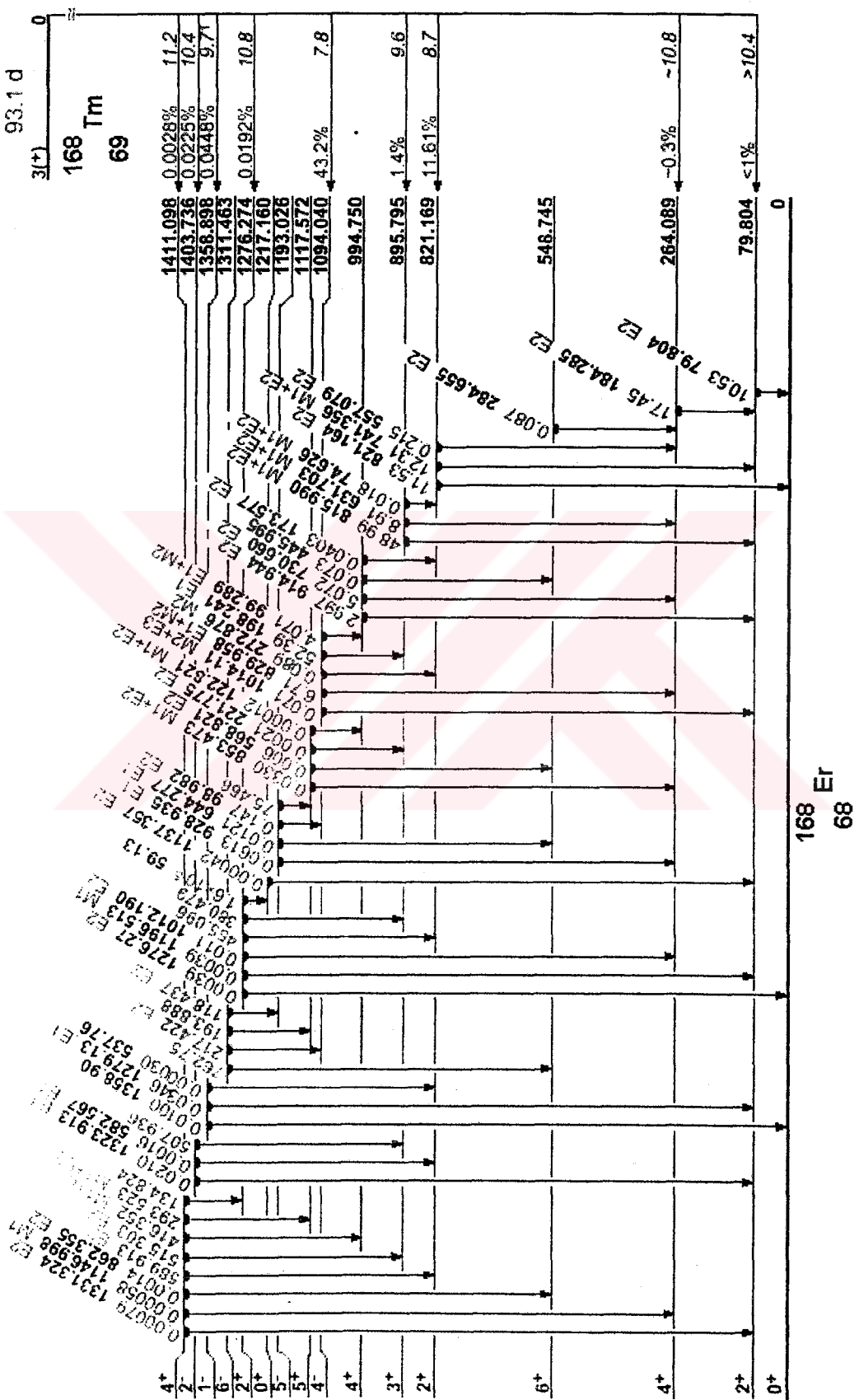
1.2765 MeV Düzeyi:  $K^\pi=0^+$  beta bandının bir üyesi olan düzeyin spin paritesi  $2^+$  olarak elde edilmiştir<sup>(66)</sup>. Bu enerji düzeyinden  $2^+[1.1971 \text{ MeV}]2^+$  ışını ve  $2^+[1.0120 \text{ MeV}]4^+$  ışını geçiş yaparlar. Bu geçişlerin kutupsallıkları M1 ve E2 dir.

1.3115 MeV Düzeyi: Oktupol  $K^\pi=4^-$  bandının bir üyesi olan düzeyin spin paritesi  $6^-$  olarak belirlenmiştir. Bu enerji düzeyinden  $6^-[0.2174 \text{ MeV}]4^+$  ışını kutupsallığı E2 olan bir geçiş yapar.

1.5414 MeV Düzeyi :  $K^\pi=3^-$  oktupol bandının bir üyesi olan düzeyin spin paritesi  $3^-$  şeklinde elde edilmiştir<sup>(85)</sup>. Bu enerji düzeyinden  $3^-[1.4612 \text{ MeV}]2^+$  ışını,  $3^-[0.64556 \text{ MeV}]3^+$  ışını ,  $3^-[1.2773 \text{ MeV}]4^+$  ışını,  $3^-[0.72017 \text{ MeV}]2^+$  ışını ve  $3^-[0.5487 \text{ MeV}]4^+$  ışını geçiş yaparlar. Bu geçişlerin ilk ikisinin kutupsallığı E1 diğerlerinin kutupsallıklarını Lederer ve Shirley E1 ve Davitson ve ark. E1+M2 şeklinde vermişlerdir<sup>(64,86)</sup>. Yine bu enerji düzeyinden  $3^-[0.44746 \text{ MeV}]4^+$  ışını ile  $3^-[0.3484 \text{ MeV}]5^-$  ışını geçiş yaparlar. Bu geçişlerin de kutupsallıkları sırasıyla M1(+E2) ve E2 dır.

1.5695 MeV Düzeyi:  $K^\pi=2^-$  oktupol bandının üyesi olan düzeyin spin paritesi  $2^-$  dir. Bu enerji düzeyinden  $2^-[0.74829 \text{ MeV}]2^+$  ışını ve  $2^-[0.6737 \text{ MeV}]3^+$  ışını geçiş yaparlar. Bu iki geçişin kutupsallığı E1 olarak elde edilmiştir. Yine bu enerji düzeyinden  $2^-[0.13815 \text{ MeV}]3^-$  ışını geçiş yapar ve kutupsallığı E2 olarak elde edilmiştir<sup>(87,88)</sup>.

1.6154 MeV Düzeyi:  $K^\pi=3^-$  oktupol bandının bir üyesi olan düzeyin spin paritesi  $4^-$  şeklinde elde edilmiştir. Bu enerji düzeyinden kutupsallığı E1 olan  $4^-[1.3509 \text{ MeV}]4^+$  ışını, kutupsallığı M1 olan  $4^-[0.42228 \text{ MeV}]5^-$  ışını ve kutupsallığı M2+E1 olan  $4^-[0.0787 \text{ MeV}]3^-$  ışını geçiş yaparlar<sup>(64,89)</sup>.



**Sekil 3.4** <sup>168</sup> Er Çekirdeğine ait uyarılmış düzeylerin basitleştirilmiş bozunum şeması

### 3.1.4.2. $^{168}\text{Er}$ Çekirdeğinin Kutupsal Karışım Oranları

Bu çekirdek için verilen enerji düzeyleri arasındaki elektromanyetik geçişlerde, Etkileşen Bozon Modeli yardımıyla hesapladığımız  $\delta(E2/M1)$  karışım oranları Çizelge-3.15' de verildi.

**Çizelge 3.15**  $^{168}\text{Er}$  izotopu için hesaplanan  $\delta(E2/M1)$  Karışım Oranları

Başlangıç Enerjisi	Geçiş Enerjisi	Spin-Parite	Karışım Oranı
$E_i(\text{MeV})$	$E_f(\text{MeV})$	$I_i^\pi \rightarrow I_f^\pi$	$\delta(E2/M1)$
0.82111	0.7413	$2_{-}^{+} \rightarrow 2_g^{+}$	16.14
0.85838	0.0747	$3_{-}^{+} \rightarrow 2_g^{+}$	1.21
	0.6317	$3_{-}^{+} \rightarrow 4_g^{+}$	3.50
1.05830	0.7306	$4_{-}^{+} \rightarrow 4_g^{+}$	11.94
	0.8535	$5_{-}^{+} \rightarrow 4_g^{+}$	2.43
	0.5695	$5_{-}^{+} \rightarrow 6_g^{+}$	4.95
	0.7150	$6_{-}^{+} \rightarrow 6_g^{+}$	5.25
1.35860	0.8159	$3_{-}^{+} \rightarrow 2_{-}^{+}$	13.26
1.6144	1.109	$2_{\beta}^{+} \rightarrow 2_g^{+}$	26.06
	0.173	$4_{\beta}^{+} \rightarrow 4_g^{+}$	2.84

Karışım oranları için elde edilen bu değerler, daha ileriki tartışmalar kısmında literatür taraması sonucu elde edilen değişik metod ve yöntemlerin deneySEL ve teorik sonuçlarıyla karşılaştırılıp , aralarındaki uyum tartışılacaktır.

### 3.1.4.3. $^{168}\text{Er}$ Çekirdeği için Hesaplanan B(E2) Geçiş olasılıkları $\beta_0$ ve $\beta_2$ Deformasyon Parametreleri, $Q_0$ ve $Q_{2+}$ Kuadropol Momentleri

$^{168}\text{Er}$  izotopu için temel hal bandının üyeleri arasındaki B(E2) geçiş olasılıkları için hesapladığımız değerler toplu olarak Çizelge-3.16'de verildi.

**Çizelge 3.16**  $^{168}\text{Er}$  izotopu için hesaplanan B(E2) Geçiş Olasılıkları

Spin-Parite		Geçiş Olasılığı
$I_i^\pi$	$I_s^\pi$	B(E2) ( $e^2 b^2$ )
$2^+$	$0^+$	1.150
$4^+$	$2^+$	1.718
$6^+$	$4^+$	2.042
$8^+$	$6^+$	2.272

$^{168}\text{Er}$  çekirdeği  $0^+$  taban durumundan ilk uyarılmış düzey olan  $2^+$  durumuna geçişin olasılığı  $B(E2; 0^+ \rightarrow 2^+) = 5.75$  eb olarak elde edildi. Bu değerler kullanılarak özkuadropol momenti  $Q_0 = 7.605$  eb ve kuadropol momenti  $Q_{2+} = 2.21$  eb olarak hesaplandı. Deformasyon parametresi  $\beta_0 = 0.327$  değeri ile kuadropol deformasyon parametresi  $\beta_2 = 0.308$  olarak elde edildi. Bu çekirdek için hesapladığımız tüm değerler Çizelge 3.16'da verildi. Elde edilen bu değerler ileriki bölümde, daha önceki çalışmalarla karşılaştırılarak yorumlanacaktır.

### Çizelge 3.17 $^{168}\text{Er}$ İzotopu için Hesaplanan Bazı Parametreler

$B(E2)\uparrow(\text{e}^2\text{b}^2)$	$Q_0(\text{eb})$	$Q_{2+}(\text{eb})$	$\beta_0$	$\beta_2$
5.75	7.605	2.21	0.327	0.308

#### 3.1.5. $^{170}\text{Er}$ Çekirdeği

Çift-çift  $^{170}\text{Er}$  çekirdeği iyi deform olmuş ve rotasyonel karaktere sahip bir çekirdek olarak ele alınır. Bu çekirdeğin nükleer yapısı çeşitli metodlarla araştırmacılar tarafından incelenerek rapor edilmiştir. Ben-Zvi ve ark.,  $148 \leq A \leq 190$  bölgesinde çekirdeklerin  $2^+$  düzeylerine ait g-faktörlerini ölçtürlər<sup>(90)</sup>. Domingos ve ark., erbiyum izotoplarda  $\gamma$ -vibrasyonel bandların çoklu Coulomb uyarılmalarını incelediler.  $2\gamma \rightarrow 2$  ve  $4\gamma \rightarrow 4$  geçişlerine ait E2/M1 karışım oranlarını elde ettiler<sup>(70)</sup>. Kawada ve ark.,  $^{170}\text{Er}$  çekirdeğinin enerji düzeylerini elde edip incelemiştir<sup>(91)</sup>. McGowan,  $^{166-170}\text{Er}$  izotoplarda vibrasyonel durumların Coulomb uyarılmalarından elde ettiği sonuçları Etkileşen Bozon Modeli sonuçları ile karşılaştırdılar<sup>(72)</sup>. De Voight ve ark.,  $^{160-170}\text{Er}$  ve  $^{160-176}\text{Yb}$  çekirdeklerinin temel hal bandı üyeleri arasındaki elektromanyetik geçislere ait  $B(E2)$  olasılıklarını verdiler<sup>(92)</sup>. Raman ve ark., çift-çift çekirdeklerin indirgenmiş geçiş olasılıkları  $B(E2)\uparrow$  değerlerini kullanarak tek parçacık modeli yardımıyla  $Q_0$  özkuadropol momentlerini,  $\beta_2$  kuadropol deformasyon parametrelerini hesapladılar<sup>(74)</sup>. Son yıllarda bu çekirdek Raman ve ark.,<sup>(93)</sup> Binard ve ark.<sup>(75)</sup>, Chuu ve Hsieh<sup>(63)</sup> ve Jarrio ve ark.,<sup>(21)</sup> tarafından incelemiştir.

$^{170}\text{Er}$  Çekirdeğine ait uyarılmış düzeylerin basitleştirilmiş bozunum şeması Şekil 3.5'de verilmiştir<sup>(115)</sup>. Bozunum şemasını incelediğimizde enerji düzeyleri ; Teme hal bandı :  $0^+[0.0 \text{ MeV}]$ ,  $2^+[0.07859 \text{ MeV}]$ ,  $4^+[0.2601 \text{ MeV}]$ ,  $6^+[0.541 \text{ MeV}]$  düzeyleri şeklindedir. Gama bandı :  $2^+[0.9346 \text{ MeV}]$ ,  $3^+[1.0105 \text{ MeV}]$  ve  $4^+[1.1035 \text{ MeV}]$  düzeyleri ile verilir. Beta bandı:  $0^+[0.8909 \text{ MeV}]$ ,  $2^+[0.9598 \text{ MeV}]$  ve  $4^+[1.1272 \text{ MeV}]$  düzeylerini içerir.  $K^\pi=3^+$  bandı :  $3^+[1.217 \text{ MeV}]$ ,  $4^+[1.3044 \text{ MeV}]$ , düzeyleri şeklindedir.  $K^\pi=2^+$  bandı:  $2^+[1.4158 \text{ MeV}]$  düzeyidir.  $K^\pi=4^+$  bandı :  $4^+[1.5064 \text{ MeV}]$  düzeyine karşılık gelir. Oktupol bandı :  $4^-[1.2689 \text{ MeV}]$ ,  $5^-[1.3719 \text{ MeV}]$  ve  $6^-[1.4962 \text{ MeV}]$  düzeyleri şeklindedir. Bant yapılarına göre bu düzeylerin gruplandırmaları daha açıklayıcı şekilde Çizelge-3.18' de toplu olarak verilmiştir.

**Çizelge 3.18**  $^{170}\text{Er}$  izotopunun Enerji Düzeyleri

Band Yapısı $K^\pi$	Spin Parite $I^\pi$	Deneysel Enerji Düzeyleri(MeV)
Temel Hal Bandı $K^\pi=0^+$	$0^+$ $2^+$ $4^+$ $6^+$	0.0000 0.0785 0.2601 0.5410
Gama Bandı $K^\pi=2^+$	$2^+$ $3^+$ $4^+$	0.9346 1.0150 1.1035
Beta Bandı $K^\pi=0^-$	$0^+$ $2^+$ $4^+$	0.8909 0.9598 1.1272
Oktupol Bandı $K=4^-$	$4^-$ $5^-$ $6^-$	1.2689 1.3719 1.4962

### **3.1.5.1. $^{170}\text{Er}$ çekirdeğinin Enerji Düzeyleri ve Geçişlerinin Kutupsallığı**

0.07859 MeV Düzeyi :  $K^{\pi}=0^+$  temel hal rotasyonel bandının bir üyesi olan düzeyin spin paritesi  $2^+$  olarak tespit edilmiştir. Bu düzeyden kutupsallığı E2 olan  $2^+[0.07859 \text{ MeV}]0^+$  ışını geçiş yapar<sup>(94)</sup>.

0.2601 MeV Düzeyi: Temel hal rotasyonel bandının bir üyesi olan düzeyin spin paritesi  $4^+$  olarak elde edilmiştir<sup>(66)</sup>. Bu enerji düzeyinden kutupsallığı E2 olan  $4^+[0.1816 \text{ MeV}]2^+$  ışını geçiş yapar<sup>(64)</sup>.

0.541 MeV Düzeyi: Spin paritesi  $6^+$  ve temel hal rotasyonel bandının bir üyesi olan düzeyden kutupsallığı E2 olan  $6^+[0.281 \text{ MeV}]4^+$  ışını geçiş yapar<sup>(94)</sup>.

0.8909 MeV Düzeyi:  $K^{\pi}=0^+$  Beta bandının bant başı olan düzeyin spin paritesi  $0^+$  dir. Bu düzeyden kutupsallığı E2 olan  $0^+[0.8123 \text{ MeV}]2^+$  ışını geçiş yapar<sup>(95)</sup>.

0.9346 MeV Düzeyi : gama bandının bir üyesi olan düzeyin spin paritesi  $2^+$  dir. Bu düzeyi bazı araştırmacılar gözlemlileyememiştir. Bu enerji düzeyinden  $2^+[0.9346 \text{ MeV}]0^+$  ışını geçiş yapar<sup>(64)</sup>.

0.9598 MeV Düzeyi: Beta bandının bir üyesi olan düzeyin spin paritesi  $2^+$  dir. Bu enerji düzeyinden  $2^+[0.9594 \text{ MeV}]0^+$  ışını  $2^+[0.8812 \text{ MeV}]2^+$  ışını geçiş yaparlar. Bu geçişlerin kutupsallığı E2 şekildedir<sup>(91)</sup>.

1.0105 MeV Düzeyi: Gama bandının bir üyesi olan düzeyin spin paritesi  $3^+$  dir. Bu enerji düzeyinden  $3^+[0.9318 \text{ MeV}]2^+$  ışını  $3^+[0.7503 \text{ MeV}]4^+$  ışını geçiş yaparlar. Bu geçişlerin kutupsallığı üzerinde çalışmalar devam

etmekte olup birincisi için M1+E2 olarak elde edilmiştir<sup>(64)</sup>. Diğer geçiş için henüz deneysel veri yoktur.

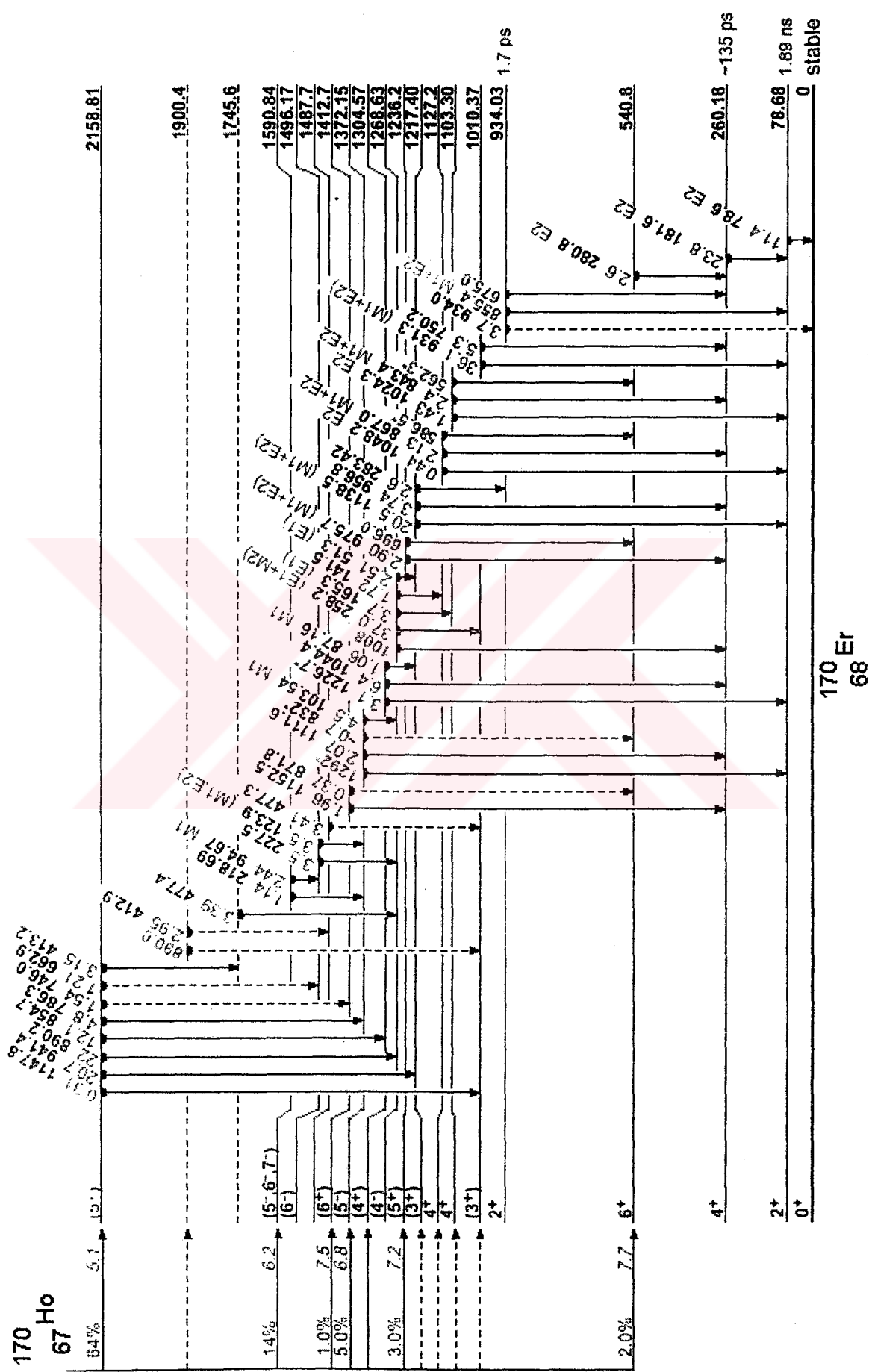
1.1035 MeV Düzeyi : Spin paritesi  $4^+$  ve gama bandının bir üyesi olan düzeyden kutupsallığı E2 olan  $4^+[1.025 \text{ MeV}]2^+$  ışını ve kutupsallığı M1+E2 olan  $4^+[0.8432 \text{ MeV}]4^+$  ışını geçiş yapar<sup>(95)</sup>.

1.2172 MeV Düzeyi:  $K^\pi = 3^+$  bandının bir üyesi olan düzeyin spin paritesi  $3^+$ dir. Bu enerji düzeyinden kutupsallığı M1+E2 olan  $3^+[1.1385 \text{ MeV}]2^+$  ışını geçiş yapar. Yine bu düzeyden kutupsallığı ile ilgili deneysel veri elde edilememiştir.

1.2689 MeV Düzeyi :  $K^\pi=4^-$  oktupol bandının bir üyesi olan düzeyin spin paritesi  $4^-$  dir. Bu enerji düzeyinden kutupsallığı E1+M2 olan  $4^-[0.25817 \text{ MeV}]3^+$  ışını geçiş yapar. Yine bu düzeyden  $4^-[0.1653 \text{ MeV}]4^+$  ışını ve  $4^-[0.0513 \text{ MeV}]3^+$  ışını geçiş yaparlar. Bu iki geçişin kutupsallığı E1 olarak verilmiştir<sup>(94)</sup>.

1.1272 MeV Düzeyi:  $K^\pi=0^+$  beta bandının üyesi olan düzeyin spin paritesi  $4^+$  olarak elde edilmiştir. Bu enerji düzeyinden kutupsallığı M1+E2 olan  $4^+[0.867 \text{ MeV}]4^+$  ışını ve kutupsallığı E2 olan  $4^+[1.0487 \text{ MeV}]4^+$  ışını geçiş yapar<sup>(96)</sup>.

1.3044 MeV Düzeyi:  $K^\pi=3^+$  bandının bir üyesi olan düzeyin spin paritesi (dd") reaksiyonu ile yapılan deneyde  $3^-$  olarak verildi<sup>(56)</sup>. Grigorev ve Bondarenko ise bu geçişin spin paritesini  $4^+$  olarak vermişlerdir<sup>(95)</sup>. Bu enerji düzeyinden  $4^+[1.226 \text{ MeV}]2^+$  ışını ve  $4^+[1.0441 \text{ MeV}]4^+$  ışını geçiş yapar.



**Şekil 3.5**  $^{170}\text{Er}$  Çekirdeğine ait uyarılmış düzeylerin basitleştirilmiş bozunum şeması

1.3719 MeV Düzeyi:  $K^\pi=4^-$  bandının bir üyesi olan düzeyin spin paritesi 5<sup>-</sup>dir. Bu düzeyden 5<sup>-</sup>[1.1116 MeV]4<sup>+</sup> ışını geçiş yapar.

1.4158 MeV Düzeyi :  $K^\pi=4^+$  bandının bir üyesi olan düzeyin spin paritesi 2<sup>+</sup> olarak verilmiştir. Bu enerji düzeyinden 2<sup>+</sup>[1.4156 MeV]0<sup>+</sup> ışını ve 2<sup>+</sup>[1.3374 MeV]2<sup>+</sup> ışını geçiş yaparlar.

1.4962 MeV Düzeyi:  $K^\pi=4^-$  oktupol bandının bir üyesi olan düzeyin spin paritesi 6<sup>-</sup> dır. Bu düzeyden kutupsallığı belli olmayan 6<sup>-</sup>[0.2275 MeV]4<sup>-</sup> ışını ve kutupsallığı M1+E2 olan 6<sup>-</sup>[0.1239 MeV]5<sup>-</sup> ışını geçiş yaparlar.

1.5064 MeV Düzeyi:  $K^\pi=4^+$  bandının bir üyesi olan düzeyinin spin paritesi 4<sup>+</sup> dır. Bu enerji düzeyinden kutupsallığı E2 olan 4<sup>+</sup>[0.572 MeV]2<sup>+</sup> ışını geçiş yapar. Yine bu düzeyden kutupsallığı ile ilgili deneyel veri elde edilemeyen 4<sup>+</sup>[0.496 MeV]3<sup>+</sup> ışını geçiş yapar<sup>(95)</sup>.

2.1583 MeV Düzeyi: Spin paritesi 5<sup>+</sup> elde edilen düzeylerin bant yapısı net olarak elde edilememiştir. Bu enerji düzeyinden kutupsallıkları belli olmayan 5<sup>+</sup>[1.148 MeV]3<sup>+</sup> ışını 5<sup>+</sup>[0.8547 MeV]4<sup>+</sup> ışını 5<sup>+</sup>[0.9411 MeV]3<sup>+</sup> ışını 5<sup>+</sup>[0.6629 MeV]6<sup>-</sup> ışını geçiş yaparlar.

### 3.1.5.2 $^{170}\text{Er}$ Çekirdeğinin Kutupsal Karışım Oranları

Bu çekirdek için verilen enerji düzeyleri arasındaki elektromanyetik geçişlerde, Etkileşen Bozon Modeli yardımıyla hesapladığımız  $\delta(E2/M1)$  karışım oranları Çizelge 3.19 de verildi.

**Çizelge 3.19**  $^{170}\text{Er}$  izotopu için hesaplanan  $\delta(\text{E}2/\text{M}1)$  Karışım Oranları

Başlangıç Enerjisi	Geçiş Enerjisi	Spin-Parite	Karışım Oranı
$E_i(\text{MeV})$	$E_\gamma(\text{MeV})$	$I_i^\pi \rightarrow I_s^\pi$	$\delta(\text{E}2/\text{M}1)$
0.9598	0.8812	$2_\gamma^+ \rightarrow 2_g^+$	19.74
1.0105	0.9318	$3_\gamma^+ \rightarrow 2_g^+$	15.69
	0.7503	$3_\gamma^+ \rightarrow 4_g^+$	15.51
1.1035	0.8432	$4_\gamma^+ \rightarrow 4_g^+$	9.10
1.2172	1.1385	$3_\gamma^+ \rightarrow 2_\gamma^+$	19.19
1.5007	0.4960	$4_\gamma^+ \rightarrow 3_\gamma^+$	8.03
2.1583	0.8547	$5_\gamma^+ \rightarrow 4_\gamma^+$	12.34
1.4158	1.3385	$2_\beta^+ \rightarrow 2_g^+$	30.04
1.3044	1.0441	$4_\beta^+ \rightarrow 4_g^+$	11.24

**3.1.5.3**  $^{170}\text{Er}$  Çekirdeği için Hesaplanan  $B(\text{E}2)$  Geçiş olasılıkları  $\beta_0$  ve  $\beta_2$  Deformasyon Parametreleri,  $Q_0$  ve  $Q_{2^+}$  Kuadropol Momentleri

$^{170}\text{Er}$  izotopu için temel hal bandının üyeleri arasındaki  $B(\text{E}2)$  geçiş olasılıkları için hesapladığımız değerler toplu olarak Çizelge-3.20' de verildi.

**Çizelge 3.20**  $^{170}\text{Er}$  izotopu için hesaplanan  $B(\text{E}2)$  Geçiş Olasılıkları

Spin-Parite		Geçiş Olasılığı
$I_i^\pi$	$I_s^\pi$	$B(\text{E}2) (\text{e}^2\text{b}^2)$
$2^+$	$0^+$	1.01
$4^+$	$2^+$	1.49
$6^+$	$4^+$	1.75
$8^+$	$6^+$	1.94
$10^+$	$8^+$	2.04

$^{170}\text{Er}$  çekirdeği  $0^+$  taban durumundan ilk uyarılmış düzey olan  $2^+$  durumuna geçişin olasılığı  $B(E2;0^+\rightarrow 2^+) = 5.05 \text{ eb}$  olarak elde edildi. Bu değerler kullanılarak özkuadropol momenti  $Q_0 = 7.12 \text{ eb}$  ve kuadropol momenti  $Q_{2+} = 2.18 \text{ eb}$  olarak hesaplandı. Deformasyon parametresi  $\beta_0 = 0.414$  değeri ile kuadropol deformasyon parametresi  $\beta_2 = 0.284$  olarak elde edildi. Bu çekirdek için hesapladığımız tüm değerler Çizelge 3.21'de verildi. Elde edilen bu değerler ileriki bölümde, daha önceki çalışmalarla karşılaştırılarak yorumlanacaktır.

**Çizelge-3.21**  $^{170}\text{Er}$  İzotopu için Hesaplanan Bazı Parametreler

$B(E2)\uparrow(e^2b^2)$	$Q_0(\text{eb})$	$Q_{2-}(\text{eb})$	$\beta_0$	$\beta_2$
5.05	7.12	2.18	0.414	0.284

### 3.2 Bazı Çift-Tek Erbiyum izotoplарının İncelenmesi

Son beş yıldan günümüze Erbiyum izotopuna ait yüksek spin durumları  $57/2^+$  ya kadar deneysel veriler toplanmıştır.  $^{159}\text{Er}$  ve  $^{161}\text{Er}$  için spin - dubletler ( $15/2^+ - 17/2^+$ )....( $39/2^+ - 41/2^+$ ) beklenildiği gibi gözlenmemektedir. Buna karşın ( $15/2^+ - 17/2^+$ )....( $43/2^+ - 45/2^-$ ) spin dubletleri  $^{155}\text{Er}$  için gözlemlenmemiştir. Bu çalışmada tek Er çekirdeklerinin yüksek spin düzeylerine ait bir takım özellikleri etkileşen bozon fermiyon modeli ile pozitif pariteler için hesaplanmıştır. Erbiyum izotopunun pozitif yüksek spin düzeyler için deneysel verileri son yıllarda yayınlanmıştır<sup>(115)</sup>. Tek  $^{159-165}\text{Er}$  izotoplарının enerji spektrumlarının tamamı yüksek spin bandları  $I=13/2^+$  den

başlamaktadır.  $^{159-165}\text{Er}$  izotopları 68 proton ve 91-97 nötrondan oluşmaktadır.

$^{159-165}\text{Er}$  izotoplarının IBFA-I de uygun tanımlayabilmek için , tek bir fermiyonun (nötron) çift-çift nükleer kora  $^{158-164}\text{Er}$  çiftlenmesi gerekmektedir. Kapalı kabuğun en yakın pozitif pariteli uygun durum yalnızca  $i=13/2$  nötron yörüngesidir. Bundan dolayı enerji spektrum hesabında bu değer hesaplama lara katılmıştır. Bu cebirsel model bütün kolektif serbestlik derecesine sahip durumlara uygulanabilmektedir. Etkileşen parametrelerin küçük değişimleri ile çekirdeklerin kolektif özelliklerini hesaplamak bu modelle mümkün olabilmektedir.

**Çizelge 3.22 IBFM – Hamiltonyen Parametreleri (MeV)**

	$^{159}\text{Er}$	$^{161}\text{Er}$	$^{163}\text{Er}$	$^{165}\text{Er}$
$A_0$	0.463	0.424	0.402	0.550
$\Gamma$	0.093	0.093	0.093	0.093
$\Lambda$	0.530	0.530	0.530	0.530
	$^{160}\text{Er}$	$^{162}\text{Er}$	$^{164}\text{Er}$	$^{166}\text{Er}$
$\epsilon_d$	0.202	0.284	0.269	0.232
$\kappa$	-0.07	-0.06	-0.05	-0.04
$\gamma_v$	-0.42	-0.45	-0.46	-0.49
$\gamma_\pi$	-0.52	-0.55	-0.56	-0.59
$\xi_{1,2}$	0.15	0.15	0.15	0.15
$\xi_3$	0.14	0.14	0.13	0.12

Tek-çift çekirdekler için ilgili Hamiltonyenin diyagonalleştirilmesi, özdurumlar arası elektromanyetik matris elemanlarının hesaplanması. Program ODDA(Ek.1) kullanılarak, çizelge-3.22'de verilen IBFM parametreleri<sup>[121]</sup> yardımcı ille yapıldı.

### **3.2.1 $^{159}\text{Er}$ Çekirdeği**

Deforme bölge ortalarında bulunan tek-çift  $^{159}\text{Er}$  izotopunun nötron sayısı  $N= 91$ 'dir.  $^{159-165}\text{Er}$  izotoplari 68 proton ve 91-97 nötrondan oluşmaktadır.  $N=82$  kapalı kabuğa nötronlar ilave edilerek 9-15 nötron düzeyi karakterize edilmektedir.  $^{159-165}\text{Er}$  izotoplarnın IBFA-I de uygun tanımlayabilmek için, tek bir fermiyonun (nötron) çift-çift nükleer kora  $^{158-164}\text{Er}$  eklenmesi gerekmektedir. Kapalı kabuğun en yakın pozitif pariteti yüksek spin durumu yalnızca  $i=13/2^-$  nötron yörüngesidir. Bu yüzden enerji spektrum hesabında bu değer hesaplamalara katılmıştır. Bu cebirsel model bütün kolektif serbestlik derecesine sahip durumlara uygulanabilmektedir. Etkileşen parametrelerin küçük değişimleri ile çekirdeklerin kolektif özelliklerini hesaplamak bu modelle mümkün olabilmektedir.  $^{159}\text{Er}$  çekirdeğine ait uyarılmış düzeylerin bozunum şeması Şekil-3.6' da verilmiştir<sup>(115)</sup>.

### **3.2.2. $^{159}\text{Er}$ Çekirdeğinin enerji düzeyleri ve geçişlerin kutupsallığı**

0.05918 MeV Düzey : Spin parite  $5/2^-$  olan bu düzeyden  $5/2^-$  [0.05918 MeV]  $3/2^-$  işini geçiş yapmakta olup, bu düzeyin kutupluluğu M1+E2'dir. Karışım oranı 0.33 olarak belirlenmiştir.

0.14411 MeV Düzeyi: Bu düzeyin spin paritesi  $7/2^-$  olup bu düzeyden  $7/2^-$  [0.08487 MeV]  $5/2^-$  işini geçiş yapar. Bu geçişin kutupsallığı M1+E2 şeklinde gözlenmiştir. Bu geçişlerin karışım oranı 0.37'dir.  $7/2^-$  [0.1447 MeV]  $3/2^-$  işini geçiş yapar ve bu geçişin kutupsallığı E2'dir.

0.18253 MeV Düzeyi: Bu düzeyin spin paritesi  $9/2^+$  olarak belirlenmiştir. Bu düzeyden  $9/2^+[0.0387 \text{ MeV}]3/2^-$  ışını geçiş yapar. Bu geçişin kutupsallığı E1 şeklindedir.

0.22020 MeV Düzeyi :  $5/2^-$  spin pariteye sahip bu düzeyden  $5/2^- [0.07599 \text{ MeV}]7/2^-$  ışını,  $5/2^- [0.16089 \text{ MeV}]5/2^-$  ışını ve  $5/2^- [0.22018 \text{ MeV}]3/2^-$  ışını geçiş yapmaktadır. Bu düzeylerin kutupluluğu M1, M1+E2 ve M1 şeklindedir.

0.22600 MeV Düzeyi : Bu düzeyin spin paritesi  $13/2^+$  olup bu düzeyden  $13/2^+[0.0439 \text{ MeV}]9/2^+$  ışını geçiş yapar.

0.25804 MeV Düzeyi : Spin paritesi  $9/2^-$  olan bu düzeyden  $9/2^- [0.1139 \text{ MeV}]7/2^-$  ışını geçiş yapar. Bu geçişin kutupsallığı M1 şeklindedir. Yine bu düzeyden  $9/2^- [0.1989 \text{ MeV}]5/2^-$  ışını geçiş yapar ve kutupsallığı E1'dir.

0.27128 MeV Düzeyi : Bu düzeyin spin paritesi  $5/2^+$  olup bu düzeyden sırasıyla  $5/2^+[0.08871 \text{ MeV}]9/2^+$  ışını,  $5/2^+[0.1279 \text{ MeV}]7/2^-$  ışını,  $5/2^+[0.2129 \text{ MeV}]5/2^-$  ışını ve  $5/2^+[0.2719 \text{ MeV}]3/2^-$  ışını geçiş yapmaktadır. Bu geçişlerin kutupsallığı E2,E1,E1 ve E1'dir.

0.30228 MeV Düzeyi : Bu düzeyin spin paritesi  $7/2^+$  olup bu düzeyden iki gama ışınının geçisi gözlenmiştir. Bu geçişler sırasıyla  $7/2^+[0.1196 \text{ MeV}]9/2^+$  ve  $7/2^+[0.2434 \text{ MeV}]5/2^-$  ışınlarıdır. Bu geçişlerin kutupsallıkları M1 ve E1'dir.

0.36200 MeV Düzeyi : Bu düzeyin spin paritesi  $11/2^+$  şeklinde olup bu düzeyden  $11/2^+[0.1379 \text{ MeV}]13/2^+$  ışını geçiş yapmaktadır. Bu geçişin kutupsallığı M1'dir.

0.43500 MeV Düzeyi : Spin paritesi  $17/2^+$  olan bu düzeyden  $17/2^+[0.2099 \text{ MeV}]13/2^+$  ışını geçiş yapar. Bu geçişin kutupsallığı E2'dir.

0.5900 MeV Düzeyi : Bu düzeyden sırasıyla  $15/2^+[0.1559 \text{ MeV}]17/2^+$  ışını,  $15/2^+[0.2289 \text{ MeV}]11/2^+$  ışını ve  $15/2^+[0.1559 \text{ MeV}]11/2^+$  ışını geçiş yapmaktadır. Bu geçişlerin kutupsallığı E2'dir.

0.7850 MeV Düzeyi : Bu düzeyin spin paritesi  $21/2^+$  olup bu düzeyden  $21/2^+[0.3509 \text{ MeV}]17/2^+$  ışını geçiş yapar. Bu geçişin kutupsallığı E2'dir.

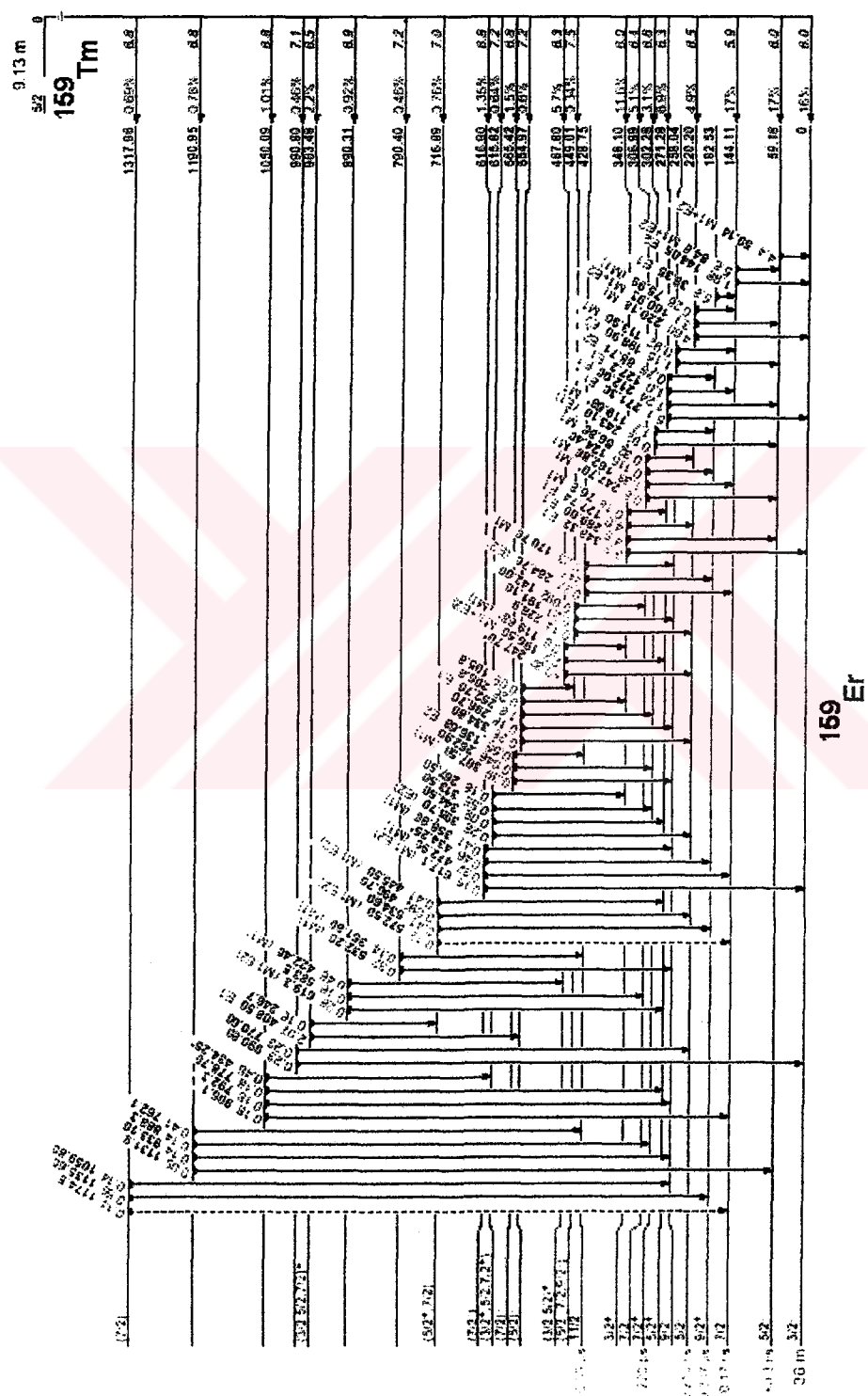
0.9610 MeV Düzeyi : Bu düzeyin spin paritesi  $19/2^+$  olup bu düzeyden sırasıyla  $19/2^+[0.1769 \text{ MeV}]21/2^+$  ışını,  $19/2^+[0.3719 \text{ MeV}]15/2^+$  ışını ve  $19/2^+[0.5269 \text{ MeV}]17/2^+$  ışını geçiş yapmaktadır. Bu geçişlerin kutupsallığı M1,E2 ve M1 şeklindedir.

1.2500 MeV Düzeyi : Bu düzeyin spin paritesi  $25/2^+$  olup bu düzeyden yalnızca bir geçiş söz konusudur. Bu geçiş  $25/2^+[0.4659 \text{ MeV}]21/2^+$  şeklinde olup kutupsallığı E2'dir.

1.4470 MeV Düzeyi: Bu düzeyin spin paritesi  $23/2^+$  olup bu düzeyden sırasıyla  $23/2^+[0.1978 \text{ MeV}]25/2^-$  ışını,  $23/2^+[0.4868 \text{ MeV}]19/2^+$  ışını ve bunu takiben  $23/2^+[0.6628 \text{ MeV}]21/2^+$  ışını geçiş yapar. Bu geçişlerin kutupsallığı M1,E2 ve M1'dir.

1.8070 MeV Düzeyi : Bu düzeyin spin paritesi  $29/2^+$  olup bu düzeyden yalnızca bir geçiş söz konusudur.  $29/2^+[0.5578 \text{ MeV}]25/2^+$  ışını E2 kutupsallığında geçiş yapar.

**Şekil 3.6**  $^{159}\text{Er}$  Çekirdeğine alt uyanılmış düzeylerin basitleştirilmiş bozunum şeması



2.4330 MeV düzeyi : Bu düzeyin spin paritesi  $33/2^+$  olup bu düzeyden  $33/2^+[0.6265 \text{ MeV}]29/2^+$  ışını geçiş yapar. Bu geçişin kutupsallığı E2'dir.

2.6750 MeV Düzeyi : Bu düzeyin spin paritesi  $31/2^+$  olup bu düzeyden  $31/2^+[0.6505 \text{ MeV}]25/2^-$  ışını geçiş yapar. Bu geçişin kutupsallığı E2'dir.

**Çizelge 3.23**  $^{159}\text{Er}$  izotopunun düşük-spin enerji düzeyleri ve pariteleri

İlk düzey (MeV)	Enerji (MeV)	Spin	Parite	$\delta(E2/M1)^{(115)}$
		$J^\pi$	$J^\pi$	
0.7904	0.5321	$5/2^+$	$9/2^-$	-
	0.3615	$5/2^+$	$11/2^-$	-
0.7169	0.5725	$5/2^+$	$7/2^-$	-
	0.5342	$5/2^+$	$9/2^+$	-
	0.4454	$5/2^+$	$5/2^+$	-
0.6163	0.6174	$7/2^-$	$3/2^-$	-
	0.4729	$7/2^-$	$7/2^-$	-
	0.4349	$7/2^-$	$9/2^+$	-
0.4674	0.2474	$5/2^+$	$5/2^-$	-
	0.1989	$5/2^+$	$7/2^+$	-
0.3484	0.3484	$3/2^+$	$3/2^-$	-
	0.2896	$3/2^+$	$5/2^-$	-
	0.1274	$3/2^+$	$5/2^-$	-
0.2710	0.2719	$9/2^-$	$3/2^-$	-
	0.2128	$9/2^-$	$5/2^-$	-
0.2202	0.2206	$5/2^-$	$3/2^-$	-
0.1822	0.0383	$5/2^-$	$7/2^-$	-
0.1441	0.1440	$7/2^-$	$5/2^-$	< 0.37
0.0591	0.0591	$5/2^-$	$3/2^-$	< 0.33

$^{159}\text{Er}$  çekirdeği için Etkileşen Bozon Fermiyon yaklaşımıyla hesaplanan enerji düzeyleri Çizelge-3.23'de verilmiştir.

**Çizelge 3.24**  $^{159}\text{Er}$  izotopunun pozitif pariteli yüksek-spin enerji düzeyleri

Spin Parite $J^\pi$	Hesaplanan Enerji düzeyi (MeV)
$33/2^+$	2.415
$29/2^+$	1.798
$25/2^+$	1.247
$21/2^+$	0.765
$17/2^+$	0.432
$13/2^+$	0.218

$^{159}\text{Er}$  çekirdeği için Etkileşen Bozon Fermiyon yaklaşımıyla hesaplanan  $B(E2)$  değerleri Çizelge-3.24'de verilmiştir.

**Çizelge 3.25**  $^{159}\text{Er}$  izotopu için hesaplanan  $B(E2)$  geçiş olasılıkları

$I_i^\pi$	$I_s^\pi$	Spin Parite	$B(E2)$ ( $e^2 b^2$ )
$17/2^+$	$13/2^+$		194
$21/2^+$	$17/2^+$		210
$25/2^+$	$21/2^+$		226
$29/2^+$	$25/2^+$		95

### **3.2.3. $^{161}\text{Er}$ Çekirdeği**

Deforme bölge ortalarında bulunan tek-çift  $^{161}\text{Er}$  izotopunun nötron sayısı N= 93'dir. Erbiyum izotopunun pozitif yüksek spin düzeyler için deneysel verileri son yıllarda yayınlandı<sup>(109)</sup>. Tek  $^{161}\text{Er}$  izotopunun yüksek spin bandı  $I=13/2^+$  den başlamaktadır.  $^{161}\text{Er}$  izotopunu IBFA-I de uygun tanımlayabilmek için , tek bir fermiyonun (nötron) çift-çift nükleer kora  $^{162}\text{Er}$  eklenmesi gerekmektedir. Kapalı kabuğun en yakın pozitif pariteli uygun durum yalnızca  $i=13/2^-$  nötron yörüngesidir. Bundan dolayı enerji spektrum hesabında bu değer hesaplamalara katılmıştır.  $^{161}\text{Er}$  çekirdeğine ait uyarılmış düzeylerin bozunum şeması Şekil-3.7'de verilmiştir<sup>(115)</sup>.

### **3.2.4. $^{161}\text{Er}$ Çekirdeğinin enerji düzeyleri ve geçişlerin kutupsallığı**

0.05950 MeV Düzeyi : Spin paritesi  $5/2^-$  olan bu düzeyden  $5/2^- [0.05950 \text{ MeV}]3/2^-$  işini geçiş yapar ve kutupsallığı M1+E2 olarak belirtilmiştir. Karışım oranı 0.14 olarak belirlenmiştir.

0.14389 MeV Düzeyi : Bu düzeyin spin paritesi  $7/2^-$  olup bu düzeyden  $7/2^- [0.05950 \text{ MeV}]5/2^-$  işini geçiş yapar. Bu geçişin kutupsallığı M1+E2 şeklinde olup karışım oranı 0.14 olarak ölçülmüştür. Yine bu düzeyden  $7/2^- [0.05950 \text{ MeV}]5/2^-$  işini geçiş yapar ve kutupsallığı E2 şeklindedir.

0.17206 MeV Düzeyi : Spin paritesi  $5/2^-$  olan bu düzeyden sırasıyla  $5/2^- [0.02818 \text{ MeV}]7/2^-$  işini,  $5/2^- [0.1120 \text{ MeV}]5/2^-$  işini ve  $5/2^- [0.17250$

$\text{MeV}]3/2^-$  ışını geçiş yapar. Bu geçişlerin kutupsallığı  $M1+E2$  şeklinde olup karışım oranları sırasıyla 0.08, 0.14 ve 0.18 olarak belirlenmiştir.

0.18941 MeV Düzeyi: Bu düzeyin spin paritesi  $9/2^+$  olup, bu düzeyden  $9/2^+[0.04550 \text{ MeV}]7/2^-$  ışını geçiş yapar. Bu düzeyin kutupsallığı  $E1$ 'dir.

0.21291 MeV Düzeyi:  $5/2^+$  spin paritesine sahip bu düzeyden  $5/2^+[0.02349 \text{ MeV}]9/2^+$  ışını,  $5/2^+[0.04086 \text{ MeV}]5/2^-$  ışını,  $5/2^+[0.06900 \text{ MeV}]7/2^-$  ışını,  $5/2^+[0.15350 \text{ MeV}]5/2^-$  ışını ve  $5/2^+[0.21250 \text{ MeV}]3/2^-$  ışını geçiş yapmaktadır. Bu geçişlerin kutupsallığı  $E2$  ve  $E1$  şeklindedir.

0.21732 MeV Düzeyi: Bu düzeyin spin paritesi  $7/2^+$  olup, bu düzeyden geçiş yapan ışınlar sırasıyla  $7/2^+[0.02782 \text{ MeV}]9/2^+$ ,  $7/2^+[0.07348 \text{ MeV}]7/2^-$  ve  $7/2^-[0.1578 \text{ MeV}]5/2^-$  geçiş yapar. Bu geçişlerin kutupsallıkları sırasıyla  $M1+E2$ ,  $E1, E1$  şeklinde olup karışım oranı ilk geçişe ait 0.10 değerindedir.

0.24977 MeV Düzeyi:  $9/2^-$  spin paritesine sahip olan bu düzeyden  $9/2^-[0.10588 \text{ MeV}]7/2^-$  ışını geçiş yapar. Bu geçişin kutupsallığı  $M1+E2$  olup karışım oranı 0.23 değerindedir.  $9/2^-[0.1902 \text{ MeV}]5/2^-$  ışını geçiş yapar. Bu geçişinde kutupsallığı  $E2$ 'dir.

0.26644 MeV Düzeyi : bu düzeyin spin paritesi  $7/2^-$  olup, bu düzeyden  $7/2^-[0.01670 \text{ MeV}]9/2^-$  ışını,  $7/2^-[0.09438 \text{ MeV}]5/2^-$  ışını,  $7/2^-[0.1220 \text{ MeV}]7/2^-$  ışını,  $7/2^-[0.2060 \text{ MeV}]5/2^-$  ışını ve  $7/2^-[0.2660 \text{ MeV}]3/2^-$  ışını geçiş yapmaktadır. Bu geçişlerin kutupsallıkları sırasıyla  $M1+E2$ ,  $M1+E2$ ,  $M1+E2, M1+E2$  ve  $E2$  şeklindedir.

0.26744 MeV Düzeyi : Bu düzeyin spin paritesi  $13/2^+$  olup, bu düzeyden yalnızca E2 kutupsallığında bir geçiş söz konusudur.  $13/2^+[0.07807 \text{ MeV}]9/2^+$  ışını geçiş yapar.

0.36948 MeV Düzeyi: Bu düzeyin spin paritesi  $3/2^+$  olup bu düzeyden sırasıyla  $3/2^+[0.15670 \text{ MeV}]5/2^+$  ışını,  $3/2^+[0.1970 \text{ MeV}]5/2^-$  ışını,  $3/2^+[0.31010 \text{ MeV}]5/2^-$  ışını,  $3/2^+[0.36970 \text{ MeV}]3/2^-$  ışını geçiş yapmaktadır.

0.39019 MeV Düzeyi : Bu düzeyin spin paritesi  $9/2^-$ dir. Bu düzeyden  $9/2^-[0.1230 \text{ MeV}]7/2^-$  ışını,  $9/2^-[0.1407 \text{ MeV}]9/2^-$  ışını,  $9/2^-[0.1720 \text{ MeV}]7/2^+$  ışını,  $9/2^-[0.2007 \text{ MeV}]9/2^-$  ışını,  $9/2^-[0.2187 \text{ MeV}]5/2^-$  ışını ve  $9/2^-[0.2467 \text{ MeV}]7/2^-$  ışını geçiş yapmaktadır. Bu geçişlerin kutupsallığı sırasıyla M1+E2,M1+E2,E1,E1,E2 ve M1 şeklindedir.

0.4663 MeV Düzeyi :  $17/2^+$  spin paritesine sahip bu düzeyden  $17/2^-[0.1987 \text{ MeV}]13/2^+$  ışını geçiş yapar. Bu geçişin kutupsallığı yoktur.

0.59006 MeV Düzeyi : Bu düzeyin spin paritesi  $7/2^+$  olup, bu düzeyden sırasıyla  $7/2^+[0.37270 \text{ MeV}]7/2^+$  ışını,  $7/2^+[0.3770 \text{ MeV}]5/2^+$  ışını ve  $7/2^+[0.4008 \text{ MeV}]9/2^+$  ışını geçiş yapar. Bu geçişlerin kutupsallığı M1'dir.

0.72484 MeV Düzeyi: bu düzeyin spin paritesi  $3/2^-$  olup bu düzeyden sırasıyla geçiş yapan ışımalar  $3/2^-[0.4580 \text{ MeV}]7/2^-$  ışını,  $3/2^-[0.552 \text{ MeV}]5/2^-$  ışını,  $3/2^-[0.581 \text{ MeV}]7/2^-$  ışını,  $3/2^-[0.665 \text{ MeV}]7/2^+$  ışını ve  $3/2^-[0.724 \text{ MeV}]3/2^-$  ışını geçiş yapar. Bu geçişlere ait deneysel kutupsallık veri yoktur.

0.7838 MeV Düzeyi: Bu düzeyin spin paritesi  $21/2^+$  olup, bu düzeyden  $21/2^+[0.3715 \text{ MeV}]17/2^+$  ışını geçiş yapmaktadır. Bu geçişe ait kutupsallık yoktur.

0.8487 MeV Düzeyi : Spin paritesi pozitif bir değer olan bu düzey  $19/2^+$  den  $19/2^+[0.340 \text{ MeV}]15/2^+$  ışını ve  $19/2^+[0.382 \text{ MeV}]17/2^+$  ışını geçiş yapmaktadır. Bu geçişlere ait kutupsallık yoktur.

1.2087 MeV Düzeyi : Bu düzeyin spin paritesi  $25/2^+$  olup bu düzeyden  $25/2^+[0.4249 \text{ MeV}]21/2^+$  ışını geçiş yapar. Kutupsallık yoktur.

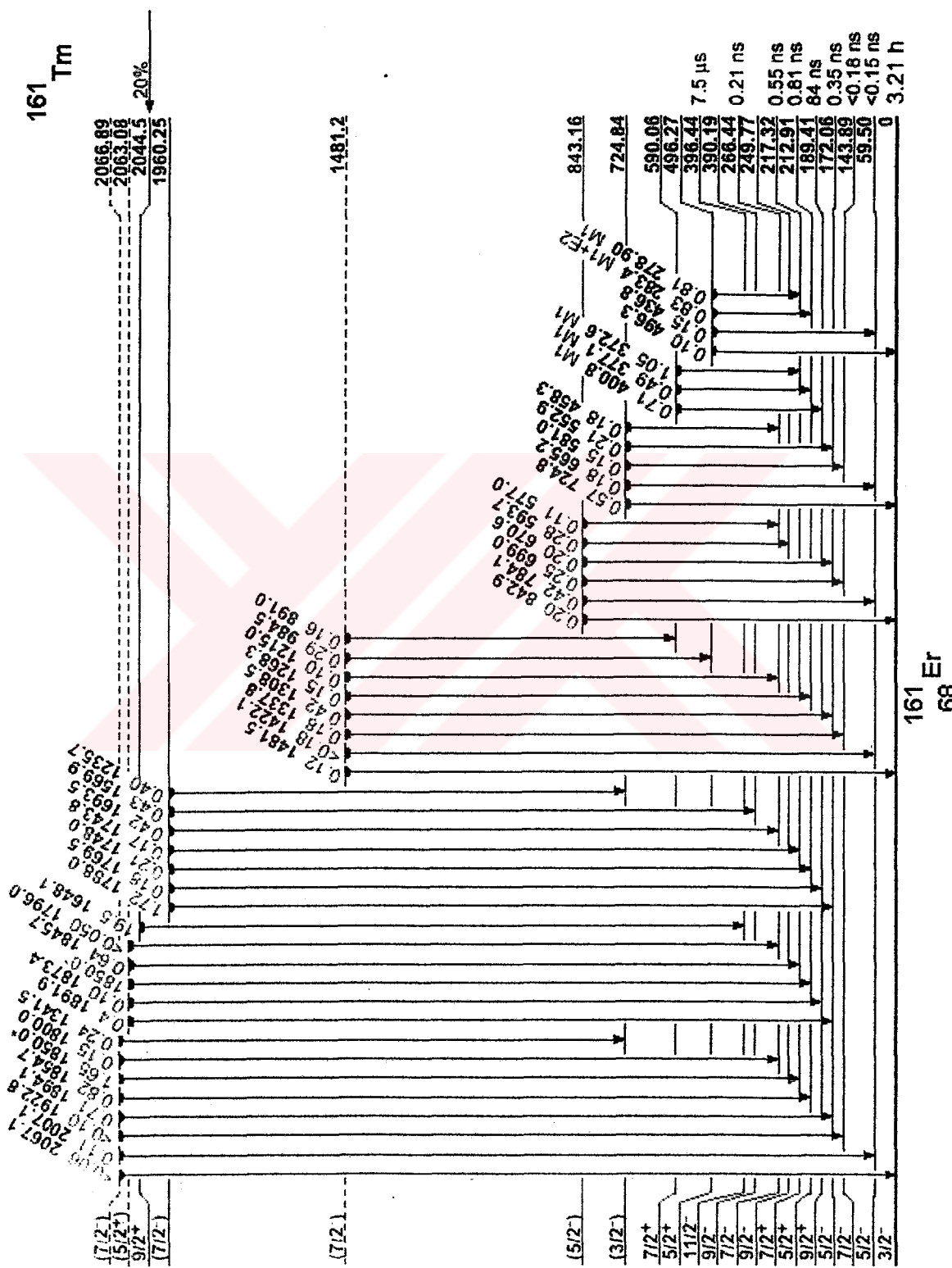
1.3129 MeV Düzeyi :  $21/2^-$  spin pariteye sahip bu düzeyden  $21/2^- [0.4211 \text{ MeV}]17/2^-$  ışını geçiş yapar. Bu geçişin kutupsallığı E2 'dir.  $21/2^- [0.464 \text{ MeV}]19/2^+$  ışını geçiş yapar fakat bu geçişin kutupsallığı yoktur.

1.7273 MeV Düzeyi: Bu düzeyin spin paritesi  $29/2^+$  olup bu düzeyden  $29/2^+[0.5181 \text{ MeV}]19/2^-$  ışını geçiş yapar.

1.8494 MeV Düzeyi :  $27/2^+$  spin paritesine sahip bu düzeyden  $27/2^+[0.5479 \text{ MeV}]23/2^+$  ışını geçiş yapar. Bu geçişin kutupsallığı E2'şeklindedir.

2.3262 MeV Düzeyi:  $33/2^+$  spin paritesine sahip bu düzeyden  $33/2^+[0.598 \text{ MeV}]29/2^+$  ışını geçiş yapar. Bu geçişin kutupsallığı yoktur.

2.9914 MeV Düzeyi : Bu düzeyin spin paritesi  $37/2^+$  olup bu düzeyden  $37/2^+[0.665 \text{ MeV}]27/2^-$  ışını geçiş yapar.



**Çizelge 3.26**  $^{161}\text{Er}$  izotopunun düşük-spin enerji düzeyleri ve pariteleri

İlk düzey (MeV)	Enerji (MeV)	Spin $J^\pi$	Parite $J^{\pi'}$	$\delta(E2/M1)^{(115)}$
0.4632	0.4631	$3/2^+$	$3/2^-$	-
	0.4035	$3/2^+$	$5/2^-$	-
0.3968	0.2525	$11/2^-$	$7/2^-$	0.23
	0.2072	$11/2^-$	$9/2^+$	-
0.3903	0.1464	$11/2^-$	$13/2^+$	-
	0.2464	$9/2^-$	$7/2^-$	-
0.3884	0.2189	$9/2^-$	$5/2^-$	-
	0.1729	$9/2^-$	$7/2^+$	-
0.3694	0.2444	$11/2^-$	$7/2^-$	-
	0.1369	$11/2^-$	$9/2^+$	0.23
0.2960	0.3102	$3/2^+$	$5/2^-$	-
	0.1976	$3/2^+$	$5/2^-$	-
0.2672	0.1564	$3/2^+$	$5/2^+$	0.36
	0.0798	$11/2^+$	$9/2^+$	-
0.1722	0.0786	$13/2^+$	$9/2^+$	-
	0.1728	$5/2^-$	$7/2^+$	0.18
0.1439	0.1439	$7/2^-$	$3/2^-$	-
0.0595	0.0595	$5/2^-$	$3/2^-$	0.14

$^{151}\text{Er}$  çekirdeği için Etkileşen Bozon Fermiyon yaklaşımıyla hesaplanan enerji düzeyleri Çizelge-3.26'de verilmiştir.

**Çizelge 3.27**  $^{161}\text{Er}$  izotopunun pozitif pariteli yüksek-spin enerji düzeyleri

Spin Parite $J^\pi$	Hesaplanan Enerji düzeyi (MeV)
$33/2^+$	2.3311
$29/2^+$	1.7341
$25/2^+$	1.2185
$21/2^+$	0.7885
$17/2^+$	0.4714
$13/2^+$	0.2643

$^{161}\text{Er}$  çekirdeği için Etkileşen Bozon Fermiyon yaklaşımıyla hesaplanan  $B(E2)$  değerleri Çizelge-3.27'de verilmiştir.

**Çizelge 3.28**  $^{161}\text{Er}$  izotopu için hesaplanan  $B(E2)$  geçiş olasılıkları

Spin Parite		$B(E2)$ ( $e^2 b^2$ )
$I_i^\pi$	$I_s^\pi$	Bu Çalışma
$7/2^-$	$3/2^-$	0.73
$11/2^-$	$9/2^-$	0.00048

### 3.2.5. $^{163}\text{Er}$ Çekirdeği

Deforme bölge ortalarında bulunan tek-çift  $^{163}\text{Er}$  izotopunun nötron sayısı  $N= 95$ 'dir. Bu izotopun enerji düzeyleri ve bağıl kutuplulukları ve geçiş olasılıkları hakkında teorik çalışmalar oldukça kısıtlıdır. Son yıllarda

gelişen bilgisayar yazılımları sayesinde ve süper bilgisayarlarla teorik hesaplamalarda bir gelişme kaydedilmiştir. Etkileşen bozon modelinin diğer bir versiyonu olan etkileşen bozon fermion modeli ile tek-çift izotopların nükleer yapılarına ait bir takım hesaplamalar son yıllarda bir çok araştırmacının dikkatini çekmiştir.  $^{163}\text{Er}$  çekirdeğine ait uyarılmış düzeylerin bozunum şeması Şekil-3.8'de verilmiştir<sup>(115)</sup>.

### **3.2.6. $^{163}\text{Er}$ Çekirdeğinin enerji düzeyleri ve geçişlerin kutupsallığı**

0.06921 MeV Düzeyi : Spin paritesi  $5/2^+$  olan bu düzeyden  $5/2^+[0.06921 \text{ MeV}]5/2^-$  ışını geçiş yapar ve kutupsallığı E1 olarak belirtilmiştir.

0.08396 MeV Düzeyi : Negatif parite değerine sahip olan bu düzeyin spin paritesi  $7/2^-$  olarak tayin edilmiştir. Bu düzeyden  $7/2^-[0.08369 \text{ MeV}]5/2^+$  ışını geçiş yapar ve kutupsallık iki kısımdan kaynaklanır. Manyetik dipol M1 ve Elektrik dipol E2 kutupsallıkları beraber gözlenmektedir.

0.09155 MeV Düzeyi : spin paritesi  $7/2^+$  olan bu düzeyden  $7/2^+[0.09155 \text{ MeV}]5/2^-$  düzeyeine ve aynı zamanda  $7/2^+[0.02232 \text{ MeV}]5/2^+$  düzeyeine ışın geçiş yapar. İkinci geçişin çok kutupluluğu M1+E2 şeklinde olup, birinci geçişin kutupsallığı E1 şeklindedir. İkinci geçişe ait çok kutupluluk 0.190 olarak ölçülmüştür.

0.1043 MeV Düzeyi : Bu düzeyin spin paritesi  $3/2^+$  olup sırasıyla  $3/2^-[0.03505 \text{ MeV}]5/2^+$ ,  $3/2^-[0.10432 \text{ MeV}]5/2^+$  ışını geçiş yapmaktadır. Bi

geçişlerin kutupsallıkları sırasıyla E1 ve M1(+E2) şeklindedir. Karışım oranı 0.06 olarak ölçülmüştür.

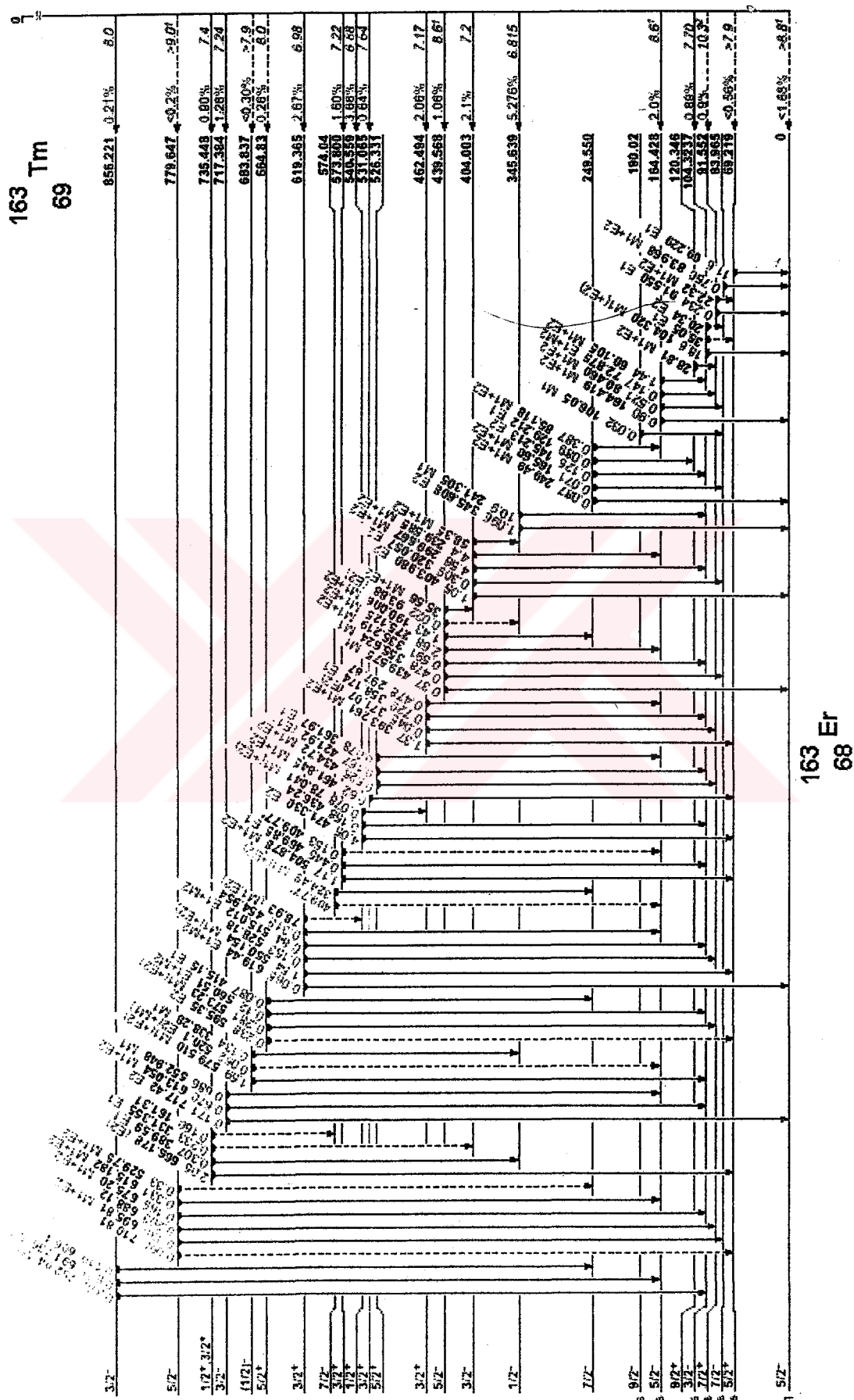
0.1203 MeV Düzeyi : Spin paritesi  $9/2^+$  olan bu düzeyden  $9/2^+[0.02881$  MeV ] $7/2^+$  ışını geçiş yapar. Bu geçişin kutupsallığı M1+E2 şeklinde olup karışım oranı 0.090 olarak gözlenmiştir.

0.1644 MeV Düzeyi :  $5/2^-$  spin paritesine sahip bu düzeyden sırasıyla  $5/2^-[0.060105$  MeV ] $3/2^-$  ışını,  $5/2^-[0.07287$  MeV ] $7/2^+$  ışını ,  $5/2^-[0.08046$  MeV ] $7/2^-$  ışını ve  $5/2^-[0.1645$  MeV ] $5/2^-$  geçiş yapmaktadır.  $5/2^-[0.07287$  MeV ] $7/2^+$  kutupsallığı E1+M2 şeklinde olup karışım oranı 0.17'dir. Benzer şekilde  $5/2^-[0.08046$  MeV ] $7/2^-$  düzeyinin kutupsallığı M1+E2 şeklinde olup karışım oranı 0.051'dir.

0.19002 MeV Düzeyi : Bu düzeyin spin paritesi  $9/2^-$  dir.  $9/2^-[0.10605$  MeV ] $7/2^-$  ışını geçiş yapar. Kutupsallığı M1 olarak gözlenmiştir.

0.2473 MeV Düzeyi :  $13/2^+$  spin pariteye sahip bu seviden  $13/2^+[0.1267$  MeV ] $9/2^+$  ışını geçiş yapar. Bu geçişin kutupsallığı E2 şeklindedir.

0.2495 MeV Düzeyi : Bu düzeyin spin paritesi  $7/2^-$  dir. Bu düzeyden sırasıyla  $7/2^-[0.08511$  MeV ] $5/2^-$  ışını,  $7/2^-[0.1296$  MeV ] $9/2^+$  ,  $7/2^-[0.1456$  MeV ] $3/2^-$  ışını,  $7/2^-[0.1656$  MeV ] $7/2^-$  ışını ve  $7/2^-[0.2496$  MeV ] $5/2^-$  ışını geçiş yapar. Bu geçişlerin kutuplulukları sırasıyla M1+E2, E1, E2, M1+E2,M1+E2 şeklinde olup yine karışım oranları sırasıyla 0.18 , 0.26. 0.49 olarak gözlenmiştir.



**Şekil 3.8** <sup>163</sup>Er Çekirdeğine ait uyarılmış düzeylerin basitleştirilmiş bozunum şeması

0.412 MeV Düzeyi : Bu düzeyin spin paritesi  $15/2^+$  olup  $15/2^+[0.1646$  MeV ] $13/2^+$  ışını ve  $13/2^+[0.2136$  MeV ] $11/2^+$  ışını geçiş yapar.  $15/2^+[0.1646$  MeV ] $13/2^+$  geçişine ait kutupsallık M1+E2 şeklinde olup,  $13/2^+[0.2136$  MeV ] $11/2^+$  geçisi için kutupsallık E2'dir.

0.4624 MeV Düzeyi :  $17/2^+$  spin pariteye sahip bu düzeyden  $3/2^+[0.3586$  MeV ] $3/2^+$  ışını,  $3/2^+[0.3716$  MeV ] $7/2^+$  ışını ve  $3/2^+[0.3936$  MeV ] $5/2^+$  ışını geçiş yapmaktadır. Bu geçişlerin kutupsallığı sırasıyla E1,E2, M1+E2 şeklinde olup son durum için karışım oranı 0.44 şeklindedir.

0.4651 MeV Düzeyi : Bu düzeyin spin paritesi  $17/2^+$  dir.  $17/2^+[0.3586$  MeV ] $13/2^+$  ışını geçiş yapar. Bu geçişin kutupsallığı E2 dir.

0.5310 MeV Düzeyi :  $3/2^+$  spin pariteye sahip bu düzeyden  $5/2^+[0.4618$  MeV ] $5/2^+$  ışını geçiş yapar. Bu geçişin kutupsallığı M1+E2 şeklinde olup karışım oranı 0.90' dir.

0.7372 MeV düzeyi : Bu düzeyin spin paritesi  $19/2^+$  dir. Bu enerji düzeyinden  $19/2^+[0.27186$  MeV ] $17/2^+$  ışını ve  $19/2^+[0.3256$  MeV ] $15/2^+$  ışını geçiş yapar. Bu geçişlerin kutupluluğu sırasıyla M1+E2 ve E2 şeklindedir.

0.7788 MeV Düzeyi : Bu düzeyin spin paritesi  $21/2^+$  dir. Bu enerji düzeyinden  $21/2^+[0.3136$  MeV ] $17/2^+$  ışını geçiş yapar. Bu geçişin kutupluluğu E2 şeklindedir.

1.1870 MeV Düzeyi :  $25/2^+$  spin pariteye sahip bu enerji düzeyinden  $25/2^+[0.4082$  MeV ] $5/2^+$  ışını geçiş yapar. Bu geçişin kutupsallığı E2 olarak gözlenmiştir.

1.6837 MeV düzeyi : Bu düzeyin spin paritesi  $29/2^+$  dir. Bu enerji düzeyinden  $29/2^+[0.4966 \text{ MeV}]25/2^+$  ışını geçiş yapmakta olup kutupluluğu E2'dir.

**Çizelge 3.29**  $^{163}\text{Er}$  izotopunun düşük-spin enerji düzeyleri ve pariteleri

İlk düzey (MeV)	Enerji (MeV)	Spin $J^\pi$	Parite $J^\pi'$	$\delta(E2/M1)^{(115)}$
0.8562	0.7520	$3/2^-$	$3/2^-$	-
	0.6913	$3/2^-$	$5/2^-$	-
0.7798	0.7103	$5/2^-$	$5/2^+$	-
	0.6952	$5/2^-$	$7/2^-$	0.7
	0.6554	$5/2^-$	$7/2^+$	-
0.7353	0.6664	$3/2^+$	$5/2^+$	-
	0.3319	$3/2^+$	$3/2^-$	-
	0.1619	$3/2^+$	$7/2^-$	-
0.6194	0.6194	$3/2^+$	$5/2^-$	-
	0.5509	$3/2^+$	$5/2^+$	< 0.27
0.5734	0.5042	$3/2^+$	$5/2^+$	0.8
	0.4696	$3/2^+$	$7/2^+$	-
	0.4094	$3/2^+$	$5/2^-$	-
0.4620	0.3939	$3/2^+$	$5/2^+$	-
	0.3718	$3/2^+$	$7/2^+$	-
0.3452	0.3450	$1/2^-$	$5/2^-$	-
0.2492	0.1658	$7/2^-$	$7/2^+$	0.26
0.0839	0.0839	$7/2^-$	$5/2^-$	1.60
0.0692	0.0692	$5/2^+$	$5/2^-$	-

$^{163}\text{Er}$  çekirdeği için Etkileşen Bozon Fermiyon yaklaşımıyla hesaplanan enerji düzeyleri Çizelge-3.29'da verilmiştir.

**Çizelge 3.30**  $^{163}\text{Er}$  izotopunun pozitif pariteli yüksek-spin enerji düzeyleri

Spin Parite $J^\pi$	Hesaplanan Enerji düzeyi (MeV)
$29/2^+$	1.6712
$25/2^+$	1.1801
$21/2^+$	0.7751
$17/2^+$	0.4630
$13/2^+$	0.2465
$5/2^+$	0.0670

$^{163}\text{Er}$  çekirdeği için Etkileşen Bozon Fermiyon yaklaşımıyla hesaplanan  $B(E2)$  değerleri Çizelge-3.30'da verilmiştir.

**Çizelge 3.31**  $^{163}\text{Er}$  izotopu için hesaplanan  $B(E2)$  geçiş olasılıkları

Spin Parite		$B(E2)$ ( $e^2 b^2$ )
$I_i^\pi$	$I_s^\pi$	Bu Çalışma
$15/2^+$	$13/2^+$	1.27
$17/2^+$	$15/2^+$	2.84
$19/2^+$	$17/2^+$	3.04
$21/2^+$	$19/2^+$	2.86
$23/2^+$	$21/2^+$	2.57
$25/2^+$	$23/2^+$	1.38

### **3.2.7. $^{165}\text{Er}$ Çekirdeği**

$^{165}\text{Er}$  çekirdeği 68 proton ve 97 nötron toplamı ile çift-tek çekirdekler olarak adlandırılır. Bu izotop üzerine 1970'li yıllarda günümüzde kadar bir çok araştırma yapılmıştır. İ.Uluer<sup>(112)</sup>, deneysel yöntemle  $^{165}\text{Tm}$ 'u  $\beta^+$  ce EC ile temel düzeye dönüşmesini 100'den fazla geçişle takip eden  $^{165}\text{Er}$ 'un Gama ışınması spektrumunu  $^{165}\text{Tm}$  kaynağı kullanarak ölçmüştür. Çakışma deneyleri ile yirmi gama ışınının çok kutuplu karışım oranı Uluer tarafından ölçülmüştür. Ayrıca Gromov ve ark<sup>(113)</sup>, deneysel teknikler kullanarak enerji düzeyleri hakkında ayrıntılı bilgi vermişlerdir.  $^{165}\text{Er}$  çekirdeğine ait uyarılmış düzeylerin bozunum şeması Şekil-3.9' da verilmiştir<sup>(115)</sup>.

### **3.2.8. $^{165}\text{Er}$ Çekirdeğinin enerji düzeyleri ve geçişlerin kutupsallığı**

0.04713 MeV Düzeyi : 004713 MeV geçişinin düşük enerjisi ve E1 çok kutupluluğu, bu geçişin 004713 MeV'de 5/2[523] düzeyine ulaşlığını gösterir. 004713 MeV düzeyi 5/2[642] olarak belirtilmiştir.

0.2428 MeV Düzeyi : 02428 MeV geçişinin çok kutupluluk oranı (M1~10% E2) 3/2, 5/2, 7/2 spin durumlarına müsaade eder ve tek paritelidir. 01655 MeV (E2~3% M1) tek-parçacık geçisi olmalıdır ve bu durumda M1 önemsizdir.

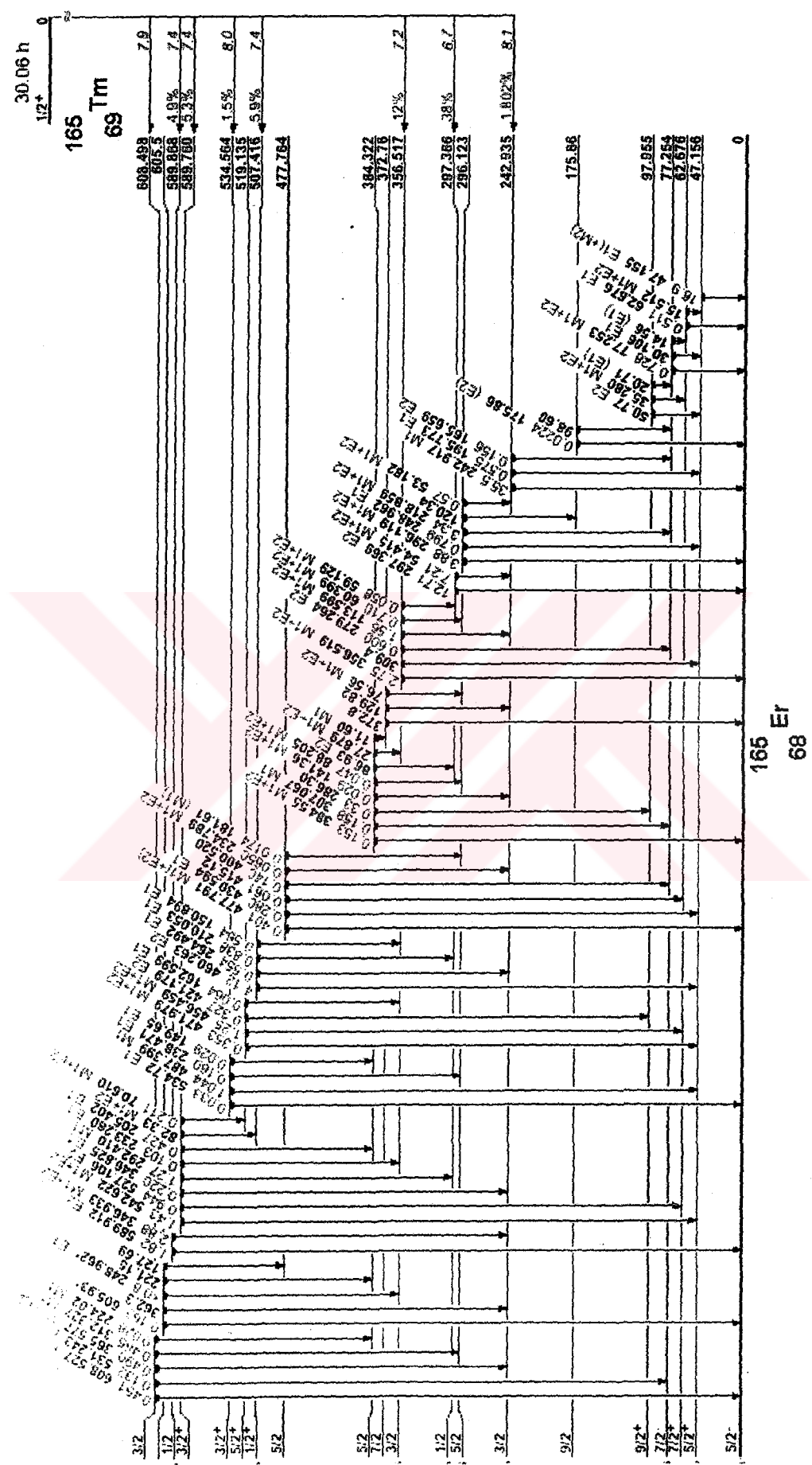
0.2960 MeV Düzeyi: Bu düzeyden kaynaklanan geçişlerin kutupsallığı incelenmesi bu düzeyin 5/2<sup>-</sup> spin ve paritesinde olmasını gerektirmektedir.

0.2972 MeV Düzeyi : Enerji çok kutupluluk ve uyarma özelliklerinin incelenmesinden bu düzeylerin  $1/2^-$  [521] durumu üzerine kurulmuş rotasyonel düzeyler olduğu anlaşılır. Burada  $\gamma$ -vibrasyonel durumları  $5/2^+$ [523] ve  $3/2^+$ [521] düzeylerine %24 ve %3 oranında etki ederler.

0.4777 MeV Düzeyi : iç dönüşüm elektronları üzerinde yapılan çalışmalar  $77 \rightarrow 400$  keV geçişleri 477.7 keV düzeylerinin varlığına işaret etmiştir. 477.7 KeV geçişinden kaynaklanan geçişlerin karışım oranları belirlenmiştir. Bu arada 234.8 keV geçişinde E1 olamayacağı anlaşılmıştır. Dolayısı ile 477.7 KeV düzeyinin negatif parite ile  $5/2^-$  veya  $7/2^-$  spine sahip olmasını gerektirir. Enerji durumundan bakılacak olursa 477.7 KeV düzeyi bilinen rotasyonel bandlardan biri değildir.

0.5074 MeV Düzeyi : Gromov ve ark. 507.4 KeV düzeyine spin ve parite olarak  $1/2^-$  vermişlerdir. Düzeyden kaynaklanan geçişlerin çok kutupluluk oranları ise  $1/2^-$ 'ya ilaveten  $3/2^-$ 'yi da gerektirmektedir. Bilindiği gibi tek-A çekirdeklerde kolektif durumların tek partikül uyarılmış halleri ile karışması oldukça yoğundur.

0.5898 MeV Düzeyi : Gromov ve ark<sup>(113)</sup>. bu düzeyi 0.5074 MeV üzerine kurulmuş  $I=3/2$  olan bir rotasyonel düzey olarak adlandırmıştır. Gromov ve ark<sup>(113)</sup>. 05898 MeV düzeyinin  $1/2^-$ ,  $3/2^-$  ve  $5/2^-$  olabileceğini tahmin etmiştir. Çakışma ölçümleri ve çok kutupluluk oranlarını göz önünde bulundurularak Kurceviz ve ark<sup>(114)</sup> 590 KeV civarında iki düzey bulunması gerektiğini öne sürmüştür. Bunlardan biri ( $3/2^-$ ) diğeri ise ( $1/2$ ,  $3/2^-$ ) (589.9 KeV) olup bu iki düzeyden 347 KeV civarında iki geçiş kaynaklanmaktadır.



**Şekil 3.9**  $^{165}\text{Er}$  Çekirdeğine ait uyarılmış düzeylerin basitleştirilmiş bozunum şeması

Gromov ve ark<sup>(113)</sup>. ise burada sadece bir enerji düzeyinin olduğunu öne sürmekte ve 347 KeV'nin M1+%2 E2 olduğunu kabul etmektedir.

0.6083 MeV Düzeyi : Gromov ve ark<sup>(113)</sup> bu düzeyi  $5/2^-$  olarak belirlemiştir. Bu düzeyden kaynaklanan geçişlerin çok kutuplu düzeyleri  $3/2^-$  ninde geçerli olabileceğini kanıtlamaktadır.

0.7460 MeV ve 08535 MeV Düzeyleri : 746 KeV ve 853.5 KeV düzeylerinden kaynaklanan geçişlerin çok kutuplulukları ve bunlara gelen geçişler birlikte göz önüne alınırsa birinci düzey için spin ve paritenin  $1/2^-$  ikinci düzey için ise  $3/2^-$  olması gerektiği anlaşılır.

0.9208 MeV Düzeyi : 920.4 KeV düzeyi olarak Gromov tarafından öne sürülen birinci düzey Gromov ve ark<sup>(113)</sup>. tarafından da çakışma deneyleri ile belirlenmiştir. Bu düzeyler için elde bulunan çok kutuplu değerleri  $1/2^-$  ve  $3/2^-$  spin ve paritelerini önermektedir.

**Çizelge 3.32**  $^{165}\text{Er}$  izotopunun düşük-spin enerji düzeyleri ve pariteleri

İlk düzey (MeV)	Enerji (MeV)	Spin Parite		$\delta(E2/M1)$
		$J^\pi$	$J'^\pi$	
1.4275	1.1843	$3/2^+$	$3/2^-$	-
	1.1313	$3/2^+$	$5/2^-$	-
0.9208	0.5643	$1/2^-$	$3/2^-$	$0.18_{-0.04}^{+0.04} \text{ (121)}$
0.8535	0.8062	$3/2^+$	$5/2^+$	$0.06_{-0.06}^{+0.06} \text{ (121)}$
0.7460	0.3894	$1/2^+$	$3/2^-$	-
0.6083	0.3124	$3/2^-$	$5/2^-$	$0.20_{-0.17}^{+0.17} \text{ (121)}$
0.5899	0.3469	$1/2^-$	$3/2^-$	$0.23_{-0.08}^{+0.07} \text{ (121)}$
	0.3469	$3/2^-$	$3/2^-$	$0.30_{-0.11}^{+0.11} \text{ (121)}$
0.5074	0.2645	$1/2^+$	$3/2^-$	-
	0.1509	$1/2^+$	$3/2^-$	-
0.3843	0.0882	$5/2^-$	$5/2^-$	$0.139^{(115)}$
0.3565	0.1136	$3/2^-$	$3/2^-$	$0.090^{(115)}$
	0.0604	$3/2^-$	$5/2^-$	$0.783^{(115)}$
0.2960	0.2489	$5/2^-$	$5/2$	-
	0.2188	$5/2^-$	$7/2^-$	$0.30_{-0.10}^{+0.10} \text{ (121)}$
0.2972	0.0545	$1/2^-$	$5/2^-$	$0.068^{(115)}$
0.2428	0.1958	$3/2^-$	$5/2$	-
0.0772	0.0772	$7/2^-$	$5/2^-$	$2.0^{(115)}$
0.0472	0.0472	$5/2^+$	$5/2^-$	$< 0.032^{(115)}$

$^{165}\text{Er}$  çekirdeği için Etkileşen Bozon Fermiyon yaklaşımıyla hesaplanan enerji düzeyleri Çizelge-3.32'de verilmiştir.

**Çizelge 3.33**  $^{165}\text{Er}$  izotopunun pozitif pariteli yüksek-spin enerji düzeyleri

Spin Parite $J^\pi$	Hesaplanan Enerji düzeyi (MeV)
$29/2^+$	1.6543
$25/2^+$	1.1621
$23/2^+$	1.0014
$21/2^+$	0.7662
$19/2^+$	0.6542
$17/2^+$	0.4623
$15/2^+$	0.3681
$13/2^+$	0.2415
$5/2^+$	0.04910

$^{165}\text{Er}$  çekirdeği için Etkileşen Bozon Fermiyon yaklaşımıyla hesaplanan  $B(E2)$  değerleri Çizelge-3.34'de verilmiştir.

**Çizelge 3.34**  $^{165}\text{Er}$  izotopuna ait  $B(E2)$  geçiş olasılıkları

Spin Parite	$B(E2)$ ( $e^2 b^2$ )	
$I_l^\pi$	$I_s^\pi$	Bu Çalışma
$13/2^+$	$11/2^+$	0.078
$15/2^+$	$13/2^+$	0.041
$19/2^+$	$17/2^+$	0.004

#### **4. TARTIŞMA VE SONUÇLAR**

Bu kısımda önceki bölümde  $150 \leq A \leq 190$  deformde bölge ortalarında bulunan  $^{162-170}\text{Er}$  izotoplari için hesaplanan  $\delta(E2/M1)$  kutupsal karışım oranlarını temel hal bandına ait  $B(E2; L \rightarrow L-2)$  geçiş olasılıklarını,  $B(E2)^\uparrow$  indirgenmiş geçiş olasılıklarını,  $\beta_0$  ve  $\beta_2$  Deformasyon Parametreleri,  $Q_0$  ve  $Q_{2+}$  Kuadropol Momentlerini, günümüze kadar yapılmış deneysel ve teorik değerlerle karşılaştırıp aralarındaki uyum tartışılmıştır.

##### **4.1 Erbiyum izotoplara ait Kutupsal Karışım Oranları**

IBM yaklaşımı kullanılarak hesaplanan  $\delta(E2/M1)$  karışım oranları daha önce elde edilen deneysel ve teorik değerlerle birlikte karşılaştırmalı olarak Çizelge-4.1-4.5' de verildi. Elde edilen sonuçlar, genelde diğer teorik değerlerle oranla, deneysel veriler ile daha iyi uyuşmakta ve onları desteklemektedir. Yine bu çalışmada daha önce teorik veya deneysel olarak üzerinde çalışılmamış bazı geçişlerin karışım oranları da elde edilerek çizelgelerde verilmiştir.

Çizelge 4-1' de görüldüğü gibi  $^{162}\text{Er}$  çekirdeğinde 0.673 MeV geçisi için elde ettiğimiz 0.25 değeri, West ve ark.<sup>(58)</sup> nın elde ettiği 0.04 değerine yakın sonuç vermiştir. 0.957 MeV geçisi için elde edilen 7.71 değeri, West ve ark. <sup>(58)</sup> tarafından verilen 7.9 değerine hata sınırları içerisinde uymaktadır. 0.620 MeV geçisi için elde ettiğimiz 0.10 değeri yine West ve ark. <sup>(58)</sup> nın elde ettiği değere hata sınırları içerisinde uymaktadır. 0.793 MeV

geçisi için elde ettiğimiz 3.5 değeri, West ve ark.<sup>(58)</sup>ının verdiği 3.5 değerine tam bir uyumluluk içerisindeidir. 0.173 MeV geçisi için elde ettiğimiz 2.02 değeri , West ve ark.<sup>(58)</sup>ının elde ettiği 2.65 değerine yakındır.

**Çizelge 4.1**  $^{162}\text{Er}$  için Teorik ve Deneysel  $\delta(E2 / M1)$  Karışım Oranları

$I_i^\pi(\text{Geçiş En.})I_s^\pi$	$\delta(E2 / M1)$		
$I_i^\pi(E_\gamma)I_s^\pi$	Bu Çalışma	Deney	Diğer Çalışmalar
$2^+[0.7990]2^+$	13	-	-
$3^+[0.6730]4^+$	0.25	$0.31^{(14)}$	$0.04^{(58)}$
$4^+[0.8000]4^+$	5.17	-	-
$5^+[0.9570]4^+$	7.71	$7.9^{(14)}$	$7.9^{(58)}$
$5^+[0.6200]6^+$	0.10	$0.16^{(14)}$	$0.00^{(58)}$
$6^+[0.7930]6^+$	3.5	$3.5^{(14)}$	$3.5^{(58)}$
$6^+[0.1730]5^+$	2.02	$2.65^{(14)}$	$2.65^{(58)}$
$7^+[1.0003]6^+$	3.49	$7.9^{(14)}$	-

Çizelge 4-2'de görüldüğü gibi  $^{164}\text{Er}$  çekirdeğinde 0.8549 MeV geçisi için elde ettiğimiz 5.71 değeri , West ve ark.<sup>(58)</sup>ının elde ettiği 7.7 deneysel değere yakındır. Lipas ve ark.<sup>(18)</sup>nın elde ettiği 15.78 değeri, hesapladığımız değerin ve deneysel değerin yaklaşık iki katıdır. 0.8979MeV geçisi için elde edilen 4.43 değeri, Lange ve ark.<sup>(14)</sup> tarafından verilen 4.8 değeri hata sınırları içerisinde uyışmaktadır. 0.7588 MeV geçisi için elde edilen 36.9 değeri, West ve ark.<sup>(58)</sup>nın elde ettiği 2.4 değeri ve Fields ve ark.<sup>(60)</sup>nın elde ettiği 1.15 deneysel değerleri ile uyumsuz sonuçlar verdi. Buna karşın Lipas ve ark.<sup>(18)</sup>ının elde ettiği 29.37 değeri ile uyumlu sonuç elde edildi. 0.9299 MeV

geçisi için elde edilen 4.47 değeri, Lipas ve ark.<sup>(18)</sup> nın elde ettiği 3.81 değere göre West ve ark.<sup>(58)</sup> nın elde ettiği deneysel 6.52 değere daha yakın sonuç verdi.

#### Çizelge 4.2 $^{164}\text{Er}$ için Teorik ve Deneysel $\delta(E2 / M1)$ Karışım Oranları

$I_i^\pi(\text{Geçiş En.})I_s^\pi$	$\delta(E2 / M1)$		
$I_i^\pi(E_\gamma)I_s^\pi$	Bu Çalışma	Deney	Diğer Çalışmalar
$2^+[0.7689]2^+$	6.94	-	$60.2^{(18)}$
$3^+[0.6964]4^+$	180.25	-	$92.9^{(18)}$
$3^+[0.6469]2^+$	4.65	-	-
$4^+[0.7588]4^+$	36.99	$2.4^{(58)}1.15^{(60)}$	$29.37^{(18)}$
$5^+[0.5832]6^+$	133.41	$12.02^{(14)}$	$134.36^{(18)}$
$5^+[0.8979]4^+$	4.43	$4.8^{(14)}$	$6.82^{(18)}$
$6^+[0.7439]6^+$	6.73	$1.93^{(14)}$	$5.74^{(18)}$
$7^+[0.9299]6^+$	4.47	$6.52^{(58)}$	$3.81^{(18)}$
$3^+[0.8549]2^+$	5.71	$7.7^{(58)}$	$15.78^{(18)}$
$2^+[1.3925]2^+$	12.58	-	-

$^{166}\text{Er}$  çekirdeği için Çizelge-4.3'de verilen değerlere bakıldığında 0.7053 MeV geçisi için 17.61 değeri, Lange ve ark.<sup>(14)</sup> nın verdiği 16.01 deneysel değeri ile uyuşmaktadır. Lipas ve ark.<sup>(18)</sup> nın teorik 16.84 değeri alt sınırı teşkil edecek şekilde deneyeyle uyuşmaktadır. Diğer teorik çalışmalar deneyeyle ve hesapladığımız değerle uyumsuzdurlar. 0.5943 MeV geçişinin 8.97 olarak hesapladığımız karışım oranı, Krane K.S ve ark.<sup>(78)</sup> nın deneysel olarak elde ettikleri 8.00 değeri ile oldukça iyi uyuşmakta olup, Lipas ve ark.<sup>(18)</sup> nın elde

ettiği teorik 17.61 değerinden çok daha deneysel değere yakın sonuç vermiştir. 0.1601 Mev geçisi için hesapladığımız 1.23 değeri, Binarn ve ark.<sup>(75)</sup> nın deneysel yöntemle elde ettikleri 1.39 değerine yakın sonuç verdiği görülmektedir. Schreckenbach ve Gellety<sup>(71)</sup> nın teorik metotla hesapladığı 1.58 ve 1.52 değerleri de deneyle kısmen uyuşmaktadır.

**Çizelge 4.3**  $^{166}\text{Er}$  için Teorik ve Deneysel  $\delta(E2 / M1)$  Karışım Oranları

$I_i^\pi(I_{\text{Geçiş En.}})I_s^\pi$	$\delta(E2 / M1)$		
$I_i^\pi(E_\gamma)I_s^\pi$	Bu Çalışma	Deney	Diğer Çalışmalar
$2^+[0.7053]2^+$	17.61	$16.01^{(74)}$	$16.84^{(18)}$
$3^+[0.7788]2^+$	19.11	$19.0^{(74)}$	$18.41^{(71)}$
$3^+[0.5943]4^+$	8.97	$8.0^{(78)}$	$17.61^{(18)}$
$4^+[0.6912]4^+$	9.32	$7.5^{(97)}$	$9.06^{(71)}$
$5^+[0.1190]4^+$	1.40	$1.46^{(75)}$	$0.23^{(18)}$
$5^+[0.5298]6^+$	5.38	$5.0^{(97)}$	$5.4^{(97)}$
$6^+[0.6705]6^+$	6.86	$6.3^{(58)}$	38.9
$7^+[0.1601]6^+$	1.23	$1.39^{(75)}$ 1.39 <sup>(71)</sup>	$0.2^{(18)}$ $1.52^{(71)}$
$7^+[0.4618]8^+$	3.91	$3.9^{(97)}$	$17.9^{(18)}$
$8^+[0.6444]8^+$	3.74	$4.9^{(76)}$	$9.36^{(18)}$
$3^+[0.0733]2^+$	1.79	-	-
$4^+[0.0968]3^+$	-	$1.5^{(96)}$	$1.55^{(75)}$
$5^+[0.8103]4^+$	9.57	$10.5^{(78)}$	$10.89^{(71)}$
$6^+[0.1406]5^+$	-	$1.43^{(75)}$	$1.58^{(71)}$
$7^+[0.8306]6^+$	6.39	$5.0^{(18)}$	$2.57^{(18)}$
$2^+[1.4470]2^+$	36.14	-	-
$4^+[1.4007]4^+$	-	-	-

<sup>168</sup>Er çekirdeği için Çizelge-4.4'de verilen değerlere bakıldığında 0.7413 MeV geçisi için elde ettiğimiz karışım oranı 16.14 değerindedir. Bu değerimiz Domingos ve ark. <sup>(70)</sup> 16.0 deneysel değeri ve Warner <sup>(11)</sup> in teorik olarak elde ettiği 16.39 değeri ile uygunluk içindedir. 0.6317 MeV geçisi için hesapladığımız 3.50 değeri, Lande ve ark.<sup>(14)</sup> nin 9.3 deneysel değeri ile iyi uyuşmadığı gözlemdi.

#### Çizelge 4.4 <sup>168</sup>Er için Teorik ve Deneysel $\delta(E2/M1)$ Karışım Oranları

$I_i^\pi(I_{\gamma} \text{ Geçiş En.}) I_s^\pi$	$\delta(E2/M1)$		
$I_i^\pi(E_\gamma) I_s^\pi$	Bu Çalışma	Deney	Diğer Çalışmalar
$2^+[0.7413]2^+$	16.14	$16^{(70)}$	$16.39^{(11)}$
$3^+[0.0747]2^+$	1.21	$1.42^{(71)}$	$1.76^{(71)}$
$3^+[0.6317]4^+$	3.50	$9.3^{(14)}$	$6.6^{(18)}$
$4^+[0.7306]4^+$	11.94	$5.7^{(70)}$	$8.42^{(11)}$
$5^+[0.8535]4^+$	2.43	$3.64^{(71)}$	$10.13^{(11)}$
$5^+[0.5695]6^+$	4.95	$25^{(97)}$	$5.66^{(11)}$
$6^+[0.7150]6^+$	5.25	$2.99^{(99)}$	$4.06^{(99)}$
$3^+[0.8159]2^+$	13.26	$17.4^{(14)}$	$17.03^{(11)}$
$2^+[1.1090]2^+$	26.06	-	-
$4^+[0.1730]4^+$	2.842	-	-

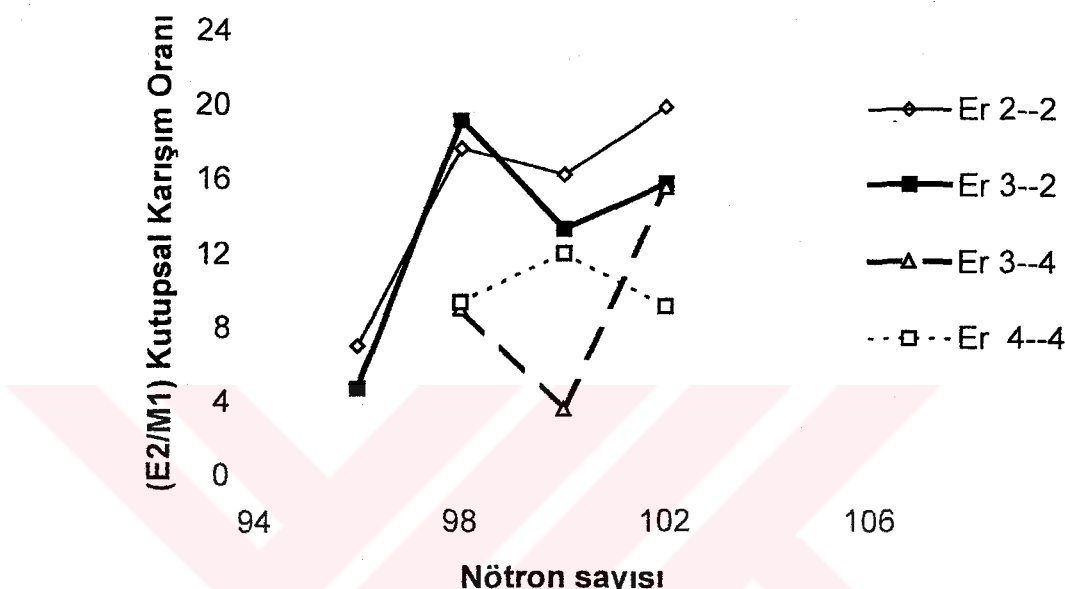
0.8159 MeV geçişine ait karışım oranını değerini 13.26 olarak belirledik. Lange ve ark. <sup>(14)</sup> nın 17.4 deneysel değeri ve Warner ve ark. <sup>(11)</sup> nın teorik 17.03 değerlerine yakın sonuç verdiği gözlenmiştir. Bu çekirdeğin bazı geçişleri için deneysel ve teorik çalışma yapılmamıştır. Bu düzeylerden geçişler için hesapladığımız değerlerin ileride yapılabilecek olan deneysel ve teorik çalışmalara ışık tutacağına inanıyoruz.

#### Çizelge 4.5 $^{170}\text{Er}$ için Teorik ve Deneysel $\delta(\text{E}2 / \text{M}1)$ Karışım Oranları

$I_i^\pi(\text{Geçiş En.})I_s^\pi$	$\delta(\text{E}2 / \text{M}1)$		
$I_i^\pi(E_\gamma)I_s^\pi$	Bu Çalışma	Deney	Diğer Çalışmalar
$2^+[0.8812]2^+$	19.79	$2.2 < \delta < 4^{(95)}$	-
$3^+[0.9312]2^+$	15.69	$10 < \delta < 20^{(95)}$	-
$3^+[0.9570]4^+$	15.51	-	-
$4^+[0.8432]4^+$	9.10	$\delta \geq 8^{(96)}$	-
$3^+[1.1385]2^+$	19.19	$\delta \geq 3^{(96)}$	-
$4^+[0.4960]3^+$	8.03	-	-
$5^+[0.8547]4^+$	12.34	$3 < \delta < 10^{(95)}$	-
$2^+[1.3374]2^+$	30.4	-	-
$4^+[1.3925]4^+$	11.24	-	-

Çizelge 4.5 'den görüleceği gibi  $^{170}\text{Er}$  çekirdeğinde 0.9312 MeV geçisi için elde ettiğimiz 19.79 değeri , Grigorev ve ark. <sup>(95)</sup> nın  $10 < \delta < 20$  deneysel değeri ile uygunluk içindedir. 0.8432 MeV geçisi için hesapladığımız 9.10 değeri, Domingos ve ark. <sup>(96)</sup> nın  $\delta \geq 8$  deneysel değerinin tanımladığı bölge içerisindeindir. Yine bu çekirdekte 0.8547 MeV geçisi için teorik metotla

elde ettiğimiz 12.34 değeri, Grigorev ve ark.<sup>(95)</sup> nin deneysel tanım aralığının dışında sonuç vermiştir.  $^{170}\text{Er}$  çekirdeğinde bazı düzeylerin kutupsal karışım oranları ile ilgili deneysel ve teorik çalışmalara rastlanamamıştır.



**Şekil 4.1** Çift-çift erbiyum izotoplari için elde edilen Kutupsal Karışım Oranı değerinin Nötron sayısına bağlı olarak değişimi

#### 4.2 Erbiyum izotoplari ait $B(E2; L \rightarrow L+2)$ geçiş olasılıkları

Temel hal bandının üyeleri arasındaki  $B(E2)$  geçiş olasılıkları için hesaplanan değerler, deneysel veriler ve teorik sonuçlarla karşılaştırmak amacıyla Çizelge 4.6 'da verildi.

**Çizelge 4.6**  $^{162}\text{Er}$  izotopuna ait B(E2) geçiş olasılıkları

Spin Parite		B(E2) ( $e^2 b^2$ )		
$I_i^\pi$	$I_S^\pi$	Bu Çalışma	Deney	Diğer Çalış.
$2^+$	$0^+$	1.13	$1.16^{(63)}$	$5.060^{(55)}$
$4^+$	$2^+$	1.62	-	-
$6^+$	$4^+$	1.79	-	-
$8^+$	$6^+$	1.86	-	-
$10^+$	$8^+$	1.81	-	-

Çizelge-4.6'dan görüleceği gibi  $B(E2; 2^+ \rightarrow 0^+)$  için elde ettiğimiz  $1.13 e^2 b^2$  değeri, Roningen ve ark. <sup>(55)</sup> nin teorik olarak elde ettikleri  $5.060 e^2 b^2$  değerine karşılık, deneysel olarak elde edilen  $1.16 e^2 b^2$  değerine daha yakın sonuç vermiştir.

**Çizelge 4.7**  $^{164}\text{Er}$  izotopuna ait B(E2) geçiş olasılıkları

Spin Parite		B(E2) ( $e^2 b^2$ )		
$I_i^\pi$	$I_S^\pi$	Bu Çalışma	Deney	Diğer Çalış.
$2^+$	$0^+$	1.109	$1.12^{(92)}$ $1.66^{(10)}$	$1.38^{(10)}$ $1.52^{(63)}$
$4^+$	$2^+$	1.589	$1.40^{(62)}$ $1.39^{(92)}$	$1.53^{(62)}$ $1.63^{(63)}$
$6^+$	$4^+$	1.767	-	$1.61^{(92)}$
$8^+$	$6^+$	1.842	$1.57^{(62)}$ $1.86^{(92)}$	$1.82^{(63)}$ $1.68^{(92)}$
$10^+$	$8^+$	1.802	$1.91^{(92)}$ $1.94^{(62)}$	$1.82^{(63)}$

Çizelge 4.7'den görüleceği gibi  $B(E2; 2^+ \rightarrow 0^+)$  için elde ettiğimiz  $1.109 e^2 b^2$  değeri, De Voight ve ark.<sup>(92)</sup> nin deneysel ve Chuu ve Hsieh<sup>(63)</sup> in teorik olarak elde ettikleri  $1.12 e^2 b^2$  ve  $1.52 e^2 b^2$  değerleri ile uygunluk içindedir. Yine bu çekirdek için elde edilen  $B(E2; 10^+ \rightarrow 8^+) = 1.802 e^2 b^2$  değeri, De Voight ve ark.'in deneysel  $1.86 e^2 b^2$  ve  $1.91 e^2 b^2$  ile Chuu ve Hsieh 'in teorik  $1.829 e^2 b^2$  ve  $1.82 e^2 b^2$  değerleriyle uyum sağlamaktadır.

$^{166}\text{Er}$  izotopuna ait  $B(E2)$  geçiş olasılığını incelediğimizde Çizelge-4.8 'den görüleceği gibi  $B(E2; 2^+ \rightarrow 0^+)$  için elde ettiğimiz  $1.12 e^2 b^2$  değerini, Hamilton ve ark.<sup>(76)</sup> nin deneysel  $1.16 e^2 b^2$  ve Kumar ve Gunye<sup>(59)</sup> nin teorik  $1.10 e^2 b^2$  olarak elde etmişlerdir. Rakamlardan açık olarak görüldüğü gibi elde ettiğimiz değer, deneysel ve teorik çalışmalarla uyumludur.  $B(E2; 4^+ \rightarrow 2^+)$  geçiş olasılığı için elde ettiğimiz  $1.62 e^2 b^2$  değeri, deneysel yöntemlerle elde edilen De Voight ve ark.<sup>(92)</sup> nin  $1.63 e^2 b^2$  ve Varshney ve ark. (1988)'nin  $1.69 e^2 b^2$  değerleriyle benzerlik göstermektedir.

**Çizelge 4.8**  $^{166}\text{Er}$  izotopuna ait  $B(E2)$  geçiş olasılıkları

Spin Parite		$B(E2) (e^2 b^2)$		
$I_i^+$	$I_s\pi$	Bu Çalışma	Deney	Diğer Çalış.
$2^+$	$0^+$	1.129	$1.16^{(76)}$ $1.01^{(92)}$	$1.10^{(59)}$ $1.08^{(76)}$
$4^+$	$2^+$	1.622	$1.63^{(92)}$ $1.69^{(62)}$	$1.68^{(62)}$ $1.56^{(59)}$
$6^+$	$4^+$	1.809	$2.01^{(23)}$ $1.57^{(76)}$	$1.92^{(62)}$
$8^+$	$6^+$	1.897	$1.97^{(92)}$ $1.85^{(62)}$	$2.05^{(106)}$ $1.72^{(10)}$

Çizelge-4.9'dan görüldüğü gibi  $^{168}\text{Er}$ 'un geçiş olasılığını incelediğimizde  $B(E2;2^+ \rightarrow 0^+)$  için hesapladığımız  $1.15 \text{ e}^2\text{b}^2$  değerini, De Voight ve ark. <sup>(92)</sup> deneysel  $1.18 \text{ e}^2\text{b}^2$  olarak elde etmiştir. Yine bu çekirdek için elde edilen  $B(E2;4^+ \rightarrow 2^+) = 1.718 \text{ e}^2\text{b}^2$  değeri, Varshney ve ark. <sup>(62)</sup> nin  $1.66 \text{ e}^2\text{b}^2$  deneysel değeri ile  $1.69 \text{ e}^2\text{b}^2$  teorik değeri, De Voight ve ark.,  $1.71 \text{ e}^2\text{b}^2$  deneysel ve  $1.71 \text{ e}^2\text{b}^2$  teorik değeriyle uygunluk içinde olduğu görülür. Aynı şekilde  $B(E2;8^+ \rightarrow 6^+) = 2.27 \text{ e}^2\text{b}^2$  değeri, De Voight ve ark. <sup>(92)</sup> nin  $2.0 \text{ e}^2\text{b}^2$  deneysel değeri ile  $1.95 \text{ e}^2\text{b}^2$  teorik değerlerine yaklaşık sonuç verdiği görülmüştür.

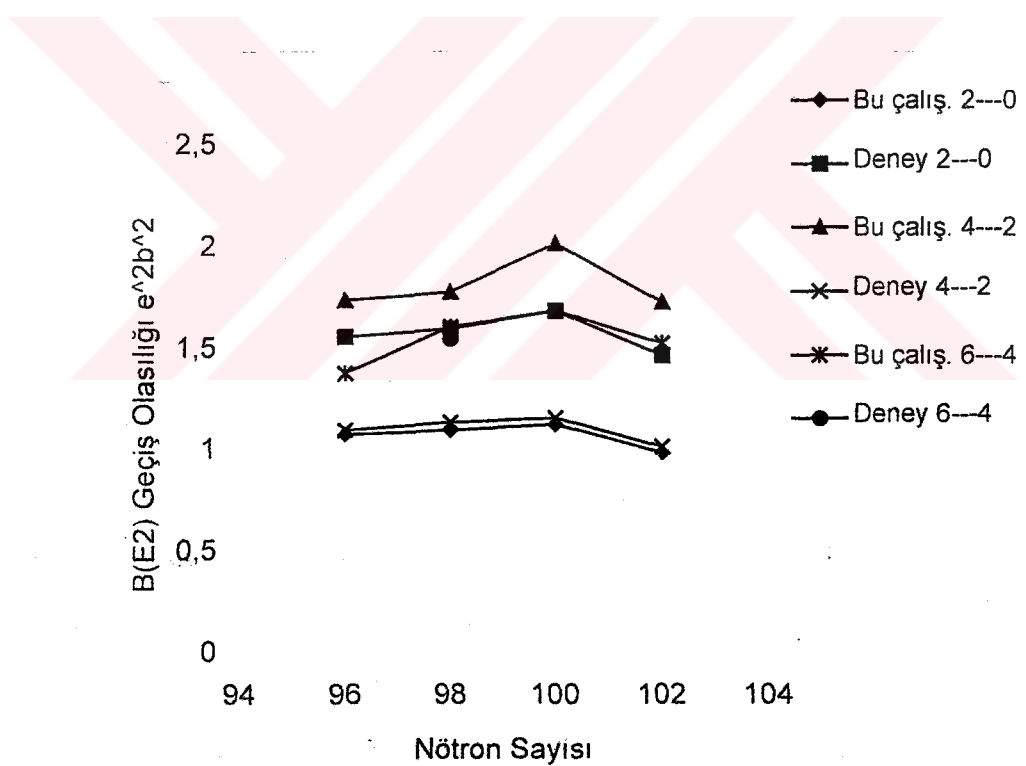
#### Çizelge 4.9 $^{168}\text{Er}$ izotopuna ait $B(E2)$ geçiş olasılıkları

Spin Parite		$B(E2) (\text{e}^2\text{b}^2)$		
$I_i^\pi$	$I_s^\pi$	Bu Çalışma	Deney	Diğer Çalış.
$2^+$	$0^+$	1.15	$1.18^{(92)}$	$1.44^{(70)}$
			$1.69^{(11)}$	
$4^+$	$2^+$	1.718	$1.66^{(62)}$	$1.69^{(62)}$
			$1.71^{(92)}$	$1.71^{(92)}$
$6^+$	$4^+$	2.042	-	-
$8^+$	$6^+$	2.272	$2.00^{(92)}$	$1.95^{(92)}$
			$2.04^{(62)}$	$2.16^{(62)}$

Çizelge-4.10 'u incelediğimizde hesapladığımız  $B(E2;2^+ \rightarrow 0^+) = 1.01 \text{ e}^2\text{b}^2$  değeri, De Voight ve ark. <sup>(92)</sup> nin deneysel  $1.04 \text{ e}^2\text{b}^2$  değerine oldukça yakın sonuç verdi.  $B(E2;4^+ \rightarrow 2^+)$  için elde edilen  $1.49 \text{ e}^2\text{b}^2$  değeri, Varshney ve ark. <sup>(42)</sup> nin  $1.55 \text{ e}^2\text{b}^2$  değeri ile  $B(E2;4^+ \rightarrow 2^+) = 2.04 \text{ e}^2\text{b}^2$  değerimiz yine Varshney ve ark. <sup>(42)</sup> nin  $2.36 \text{ e}^2\text{b}^2$  değeri ile uyum içerisinde dir.

**Çizelge 4.10**  $^{170}\text{Er}$  izotopuna ait  $B(E2)$  geçiş olasılıkları

Spin Parite		$B(E2) \text{ (e}^2\text{b}^2)$		
$I_i^\pi$	$I_s^\pi$	Bu Çalışma	Deney	Diğer Çalış.
$2^+$	$0^+$	1.01	$1.04^{(92)}$	$1.34^{(10)}$
			$1.71^{(10)}$	
$4^+$	$2^+$	1.49	$1.55^{(62)}$	$1.37^{(62)}$
$6^+$	$4^+$	1.75	-	-
$8^+$	$6^+$	1.94	$2.1^{(10)}$	$2.17^{(62)}$
				$2.28^{(10)}$
$10^+$	$8^+$	2.04	$1.83^{(92)}$	$1.75^{(92)}$
			$1.80^{(62)}$	$2.36^{(62)}$



**Şekil- 4.2** Çift-çift Er Çekirdekleri İçin Elde Ettiğimiz Geçiş Olasılığı Değerlerinin Nötron Sayısına Bağlı Değişimi

### 4.3 $^{162-170}\text{Er}$ Çekirdeğine ait $B(E2)\uparrow$ indirgenmiş geçiş olasılıkları $\beta_0$ ve $\beta_2$ Deformasyon Parametreleri, $Q_0$ ve $Q_{2+}$ Kuadropol Momentleri

Erbiyum çekirdekleri için teorik metotla hesapladığımız bazı parametreler, deneysel yöntemle ve diğer teorik çalışmalarla oranlamak amacıyla toplu olarak Çizelge- 4.11-13 'de verildi.

**Çizelge 4.11**  $^{162}\text{Er}$  izotopu için hesaplanan Bazı parametreler

Parametreler	Bu çalışma	Deney	Diger Çalışma
$B(E2)\uparrow (e^2b^2)$	5.65	5.80 <sup>(63)</sup>	4.82 <sup>(58)</sup>
$Q_0$ (eb)	7.53	-	7.17 <sup>(58)</sup>
$Q_{2+}$ (eb)	2.11	-	-
$\beta_0$	0.228	-	-
$\beta_2$	0.307	0.265 <sup>(20)</sup>	0.258 <sup>(20)</sup>

$^{164}\text{Er}$  izotopu için Çizelge- 4.12'da hesapladığımız  $B(E2)\uparrow$  indirgenmiş geçiş olasılığının  $5.50 e^2b^2$  değeri, Raman ve ark. <sup>(74)</sup> nin deneysel metotla elde ettikleri  $5.45 e^2b^2$  değeri ve Roningen ve ark., <sup>(55)</sup> nin  $5.48 e^2b^2$  değeri ile uygunluk içinde olduğu görülür. Özkuadropol momenti için teorik yöntemle hesapladığımız  $Q_0=7.43$  eb değeri, Raman ve ark.<sup>(61)</sup>nin 7.402 eb deneysel değeri ve Kumar ve Baranger <sup>(74)</sup> in 7.457 eb ile Kumar ve Gunye<sup>(59)</sup> nin hesapladığı 7.53 eb teorik değeri ile uygunluk içinde olduğu görülür.

**Çizelge 4.12**  $^{164}\text{Er}$  izotopu için hesaplanan Bazı parametreler

Parametreler	Bu çalışma	Deney	Diğer Çalışma
$B(E2)\uparrow (e^2 b^2)$	5.50	5.34 <sup>(58)</sup> 5.45 <sup>(74)</sup>	5.48 <sup>(55)</sup>
$Q_0$ (eb)	7.43	7.402 <sup>(74)</sup>	7.45 <sup>(100)</sup> 7.53 <sup>(59)</sup>
$Q_{2+}$ (eb)	2.14	2.39 <sup>(21)</sup>	2.12 <sup>(98)</sup>
$\beta_0$	0.237	0.306 <sup>(3)</sup>	0.340 <sup>(59)</sup> 0.314 <sup>(100)</sup>
$\beta_2$	0.301	0.333 <sup>(74)</sup> 0.335 <sup>(55)</sup>	0.270 <sup>(20)</sup> 0.275 <sup>(2)</sup>

Çizelge-4.13 'dan görüleceği gibi  $^{166}\text{Er}$  izotopu için indirgenmiş geçiş olasılığı  $B(E2)\uparrow$  5.60  $e^2 b^2$  değeri, deneysel yöntemle West ve ark. <sup>(58)</sup> nın 5.80  $e^2 b^2$  değeri, Raman ve ark. <sup>(61)</sup> nın 5.83  $e^2 b^2$  değeri ve Baker ve ark. <sup>(97)</sup> nın 5.78  $e^2 b^2$  değerleri ile iyi uyuştuğu görülmektedir.

$Q_{2+}$  kuadropol momenti için hesapladığımız 2.13 eb değerini, jarrio ve ark. <sup>(21)</sup> nın deneysel yöntemle elde edilen 2.18 eb değeri ile ve Humanic ve ark. <sup>(98)</sup> nın teorik 2.18 değeri ile uygunluk içinde olduğu görülmektedir. Diğer parametrelerde de hesapladığımız değerlerin deneysel ve teorik sonuçlarına uygunluk içinde oldukları görülmektedir.

**Çizelge 4.13**  $^{166}\text{Er}$  izotopu için hesaplanan Bazı parametreler

Parametreler	Bu çalışma	Deney	Diğer Çalışma
$B(E2)\uparrow (e^2b^2)$	5.60	$5.80^{(58)}$ $5.78^{(97)}$ $5.83^{(74)}$	$5.86^{(20)}$
$Q_0$ (eb)	7.503	$7.62^{(96)}$ $7.20^{(23)}$ $7.65^{(74)}$	$7.55^{(73)}$ $7.65^{(2)}$ $7.64^{(58)}$
$Q_{2+}$ (eb)	2.13	$2.18^{(21)}$ $2.00^{(65)}$ $2.51^{(101)}$	$2.18^{(98)}$ $2.12^{(59)}$
$\beta_0$	0.295	$0.37^{(97)}$ $0.34^{(3)}$	$0.319^{(2)}$
$\beta_2$	0.301	$0.301^{(102)}$ $0.327^{(103)}$ $0.280^{(20)}$	$0.290^{(3)}$ $0.278^{(20)}$

$^{168}\text{Er}$  izotopu için hesaplanan bazı parametreleri gösteren Çizelge-4.14 incelendiğinde indirgenmiş geçişken olasılığı  $B(E2)\uparrow$  için hesapladığımız  $5.75 e^2b^2$  değeri, Tjfm ve Elbek <sup>(56)</sup>in deneysel  $5.80 e^2b^2$  değeri, Raman ve ark. <sup>(61)</sup> nin teorik  $5.72 e^2b^2$  değeri ile iyi uyumlu olduğu görülmektedir.  $Q_{2+}$  kuadropol momenti için hesapladığımız  $2.21$  eb değeri , Jorrio ve ark. <sup>(21)</sup> nin deneysel olarak elde ettiği  $2.25$  eb değeri ve Humanic ve ark. <sup>(98)</sup> nin  $2.20$  eb değerleri ile ne kadar uyuştuğu görülmektedir. Diğer bazı nicelikler için bu çalışmada elde edilen değerler, diğer teorik ve deneysel değerlerle uygunluk içinde olduğu görülmektedir.

**Çizelge 4.14**  $^{168}\text{Er}$  izotopu için hesaplanan Bazı parametreler

Parametreler	Bu çalışma	Deney	Diğer Çalışma
$B(E2) \uparrow (e^2 b^2)$	5.75	5.80 5.57 <sup>(74)</sup>	5.72 <sup>(93)</sup>
$Q_0$ (eb)	7.605	7.64 <sup>(74)</sup> 7.63 <sup>(96)</sup>	7.82 <sup>(2)</sup> 7.50 <sup>(69)</sup> 7.10 <sup>(59)</sup>
$Q_{2+}$ (eb)	2.21	2.25 <sup>(21)</sup> 2.56 <sup>(101)</sup>	2.20 <sup>(98)</sup> 2.41 <sup>(101)</sup>
$\beta_0$	0.327	0.339 <sup>(3)</sup>	0.337 <sup>(104)</sup> 0.310 <sup>(59)</sup>
$\beta_2$	0.308	0.330 <sup>(81)</sup> 0.333 <sup>(103)</sup> 0.338 <sup>(74)</sup>	0.300 <sup>(3)</sup> 0.284 <sup>(20)</sup>

$^{170}\text{Er}$  çekirdeği ile ilgili Çizelge-4.15'de hesaplanan indirgenmiş geçiş olasılığı  $B(E2; 2^+ \rightarrow 0^+) = 5.75 e^2 b^2$  değeri, Tjøm ve Elbek<sup>(56)</sup> in deneysel yöntemle elde ettikleri  $5.53 e^2 b^2$  değeri ile çok iyi uyuştuğu halde, Raman ve ark.<sup>(61)</sup> nın teorik  $5.82 e^2 b^2$  değeri ile uygunluk içinde değildir. Deformasyon parametresi için hesaplanan  $\beta_0 = 0.327$  değeri Götz ve ark.<sup>(3)</sup> nın deneysel 3.339 değeriyle ve Kumar ve Baranger<sup>(59)</sup> in 0.331 değeri ile uygunluk içindedir. Bu çekirdek için hesaplanan diğer parametreler, deneysel ve teorik çalışmalarla uygunluk içinde oldukları görülür.

**Çizelge 4.15**  $^{170}\text{Er}$  izotopu için hesaplanan Bazı parametreler

Parametreler	Bu çalışma	Deney	Diğer Çalışma
$B(E2)\uparrow (e^2 b^2)$	5.05	5.53 <sup>(56)</sup> 5.60 <sup>(74)</sup>	5.82 <sup>(93)</sup>
$Q_0$ (eb)	7.12	7.40 <sup>(105)</sup> 7.46 <sup>(96)</sup> 7.65 <sup>(74)</sup>	7.93 <sup>(2)</sup>
$Q_{2+}$ (eb)	2.18	1.95 <sup>(21)</sup>	2.12 <sup>(76)</sup>
$\beta_0$	0.414	0.339 <sup>(3)</sup>	0.331 <sup>(2)</sup>
$\beta_2$	0.284	0.275 <sup>(20)</sup> 0.336 <sup>(74)</sup>	0.300 <sup>(3)</sup> 0.285 <sup>(20)</sup>

#### 4.4 Çift-Tek Erbiyum izotoplara ait Enerji düzeyleri ve $B(E2;L\rightarrow L+2)$ geçiş olasılıkları

Çizelge 4.16,4.18,4.20 ve Çizelge 4.22 'den görüleceği üzere hesaplanan enerji seviyeleri deney ve diğer çalışma ile oldukça uyum içerisindedir.

**Çizelge 4.16**  $^{159}\text{Er}$  izotopunun pozitif pariteli yüksek-spin enerji düzeyleri

Spin Parite $J^\pi$	Hesaplanan Enerji düzeyi (MeV)	Deneysel Enerji düzeyi <sup>(117)</sup> (MeV)	Diğer çalışma Enerji düzeyi <sup>(119)</sup> (MeV)
$33/2^+$	2.415	2.433	2.407
$29/2^+$	1.798	1.807	1.810
$25/2^+$	1.247	1.250	1.264
$21/2^+$	0.765	0.785	0.785
$17/2^+$	0.432	0.435	0.435
$13/2^+$	0.218	0.226	0.226

Çizelge-4.16'de görüldüğü gibi  $^{159}\text{Er}$  çekirdeğinde hesaplanan enerji düzeyleri deneysel verilerle uyum içerisindedir.  $13/2^+ - 25/2^+$  spin paritesinde hesaplanan değerler diğer çalışmalarla birlikte oldukça uyumludur. Bu durum  $B(E2)$  değerlerindeki uyumdan da görülmektedir. Modelin dalga fonksiyonunun geçerliliğini test etmek için en iyi metot  $B(E2)$  değerlerini incelemektir.  $^{159}\text{Er}$  izotopu için Çizelge 4.17'de hesapladığımız  $B(E2)$  geçiş olasılığının 194 ve  $226 \text{ e}^2\text{b}^2$  değeri, V.K.B. Kota ve U.Datta'nın <sup>(108)</sup> teorik olarak elde ettikleri 186 ve  $201 \text{ e}^2\text{b}^2$  değerlerinden deneysel verilere daha yakın sonuçlar vermiştir. Diğer geçişler için hesaplanan değerler birbiri ile oldukça uyumludur.

**Çizelge 4.17**  $^{159}\text{Er}$  izotopuna ait B(E2) geçiş olasılıkları

Spin Parite		B(E2) ( $e^2 b^2$ )		
$I_i^\pi$	$I_s^\pi$	Bu Çalışma	Deney <sup>(118)</sup>	Diğer Çalış <sup>(119)</sup>
$17/2^+$	$13/2^+$	194	$228 \pm 7$	186
$21/2^+$	$17/2^+$	210	$224 \pm 20$	240
$25/2^+$	$21/2^+$	226	$240 \pm 6$	201
$29/2^+$	$25/2^+$	95	$140 \pm 3$	53

Çizelge-4.18'de ilgili spin pariteleri ait hesaplanan enerji düzeyleri deneysel ve teorik çalışma ile birlikte verilmiştir. Kapalı kabuğun en yakın pozitif pariteli uygun durum yalnızca  $13/2^-$  nötron yörüngesidir. Bu yüzden enerji spektrum hesabında bu değer hesaplamlara katılmıştır. Çizelge-4.18'den de görüleceği gibi hesaplanan enerji düzeyleri deneysel ve teorik veriler ile oldukça uyum içerisindeidir. Hesaplamlarda yalnızca pozitif yüksek spin pariteler ele alınmış olup dalga fonksiyonunun geçerliliği negatif pariteli geçişler için B(E2) değeri ile test edilmiştir.

**Çizelge 4.18**  $^{161}\text{Er}$  izotopunun pozitif pariteli yüksek-spin enerji düzeyleri

Spin Parite $J^\pi$	Hesaplanan Enerji düzeyi (MeV)	Deneysel Enerji düzeyi $^{(116)}$ (MeV)	Diğer çalışma Enerji düzeyi $^{(119)}$ (MeV)
$33/2^+$	2.3311	2.3260	2.3152
$29/2^+$	1.7341	1.7273	1.7210
$25/2^+$	1.2185	1.2084	1.2104
$21/2^+$	0.7885	0.7838	0.7796
$17/2^+$	0.4714	0.4663	0.4698
$13/2^+$	0.2643	0.2674	0.2637

Tek Erbiyum çekirdekleri için gözlemlenen  $B(E2)$  değerleri oldukça kısıtlıdır. Gerek deneysel verilerin azlığı ve gerekse teorik çalışma kısıtlığı Tek-çift çekirdekler üzerine yapılan çalışmalara araştırmacıların ilgisini artırmıştır.

**Çizelge 4.19**  $^{161}\text{Er}$  izotopuna ait negatif pariteli  $B(E2)$  geçiş olasılıkları

Spin Parite		$B(E2)$ ( $e^2 b^2$ )		
$I_F^\pi$	$I_S^\pi$	Bu Çalışma	Deney $^{(118)}$	Diğer Çalış. $^{(119)}$
$7/2^-$	$3/2^-$	0.73	< 0.87	0.56
$11/2^-$	$9/2^-$	0.00048	0.00026	0.00035

$^{161}\text{Er}$  izotopu için Çizelge 4.19'da hesapladığımız  $B(E2)\uparrow$  indirgenmiş geçiş olasılıkları  $7/2^- \rightarrow 3/2^-$  geçisi için  $0.73 \text{ e}^2\text{b}^2$  değeri,  $0.87 \text{ e}^2\text{b}^2$  deneysel değeri ve  $0.56 \text{ e}^2\text{b}^2$  teorik değeri uyum içerisindeidir.  $11/2^- \rightarrow 9/2^-$  geçisi için hesap edilen  $0.00048 \text{ e}^2\text{b}^2$  değeri, teorik ve deneyle elde edilen değerlerden biraz büyük olduğu görülmektedir.

**Çizelge 4.20**  $^{163}\text{Er}$  izotopunun pozitif pariteli yüksek-spin enerji düzeyleri

Spin Parite $J^\pi$	Hesaplanan Enerji düzeyi (MeV)	Deneysel Enerji düzeyi <sup>(117)</sup> (MeV)	Diğer çalışma Enerji düzeyi <sup>(119)</sup> (MeV)
$29/2^+$	1.6712	1.6830	1.6741
$25/2^+$	1.1801	1.1870	1.1798
$21/2^+$	0.7751	0.7788	0.7703
$17/2^+$	0.4630	0.4651	0.4645
$13/2^+$	0.2465	0.2473	0.2384
$5/2^+$	0.0670	0.0692	0.0685

$^{163}\text{Er}$  izotopu için Çizelge 4.21'da hesapladığımız  $B(E2)$  indirgenmiş geçiş olasılıkları  $15/2^+ \rightarrow 13/2^+$  geçisi için  $1.27 \text{ e}^2\text{b}^2$  değeri,  $1.2 \text{ e}^2\text{b}^2$  deneysel değeri ve  $1.22 \text{ e}^2\text{b}^2$  teorik değeri oldukça uyum içerisindeidir. Diğer geçişler için hesap edilen teorik ve deneysel değerlerin bu çalışma ile uyum içerisinde olduğu çizelge 4.21'de açıkça görülmektedir.

**Çizelge 4.21**  $^{163}\text{Er}$  izotopuna ait  $B(E2)$  geçiş olasılıkları

Spin Parite		$B(E2) \text{ (e}^2\text{b}^2\text{)}$		
$I_i^\pi$	$I_S^\pi$	Bu Çalışma	Deney <sup>(118)</sup>	Diğer Çalış. <sup>(119)</sup>
$15/2^+$	$13/2^+$	1.27	> 1.2	1.22
$17/2^+$	$15/2^+$	2.84	> 1.8	2.93
$19/2^+$	$17/2^+$	3.04	> 0.22	3.82
$21/2^+$	$19/2^+$	2.86	> 0.33	2.96
$23/2^+$	$21/2^+$	2.57	> 0.047	2.60
$25/2^+$	$23/2^+$	1.38	> 0.0091	1.53

Çizelge-4.22 'den de görüleceği gibi hesaplanan enerji düzeyleri deneysel ve teorik veriler ile oldukça uyum içerisindedir.

**Çizelge 4.22**  $^{165}\text{Er}$  izotopunun pozitif pariteli yüksek-spin enerji düzeyleri

Spin Parite $J^\pi$	Hesaplanan Enerji düzeyi (MeV)	Deneysel Enerji düzeyi <sup>(116)</sup> (MeV)	Diğer çalışma Enerji düzeyi <sup>(119)</sup> (MeV)
$29/2^+$	1.6543	1.6220	1.6341
$25/2^+$	1.1621	1.1533	1.1458
$23/2^+$	1.0014	1.0832	1.0795
$21/2^+$	0.7662	0.7698	0.7674
$19/2^+$	0.6542	0.6783	0.6714
$17/2^+$	0.4623	0.4638	0.4651
$15/2^+$	0.3681	0.3727	0.3699
$13/2^+$	0.2415	0.2386	0.2301
$5/2^+$	0.04910	0.04715	0.04705

Çizelge-4.23'de görüldüğü gibi  $^{165}\text{Er}$  hesap edilen B(E2) değerleri önceki deney ve teorik değerlerle uyum içerisindeidir.

**Çizelge 4.23**  $^{165}\text{Er}$  izotopuna ait B(E2) geçiş olasılıkları

Spin Parite		B(E2) ( $e^2 b^2$ )		
$I_i^\pi$	$I_s^\pi$	Bu Çalışma	Deney	Diğer Çalışma
$13/2^+$	$11/2^+$	0.078	-	-
$15/2^+$	$13/2^+$	0.041	-	-
$19/2^+$	$17/2^+$	0.004	-	-

$^{159-161-163-165}\text{Er}$  izotoplарının pozitif pariteli yüksek spin enerji düzeyleri Etkileşen Bozon Fermiyon yaklaşımı (IBFA) ile incelenmiş olup enerji düzeyleri ve B(E2) geçiş olasılıkları hesaplanmıştır. Hesaplamlarda yer alan bozon-bozon etkileşim parametreleri, kor çekirdeklerden( $^{162-166}\text{Er}$ ) Etkileşen Bozon Modeli (IBM-2) ile belirlenerek, Tek-çift çekirdekler için uygun parametrik değerler elde edilmiştir. Tek-çift çekirdeklerin bu parametrik hesabında, fermiyon katkısı yalnızca  $13/2$  yörüngesi dikkate alınarak yapılmıştır. Bunun nedeni  $^{159-165}\text{Er}$  çekirdeklerinin tüm yüksek spin enerji düzeylerinde serbest kalan tek parçacık yörüngesinin  $13/2$ 'den başlamasıdır.

Bu çalışmada görüldüğü gibi ilk olarak IBM Etkileşen Bozon Modelinden yararlanarak geliştirilen bir metot uygulanmıştır. Çeşitli zorluklara rağmen genel olarak tatminkar sonuçlar elde edilmiştir.

Nükleer Fizik çerçevesindeki en önemli konulardan biri de nükleer yapının açık ve net olarak anlaşılmasının sağlanmasıdır. Bu ise en sonunda nükleonların çekirdek içerisinde oluşturdukları sistemin etkileşiminin tam bir açıklamasını ve gösterimini gerektirir. Şu anda bu problemin bir çözümü yoktur. Dolayısı ile daha basitleştirilmiş bir çözüme ve modele gereksinim vardır. Böyle bir model bilinen önemli fiziksel karakteristikleri açıklayabilmeli ve çekirdeklerin çeşitli gözlenebilir özelliklerini dikkate alabilmelidir. Bunlara ek olarak içerdeki parametreler öyle seçilmelidir ki çekirdeğin esas biçimini ve iç özelliklerini açık bir fikir oluşturabilecek bir anlayışla ele almalıdır. Herhangi bir modelin değeri, bunun gerceği iyi yansıtmasına bağlıdır. Bununda en iyi testi, o modelin sonuçlarının ve gösteriminin deneyle karşılaşılmasıdır. Bu çalışmada görüldüğü gibi Etkileşen Bozon Modelinden yararlanarak geliştirilen hesaplamalar çok başarılı olmuş ve bütün Erbiyum izotoplara uygulanabilmiştir.

Bu çalışmada hesaplanan değerler deneysel değerlerle ve daha önce yapılan teorik çalışmaların çoğu ile birlikte uyumlu sonuçlar oluşturmuştur. Ancak verilerin daha iyi değerlendirilmesi için hassas ölçümlere, daha çok deneysel çalışmaya ve yapılabildiği taktirde daha gerçekçi modellere gereksinim vardır.

## KAYNAKLAR

1. A.Arima and F. Iachello, Phys.Rev.Lett., **35**,16,1069(1975)
2. W.Greiner, Nucl.Phys. **80**,417 (1966)
3. U.Götz, H.C. Pauli,K.Alder and K.Junker, Nucl.Phys.**A192**,1,(1972)
4. K.S.Krane, At Data Nucl.Data Tables, **16**,383(1975)
5. T.Kishimoto and T.Tamura, Nucl.Phys.**A270**,317,(1976)
6. A.Arima and F.Iachello, Ann. Phys.,**111**,201(1978)
7. A.Arima and F.Iachello, Ann.Phys., **99**,253(1976)
8. O.Scholten,F.Iachello and A.Arima,Ann.Phys.**115**,325(1978)
9. A.Arima and F.Iachello, Ann.Phys.,**123**,468(1979)
10. K.K.Gupta, S.K. Bhordway and D.K.Gupta, Il Nuovo cimento,**58B**, 101, (1980)
11. D.D.Warner,R.F.Casten,W.F.Davidson,Phys.Rev.Lett.**47**,1819(1981)
12. R. Bijker and A.E.L. Dieperink, Phys.Rev.**C26**,2688, (1982)
13. O.Castanos,P .Federman, A.Frankand S.Pittel, Nucl. Phys. **A379**, 61, (1982)
14. J.Lange, K.Kumar, J. H. Hamilton, Rev.Mod.Phys. **54**:119 (1982)
15. D.D.Warner,R.F.Casten, Phys.Rev.**C25**, 2019, (1982)
16. J.P.Elliott , Rep.Prog.Phys. **48**, 171, (1985)
17. R.F.Casten, A.Wolf, Phys.Rev., **C35**, 1156, (1987)
18. P.O.Lipas, P.Toivonen and E.Hammeren, Nucl.Phys. **A469**,348(1987)
19. O.Engel,U.hortmonn, Nucl.Phys. **A515**, 31, (1990)
20. W.Nazarewicz, M.A.Riley,J.D.Garrett, Nucl.Phys. **A512**,61 (1990)
21. M.Jarrio,J.L.Wood,D.J.Rowe, Nucl.Phys. **A528**,409 (1991)
22. N.Yoshinaga, Y.Akiyoma and A.Arima, Phys. Rev. **C38**,419, (1992)

23. I.Thourslund,C.Fahlender, A.B.Backling,D.Cline,A.T.Renolds,  
E.G.vogt, Z.phys. **A342**,35,(1992)
24. A.Chakrabarti, B.Sethi,S.K.saha, S.K.Basu, R.K.Bhowmik, Phys.Rev.  
**C45**, 1026,(1992)
25. D.S.Mosbah and W.D. Hamilton , J.Phys. G. Nucl.Part. Phys. **20**,787,  
(1994)
26. R.F. Casten, and D.D.Warner, phys. Rev. C. Vol. **54**. N5, (1996)
27. A.Arima, K. Sugawara, Nucl.Phys. **A619**,88, (1977)
28. I.Alter and E.Bodenstedt, Nucl.Phys.**A635**, 273, (1998)
29. J.P.Elliott, J.A. Evans and P. Halse, J.Phys. G.Nucl.Part. Phys.**25**,667,  
(1999)
30. B.R. Barrett, and S.Kuyucak, Phys.rev.C. Vol.**60**,037302, (1999)
31. I.Sinai and L.Amiran, J.Phys. G. Nucl.Part. Phys., **25**, 791, (1999)
32. A.Arima, J.Phys. G. Nucl.Part. Phys.**25**, 581, (1999)
33. J.Jolie and H.G. Berner, Phys.Rev. C. Vol., **62**.034313, (2000)
34. J.B. Gupta and J.H. Hamilton, Phys.Rev. C. Vol. **63**.044308, (2001)
35. E. Melby, A.Schiller, Phys. Rev. C. **63**, 044309, (2001)
36. J.M. Elsenberg and W. Grainer, Nuclear Theory V. 1, North-Holland,  
Amsterdam (1970)
37. P.A. Atam, Fundamental of Nuclear Physics , 1-470, 1966
38. P.Malmier and E. Shelton, Physics of Nuclei and Particles, academic  
press Inc. Newyork, 1-207, (1980)
39. P.Ring, P.Schuck, The Nuclear many-body problem, spinger-verlag  
NewYork, A.B.D, (1980)
40. J.P.Elliott , The Nuclear Shell Model and its relation with order Models,  
Editor: janouch, F., Selected Topics in Nuclear Theory, International  
Atomic Enerhy Agency, Vienna (1983)
41. A.Arima and F.lachello, Ann.Phys. **99**, 253, (1976)

42. F.Iachello, I.Talmi, Shell model foundations of the interacting boson model, *Rev. Mod. Phys.* **59**,339, (1987)
43. A.Arima, T.Ohtsuka, F.Iachello and I. Talmi, *Phys.Lett.* **66B**, 205, (1977)
44. J.Lange, K.Kumar, J.H.Hamilton, *Rev.Modern Phys.* **54**, 1,119, (1982)
45. M.Dudex and K.Kumar , *Nucl.Phys.* **A122**, 241, (1968)
46. M.S.N. El-din, J.A. Maruhn and W.Z. Grainer, *PhysA*.**325**, 415, (1986)
47. W. Greiner, *Nucl.Phys.* **80**, 417, (1966)
48. J.P. Elliot, *Rep.Prog.Phys.* **48**, 171, (1985)
49. J.Feshbach and F.Iachello, *Ann. Phys.* **84**, 211, (1974)
50. J.M. Eisenberg and W.Grainer, Nuclear Theory Vol. 1, Nort-Holland, Amsterdam (1977)
51. M. Sambataro and A.E.L Dieperink, *Phys.Lett.* , **107B**, 4, 249, (1981)
52. F.Iachello., Group Theory and Nuclear Spectroscopy lecture notes in Physics, Nuclear Spectroscopy, Michigan, Chapter 5, 140-179, (1979)
53. A.Arima and F. Iachello, "Interacting boson model", Advances in Nuclear Physics, Plenum Press, Vol.13, Chapter 2, 139-200, (1977)
54. R.F. Casten, " A simple perspective on the IBA" comments *Nucl. Part. Phys.* 12, 3, 119-131, (1984)
55. R.M. Ronningen , *Phys. Rev. C* **16**, 2218, (1977)
56. B. Elbek ,P.O. Tjom, *Nucl.Phys.* **A107**, 385, (1968)
57. J.H.Jett, Lind and D.A., *Nucl. Phys.* **A155**, 182, (1970)
58. R.L. West, E.G.Funk, *Nucl. Phys.* **A270**, 300, (1976)
59. Kumar and M.R.Gunye, *J.Phys. G: Nucl. Phys.*, **8**, 975, (1982)
60. C.A. Fields, K.H. Hicks, *Nucl. Phys.* **A422**, 215, (1984)
61. S.Raman, C.W.Nestor, *Phys. Rev. C* **37**, 805, (1988)
62. A.K. Varsney, R.K.Tyagi, *Il Nuovo cimento* **99A**, 1, (1988)
63. D.S.Chuu and S.T.Hsiegh, *J.Phys. G: Nucl.Phys.* **16**,583, (1990)

64. C.M.Lederer and V.S. Shirley, Table of Isotopes, Willey Press, New York, (1978)
65. F.K. McGowan, W.T. Milner , Nucl. Phys. **A297**:51, (1978)
66. M. Sakai, Nucl. Data Tables, **10**,511, (1972)
67. A. Chakrabarti, B.Sethi, Phys.Rev. **C45**, 1026, (1992)
68. A. Charvet, R. Chery, Nucl.Phys. **A213**,117, (1973)
69. C.W. Reich , Nucl.Phys. **A159**,181, (1970)
70. J.M.Domingos, G.D.Symons, Nucl.Phys. **A180**, 600, (1972)
71. K. Schreckenbach and W. Gellety, Phys. Lett. **B94**, 298, (1980)
72. F.K. McGowan, Phys. Rev. **C24**,1803, (1981)
73. A. Alzner, E.Bodenstedt, Z.Phys. **A322**, 467, (1985)
74. S. Raman,C.H. Malarkey, Data Nucl.Tables 36, 1, (1987)
75. H.S. Binarh, S.S.Ghumman, J.Phys.Soc. Jpn, **59**, 2359, (1990)
76. W.D. Hamilton , J.Phys. G:Nucl.Part. Phys. **16**, 745, (1990)
77. I. Thorslund and C. Fahlender, Z.Phys. **A342**,35, (1992)
78. K.S.Krane and J.D.Moses, Phys. Rev. **C24**,654, (1981)
79. F.R.Metzger and V.K. Rasmussen, Phys. Rev. **C8**, 1099, (1971)
80. W.Michaelis; H.Ottmar and F.Weller, Nucl.Phys. **A150**, 161, (1970)
81. K.A.Erb, J.E. Holden, Phys. Rev. Lett. **29**, 1010, (1972)
82. T.S. Dumitrescu and I. Hamamo, Nucl.Phys. **A383**, 205, (1982)
83. D. Bohle, G. Küchler, Phys. Lett. **B148**, 260, (1984)
84. B.Kotlinski, D.Cline , Nucl.Phys. **A517**, 365, (1990)
85. K.G.Tirsell, L.G. Multhauf, Phys. Rev. **C7**,21, 2108, (1973)
86. W.F. Davidson , D.D. Warner, J.Phys. G: Nucl.Phys. **7**, 455, (1981)
87. A.Furasawa and M. Kanazawa, Phys. Rev. **C 21**, 2575, (1980)

88. M. Behar, L.M. Quinones, Z. Physik **A274**, 359, (1975)
89. V.A. Bondarenko, E.P. Grigorev . Akad. Nauk. SSSR, Ser. Fiz. 46, 2080, (1982)
90. I. Ben-Zvi and P. Gilad, Nucl. Phys. **A151**, 401, (1970)
91. K. Kawade and A. Hiei, J.Phys. soc. Jpn. **36**, 1221, (1974)
92. De Voight and M.J.A. Dudek, Rev. Mod. Phys., **55**, 949, (1983)
93. S.Raman and C.W. Nestor , Data Nucl.Data Tables, **42**,1, (1989)
94. R. Katajanheimo and T. Tuurnala , Z. Phys. **A268**, 57, (1978)
95. E.P. Grigorev and V.A. Bonderanko, Izv. Akad. Ser. Fiz., **47**, 2261, (1983)
96. J.M. Domingos and G.D. Symons, Nucl.Phys. **A180**, 600, (1972)
97. K.R. Baker, J.H. Hamilton, J.Lange and A.V. Ramayya, Phys. Lett. **B57**, 441, (1975)
98. T.J. Humanic and J.X. Saladin, Phys. Rev. **C27**, 550, (1983)
99. W. Gelletly, P.Van Isacker and D.D. Warner, Phys. Lett. **B191**, 240, (1987)
100. A.Kumara and M. Barenger, Nucl. Phys. **A110**, 529, (1968)
101. T. Ichihara and H. Sakaguchi, Phys. Rev. **C29**, 1228, (1984)
102. C.E. Bernis, P.H , Stelson,, F.K. McGowan, Phys. Rev. **C8**, 1934, (1973)
103. H. S.Alan , Phys. Rev. **C10**, 263, (1974)
104. M. Seiwert and J.A. Maruhn, Phys. Rev. **C30**, 1779, (1984)
105. P.M. Walker, J.L.S and Carvalho and F.M, Bernthal , Phys. Lett. **116B**, 393, (1982)
106. Kota, V.K.B, Phys. Rev. **C19** : 521(1979)
- 107 L.M.Chen,Chinese Journal Of Phy. **V36**. N.1 FEB. (1998)
108. V.K.B. Kota ve U.Datta , Eur. Phys. J. **A3**, 243-253 (1998)

109. R.S.Gou ve L.M.Chen, J. Phys. G: Nucl. Part. Phys. **26** (2000)  
1775–1786
110. O.Scholten, The Interacting Boson Approximation Model and  
Applications. Proefschrift, Rijksuniversiteit, Groningen.(1984)
111. A.Arima and F. Iachello, "Interacting boson model" Cambridge  
University Press, Cambridge, (1987)
112. İ.Uluer, Erc.Üniv.Fen Bil.Derg. **3**.1 (1987)
113. K.V.Gromov., Dzhelepov,V.Zval'ski, İ.Zolotavin,A.Pelekis,L.L.,and  
Pelekis, Bull.Acd.Sci. USSR,Phys.Ser. **27**, 205 (1964)
114. W.Kurceviz, Z.Moroz,Z.Prcibis and B.Nielson, Nucl.Phys. **A108** ,  
434, (1968)
115. R.B. Firestone ,Table of Isotopes , Version 1.0 , March, 1996
116. A.W, Reich, Nucl. Data Sheets **71**, 709, 1994
117. L. K. Peker, Nucl. Data Sheets, **65**, 439, 1992
118. M.A. Cunningham, Nucl. Phys. A **385** 221 1985
119. R S Guo and L M Chen,J. Phys. G: Nucl. Part. Phys. **26** (2000)  
1775–1786.
120. Australian National University Prof.Dr. Serdar Kuyucak, özel iletişim.
121. Kernfysisch Versneller Instituut, Prof. Olaf Scholten,özel iletişim.
122. I.Uluer, Il Nuovo Cimento, Vol. 100 A, N. 4, 1988

## **ÖZGEÇMİŞ**

1969 yılında Kırıkkale’de doğdu. İlk ve orta öğrenimini Kırıkkale’de , lise öğrenimini Ankara’da tamamladı. 1993 yılında Orta Doğu Teknik Üniversitesi, Fizik Mühendisliği bölümünden mezun oldu. 1997 yılında Gazi Üniversitesi Fen Bilimleri Enstitüsü Fizik Anabilim Dalında Yüksek Lisans programını tamamladı. 1998 yılında Kırıkkale Üniversitesi Fen Bilimleri Enstitüsünde Doktora programına başladı. Evli ve bir çocuk babası olup halen Kırıkkale Üniversitesi, Fen-Edebiyat Fakültesi, Fizik Bölümünde çalışmaktadır.

## EK 1. PROGRAM KODLARININ TANITIMI

### Kod PHINT

Kod PHINT nükleer düzeylerin enerjilerini ve elektromanyetik radyasyonun indirgenmiş geçiş olasılıklarını Etkileşen Bozon Modeli (IBM) yaklaşımına göre hesaplamaktadır. Program O. Scholten tarafından Fortran dilinde yazılmış olup ilk kez Computational Nuclear Physics 1 (O. Scholten, 1991, p.88) olarak yayınlanmıştır.

IBM hesaplamaları Hamiltonyenin en yalın formu olarak seçilen ilgili dinamik simetrlilerine göre yapılmaktadır. IBM-I ve IBM-II için çokkutuplu projeksiyon yapabilme olanağı ile birlikte giriş parametreleri ,

$e_s$	0 ( sıfıra eşitlenir.)
$e_d - e_s$	H BAR
$c_0, c_2, c_4$	(C(1), C(2), C(3))
$v_2/2$	F (A7.1)
$v_0/2$	G
$u_2/5$	CH2
$u_0$	CH1.

şeklindedir.

Ayrıca indirgenmiş giriş formu da olanaklıdır. Bu durumda ilgili parametrik set girişi ,

$e$	HBAR
$c_0^{\prime\prime}, c_2^{\prime\prime}, c_4^{\prime\prime}$	C(1), C(2), C(3)
$v_2/2$	F (A7.2)
$v_0/2$	G
CH2 = CH1 = 0.	

ile belirlenir.

Hesaplamalar Hamiltonyenin çokkutuplu formu ile de IBM-II projeksiyonuna olanak sağlar biçimde verilebilir. Bu durumda parametrik set ,

$e$	ED
$\kappa$	RKAP
$\chi_v$	CHN
$\chi_\pi$	CHP
$\xi_{1,2}$	CLN
$\xi_3$	CLP

şeklindedir.

Teknik bilgiler;

- Enerjiler MeV olarak verilmelidir.
- Kaynak derlenirken derleyicilerde debug opsyonu serbest bırakılmalıdır.  
( for example for the FORTRAN compiler of Microsoft only the command fl and not fl/4Yb must be given ).
- Bozon sayısında artış programın ilgili bölümlerinden COMMON(READMAT) ve DATA ayarlanmalıdır.

### Kod ODDA

O.Scholten tarafından yazılan ODDA kodu için gerekli parametrik set şu şekildedir;

$A_o$	ADO
$\Gamma$	GAA
$\Lambda$	DLT

Kod ODDA, Tekli çekirdekler için nükleer düzeylerin enerjilerini ve elektromanyetik radyasyonun indirgenmiş geçiş olasılıklarını Etkileşen Bozon - Fermiyon Modeli (IBFM) yaklaşımına göre hesaplamaktadır. Program O. Scholten tarafından Fortran dilinde yazılmıştır.

PHINT ve ODDA Kodlarını göndererek programların derlenmesi ve çalıştırılması sırasında yardımlarını esirgemeyen Prof. Dr. Olaf Scholten ' e teşekkür ederim.

Dear Harun,

In the following e-mail I will send you the PHINT main program.

Please let me know if you also need the library and cfp program or any of the others.

Sincerely, Olaf Scholten

03/12/1999

Olaf Scholten Tel: 31-50-3633600 (Institute)

Kernfysisch Versneller Instituut 31-50-3633552 (Office)

Zernikelaan 25 FAX: 31-50-3634003

NL-9747 AA Groningen E-mail: SCHOLTEN@KVI.NL

The Netherlands

Dear Harun,

I have just e-mailed you the ODDA program. Please let me know if you succeed to compile and run it.

Regards, Olaf Scholten

Olaf Scholten Tel: 31-50-3633600 (Institute)

Kernfysisch Versneller Instituut 31-50-3633552 (Office)

Zernikelaan 25 FAX: 31-50-3634003

NL-9747 AA Groningen E-mail: SCHOLTEN@KVI.NL

The Netherlands

29/09/2002

Dear Harun,

I am glad you came this far. The remaining problems are now relatively easily solvable. You need to tell the compiler that it needs to search also user libraries for the missing routines. The other possibility is to include them explicitly when you compile odda.

I think that you have the necessary library routines already. They are in the files

ANGALG.FOR and DLIB.FOR

Please let me know if you are missing these files, if so I will send them to you.

The remainder of this week I will be away from my desk, so it might be that you receive a response only by monday.

Regards, Olaf

23/10/2002

Merhaba Harun,

IBM-2 parametreleri 1/N expansion tekniği kullanılarak çözümlenmesi olanaklıdır. En geniş uygulaması şu makalede,  
“Description of deformed nuclei in the sdg Boson Model,  
S.C. Li and S. Kuyucak, Nucl. Phys. A 604 (1996) 305-340”

Eğer ulaşmakta zorluk çekersen, sana pdf kopyasını gönderebilirim.

Selamlar, Serdar Kuyucak

12/11/2000

Dear Harun,

Your interpretation of the identity of these files is indeed correct. I send them in a hurry, that is why I had not included any further explanation.

Regards, Olaf

28/10/2002

Dear Harun,

In the file DLIB.for you will find the following line:

\*DECK FTC

SUBROUTINE FTC(ENERGY, IDIECST, COEF, IAI, IAM, \*, \*)

A little later there are the lines

C

C=====

C

ENTRY FITSU

EDM=0

FDTL=9999

this is probably not recognized by the compiler.

it might be that if you change this to

C

C=====

C

ENTRY FITSU(ENERGY, IDIECST, COEF, IAI, IAM, \*, \*)

EDM=0

FDTL=9999

it will work.

If this is not successfull, simply comment all lines where FITSU is being called.  
This routine is almost never called and is not essential for the usual way of  
running ODDA

Regards, Olaf

05/11/2002

Dear Harun,

I have just e-mailed you the Subroutine DLIB.FOR and ANGALG.FOR programs

Regards, Olaf

23/10/2002

```

PRINT
WRITTEN BY : GJAF SCHOLTEN
ADDRESS : KENNEDYFISCH VERSNELLER INSTITUUT
UNIVERSITAIRS COMPLEX FADDERCOEL
GORINCHEM
NEDERLAND

JANUARY 1992 CBQ INCLUDED AND FITROUTINE CHANGED
CPP'S ARE READ IN FROM "TAPE3"
ONE 3- PHONON
FIT TO ENERGIES
PLOT OF ENERGIES

INTEGER EDM,EVOD,F,PLOZ,COMMENT
LOGICAL PRINT,FTT,PRINTV,MUL,WTAPC,SDEQSF,PRINTF
* .NEPLOG
DIMENSION CIN(3),CIP(3),COMP(6),COML(6),COL(6),COMUL(6),FT(6)
* ,ENERGY(1),COMMENT(10),PFARM(23),IREAD(20)
DIMENSION XIZ(34567)
MINIMUM DIMENSION = 2000
COMMON /BDMAT/ PEGGS(375,5),BETFAC(56,2),IBDEL(2,5)
COMMON /BAMO/ PBEM(15, 8),GAM
COMMON /RCSRK/ IECRSK(50,2,2)
COMMON /TEXT/ PRINT,PRINTV,P,COMMENT,PRINTD,IND
COMMON /CONT/ NPMMSU,NPHMAX,NEIG,IAM,IPPI,EPVOD
COMMON /PTAR/ EBAR3P,DP(5),F3P,EPSDP,D(5),F3,FELL,FQ0,FBX,
* EBAR3P,EPSD,RKA3P,CHO,CHON,CHOP,SDEQSF
COMMON /H/ EBAR,C(3),F,G,CH1,CH2
COMMON /MUL/ EPS,PAIR,ELL,OCT,HEX,MULT,CBQ
COMMON /NP/ ED,RKA3P,CH1,CIN,CIP,CLP>NN,NN,NNP,NNPLOG
COMMON /PTCRH/ POF,FIN,PAR,CHMAX,FT,FT
EQUIVALENCE (ENERGY,KT1),(IREAD(1),XYZ(1))
EQUIVALENCE (HEAR,COEL(1)),(EPS,COMUL(1))
EQUIVALENCE (ED,CONT(1)),(EBAR3P,PFARM(1))
DATA IREAD/48HIPS/,HEX,8*4B
* 4B1982', 4B1982', 7*4B   /
DATA EVOD,NPHMAX,NPHSU,IND,IAM,IPPI,IPFM,NSIG,PRINT,PRINTV,
* PRINTP,MUL,WTAPC,WTAPE/2,2,99,0,0,-1,1,4,
* 5*FALSE,2*IREC/
DATA FT,PN,CHRN,PNR,PAIR,HEX,CH0,CH1,CH2,EPS,F,G,EBAR,C,
* EPSD,PT,EBAR3,D,P3,PRAFS,CHO,CHON,CHOP/8*0.,-2.9580399,27*0./

DATA NEM, IDID, IBD, IDGS/14,5,56,375/

DIMENSIONS FOR ARRAYS IN COMMON REDMAT
USED FOR THE COMPUTATION OF REDUCED MAT. ELEMENTS
OF IN=1
NMAX=NUMBER OF PHONONS USED IN THE PROGRAM
IHM=NDIM/3+1
IDB=(K-1)*(NDIM-K) / K-(NDIM/3
IDGS=(K-1)*(NDIM-2-NDIM+1)*3^K*(1-NDIM+K) / K-NDIM/3
THESE DIMENSIONS MUST BE EXACTLY EQUAL TO THOSE IN
COMMON/RDMAT/, USED IN MAIN PROG AND SUBROUTINE RED
DIMENSION OF PHEN = (NDIM+1,NDIM/2+1)
PHEN IS PLACED IN COMMON/BAMO/ USED IN MAIN PROG AND SUBR. NAM021
NO TEST IS MADE ON THE DIMENSION OF PHEN

DATA LENMIN,LENMAX/1,34567/

NAMELIST//INPT/EBAR,EBAR3,C,D,F,G,IAI,IAM
* ,IPPI,IPFM,PRINT,FT,FT,EDM,CH1,CH2,NPHMAX,NPHSU,F3,PRINTF
* ,SDEQSF,EPSD,PRINTV
* ,MULT,EPS,PAIR,ELL,OCT,HEX,CH0,CHMAX,POF,PAFD,WTAPE
* ,RKA3P,CIN,CIP,ED,CIN,CLP>NN,NN,NNP
* ,IBD,FIN,RKA3P,CHO,CHON,CHOP
NPHMAX : PLACE OF CUT OF

NPHSU : NUMBER OF PH. INCLUDED IN THE CALC.
SDEQSF : -1. : NAME S PHONON FOR D EQUAL TO S PHONON FOR F PH
LAZ : ENZYME L VALUE TO BE COMP.
IAM : FINAL L VALUE TO BE COMP.
IPPI : -1 : COMP. POS. PAR. : -2 : NO POS. PAR.
IPFM : -1 : NO NEG. PAR. : -2 : COMP. NEG. PAR.
PRINT : -1 : PRINT ALSO INITIAL MATRIX AND EIG. VECTORS
PRINTV : -1 : DO NOT PRINT INITIAL MATRIX
WTAPC : -1 : WRITE EIGENVECTORS TO TAPE 10
NEIG : MAX NUMBER OF EIGENVECTORS TO BE COMPUTED
C (3) : <DD>L1H<(DD)>
D (5) : <DD>L1H<(DD)>
F : <(SD>21H<(DD)>>SQRT(5/2)
G : <(SS>0H<(DD)>>2
CH1 : <(SS>0H<(SD)>>
CH2 : <(SD>21H<(SD)>>
F3 : <(SF>3H<(DF)>>-SQRT(7)
EPSD : <DF>NDP>DF>
MULT : -1. : THE MULTIPOLE EXPANSION FOR THE O-O BOSON INTER.
IS USED AND IS SPECIFIED WITH THE FOLLOWING SIX
CONSTANTS .
EPS : PRONON ENERGY , ADO'S TO THE EFFECT OF THE MULTipoles
ON EBAR
PAIR : PAIRING FORCE WITH STRENGTH PROP. TO PAIR'
ELL : L.L. FORCE WITH STRENGTH PROP. TO 'ELL'
OO : O.O. FORCE WITH STRENGTH PROP. TO 'OO'
OCT : OCTUPOLE FORCE
HEX : HEXADECAPOLE FORCE
FIT : -1. : TRY TO MAKE A FIT OF POS PAR STATES
(6) : SPECIFIES STEP SIZE IN (EBAR,C,F,G) IN CALC. OF THE
DERIVATIVES IN FIT PROCEDURE, IF AN ELEMENT = 0 ,
THE CORRESPONDING VAR. IS KEPT CONSTANT
IT MUST EQUAL 1. FT(1)->EPS, FT(2)->PAIR
FT(3)->ELL, FT(4)->OO, FT(5)->OCT, FT(6)->HEX
EDM : IF CHANGE IN ALL OF THE PAR. DURING THE FIT IS LESS THAN
1M, THE FIT IS STOPPED
POP : MAX. ALLOWED CHANGE (FACTOR) IN CHISQ DURING CALC OF DER
POF MUST BE GREATER THAN, AND NOT EQUAL TO 1.
CHIMAX : MAX ALLOWED CHANGE (FACTOR) IN PARAMETERS PER ITERATION
STEP. COMP. TO THOSE USED FOR COMPUTING THE DERIVATIVES
PAFD : DETERMINES INDEPENDENCE OF THE FIT PARAMETERS.

---- READ IN INPUT DATA
OPEN(UNIT=1, STATUS='SCRATCH')
OPEN(UNIT=2, STATUS='NEW', NAME='OUTPUT')
OPEN(UNIT=3, STATUS='OLD', NAME='TAPE3', READONLY, FORM='UNFORMATTED')
OPEN(UNIT=4, STATUS='OLD', NAME='INPU', READONLY)
OPEN(UNIT=10, STATUS='NEW', NAME='PHWAVE', FORM='UNFORMATTED')
CALL SCDRD(COMMENT,IREAD)
READ(1,INPT)

FIND MAXIMAL AND MINIMAL ALLOWED FIELD LENGTH
CALL XFRFL(LENMAX,1)
LEN=LENMAX-LENMIN
IDMA=SQRT(81.+LEN)-9

NNPLOG=NP.GT.0 .AND. NN.GT.0
LP(NPLOG)=NPHMAX>NN.NP
K=IBDM/2
IF(NEG.GT.0) MEIG=K
IF(NPLOG.LB.0) NPHMAX=NDM
IF(NPHSU.LB.0.GR.NPHSU.GT.NPHMAX) NPHSU=NPHMAX
IF(NPHSU.GT.NDM) NPHSU=NDM
EDN=1*NPHSU/(IPPI-1)*3
IF(IAZ.LT.0) IAM=EDN
IAI=IAI+1
NPHSU=NPHSU+1
NPHMAXP=NPHMAX+1
SQRT(16./35.)
CH0=(CHON*CHOP)/2 + CHO

HBR3P=HEAR3*(35.)*FQ0 + 2*CH0*CHOT
EPSDP=EPSD + RKA3P
FELL=FELL - RKA3P*(CHON*CHOP + CHOT*2)*2/35.
DN(1)=D(1) - 1*CH0*CHOT/30*4
DN(2)=D(2) - 1*CH0*CHOT/30*4
DN(3)=D(3) - 1*CH0*CHOT/30*4
DN(4)=D(4) - 1*CH0*CHOT*5/2.
DN(5)=D(5) - 1*CH0*CHOT*5/2.
DN(6)=D(6) - 1*CH0*CHOT*5/2.

C PRODUCE STATES AND CPP'S
CPP'S ARE READ IN FROM 'TAPE3'
CALL READRBD(NDM, IDGS, IBD, IDIS, RDGS, BETFAC, INDEL)

C ----- READ IN ENERGIES IN CASE OF FIT=1.
CALL FITSU(ENERGY,1,COEF,IAI,IAM,671,457)

C IF(MUL) CALL MOVELEV(COMUL,COML,6)
C IF(NPLOG) CALL MOVELEV(COMP,COML,6)
J=0
DO 49 I=1,6
IF(FT(I).EQ.0.0) GOTO 58
J=J+1
COEF(J)=COEL(I)
49 CONTINUE
71 J=0
REWIND (10)
DO 58 I=1,6
IF(FT(I).EQ.0.0) GOTO 58
J=J+1
IF(NPLOG) GOTO 55
IF(MUL) GOTO 56
COEL(I)=COEF(J)
GOTO 58
55 COEF(I)=COEF(J)
GOTO 58
56 COUL(I)=COUF(J)
58 CONTINUE

C START REAL COMPUTATION OF ENERGIES
193 CONTINUE
C CONVERT INTO PARAMETERS OF COMMON /H/
IF(NPLOG) CALL PROJ
IF(MUL) CALL MULP
C IF(PRINT) GOTO 106
C OUTPUT , SMALL PRINT OUT
C CALL PRTPDR(NPHMSU,NPHMAX,COMMENT)
C 106 ZEROEN=0.
ALPHA=(3*(C(3)+C(2))/7
GAM=(C(3)-C(2))/4
TBETA=(C(1)-ALPHA*12*GAM)/5
DO 150 N=1,NPHMAX
NOTE : N= NO OF PHONONS+1
NBIN=(N-1)/2
PHEN(N,1)=(HEAR+GAM+ALPHA*(N-2)/2)*(N-1)
DO 150 NB=1,NBPM
NB=NB-1
PHEN(N,NB)=PHEN(N,1)+TBETA*NB*(2*N-2*NB+1)
150 CONTINUE
C BEGIN VAN ANGULAR MOMENTUM LOOP
C BEGIN VAN PARITYIT DOOP
NSTTOT=1
DO 121 IPP=IPPL,IPPM
P=1
IF(IPP.EQ.2) P=LH
DO 1000 IA=IAI,IAM
LANG=IA-1
80 X=NSTTOT+*LENMIN-1
IF(X>LENMIN,LB,0) GOTO 127
LEN=LENMIN+1850+K
IF(LEN.LB.LENMAX) GOTO 81
LENMAX=(LENMAX-LENMIN-NSTTOT-1850)/4-1
GOTO 80
81 CALL XFRFL(LEN,IND)
CALL GENST(NPHMSU,LENMIN,IA,IPP,XIZ(K+50),XIZ(NSTTOT),LED)
IP(LEN,IND,0) GOTO 127
LED=LED+1
MW=MHNU(IRD,NNIG+1)
IRST=NSTTOT+*IRD
IRSV=IRST+IRD
IRSW=IRSV+IRD+IRD
IRSI=IRSV+(MW+1)*LED+1 ! 19 MAY 1989 modified for new EIGSYM
IRSP=IRSI+IRD
IRDLE=2
C SET TO USE DOUBLE PRECISION IN EIGSYM
IRSR2=IRSR+IRD*IRDLE
IRSR3=IRSR2+IRD*IRDLE
IRSR4=IRSR3+IRD*IRDLE
IRSR5=IRSR4+IRD*IRDLE
IRSP6=IRSP5+IRD*IRDLE
WRIT(10) IA,IPP,IRD-1,MW-1
7813 FORMAT(1X,515)
C TOTAL NEEDED LENGTH = LENMIN+IRSR4+IRD
CALL A M I L Z (IA,IPP,IRD,MW,NSTTOT,ZERGEN
4 ,XIZ(1),XIZ(NSTTOT),XIZ(IRST),XIZ(IRSV),XIZ(IRSEV)
5 ,XIZ(IRSP1),XIZ(IRSR),XIZ(IRSR2),XIZ(IRSR3),XIZ(IRSR4),
6 ,XIZ(IRSP6),XIZ(IRSR6))
K=IRST+IRD-2
WRITE(10) XIZ(1),I=IRST,K
J=IRSV
K=IRSEV
DO 130 I=1,LV
CALL MOVELEV(XIZ(K),XIZ(J),IRD)
K=K+IRD
J=J+IRD-1
130 CONTINUE
J=IRSV
J=IRSEV
DO 129 I=1,LV
WRITE(10) XIZ(1),I=IRSV,J
NSTTOT=NSTTOT+IRD-1
GOTO 1000
129 FORMAT(/,2X,LV) LANG_P
128 WRITE(2,129) LANG_P
127 WRITE(2,129) LANG_P
126 FORMAT(/,2X,(IA+1,J)) GOTO 1
125 IF(IPP.EQ.2) GOTO 1
IRCSK(2,1,J)=1
IRCSK(2,2,J)=1
GOTO 1000
124 FORMAT(1X,' REQUIRED LENGTH OF 'LV' FOR THIS PROBLEM IS TOO MUCH')
123 WRITE(2,123) LEN
NO ALLOWED STATES
122 WRITE(2,122) LANG_P
121 FORMAT(/,2X,(IA+1,J)) GOTO 1
120 IF(IPP.EQ.2) GOTO 1
IRCSK(1,A+1,1,IPP)=IRCSK(1A,1,IPP)
IRCSK(1A+1,2,IPP)=IRCSK(1A,2,IPP)
NPH=IRCSK(1A+1,1,IPP)
N29=IRCSK(1A+1,2,IPP)
IF(IPP.EQ.2) GOTO 1000

```

```

DO 2 I=1,IAI
IECSBK(I,1,2)=NZP
IECSBK(I,2,2)=NZSQ
CONTINUE
CONTINUE
CONTINUE
WRITE(2,203) ZERGEN,NSPAP+(NPBMAX-1)*(CH2-CH1)
FORMAT('1 BINDING-ENERGY =',NSPAP,'+',EPS-EPP,'-',EPS/4.)
IF(.NOT.FIX) GOTO 57
***FIT *** FIT *** FIT *** FIT *** FIT *** FIT ***
XX=IAI/2+1
IM=MING(IAM,21)
CALL FIC(ENERGY,NSTIOX,COPR,II,IM,671,671)
! CONTINUE
----- WRITEPHONONTATE ----- WRITEPHONONTATE -----
IA=-1
WRITE(10) IA,IPP,IEP,MV
WRITE(2,781) IA,IPP,IEP-1,MV-1
WRITE(10) IECSBK
WRITE(10) NPMNSU,NPMAX,WRIG,IAI,IAM,IPPI,IPPM,IEPD
WRITE(10) ZEROIN,CONPR
WRITE(10) LDEL,COMUL,MUL,EPQ,CONP,NN,EPAR,NP,FPARM,SDEQSP
PLOT*****PLOT*****PLOT*****PLOT*****PLOT*****PLOT*****
READ(1,440) PLOT,LPMOV,LPMX
0 FORMAT(1X,A1,1X,12,1X,12)
1P(PLOT,NE,4P0) GOTO 441
WRITE(2,452)
2 NPMAX*1M1
3 IZM=2*(IAI+4)
4 ISBN=NSTIO+4*IPM
5 ISBN=ISBW+IPM
6 ISBG=ISBQ+IPM
7 ISBLG=ISBLG+IPM
8 ISBP=ISBLG+10
9 ISPG=ISBSQ+40
10 ISPT=ISBPC+18
11 ISPM=ISBPC+36
12 ISBW=ISBPC+10
13 IZM=LENMIN+ISBW+10
14 IF(ZEN.GT.LENMAX) GOTO 86
15 CALL KREPK(XEN,IRD)
16 CALL PLOT(LPMOV,IAIM,IPM,XIZ(1),XIZ(NSTIO),XIZ(ISBW),XIZ(ISBQ)
17 & XIZ(1B510),XIZ(1B5L1),XIZ(1B5B),XIZ(1B5FQ),XIZ(1B5F1)
18 & XIZ(1B5PM),XIZ(1B5W),NSTIO)
19 CONTINUE
20 STOP ' normal termination of PRINT'
21 WRITE(2,206) IZM
22 FORMAT(' REQUIRED LENGTH FOR PLOT OF',I10, ' IS TOO MUCH FOR THIS'
23 & ' MACHINE')
24 STOP 'PLCT PROBLEMS . PRINT'
25 END
26 GENST
SUBROUTINE GENST(NEW,IEDMAX,IA,IPP,IBK,ISTP,IST,NZ)
INPUT :
      NZ=MAX. NO. OF PHONONS
      IAI,IAH = INITIAL FINAL L , ONLY USED FOR NEG. PAR.
      IZP=1 D ONLY FOR PAR. -1 ALSO NEG. PAR.
      IEDMAX=DIMENSION OF V AND BIGV IN MAIN PROG. , A CHECK IS
      DONE ON THIS
OUTPUT :
      IST(1,K)=ND
      IST(2,K)=NB
      IST(3,K)=NC
      IST(4,K)=ED
      NZIG IS SET TO 0 IF DIMENSION OF BIGV IS NOT LARGE ENOUGH
      (TESTED WITH IDEIG)
      IECSBK(L+1,1,1)=FIRST POSITION IN IECSBK WITH L AND POS. PAR.
      IECSBK(L+1,1,2)= SAME FOR NEG. PAR.
      IECSBK(L+1,2,1)= SAME BUT IN BIGV WITH POS. PAR.
      IECSBK(L+1,2,2)= SAME FOR NEG. PAR.
LOGICAL SDEQSP
DIMENSION IBK(50),ICON(7,2),ISTP(3,600),IST(4,IEDMAX)
COMMON/CONTR/NPMNSU,NPMAX,NEIG,IAI,IAM,IPPI,IPPM,IEPD
COMMON/EPR/ SKEP(23),SDEQSP
COMMON/ECBSK/IECSBK(50,2,2)
DATA IECSBK/100*1/
NZ=1
USED ONLY FOR PRINT OUT OF BASIS STATES STATISTICS :
ND=NZN
NDR=NZN+1
NDP=NZN+ND-1
IDP=ID-1
ID=IA-3
IP=IP-1,2,1) IPX-1
IBK(IP)=1
IBK(IA)=1
IP=IP-1,IPM IPM=IP
DO 1 IP=IPX,IPM
1 IP=1
FIND ALLOWED STATES REL. TO THIS L
NDFP=LP/2+1
DO 2 NDP=NDP-1,NDP
ND=NDP-1
NDP=NDP-1/2+1
DO 3 NDR=1,NDP
ND=NDP-1
NC=NDP-NDP-2*NZ/3
NC31=(ND-2*NZ-1)/2/3
IP=(NC31,LT,0) NC31=0
IP=(NC31,LT,NC31) GOTO 3
NC2T=NC31+1
NCPP=NC31+1
DO 4 NCPP=NCPI,NCPP
NC=NC-1
LAMBD=ND-2*IP-3*NC
IP(L,EQ,(2*LAMBD-1)) GOTO 4
ISTP(1,N2)=ND
ISTP(2,N2)=NB
ISTP(3,N2)=NC
NZ=NC-1
4 CONTINUE
3 CONTINUE
2 CONTINUE
IBN,LP+1)=NZ
1 CONTINUE
LP=LP+1
DO 6 I=LP,50
6 IBK(I)=NZ
IP(IPP,NE,1) GOTO 199
NZL=IBK(IA)-1
NZ=IBK(IA+1)-NZL-1
ID=IA-1
IF(ZE,GT,LEDMAX .OR. NZ,LE,0) GOTO 99
DO 10 I=1,NZ
K=IA-NZ
IST(1,I)=ISTP(1,K)
IST(2,I)=ISTP(2,K)
IST(3,I)=ISTP(3,K)
IST(4,I)=ID
10 CONTINUE
GOTO 98
C NEGATIVE PARITY
C
199 NZP=0
IP(SDEQSP) ND=NZN-1
NDP=ND-1
IDP=ID-1
ID=IA-1
C SELECT ALLOWED STATES BELONGING TO THIS LT
C
LDPI=LDP-3
LDPF=LDP-3
IP(LDPI,LT,1) LDPI=1
IP(LDPI,LT,(4-LT)) LDPI=4-LT
IF(LDPI.GT,2*(ND-1)) LDPI=2*ND-1
DO 102 LDPI=LDPI,LDPF
LDPL=LDP-LDP+4
ICON(LDEL,1)=IBK(LDP)
ICON(LDEL,2)=IDN(LDP+1)
ICON(LDEL,2)=ICON(LDEL,2)-1
102 CONTINUE
DO 103 NP=1,NDP
NP=NP-1
DO 104 LDPI=LDPI,LDPF
LDPL=LDPI-1
LDPL=LDP-LDP+4
NZ=ICON(LDEL,1)
NR=ICON(LDEL,2)
IP(NR-NZ) 104,105,105
105 DO 106 I=1,NR
ND=ISTP(I,1)
IP(ND-NZ) 106,107,108
107 CONTINUE
NZP=NZP+1
IP(NZP,GT,IEDMAX) GOTO 106
IST(1,NZP)=ND
IST(2,NZP)=ISTP(2,1)
IST(3,NZP)=ISTP(3,1)
IST(4,NZP)=ID
106 CONTINUE
108 ICON(NZP,1)=I
104 CONTINUE
103 CONTINUE
109 NZ=NP-NZP
99 IF(NZ,LT,LEDMAX) GOTO 98
WRITE(2,201) NZ,LEDMAX,IA-1
201 FORMAT(1X,' // WARNING FROM GENST // ',I6,
6 ' EXCEEDS MAXIMUM DIMENSION OF K -',I6,' AT L-',I3)
NZ=0
98 NZP=IECSBK(IA,1,1,IP)
WRITE(2,210) ((IST(I,K),I=1,4),K=1,NZ)
C 210 FORMAT(1X,5(1X,4I5))
NZO=MING(NZ,NEIG)+NZ+IECSBK(IA+1,1,IP)
IECSBK(IA+1,1,IP)=NZP
IECSBK(IA+1,2,IP)=NZSQ
1P(IPP,Eq,2) RETURN
IDP=IA-1
DO 97 I=1,IP
IECSBK(IA,1,2)=NZP
IECSBK(IA,2,2)=NZSQ
97 RETURN
END
*DECK HAMIL
SUBROUTINE HAMIL (IA,IPP,IEP,MV,NSTIO)
4 .ZERGEN
4 .ENERGY,STATE,ROOT,V,BIGV
4 .LIG,W,Q,WW,RM
4 .AB,RR
LOGICAL PRINT,PRINTV,PRINTP
INTEGER ED,STATE,P,CONMTE
DIMENSION ENERGY(NSTIO),STATE(4,ED),ROOT(ED),V(ED,ED),
4 .BIGV(ED,MV),LIG(ED),W(ED),Q(ED),WW(ED),RM(ED)
COMMON / CONTR / NPMNSU,NPMAX
COMMON / ECBSK / IECSBK(50,2,2)
COMMON / TEXT / PRINT,PRINTV,P,COMMENT(10),PRINTP
C
C 98 WRITE(2,210) IECSBK
C 210 FORMAT(1X,25I5)
C 211 WRITE(2,211) STATE
C 211 FORMAT(1X,5(1X,4I5))
C
C MV=MV-1
ED=ED-1
ID=IA-1
DO 125 I=1,ED
DO 125 J=1,ED
125 V(I,J)=0.
C ----- FILL IN FIRST HALF OF MATRIX 'V'
C
C CALL FVULV(LANG,IPP,ED,V,LIG,STATE)
C
C OUTPUT , LARGE PRINT OUT
C
C DO 126 I=1,ED
126 IF(.NOT.PRINT) GOTO 12
126 IF(IA,NZ,1) WRITE(2,200)
200 FORMAT(1I1)
C CALL PTPRD(NPMNSU,NPMAX,COMMENT)
WRITE(2,226)
226 FORMAT(5(26K NE =ND,NB,NC,ED,NP,IP, /))
NE=IP-1
C 201 WRITE(2,201)((I,(STATE(J,I),J=1,4),NP,LANG,P),I=1,ED)
C 201 FORMAT(8(1X,IZ,' -',(I2,'),IL,'.',I2,AL,' /'))
C 201 IF(.NOT.PRINTV) GOTO 12
C 201 WRITE(2,330)
330 FORMAT(//,15B INITIAL MATRIX,/)
C 201 DO 91 I=1,ED
91 WRITE(2,94) I,(V(J,I),J=1,I)
91 CONTINUE
12 CONTINUE
C
C INVULVN VAN ANDERE HELPT VAN V
C
C DO 2 I=1,ED
2 DO 1 J=1,ED
1 V(J,I)=V(I,J)
C
C TO GET ENERGIES IN INCREASING ORDER
C
C 2 V(I,I)=V(I,I)+99.
C
C ----- SUBROUTINE FROM 'WATFPT' LIBRARY -----
C SUBROUTINE 'BIGSM' DIAGONALISES MATRIX 'V(ED,ED)' AND
C STORES 'MV' EIGENVECTORS IN 'BIGV(ED,MV)' . ALL THE
C EIGENVALUES ARE STORED IN 'ROOT(ED)' , ORDERED IN INCREASING
C ABSOLUTE MAGNITUDE WHEN 'MV' IS NEGATIVE .
C 'ED' IS THE DIMENSION OF 'V' AND 'BIGV' AS DECLARED IN
C THE DIMENSION STATEMENT .
C ARRAY'S 'AB' TILL 'LIG' ARE WORK SPACE
C LAST INDEX IN BIGV ENUMERATES THE EIGENVECTORS
C
C NZP=0
C CALL BIGSM(ED,ED,-MV,V,ROOT,ZIGV,AB,BE,W,Q,WW,RM,LIG,NITER)
C
C DO 3 I=1,ED
3 ROOT(I)=ROOT(I)-99.
C
C IF((IA+IPP).EQ.2) ZERGEN=ROOT(1)
C
C NK=IECSBK(IA,1,IP)

```

```

NKI=NK
DO 193 J=1,ED
LIG(J)=STATE(I,J)
STATE WILL BE OVERWRITTEN HERE, BUT NO NECESSARY FOR PROB.
ENERGY(NOT)=ROOT(J)-ZEROEN
NK=NK+1
93 CONTINUE
NCP=NCP-1

LAST INDEX IN EIGV ENUMERATES THE EIGENVECTORS

OUTPUT
IF(PRINT) GOTO 11
SMALL PRINT OUT
WRITE(2,97) LANG,P,(ENERGY(I),I=NKI,NCP)
GOTO 126

LARGE PRINT OUT
11 WRITE(2,32) LANG,P,(ROOT(I),I=1,ED)
12 FORMAT(//,1X,EIGVALUES, 1=12,A1/8(2X,16F8.4//))
13 WRITE(2,97) LANG,P,(ENERGY(I),I=NKI,NCP)
14 EIGVALUES, 1=12,A1/8(2X,16F8.4//)
15 WRITE(2,33)
16 FORMAT(//,1X,EIGENVECTORS,/)
17 DO 95 I=1,ED
18 WRITE(2,34) I,(EIGV(I,J),J=1,MV)
19 FORMAT(12> 17F7.3,4(/5X,17F7.3))
20 CONTINUE
21 CONTINUE
22 IF(.NOT.PRINTP) RETURN
NPHNSUP=LIG(ED)+1
DO 32 M=1,MV
DO 33 I=1,NPHNSUP
33 AR(I)=0.
DO 31 I=1,ED
M=LIG(I)+1
E=EIGV(I,M)
31 AR(M)=AR(M)+E**2
32 FORMAT(1X,I3,18F7.4)
32 CONTINUE
RETURN
END
ECK FUTURE
SUBROUTINE PVLVH(IDNG,IPPI,IPDP1,V,LISTK,STATE)

NPHNSUP HAS HERE THE MEANING OF NPHNSUP
AND DETERMINES THE MAX. NO. OF PHONONS TO BE INCLUDED
IPP=2*I+IIP WITH :
    IIP=1 -> POS.PARITY
    IIP=2 -> NEG.PARITY
OUTPUT :
    ED = USED DIMENSION IN 'V'
    V(IN COMMON /BL1/) = MAT. EL OF HAMILTONIAN , WILL
    BE FILLED HALF

LOGICAL DIAG,SDEQSF
INTEGER ED,STATE
DIMENSION STATE(4,IEDP1),LISTK(IEDP1),V(IEDP1,IEDP1)
COMMON/PEIN/PEIN,D(5),P3,EPSD(16),SDEQSF
COMMON/SIMR/N,NEA,NCA,LDA,NP,NN,NBS,NCL,LDB,NF,ODDSP,LANG
COMMON/STAT/STATE,NPHNSUP,NPHNSUP
COMMON/CHIR/NCB,NCR,NCL,NCS,NBL,NLS,NLSL,NCLS
NPH=NPHNSUP
IF(IPP>=2 .AND. (IPP.EQ.2)) NPHMAX=NPHNSUP-1
NPHMAX=NPHNSUP+1
LANG=LANG
ED=IEDP1-1

SET UP ARRAY 'ISTRK' WHICH KEEPS TRACK OF THE PLACES IN
"STATE" WHERE NO CHANGES

ISTRK(NPHMAX+2)=0
ISTRK(NPHMAX+3)=0
11 ISTRK(1)=1
DO 10 NF=1,NPHNSUP
NF=NF-1
NF=ED-NF
10 ISTRK(1)=14,12,12
DO 11 I=L,ED
NF=STATE(I,I)
NF=NF-1
NF=NF-1
11 CONTINUE
I=ED+1
12 ISTRK(NP+1)=I
NP=1
13 CONTINUE
NP=0
NP=IPP-1

FIRST SET UP FOR MAIN LOOP

11-ISTRK(1)
12-ISTRK(2)-1
13-ISTRK(3)-1
14-ISTRK(4)-1

MAIN LOOP
DO 100 NP=1,NPHMAX
NP=NP-1
IP(12-I1)=99,101,101
101 I2=I2+1
I1=I3-I2
I3=I3-1
I2=I4-I3
DO 102 IR=IL,I2
NRA=NRA+1
NRA=NRA
NRA=STATE(2,IR)
NCA=STATE(3,IR)
LDA=STATE(4,IR)
OLNG=.TRUE.
DO 110 IR=IA,I2
NBB=STATE(2,IR)
NCB=STATE(3,IR)
LDB=STATE(4,IR)
V(IRA,NBB)=HARM023(DIM)
DIAG=.FALSE.
110 IR=IR+1
IF(IR1)=103,104,104
104 DO 120 IR=I2,I3
NBB=STATE(2,IR)
NCB=STATE(3,IR)
LDB=STATE(4,IR)
E=0.
IF(LDA.EQ.LDB) CALL HAM1(S)
IF(NW) 122,122,121
F1="G/N/4*0*P*"/>
121 LD=LDA-LDB+3
IF(LD.LT.1.OR.LD.GT.5) GOTO 122
E=S-F1*NED(N,NBA,NCA,LDA,LD,NBB-NBA,NCB-NCA)*
     *      RACAH1(LANG,3,LDA,2,LDB,3)*SORT(SLQAT(NPHMAX-N))
122 V(NRA,NBB)=E
120 NBB=NBB+1
103 IP(12)=102,106,106
106 DO 130 IR=I2,I4
LDB=STATE(4,IR)
IF(LDA.NE.LDB) GOTO 130
NBB=STATE(2,IR)
NCB=STATE(3,IR)
CALL HAM1(V(NRA,NBB))
130 NBB=NBB+1

102 CONTINUE
C      KEEP TRACK OF BOOKKEEPING
C
99 I1=I2+1
I2=I3
I3=I4
I4=ISTRN(NP+4)-1
100 CONTINUE
NPMAX=NPM
RETURN
END
*DECK HARM023(DIAG)
FUNCTION HARM023(DIAG)
C
C      COMPUTES MATRIX ELEMENTS BETWEEN STATES WITH THE
C      SAME PHONON NUMBERS
C      MATRIX ELEMENTS NEED NOT TO BE DIAGONAL
C      EPSD* < / (N-S+S)*P* >
C
C      LOGICAL DIAG
COMMON/HAM023/PEIN(15, 61, GMN
COMMON/STAT/4, NBL, NCL, LL, NJM, NR, NBR, NCR, LR, NF, ODDSP, LANG
COMMON/PEIN/  B(5), P3, EPSD
COMMON/HIBAR, C(3), F, G, CH1, CH2
COMMON/CHIR/NCB, NCR, NCL, NCS
C
HARM023=0.
NS=0-1
C
N3M = NO OF 3-PHONONS ( 0 OR 1 )
IP(N3M) 9,5,6
C
ONE THREE MINUS PHONON
6 IF(.NOT.DIAG) GOTO 62
C
DIAGONAL MATRIX ELEMENT
LL=LR
PL=NBR
NL=NCR
C
61 HARM023=RBAR3+EPSD*N
DO 611 LSL=1,5
LS=L1-LSL-3
K=0.
RDI=0.
DO 614 K=1,5
R=RACAH1(LS,2,LANG,3,LL,K)
614 R=R*(2*K+1)**R(K)**R
DO 613 NLSP=1,2
NLSP=NBLSP-1
NLSP=NBL-NLSP
DO 613 NCBS=1,2
NCBS=NBCS-NNLSP
NCBS=NCL-NCLS
R=RDD(NS,NBS,NCS,LS,LSL,NLBS,NCLS)
613 RD=RD+R**2
611 HARM023=HARM023+R**2
GOTO 51
C
62 CONTINUE
NON DIAGONAL PART
C
DO 621 LSL=1,5
LS=L1-LSL-3
LSR=LS-1
I=18*IR,LL-1) GOTO 621
IP(ILSR.GT.9) GOTO 9
E=0.
E=0.
C
DO 624 K=1,5
R=R*(2*K+1)**RACAH1(LS,2,LANG,3,LL,K)**RACAH1(LS,2,LANG,3,LR,K)**R(K)
DO 623 NLSP=1,2
NLSP=NBLSP-1
NLSP=NBL-NLSP
NLSP=NBR-NBS
DO 623 NCBS=1,2
NCBS=NBCS-NNLSP
NCBS=NCL-NCLS
NCBS=NCR-NC3
623 RD=R*RD(NS,NBS,NCS,LS,LSR,NBRS,NCLS)*
     *      RDD(NS,NBS,NCS,LS,LSL,NLBS,NCLS)
HARM023=HARM023+R**2
621 CONTINUE
GOTO 9
9 CONTINUE
NO THREE MINUS PHONON
10 IF(.NOT.DIAG) RETURN
51 HARM023=IP*(LL+1)*GMN*PEIN(N+1,NBL+1)*HARM023
      *      -(CH2*(NPHMAX-N)*N*CH1*(NPHMAX-N)*(NPHMAX-N-1))/2.
9 RETURN
END
*****
```

• Olaf Scholten Tel: 31-50-3633600 (Institute)  
 c Kernfysisch Versneller Instituut  
 c Technielaan 25 31-50-3633653 (Office)  
 c NL-9747 AA Groningen FAX: 31-50-3634603  
 c The Netherlands E-mail: SCHOLTEN@KVI.NL

**LIBRARY DIRECTORY**  
REVISED 20 JANUARY 1982 : FTC AND CEQ INCLUDED  
SOURCES 1-11 - NOT CALLED FROM LIBRARY ROUTINE

SUBROUTINE	CALLS TO	COMMON BLOCKS
COMINI		SPTSTM, CFP1CM, CFP2CM
COMOUT		SPTSTM, CFP1CM, CFP2CM
DDBGD	RACABI	SPTSTM, CFP1CM, SQRT
DIAPFZ	EIGSYM , SIMOP	
DPD	RACABI , RED	
EIGSYM	TRIDI , SIMOP , VECTOR	
FITMP		
FTC/FITSU	PRVX , MOVLEV	PTCONER, ECSVSK
FTMX	VIPD	
FTMMX	VIPD	
FRVX	VIPD	
HAM1	RACABI , RED	STAB , R , CONTR
HAM2	RACABI , RED	STAB , R , CONTR
INV	DECOM , INVERS , MOVLEV	TROPEI , EI
INVEVS	DECOM , PBSUM	
DECQM		
PASUBM		
MOVLEV		
PLT2S		
PROJ	MELP	ECSVSK , CONTR
MELP		NP , MUL , H
MELPG		MUL , H
NLINTP		
PARFOR		
PARTER		
PCGCD		
PCDF		
RDIN		
RDPT		
READRED		
RED		
SETUP		
SIMGR		
TRIDI	( VIP)	
VECTOR	( VIP)	
VIPD/VIPDA		
XRFX		

```

X COMINI
SUBROUTINE COMINI ('NBY')
COMMON/SFTCOM/ISTBS(150),NBB(150),LD(150),NSEN(150),NDL(150)
      ,NRBBS(16),ISTBS2(150)
 6 COMMON / CFPICH / IDAU(16),LI(1000),CFF1(1000)
COMMON / CFPICH / IDAU2(1500),LI(1500),CFF2(1500),LIM(1500)
COMMON / BOSCTR / VERSION :
CCM4CS/SFTCOM/ISTBS(280),NBB(280),LD(280),NSEN(280),NDL(280)
      ,NRBBS(16),ISTBS2(280)
 4 COMMON / CFPICH / IDAU(16),LI(2910),CFF1(2910)
COMMON / CFPICH / IDAU2(6380),LI(6380),CFF2(6380),LIM(6380)

```

```

READ( 11 ) , NBAS , ( NBAS(J) , J = 1 , NX )
IN = NBAS( NX )
READ( 11 ) , NRD , ( NRD(J) , J = 1 , IR )
READ( 11 ) , LD , ( LD(J) , J = 1 , IR )
READ( 11 ) , NSEN , ( NSEN(J) , J = 1 , IR )
READ( 11 ) , NDL , ( NDL(J) , J = 1 , IR )
DO 201 J = 1 , IR
201 LD(J) = IABS( LD(J) )
IRL = IR + 1
READ( 11 ) , ( ISTRBS(J) , J = 1 , IRL )
READ( 11 ) , ( ISTRBS2(J) , J = 1 , IRL )
IL = ISTRBS( IR + 1 )
READ( 11 ) , ( ICAP(J) , J = 1 , IL )
READ( 11 ) , ( LI(J) , J = 1 , IL )
READ( 11 ) , ( CFP(J) , J = 1 , IL )
DO 202 J = 1 , IL
202 LI(J) = IABS( LI(J) )
IL = ISTRBS2( IR + 1 )
READ( 11 ) , ( IDAU2(J) , J = 1 , IL )
READ( 11 ) , ( LIM(J) , J = 1 , IL )
READ( 11 ) , ( LI(J) , J = 1 , IL )
READ( 11 ) , ( CFP(J) , J = 1 , IL )
DO 203 J = 1 , IL
203 LIM(J) = IABS( LIM(J) )
DO 204 J = 1 , IL
204 L2(J) = IABS( LI(J) )
NRD = NX - 1
RETURN
END

C COMMENT
SUBROUTINE C_MOM_OUT ( NBODY, ICMM )
COMMON /SPCTCM/ ISTRBS(150),NRD(150),LD(150),NSEN(150),NDL(150)
      ,NBAS(150),ISTRBS2(150)
COMMON /CPFCM/ IDAU(1000),LI(1000),CFP1(1000)
COMMON /CPFCM2/ IDAU2(1500),L2(1500),CFP2(1500),LIM(1500)
NBODY1 = NBODY + 1
WRITE(6,601) NBODY , ( NBAS(J) , J = 1 , NBODY1 )
I = NBAS( NBODY + 1 )
WRITE(6,602)
DO 220 J = 1 , I
220 WRITE(6,603) NRD(J), LD(J), NSEN(J), NDL(J), ISTRBS(J), ISTRBS2(J)
      ,IN
      IF ( ICMM .LE. 1 ) RETURN
DO 230 J = 1 , NBODY
230 WRITE(6,604) J
JL = NBAS( J ) + 1
JR = NBAS( J + 1 )
DO 240 JJ = JL , JR
240 KI = ISTRBS( JJ + 1 )
KI = ISTRBS2( JJ + 1 )
DO 241 KK = KI , JR
241 KK = LD(JJ), NSEN(JJ), NDL(JJ)
      ,IN
      WRITE(6,605) IDAU(KK), LI(KK), CFP1(KK)
      ,IN
      C_MOMOUT

```

```

DO 250 J = 2 , NBODY
WRITE(6,607) J
JL = NBMAS(J) + 1
JR = NBMAS(J+1)
DO 260 JJ = JL, JR
XL = ISTRS2(JJ) + 1
KR = ISTRS2(JJ+1)
WRITE(6,605) JJ, LD(JJ), NSRN(JJ), NUL(JJ)
DO 260 KK = XL, KR
WRITE(6,608) IDMAU2(KK), LIM(KK), L2(KK), CFB2(KK), KK
30 CONTINUE
40 CONTINUE

1 FORMAT('1'// '***** C.F.P. OF 2-BODY... ', IL,'-BODY
1 STATES ***** // 10X, '** BASE ADDRESS OF EACH STATE '
1 XMAS, 1017)

```

```

* PED(N3,NBS,NCS,LS,LSL,NRLS,NCLS)
3 CONTINUE
  DPD=DPD+RD*RACARI(LL,LC,LS,2,LR,2)
1 CONTINUE
2 CONTINUE
  RETURN
END

*CK BIGSYM
SUBROUTINE BIGSYM(NM,LB,MV,R,ROOT,SIGV,A,B,W,Q,WW,RM,LIG,NITER)
D.S. AUGUST 1968 : precision improved
Note : in sigv space should be reserved upto SIGV(LF+1,NEIG+1)
      with NEIG=ABS(MV)
      IMPLICIT REAL*8 (A-B,0-Z)
      DIMENSION R(LP,2),SIGV(LP,I),ROOT(I),A(2),B(2),W(I),Q(I)
      DIMENSION WW(I),RM(I),LIG(I)
      REAL*4 R,ROOT,SIGV
      IP(NM-2)I,I,I
1 CALL DUDI(LP,NM,R,A,B,W,Q)
2 B(I)=0
  NEIG=ABS(MV)
  CALL SYMRQ(A,B,NM,SIGV(I,1),NEIG),W,MV,ROOT)
get eigenvectors
  IF(NEIG.EQ.0) GOTO 14
  ITER=1
  IF((ITER.GE.0) .AND. (NITER.LE.3)) ITER=NITER
  DO 11 I=L,NEIG
    NUMBER=NM-NEIG+I+1
    CALL VECTOR(A,B,NM,LP,R,SIGV(I,I),Q,W,WW,RM,LIG,
      NUMBER,SIGV(I,I)),SIGV(I,NEIG),ITER)
11 GO TO 14
special treatment for 2x2 matrix
12 A(1)=R(1,1)
  A(2)=R(2,2)
  B(2)=R(1,2)
  GO TO 2
special treatment for 1x1 matrix
13 A(1)=R(1,1)
  B(1)=0
  ROOT(I)=A(1)
  SIGV(I,1)=1.
14 RETURN
END

*CK FITMR
SUBROUTINE FITMR(AL,PC,H,MFIT,COPF,BEST,BEN,WEIGHT,
  6 O,FV,PH,W,Q,AE,PASTCH,TEK,FLAG1,FLAG2,FD,FDT,NFIT)
  LOGICAL FLAG1,FLAG2,GFIT
  REAL*8 DE,DE
  INTEGER AL,PC
  DIMENSION H(30),PC(30),BEN(30),FV(6,30),AE(30)
  6 ,TEK(6),COPF(6),BEST(6),O(6,6)
  6 ,Q(6),W(6),PASTCH(6),ST(6,6),DD(6),DE(6),PH(6)
  6 ,FV(30)
  6 ,WEIGHT(30)
  COMMON / PTCMR / FD,FDT,PAKD,CMX,PT(6)
  DATA FD/599./
  FLAG1=.FALSE.
  FLAG2=.FALSE.
  FD=FD/AL
  FDT=SQRT(FDT/AL)
  WRITE(2,50) FD,FDT
  50 FORMAT(//, ' DEVIATION = ''F8.4,'/' CHI='F8.4)
  WRITE(2,51) FD
  51 FORMAT(//, ' FDIT <0 : ITERATION IS STARTED
  FDIT =0 : FIRST RUN FOR CALC. OF DERIVATIVES
  FDIT >0 : CALC. DERIVATIVE IN THIS DIRECTION
  A CONTAINS COMPUTED ENERGIES
  IF(NFIT) 68,53,52
  CHECK ON IMPROVEMENT
68 IF(FD.LT.FDT) GOTO 75
  CALL MOVLEV(H,PC,AL)
  CHECK ON REAL IMPROVEMENT
  IF((FDIT-FDT).LT.FD*FDIT) GOTO 77
  FDIT=FD
  GOTO 400

53 FDIT=FDT
  CALL MOVLEV(H,PC,AL)
500 WRITE(2,459) (TEK(I),I=1,6),(COPF(I),I=1,6)
  459 FORMAT(//,5X,'START COMPUTATION OF DERIVATIVES'
  6 ,5X'CHANGES OF'6(SX,F8.5)/10X'IN'5X,6(SX,F8.5))
  NFIT=0
  GOTO 51
52 IF(FDT.GE.NDIB) GOTO 59
  KEEP BEST VALUE
  FDIT=FD
  CALL MOVLEV(COPF,BEST,MFIT)
  CALL MOVLEV(H,BEN,AL)
59 CONTINUE
  CHANGE PARAMETER BACK
  COPF(NFIT)=COPF(NFIT)-TEK(NFIT)
  CHECK FOR NOT TOO BIG CHANGES
  FD=FD/(FDIT-FDT)
  IF((FD.GT.1.0)) GOTO 87
  CHANGE IN PARAMETER CHANGED CHISQ TOO DRAMATIC
  DO 54 I=1,AL
  54 FV(NFIT,I)=S(I)-PC(I)
  IF(NFIT.EQ.MFIT) GOTO 60
  51 NFIT=NFIT+1
  COPF(NFIT)=COPF(NFIT)+TEK(NFIT)
  GOTO 71

87 TEK(NFIT)=TEK(NFIT)/(FD*Z)
  COPF(NFIT)=COPF(NFIT)+TEK(NFIT)
  GOTO 71

INVULLEN VAN MATRIX Q VOOR FIT
60 DO 62 I=1,MFIT
  62 DO J=1,MFIT
    O(I,J)=0
    DO 62 K=1,AL
62 O(I,J)=O(I,J)+FV(I,K)*FV(J,K)*WEIGHT(K)
  62 MFIT=I,MFIT
  55 O(J,I)=O(I,J)
  WRITE(2,460)
  460 FORMAT(//,5X,'CHANGE OF ENERGIES BY CHANGING PARAMETERS BY PT ')
  66 WRITE(2,65) (FV(J,I),I=1,AL)
  66 WRITE(2,65) (PC(I),I=1,AL)

  CALL DIAFIT(O,Q,W,ST,DD,6,MFIT,PAKD,H,B(15),AE,B(15),DG,DE,Q)
  OUTPUT

400 WRITE(2,461)
461 FORMAT(//,5X,'NORMALISED WEIGHT FACTORS ')
  WRITE(2,65) (WEIGHT(I),I=1,AL)
468 FORMAT(2(2X,16I8,/,))
  WRITE(2,462)
462 FORMAT(//,5X,'ENERGIES TO BE COMPUTED')
  WRITE(2,463) (PC(I),I=1,AL)
  WRITE(2,463) (PC(I),I=1,AL)
463 FORMAT(//,5X,'LAST COMPUTED PT TO THESE ENERGIES ')
  WRITE(2,65) (PC(I),I=1,AL)
  65 FORMAT(//,2(5X,16F8.4,/,))

INVULLEN VAN W . CHANGE Q :O=Q*W
67 W(I)=0
  DO 63 I=1,AL
63 W(I)=0
  DO 63 I=1,AL

*CK BIGSYM
SUBROUTINE BIGSYM(NM,LB,MV,R,ROOT,SIGV,A,B,W,Q,WW,RM,LIG,NITER)
D.S. AUGUST 1968 : precision improved
Note : in sigv space should be reserved upto SIGV(LF+1,NEIG+1)
      with NEIG=ABS(MV)
      IMPLICIT REAL*8 (A-B,0-Z)
      DIMENSION R(LP,2),SIGV(LP,I),ROOT(I),A(2),B(2),W(I),Q(I)
      DIMENSION WW(I),RM(I),LIG(I)
      REAL*4 R,ROOT,SIGV
      IP(NM-2)I,I,I
1 CALL DUDI(LP,NM,R,A,B,W,Q)
2 B(I)=0
  NEIG=ABS(MV)
  CALL SYMRQ(A,B,NM,SIGV(I,1),NEIG),W,MV,ROOT)
get eigenvectors
  IF(NEIG.EQ.0) GOTO 14
  ITER=1
  IF((ITER.GE.0) .AND. (NITER.LE.3)) ITER=NITER
  DO 11 I=L,NEIG
    NUMBER=NM-NEIG+I+1
    CALL VECTOR(A,B,NM,LP,R,SIGV(I,I),Q,W,WW,RM,LIG,
      NUMBER,SIGV(I,I)),SIGV(I,NEIG),ITER)
11 GO TO 14
special treatment for 2x2 matrix
12 A(1)=R(1,1)
  A(2)=R(2,2)
  B(2)=R(1,2)
  GO TO 2
special treatment for 1x1 matrix
13 A(1)=R(1,1)
  B(1)=0
  ROOT(I)=A(1)
  SIGV(I,1)=1.
14 RETURN
END

*CK FITMR
SUBROUTINE FITMR(AL,PC,H,MFIT,COPF,BEST,BEN,WEIGHT,
  6 O,FV,PH,W,Q,AE,PASTCH,TEK,FLAG1,FLAG2,FD,FDT,NFIT)
  LOGICAL FLAG1,FLAG2,GFIT
  REAL*8 DE,DE
  INTEGER AL,PC
  DIMENSION H(30),PC(30),BEN(30),FV(6,30),AE(30)
  6 ,TEK(6),COPF(6),BEST(6),O(6,6)
  6 ,Q(6),W(6),PASTCH(6),ST(6,6),DD(6),DE(6),PH(6)
  6 ,FV(30)
  6 ,WEIGHT(30)
  COMMON / PTCMR / FD,FDT,PAKD,CMX,PT(6)
  DATA FD/599./
  FLAG1=.FALSE.
  FLAG2=.FALSE.
  FD=FD/AL
  FDT=SQRT(FDT/AL)
  WRITE(2,50) FD,FDT
  50 FORMAT(//, ' DEVIATION = ''F8.4,'/' CHI='F8.4)
  WRITE(2,51) FD
  51 FORMAT(//, ' FDIT <0 : ITERATION IS STARTED
  FDIT =0 : FIRST RUN FOR CALC. OF DERIVATIVES
  FDIT >0 : CALC. DERIVATIVE IN THIS DIRECTION
  A CONTAINS COMPUTED ENERGIES
  IF(NFIT) 68,53,52
  CHECK ON IMPROVEMENT
68 IF(FD.LT.FDT) GOTO 75
  CALL MOVLEV(H,PC,AL)
  CHECK ON REAL IMPROVEMENT
  IF((FDIT-FDT).LT.FD*FDIT) GOTO 77
  FDIT=FD
  GOTO 400

53 FDIT=FDT
  CALL MOVLEV(H,PC,AL)
500 WRITE(2,459) (TEK(I),I=1,6),(COPF(I),I=1,6)
  459 FORMAT(//,5X,'START COMPUTATION OF DERIVATIVES'
  6 ,5X'CHANGES OF'6(SX,F8.5)/10X'IN'5X,6(SX,F8.5))
  NFIT=0
  GOTO 51
52 IF(FDT.GE.NDIB) GOTO 59
  KEEP BEST VALUE
  FDIT=FD
  CALL MOVLEV(COPF,BEST,MFIT)
  CALL MOVLEV(H,BEN,AL)
59 CONTINUE
  CHANGE PARAMETER BACK
  COPF(NFIT)=COPF(NFIT)-TEK(NFIT)
  CHECK FOR NOT TOO BIG CHANGES

```

```

FD=FD*(FD*FD)
IF(FO.GT.1.) GOTO 87
     CHANGE IN PARAMETER CHANGED CHISQ TOO DRASIC
DO 54 I=1,AL
  FV(NFIT,I)=B(I)-FC(I)
IF(NFIT.EQ.NFIT) GOTO 60
NFMIT=NFMIT+1
COEF(NFMIT)=COMP(NFMIT)+TEK(NFMIT)
GOTO 71

INVULLEN VAN MATRIX O VOOR FIT
DO 62 I=1,NFMIT
DO 62 J=1,NFMIT
O(I,J)=0.
DO 62 K=1,AL
O(I,J)=O(I,J)+FV(I,K)*FV(J,K)*WEIGHT(K)
DO 55 I=1,NFMIT
DO 55 J=1,NFMIT
O(J,I)=O(I,J)
WRITE(2,460)
FORMAT(/,1X,' CHANGE OF ENERGIES BY CHANGING PARAMETERS BY FT ')
DO 66 J=1,NFMIT
  WRITE(2,65) (FV(J,I),I=1,AL)
  WRITE(2,65) (FV(J,I),I=1,AL)

CALL DIAFIT(O,Q,W,ST,DD,6,NFMIT,FAKD,H,H(15),AE,AB(15),DG,DH,Q)
OUTPUT

1 WRITE(2,461)
FORMAT(/,1X,' NORMALISED WEIGHT FACTORS ')
WRITE(2,65) (WEIGHT(I),I=1,AL)
WRITE(2,468) (IAE(I),I=1,AL)
1 FORMAT(2(2X,16I8,/) )
WRITE(2,462)

2 FORMAT(1X,' ENERGIES TO BE COMPUTED')
WRITE(2,65) (PE(I),I=1,AL)
WHITE(2,463)
3 FORMAT(1X,' LAST COMPUTED FIT TO THESE ENERGIES ')
WHITE(2,65) (PC(I),I=1,AL)
4 FORMAT(1X,' 2(SX,16PF4,/) ')
FORMAT(1X,' INVULLEN VAN W , CHANGE Q :O*Q=W

DO 67 K=1,AL
7 W(K)=0.
DO 63 I=1,AL
RE(I)=PE(I)-PC(I)
DO 63 J=1,NFMIT
3 W(J)=W(J)+AE(I)*FV(J,I)*WEIGHT(I)
WRITE(2,464)
4 FORMAT(1X,' DIFFERENCE OF THESE VALUES ')
WRITE(2,65) (AE(I),I=1,AL)

CALL DIAFIT2(0,Q,W,ST,DD,6,NFMIT,FAKD,H,H(15),AE,AB(15),DG,DH,Q)
TEST FOR NOT TOO LARGE COMPUTED CHANGES

RCM=CMRMAX
DO 85 I=1,NFMIT
RQ=ABS(Q(I))
1 IP(RQ,31,RCM) RCM=RQ
5 CONTINUE
RQ-CMRMAX/RCM
SCALE DOWN
DO 86 I=1,NFMIT
6 Q(I)=RQ*Q(I)
OUTPUT

WRITE(2,460) RQ
0 FORMAT(1X,' FACTOR='P8.5)
WRITE(2,465)
5 FORMAT(1X,' CHANGE IN THE PARAMETERS TO BE MULTIPLIED BY FT ')
WRITE(2,65) (Q(I),I=1,NFMIT)
WRITE(2,466)
6 FORMAT(1X,' ARRAY FT ')
WRITE(2,65) (TEK(I),I=1,NFMIT)

BEREKENEN VAN DE NIEUWE COEFF
DO 64 I=1,NFMIT
FASTCH(I)=Q(I)*TEK(I)
4 COEF(I)=COEF(I)+Q(I)*TEK(I)
      FASTCH ARE LAST CHANGES MADE IN THE VARIABLES
NFMIT--99
GOTO 71

CHECK WHETHER THERE SHOULD BE STOPPED
CHISQ HAS NOT REALLY IMPROVED
THIS TIME IS WORSE
CHANGE PARAMETERS BACK TO OLD VALUE
5 DO 79 J=1,NFMIT
  COEF(J)=COEF(J)-FASTCH(J)
  FV=FV
GOTO 76

THIS PDT IS BETTER THEN THE ONE BEFORE
7 PDT=PDT

16 CALL MOVELEV(FASTCH,TEK,NFMIT)
LOG1=1-TRUP
      CHECK WHETHER THERE SHOULD BE STOPPED
DO 79 J=1,NFMIT
  IP(ABS(FASTCH(J)).LS.ABS(PDT*COEF(J))) GOTO 84
13 LOG1=.FALSE.
GOTO 82

14 TEK(J)=PDT*COEF(J)
12 IF(ASS(.NOT.TEK(J)).LT.0.001) TEK(J)=.001
19 CONTINUE
IP(1001) GOTO 87
IF(PDT.EQ.PDT) GOTO 500

END REST

10 PDT=PDT
PDT=PDT
CALL MOVELEV(BEST,COEF,NFMIT)
CALL MOVELEV(BEST,FC,AL)
GOTO 500

ENTRY FITSU
EDM=0
PDTL=9999
NFMIT=0
PDTB=PDTL
DO 46 I=1,21
FB(I,1)=0
46 FB(I,2)=0
43 READ(1,10) L,ED
IF(L.LT.20) GOTO 42
FB(L,1)=1-BD
FB((L-1),2)=EDM
READ(1,41) FB(EDM+1),I=1,ED
READ(1,41) (WEIGHT(KDM+1),I=1,ED)
EDM=EDM+ED

41 FORMAT(10F8.5)
42 AL=EDM
DO 49 I=1,6
  IP(IFIT(I),EQ,0) GOTO 49
  MFTIT=MFTIT+1
  TEK(MFTIT)=FI(I)
49 CONTINUE
NFMIT=0
ED=0.
DO 47 K=1,AL
  IP(WEIGHT(K),LE,0.) WEIGHT(K)=1./(TE(K)+0.1)
  IP(TE(K),EQ,0.) WEIGHT(K)=0.
47 FD=FD+WEIGHT(K)
FD=FD/AL
DO 48 K=1,AL
48 WEIGHT(K)=WEIGHT(K)/FD
RETURN
57 RETURN 2
71 RETURN 1
END

*DECK FMX
SUBROUTINE FMX(A,B,C,M,N,MA,MB,MC,K)
DIMENSION A(MA,1),B(MB,1),C(MC,1)
DO 1 I=1,M
DO 1 J=1,K
1 CALL VIPD(A(I,1),MA,B(1,J),1,N,C(I,J))
RETURN
END

*DECK FMMX
SUBROUTINE FMMX(A,B,C,M,N,MA,MB,MC,K)
DIMENSION A(MA,1),B(MB,1),C(MC,1)
DO 1 I=1,N
DO 1 J=1,K
1 CALL VIPD(A(I,1),MA,X(1,J),1,N,C(I,J))
RETURN
END

*DECK FMVK
SUBROUTINE FMVK(X,M,N,MA)
DIMENSION X(MA,1)
DO 1 I=1,M
DO 1 J=1,N
1 CALL VIPD(A(I),MA,X(1,J),1,N,D)
1 X(I)=D
RETURN
END

*DECK HAM1
SUBROUTINE HAM1(H)
C
C   RIGHT SIDE HAS (N+1) PHONONS
C   R=4N/3*D=(D*D)/2/ >
C
C   R1=SQRT(0.4)
C
C   COMMON/STAB/N,NBL,NCL,LL,NPL,NR,NBR,NCR,LR,NPR
C   COMMON/EV/A(4),F,G
C   COMMON/CONTR/NFMDSU,NFMDSU,WEIG(6)
DATA H1/0.632455532/
H=0.
1 IP(N,GR,2) GOTO 1
H=4*N*H1*SQRT(PLOAT(NFMDSU-N))
RETURN
1 CONTINUE
C
C   L1 HAS N PHONONS
C
C   L2PI=LR-1
1 IP(L2PI,LR,1) L2PI=1
L2PP=L2PI+3
C
C   L1 HAS (N-1) PHONONS
C
C   L1PI=LL-1
1 IP(L1PI,LL,1) L1PI=1
L1PP=LL+3
DO 21 L2P=L1PI,L2PP
L2=L2P-1
L2R=L2-LR-3
DO 22 NBD2P=1,2
NBD2=NBD2P-1
NBD2=NBR-NBD2
DO 22 NBD2=1,2
NCD2=NBC2-NBD2P
NCD2=NCR-NCD2
NCD2=0
DO 11 L1P=L1PI,L1PP
L1=L1P-1
L1L=L1-LL+3
1 IP(L1L,LR,0) GOTO 11
1 IP(L1L,GR,5) GOTO 22
L1L=L1-LL+3
C=0.
DO 12 NBD1P=1,2
NBD1=NBD1P-1
NBD1=NBL-NBD1
NBD1=NBL-NBD1
DO 12 NBD1=1,2
NCD1=NBC1-NBD1P
NCD1=NCL-NCD1
NCD1=NCL-NCD1
NCD1=NCL-NCD1
C=C+RED(N-1,NBL,NC1,LL,LLL,NBD1,NCD1)*RED(N-1,NBL,NC1,LL,LL1,NBD1,NCD1)
C=C+RED(N-1,NBL,NC1,LL,LLL,NBD1,NCD1)*RED(N-1,NBL,NC1,LL,LL1,NBD1,NCD1)
12 CONTINUE
H=H+H1*C*RACAH1(LL,2,LL,2,L2,2)
11 CONTINUE
H=H+H1*C*RACAH1(LL,2,LL,2,L2,2)
21 CONTINUE
H=H+F*SQRT(PLOAT(NFMDSU-N))/(2*LL+1)
RETURN
END

*DECK HAM2
SUBROUTINE HAM2(H)
C
C   B=(N/3+7/3)*PDT/ >
C   STRENGTH IS DETERMINED BY B
C
C   COMMON/STAB/N,NBL,NCL,LL,NPL,NR,NBR,NCR,LR,NPR
C   COMMON/CONTR/NFMDSU,NFMDSU,WEIG(6)
C   COMMON/EV/A(6,6),F(6,6),B(6,6)
C   DIMENSION O(6,6)
EXTERNAL VIPDA
EDM=0
N=0
K=NFMIT
CALL MOVELEV(O,A,36)
21 CALL DCOM(A,6,K,DLK,IP,DI,VIPDA)
DEB=D1
DO 1 I=1,K
1 DRI=DEB*A(I,I)
SFR=1.

```

```

2 SPPR=SPPR*B(I,I)
SPPR=PAUD*SPPR
WRITE(2,11) N,DELT,SPPR
11 FORMAT(/,1X,N-'12,' DETERM-O--'E12.5,' SPPR-O--'E12.5)
IF(SPPR.EQ.0.) GOTO 27
VERA=DET(O)
VERA=DET(O)
WRITE(2,200) VERA
200 FORMAT(6,45X,'VERA --'E12.5)
18 (N.EQ.0) VERA=VERA
19 (DELT.GT.SPPR.AND.N.EQ.0) GOTO 25
19 (VERA.LE.VER) GOTO 45
VERA=VERA
NR=N
45 K=MPTI-1
N=N+1
IF(N.GT.MPTI) N=NB
IF(N.EQ.0) GOTO 42
M=N-1
IF(N.EQ.0) GOTO 22
DO 5 I=1,MPTI
DO 6 L=1,M
6 B(I,L)=O(I,L)
DO 15 J=N,K
15 B(I,J)=O(I,J+1)
5 CONTINUE
DO 7 I=1,K
DO 7 J=N,K
7 B(I,J)=B(J+1,I)
IF(N.EQ.NB) GOTO 25
GOTO 23
22 DO 4 I=1,K
DO 4 J=1,K
4 B(I,J)=O(I+1,J+1)
IF(N.EQ.NB) GOTO 25
23 CALL MOVLEV(B,A,36)
GOTO 21
42 CALL MOVLEV(C,B,36)
K=MPTI
25 CALL INVERS(B,6,N,LIG,W,DEL)
DO 35 I=1,MPTI
DO 35 J=1,MPTI
35 A(I,J)=0.
35 (N.EQ.1) 26,31,33
31 DO 12 I=2,MPTI
DO 12 J=2,MPTI
12 A(I,J)=W(I-1,J-1)
GOTO 37
33 DO 13 I=1,K
DO 14 L=1,M
13 A(L,L)=W(L,L)
14 A(L,J)=W(L,J)
16 A(I,J+1)=W(I,J)
13 CONTINUE
NR=MPTI-N
DO 17 I=1,MPTI
DO 17 J=1,N
17 A(J,J)=0.
17 A(JJ,I)=A(JJ-1,I)
DO 36 J=1,MPTI
36 A(N,J)=0.
37 CALL MOVLEV(A,O,36)
GOTO 27
26 CALL MOVLEV(W,O,36)
27 RETURN
END
DECK INVERS
SUBROUTINE INVERS(A,NR,N,IPR,D1)
TO FIND THE INVERSE OF A SQUARE MATRIX USING DECOM AND PBSUM
DIMENSION A(NR,1),IER(1),B(NR,1)
EXTERNAL VIFDA
THE DECOMPOSITION A=LU

CALL DECOM(A,NR,N,IPR,IPR,D1,VIFDA)
TEST IF A APPEARS SINGULAR
IF(D1.EQ.0.) GO TO 20
SET UP THE IDENTITY MATRIX FOR THE RIGHT
HAND SIDE
DO 10 I=1,N
DO 5 J=1,N
5 B(I,J)=0.
10 B(I,I)=1.
FIND THE INVERSE BY FORWARD AND BACKWARD
SUBSTITUTION
CALL PBSUM(A,NR,N,IPR,B,N,VIFDA)
20 RETURN
END
DECK DECOM
SUBROUTINE DECOM(A,NR,N,V,IPR,D1,VIFDA)
TO DECOMPOSE A SQUARE MATRIX INTO LOWER TRIANGULAR AND UPPER
TRIANGULAR MATRICES
DIMENSION A(NR,1),V(1),IPR(1)
DC DATA EPS/1640777777777777769/
DC FOR CDC DELETED NEXT CARD
DATA EPS /0.56842E-13/
EPS=6.EPS
CALCULATES THE EUCLIDEAN NORM
DO 5 X=1,N
5 V(X)=0.
CALL VIFDA(A(1,1),NR,A(1,1),NR,N,X)
IF(X) 40,40,5
5 V(X)=1./SQRT(X)
D1=1.
DO 50 K=1,N
L=N
X=0.
KI=K-1
COMPUTES ELEMENTS OF LOWER TRIANGULAR MATRIX
DO 25 I=1,N
X=A(I,K)
IP(K)=22,22
21 CALL VIFDA(A(I,1),NR,A(I,K),1,KI,X)
22 A(I,K)=X
Y=ABS(Y*V(I))
IP(Y.EQ.X) GO TO 25
K=Y
L=I
25 CONTINUE
IF(L.EQ.K) GO TO 35
D1=-D1
INTERCHANGES THE ROWS
DO 30 J=1,N
Y=A(K,J)
A(K,J)=A(L,J)
30 A(L,J)=Y
V(L)=V(K)
35 IPR(K)=L
TESTS IF A APPEARS SINGULAR
IF(X.EQ.0.) 40,45,45
40 COMPUTES ELEMENTS OF UPPER TRIANGULAR MATRIX
WITH DIAGONAL ELEMENTS EXCLUDED
45 X=-1./A(K,X)
J=K+1
46 IF(J>N) 47,47,50
47 X=A(K,J)
IP(X) 49,49,48
48 CALL VIFDA(A(K,1),NR,A(1,J),1,KI,X)
49 A(K,J)=X

J=J+1
GO TO 46
50 CONTINUE
GO TO 55
54 D1=0.
55 RETURN
END
*DECK PBSUM
SUBROUTINE PBSUM(A,NR,N,IPR,B,M,VIFDA)
TO SOLVE AX=B HAVING M RIGHT-HAND SIDES USING THE RESULTS FROM
DECOM BY FORWARD AND BACKWARD SUBSTITUTIONS
DIMENSION A(NR,1),IPR(1),B(M,1)
INTERCHANGES ELEMENTS OF B
DO 10 I=1,N
IF(IPR(I)-I) 5,10,5
5 DO 9 K=L,M
9 B(I,K)=B(J,K)
J=IPR(I)
B(I,K)=B(J,K)
9 B(J,K)=X
10 CONTINUE
DO 25 K=1,M
B(I,K)=B(I,K)/A(I,I)
IF(N.EQ.1) GO TO 17
DO 15 I=2,N
X=B(I,K)
CALL VIFDA(A(I,1),NR,B(I,K),1,NL,X)
15 B(I,K)=X/A(I,I)
25 CONTINUE
SOLVES BX=Y BY FORWARD SUBSTITUTION
DO 28 K=1,M
B(I,K)=B(I,K)-A(I,I)
IF(N.EQ.1) GO TO 17
DO 18 I=2,N
X=B(I,K)
CALL VIFDA(A(I,1),NR,B(I,K),1,NL,X)
18 B(I,K)=X
28 CONTINUE
SOLVES UX-Y BY BACKWARD SUBSTITUTION
17 I=N
20 X=B(I,K)
NL=N-I
LP(I:N) 22,22,21
21 LI=XI
CALL VIFDA(A(I,1),NR,B(I,K),1,NL,X)
22 B(I,K)=X
LI=I-1
LP(I) 25,25,20
25 CONTINUE
RETURN
END
*DECK MOVLBV
SUBROUTINE MOVLBV(A,B,N)
CDCDC
REPLACES STANDARD CDC ROUTINE
DIMENSION A(1),B(1)
DO 1 I=1,N
B(I)=A(I)
1 CONTINUE
RETURN
END
*DECK PLOT
SUBROUTINE PLOT(EPMEV,LMAX,IPM,ENERGY,V,W,Q,IG,LIG,B,PMQ,PMC,RM
&,RN,NSITOT)
1 DIM(IG)=DIM(Q)=2*IP
1 DIM(W)=2*IP+6
1 INTEGER EV,OD,B(5,3),PMQ(18),PMI(36),AL,BO,RN,IP(10)
1 DIMENSION ENERGY(NSITOT),V(8,IPM),W(IPM),Q(IPM),IG(IPM),LIG(30)
1 ,RN(10)
1 COMMON/ECSBK/IECSBR(50,2,2)
1 COMMON/CONTR/NCBSNU,NPBMX,NPIG,IAI,IAP,IP1,IPF,EV
1 DATA IBLK/48 /
1 EV=1 IF CALLED FROM QDDEPART FROG
1 EV=2 FOR PRINT.
1 WRITE(2,200)
200 FORMAT(HZ)
OD=3-EV
SCALE=1./(LPMEV*1.)
RN=EV*(IP-1)+IPF
RN+6
DO 420 IP=1,M
420 W(IP)=99.

X=LMAX*SCALE
DO 449 ID=IAI,IAP,OD
DO 449 IIP=IP,IPF
ID=ID/OD-OD-1
IP=IP-EV*(ID-1)
IP=IP-EV*(ID-1)
ID=IP-BASHIN. IN ENERGY
M=IECSBK(IA,1,IPF)
IG(IP)=M
Q(IP)=FINAL PLACE IN ENERGY SAVING. SAME IP=2*I+IPF
K=IECSBK(IA-1,1,IPF)
Q(IP)=K
P=IP IN W(IP) FOR THE FIRST TIME
IP(K,OF,M)=W(IP)-ENERGY(M)
449 CONTINUE
INCREMENT IN I=M/2
M=4
DO 444 J=1,8
K=1
DO 445 IR=IAI,IAP,OD
DO 445 IIP=IP,IPF
IR=IR-(IA-1)+IPF
IP=IP-EV*(IA-1)+IPF
SEARCH MINIMAL ENERGY
IP(W(IP),IZ,W(X)) = IP
446 CONTINUE
LIG(3)=X
BO=0
DO 446 ID=K,N,M
FIND BAND BASED UPON ENERGY JUST FOUND
IP(W(IP)-GX,M) GOTO 447
BO=BO+1
IG(IP)=IG(IP)+1
V(J,BO)=W(IP)
IP(IG(IP).GE.Q(IP)) GOTO 448
W(IP)=ENERGY(IG(IP))
GOTO 446
448 W(IP)=99.
446 CONTINUE
COUNT NO. OF LEVELS TO BE PLOTTED ABOVE EACH OTHER
447 LIG(20-J)=BO
444 CONTINUE
444 PMQ(1)=4H(9X,
PMQ(18)=4H )
PM(36)=4H )
PM(1)=4H(.1X
M=MEV
DO 430 J=1,8
IG(J)=LIG(20+J)
W(J)=W(J,IG(J))
430 CONTINUE
N=LMAX/LPMEV
DO 435 K=1,LMAX
X=X-SCALE
IP(X-0.000001).GE.N) GOTO 437
435 N=-1
PM(2)=4H2X'M
PM(3)=4H2V'
GOTO 438
437 PM(2)=4H5X'T
PM(3)=4H', :
438 BO=0
NR=-
DO 431 J=1,8
L=4-J
PMQ(2+J)=4H1X,
PMQ(2+J)=4H1X,
PMQ(2+J)=4H1X,
IP(2+J,GE,X) GOTO 433
432 PM(2)=4H7X, :
PM(1)=4HBLK,
PM(2)=4H 7X,
PM(3)=4HBLK
GOTO 431
433 BO=BO+1

```

```

      PMX(L)=4EPS_4
      PMX(L+1)=4E_1
      PMT(L+2)=4H2_A
      PMT(L+3)=4H1_1
      AL=(LIG(J+1))/2*OD-1
      IFF=LIG(J)+1-AL+IG(J)*M-M
      S(1,BO)=AL+IG(J)*M-M
      Q(BO)=W(J)
      WW(BO)=1H
      IF(IFF.EQ.2) WW(BO)=1H
      IG(J)=IG(J)-1
      IF(IG(J).LE.0) GOTO 439
      THIS WAS NOT THE LOWEST MEMBER OF THE BAND
      W(J)=W(J,IG(J))
      CHECK WHETHER DIFFERENCE (-RM(J)) WOULD BE PRINTED OVER
      THE NEXT LOWER LEVEL (-W(J))
      IF(W(J).GE.(X-SCALE)) GOTO 431
      NR=NR+1
      PMD(2*N)=4EPS_4
      PMD(2*N+1)=4E_6X_
      PM(NR)=Q(BO)-W(J)
      GOTO 431
  39  W(J)--99.
  41  CONTINUE
      IF(BO.EQ.0) GOTO 434
      WRITE(2,PMK)((Q(I),B(I,I),WW(I)),I=1,BO)
      PM(I)=4E1X_
      IF(NR.EQ.0) GOTO 435
      WRITE(2,PMG)(RM(I),I=1,NR)
      PM(I)=4H_B+
      GOZ=435
  34  WRITE(2,PMF)
      PM(I)=4E1X_
  35  CONTINUE
      WRITE(2,442)
  42  FORMAT(HE4.6X,8('I',13('_')))
      WRITE(2,299)
  99  FORMAT(ES)
      RETURN
      END
      CK 442J
      SUBROUTINE PROJ
      COMMON/NP/ED,HEXP,CHM,CIN(3),CHP,CLP(3),NN,NP
      COMMON/SHL/BPS,PAIR,BLL,QO,OCT,HEX,MULT,CHQ
      COMMON/H/HEAR,C(3),F,G,CH1,CH2
      M=QH-NP*(NP-1)
      QO=2.*HEXP*PP(NP/M)
      CHQ=(CHN-CHP)*SQRT(5.)/2.
      PAIR=0
      CHS=CHQ*CHQ/5.
      CHS=CHS-CHN*CHP
      C(1)*NN*(NN-1)*CLN(1)/M+NP*(NP-1)*CLF(1)/M- CH*QO
      C(2)*NN*(NN-1)*CLN(2)/M+NP*(NP-1)*CLF(2)/M-3*CH*QO/14.
      C(3)*NN*(NN-1)*CLN(3)/M+NP*(NP-1)*CLF(3)/M-2*CH*QO/7.
      BLL=(C(1)-5*C(2)+54*C(3))/225.
      OCT=(7*C(2)-2*C(1)+9*LL)/84.
      HEX=7*(C(3)-4*BLL-OCT)
      EPS=ED*(2-CBS/2.)*QQ-3*BLL-7*OCT-9*HEX
      CALL MLTF
      RETURN
      END
      SUBROUTINE MLTF
      COMMON/H/HEAR,C(3),F,G,CH1,CH2
      COMMON/LEAP/SDP(30),GBOS(20),CLAM
      COMMON/CONTR/N
      COMMON/MUL/EPS,PAIR,BLL,QO,OCT,HEX,MULT,CHQ
      COMMON/MUL/(Q2D,Q2SD,Q2DD,Q2DG,Q2GG,Q4DD,MULIG,EPSG
      1   Q4IG,Q4SG,Q4DD,Q4DG,Q4GG,MULIG,EPSG
      PAIR=0.
      QO=2*Q2Q2*Q2SD**2
      CHQ=SQRT(5.)*Q2DD/Q2SD
      HEK=0.2*Q424*Q4DD*Q4DD
      CALL MLTF
      SUBROUTINE MLTF
      EBAR=HEAR+Q3Q2*(Q2DG**2)
      1   +Q4Q4*-9.*Q4SG**2+1.8*Q4DG**2
      GBOS(1)=EPSG+Q2Q2*(-5.*Q2SD**2+0.5555556*(Q2DG**2+Q2GG**2))
      1   +Q4Q4*((2*NN-10.)*Q4SG**2+Q4DG**2+Q4GG**2)
      GBOS(2)=Q2Q2*1.490712*Q2DG**2
      1   +Q4Q4*(2.683262*Q4DG**2-13.41641*Q4SG**2)
      GBOS(3)=Q2Q2*2.387023*Q2DG**2
      1   -Q4Q4*1.272798*Q4DG**2
      GBOS(4)=Q2Q2*(4.472136*Q2DD*Q2GG+2.497174*Q2DG**2)
      1   -Q4Q4*2.656087*Q4DG**2
      GBOS(5)=Q2Q2*0.089270*Q2DG**2
      1   +Q4Q4*2.461585*Q4DG**2
      GBOS(6)=Q2Q2*1.27320*Q2DG**2
      1   +Q4Q4*(6.*Q4DD*Q4GG-3.750462*Q4DG**2)
      GBOS(7)=Q2Q2*4.472136*Q2SD*Q2GG+Q4Q4*6.*Q4SG*Q4DG
      GBOS(8)=Q2Q2*4.472136*Q2SD*Q2DD
      GBOS(9)=Q2Q2*4.472136*Q2SD*Q2DG+Q4Q4*6.*Q4SG*Q4DD
      GBOS(10)=Q2Q2*1.277753*Q2DD*Q2DG-Q4Q4*4.494895*Q4DD*Q4DG
      GBOS(11)=Q2Q2*3.380297*Q2DD*Q2DG-Q4Q4*1.288714*Q4DD*Q4DG
      RETURN
      END
      CK 443J
      SUBROUTINE MLTF
      COMMON/H/HEAR,C(3),F,G,CH1,CH2
      COMMON/MUL/EPS,PAIR,BLL,QO,OCT,HEX,MULT,CHQ
      CHS=CHQ*CHQ/5.
      HEAR=EPS+(CBS/2.-2.)*QQ+3*BLL+7*OCT+9*HEX
      CH1=PAIR
      CH2=QO
      C(1)=CBS*QQ+5*PAIR-6*BLL-14*OCT+18*HEX
      C(2)=-OCT-3*CHS*QO/14.-3*BLL+36*HEX/7
      C(3)=COT+2*CHS*QO/7.+4*BLL+HEX/7
      F=CHQ*QQ
      G=SQRT(1.25)*(QQ-PAIR)
      RETURN
      END
      CK 444J
      SUBROUTINE MLINPT(NAME,IUNIT,NVAR,NPAR,NLP,NLVN,NLBS,NLD2,NLIR)
      SUBROUTINE TO INPUT DATA IN NAME LIST FORMAT
      ARGUMENTS:
      NAME - GROUP NAME IN CHARACTER FORMAT. THERE MUST EXIST
      COMMON BLOCK BY THIS NAME INTO WHICH THE DATA IS TO BE PUT.
      UNIT - UNIT NUMBER FROM WHICH INPUT DATA IS TO READ.
      NVAR - NUMBER OF VARIABLE NAMES IN NAMELIST
      NPAR - NUMBER OF PARAMETERS IN NAMELIST
      NLP(NPAR) - PARAMETER ARRAY
      NLVN(NVAR) - CONTAINS VARIABLE NAMES
      NLBS(NVAR) - CONTAINS BASE ADDRESS OF VARIABLES IN NLP
      NLD2(NVAR) - SECOND DIMENSION IN ARRAY SPEC IF APPLICABLE
      NLIR(NVAR) - NEG:LOGICAL , ZERO:INTEGER , POS:REAL
      CHARACTER*6 NLVN(NVAR)
      DIMENSION NLP(NPAR),NLBS(NVAR),NLD2(NVAR),NLIR(NVAR)
      CHARACTER*6 NAME
      CHARACTER*6 NAM
      CHARACTER*80 LINE
      BYTE VDATA(16),CH
      DIMENSION ID(4),IPL(2),IPR(2),IC(3)

      LOGICAL*4 T4
      INTEGER*4 I4

```

```

50 CONTINUE
IVI=IV1
IF(IVI.NE.0) IVI=IVI+1
IVI=IVI-1
SCAN VALUE FOR AN ASTERISK
IA=INDEX(LINE(IVI:IV2),'*')
IF(IA.EQ.0) GO TO 200
ASTERISK PRESENT, SO FIND REPEAT COUNT
N=IA-1
IA=IV1+N
DECODE(N,813,LINE(IV1:IA-1),ERR=950) IR
IVI=IA+1
GO TO 200
DECODING INPUT VALUE
90 CONTINUE
N=IV2-IV1+1
IF(N.LT.IV1) 300,320,330
LOGICAL LONGWORD
90 CONTINUE
DECODE(N,813,LINE(IV1:IV2),ERR=950) I4
11 FORMAT(I10)
GO TO 400
DECIMAL LONGWORD
20 CONTINUE
DECODE(N,813,LINE(IV1:IV2),ERR=950) I4
13 FORMAT(I10)
GO TO 400
FLOATING LONGWORD
30 CONTINUE
DECODE(N,816,LINE(IV1:IV2),ERR=950) R4
16 FORMAT(F10.0)
GO TO 400
SCOPE THE DATA
90 CONTINUE
IF(IZR.EQ.0) GO TO 420
PREPARED VALUE DECODED, SO STORE
DO 110 I=NO,NA+IR-1
NP=IBAS+I-14
10 CONTINUE
GOTO 430
20 CONTINUE
NP=(IBAS+NA)-I4
30 CONTINUE
IN1=IL1+1
GO TO 30
ERROR RETURNS
ERROR READING INPUT FILE
95 CONTINUE
WRITE(2,851)
51 FORMAT(' ERROR READING NAME LIST INPUT RECORD')
GO TO 1000
END OF FILE READ READING INPUT FILE
10 CONTINUE
WRITE(2,852)
52 FORMAT(' NAMELIST NOT FOUND OR NO TERMINATING $ SIGN')
GO TO 1000
GROUP NAME MUST BE LESS THAN 7 CHARACTERS
20 CONTINUE
WRITE(2,854)
54 FORMAT(' NAME LIST GROUP NAME TOO LONG')
GO TO 1000
NO EQUAL SIGN IN INPUT DATA ITEM
30 CONTINUE
WRITE(2,856)
56 FORMAT(' NO EQUAL SIGN IN NAME LIST INPUT DATA ITEM')
GO TO 1000
ERROR DECODING ARRAY INDEX
35 CONTINUE
WRITE(2,857)
57 FORMAT(' ERROR DECODING NAME LIST ARRAY INDEX')

GO TO 1000
'VARIABLE NAME NOT FOUND IN NAME LIST
40 CONTINUE
WRITE(2,858)
58 FORMAT(' NAME LIST VARIABLE NAME NOT FOUND')
GO TO 1000
ERROR DECODING DATA VALUE
59 CONTINUE
WRITE(2,860)
60 FORMAT(' ERROR DECODING NAME LIST DATA VALUE')
GO TO 1000
PARENTHESIS ERROR ON INPUT DATA
70 CONTINUE
WRITE(2,864)
64 FORMAT(' NAME LIST INPUT DATA PARENTHESIS ERROR')
GO TO 1000
TOO MANY EQUAL SIGNS IN INPUT DATA
75 CONTINUE
WRITE(2,865)
65 FORMAT(' TOO MANY EQUAL SIGNS IN NAME LIST INPUT DATA')
GO TO 1000
COMMON RETURN
100 CONTINUE
WRITE(2,870) NAME// ' -- //LINE(1:NC)
101 FORMAT(1X,A)
RETURN
10 CONTINUE
RETURN
END
ICK PRTPDR
SUBROUTINE PRTPDR(NPMSU,NPMAX,COMMENT)
LOGICAL MULT,SIDESF,NELOG
INTEGER COMMENT(10)
COMMON/PRAR/HBAR3P,DP(5),F3,PSPD,P(5),P3,FELL,POQ,PER,
6 EBAR,EPD,RKAP3,CHE,CHON,CHOP,SIDESF
COMMON/RK/ED,RKAP3,CHE,CHON,CLW(3),CHP,CLP(3),NN,NE,NLOG
COMMON/RM/EPB,PAIR,ELL,OCT,HEX,MULT,CHQ
COMMON/B/EBAR,C(3),F,G,CH1,CH2
WRITE(2,109)(COMMENT(I),I=1,10)
09 FORMAT(1X,I4,10A4)
10 IF(SIDESF) WRITE(2,202)
102 FORMAT(10X,'SD EQUALS SF')
103 FORMAT(10X,'TOTAL NUMBER OF BOSONS = ',I2
6 '/16X,'TRUNCATION AX ND = ',I2)

IF(.NOT.NELOG) GOTO 50
WRITE(2,223) NN,CHN,(CLN(I),I=1,3),NP,CHP,(CLP(I),I=1,3),ED,RKAP
22 FORMAT(10X,'PROJECTION FROM ',/)
6 12X,'NN=I2', CHN='P6.2', CLN='3(P5.2,E,)/
6 12X,'NP=I2', NP='P5.2', CHP='3(P5.2,E,)/
6 '/15X,'ED=P6.3', RKAP='P7.4/')
50 IF(.NOT.MULT.AND..NOT.NELOG) GOTO 60
WRITE(2,223) EPB,PAIR,ELL,OCT,HEX,CHQ
23 FORMAT(10X,'MULTIPOLE EXPANSION ',/
6 12X,'RPS='P7.4', PAIR='P7.4', ELL='P7.4/
6 12X,'OO='P7.4', OCT='P7.4', HEX='P7.4/
6 12X,'CHQ='P7.4/')

60 CONTINUE
WRITE(2,101) CHEL,CH2,EPD,FELL,POQ,PER,RKAP3,CHC,CHON,CHOP
01 FORMAT(1X,'CHL=I2',CH2='P8.5',EPD='P8.5,
6 ,FELL='P8.5',POQ='P8.5',PER='P8.5/
6 34X,'RKAP3=C(3),CHC='P8.5',CHON='
6 ,P9.5',CHOP='P8.5/')
WRITE(2,102) EBAR,HBAR,C(1),D(1),F,G,P3,C(2),D(2),C(3),D(3),D(4),
AD(5)
U2 FORMAT(1X,' Z ENERGY J- ENERGY I Z+ J- INTER. I Z+ J- INTER.
6 CHC PHONON TWO PHONON F3 (5*P*DF)*ZK,P8.5,ZK,P8.5,4X,ED,2X,
4P8.5,4X,HL,2X,P8.5,6X,P8.5,6X,P8.5/24X,2Z,P8.5,4X,R2
6 ,2X,P8.5/24X,4,2X,P8.5,4X,B1,2X,P8.5/39X,R4,2X,P8.5/39X,B5,2X
6 ,P8.5/)

RETURN

```



```

K=ND/2
RED=NETPAC(NB+I*(K+1)*(ND-K),1)
NCP=NC+1
ND=ND*(ND-1)/2+1+LPR+IBDEL(2,NCP)
RED=RED*REDGS(K,LD)
RETURN

10 CONTINUE
RED=1

IF(NCD) 211,210,999
11 IF(NCD+I) 999,220,999

10 CONTINUE
NCD=0

IF(NC,LT,0) GOTO 999
ND1=ND-2*NB-3*NC-1
IF(ND3) 999,212,212
12 IF(LPR,LT,ND3) GOTO 999
IF(LPR,GT,2*ND3) GOTO 999
K=ND/2
RED=NETPAC(NB+I*(K+1)*(ND-K),2)*(-1)**(L+LPR)
NC1=(ND1-1)/2+1+LPR+IBDEL(1,NC+1)
RED=RED*REDGS(K,6-LD)
RETURN

20 CONTINUE
CND=1
NC = MAX

IF(NC,LT,1) GOTO 999
ND1=ND-2*NB-3*NC
IF(ND3) 999,222,222
22 IF(L,LT,ND3) GOTO 999
IF(L,GT,2*ND3) GOTO 999
NC=NC-1
IF(NCM) 999,221,221
21 CONTINUE
K=ND/2
RED=NETPAC(NB+I*(K+1)*(ND-K),2)*(-1)**(L+LPR)
NC1=(ND1-1)/2+1+LPR+IBDEL(2,NC)
RED=RED*REDGS(K,6-LD)
RETURN

99 RED=0.
RETURN
END
CX SETUP
SUBROUTINE SETUP
COMMON//R/PHASE0,PHASE1
COMMON//SR/SR0,SR(20),SRJK0,SRJK(50)
PHASE0=1.
PHASE1=-1.
SR0=1.
SR1=1.
DO 1 I=1,20
1 SR(I)=SQRT(FLOAT(I))
DO 2 I=1,50
2 SRJK(I)=SQRT(FLOAT(2*I+1))
RETURN
END
CX SYMR
SUBROUTINE SYMR(A,B,N,W,E,MV,ROOT)
1.5. AUGUST 1988 : precision improved
! contains on return the ordered eigenvalues in double precision
! contains on return the ordered eigenval. in single precision
IMPLICIT REAL*8(A-H,O-Z)
DIMENSION A(1),B(1),W(1),E(1),ROOT(1)
REAL*4 ROOT
ILIN= 1000
PRHCS= 1.0-15

CNE=1.0D0
BASB=2.0D0
SGW=BASB**50
SQRTZ=SQRT(Z.D0)
N1=N-1

***** * * * * * GET EIGENVALUES OF TRIDIAGONAL FORM BY KARAN-YAKAK Q-R METHOD * * * * *
TOL = PRECS/(10.*FLOAT(N))
TMAX = 0.
TMAX = MAX(TMAX,ABS(B(1)))
100 TMAX = MAX(TMAX,ABS(A(1)),TMAX)
SCALE = ONE
IF (TMAX.EQ.0.) GO TO 460
DO 310 I = 1,ILIN
IF (SCALE*TMAX.GT.HOV) GO TO 320
310 SCALE = SCALB*BASE
320 DO 330 I = 1,N
E(I) = A(I)*SCALE
W(I) = (B(I)*SCALE)**2
330 CONTINUE
DELTA = TMAX*SCALE*TOL
EPS = DELTA**2
K = N
Start iteration
350 L = K
IF (L.LE.0) GO TO 460
L1 = L - 1
DO 360 I = 1,L
K1 = K
K = K - 1
IF (W(M1).LT.EPS) GO TO 380
360 CONTINUE
380 IF (M1.NE.L) GO TO 400
W(L1) = 0.
GO TO 390
390 X = E(L1) - E(L1)
X = SQRT(X)
Y = 0.50027
IF (ABS(E(L)).GT.DELTA) S = (X/Y)/(CNE+SQRT(CNE*X*Y**2))
E1 = E(L1) + S
E2 = E(L1) - S
IF (K1.NE.L1) GO TO 430
E(L) = E1
E(L1) = E2
W(L1) = 0.
GO TO 350
410 RAMDA = E1
IF (ABS(E(L)).LT.DELTA.AND.ABS(E2).LT.ABS(E1)) RAMDA = E2
S = 0.
C = ONE
GG = E(K1)-RAMDA
GO TO 450
440 C = F/T
S = Y/T
X = GG
GG = C*(E(K1))-RAMDA - S*X
E(K1) = (X-GG) + E(K1)
450 IF (ABS(GG).LT.DELTA) GG = GG + SIGN(C*DELTA,GG)
F = GG**2/C
K = K1
K1 = K1 + 1
X = W(K1)
T = X + F
W(K) = S*T

IF (K.LT.L) GO TO 440
E(K) = GG + RAMDA
GO TO 350
C rescale energies
460 DO 470 I = 1,N
470 E(I) = E(I)/SCALE
C order eigenvalues, array E
DO 510 I=2,N
N1=I-1
DO 502 K=1,N1
IF(E(I)-E(K)) 502,502,504
502 CONTINUE
GO TO 510
504 K=E(I)
N1=N-K+1
DO 506 J=K,N1
NN=NN-J
506 E(NN+1)=E(NN)
E(K)=X
510 CONTINUE
NN=N
J=NN
K=1
DO 5 I=1,NN
IF(ABS(E(K))-ABS(E(J))) 5,3,4
3 W(I)=E(J)
J=J-1
GO TO 5
4 W(I)=E(K)
K=K+1
5 CONTINUE
C reverse order eigenvalues if nn<0
IF((ISIGN(1,NN)) 6,9,9
6 DO 7 I=1,NN
7 E(I)=W(I)
DO 8 I=1,NN
8 W(I)=E(NN-I+1)
9 CONTINUE
DO 10 I=1,NN
ROOT(I)=W(I)
90 CONTINUE
C Shift energies to end of space for eigenvectors, remember
than on call W=SIGV(L,NEIG) !!!! !
HEIG=ABS(MV)
DO 91 I=NEIG,1,-1
W(NN-NEIG+I+1)=W(I)
91 CONTINUE
RETURN
END
*DECK TRIDI
SUBROUTINE TRIDI(LP,NM,R,A,B,W,Q,P)
IMPLICIT REAL*8(A-H,O-Z)
DIMENSION R(LP,1),A(1),B(1),W(1),Q(1),P(1)
NM=1
ONE=1.0D0
W(NM+1)=0.
Q(NM+1)=0.
NM=NM+2
DO 1 I=1,NM
1 A(I)=W(I)
DO 16 IR=1,NM
16 W(IR)=0.
IR=IR+1
DO 3 I=IR,NM
3 S=SR(I,IR)*R(I,IR)
S=SQR(S)
W(IR+1)=R(IR+1,IR)+S*SIGN(1.,R(IR+1,IR))
IR=IR+2
DO 4 I=IR,NM
4 W(I)=R(I,IR)
4 W(I)=R(I,IR)
TOKR=S*S*ABS(R(IR+1,IR))
TOKR=S*S*ABS(R(IR+1,IR))

IF(TOKR)5,14,5
5 DO 10 I=IR,NM
***** *
C D=0.
C D=I-J-IR,I
7 D=D*R(I,J)*W(J)
***** *
IP(I-NM) 8,16,10
8 J=N-I+1
***** *
C DO 9 J=J-NM,NM
9 D=D*R(J,I)*W(J)
***** *
C 10 P(I)=D/TOKR
PAX=0.
DO 11 I=1,I-IR,NM
11 PAK=PAK-W(I)*P(I)
PAK=PAK-.5D0/TOKR
DO 12 I=1,I-IR,NM
12 Q(I)=P(I)-PAK*W(I)
IRR=IR+1
DO 13 I=IRR,NM
DO 13 J=I,NM
13 R(J,I)=R(J,I)-W(I)*Q(J)-W(J)*Q(I)
GO TO 15
14 B(IR+1)=0.
15 X=A(IR)
A(IR)=R(IR,IR)
R(IR,IR)=X
B(IR+1)=S*SIGN(1.,R(IR+1,IR))
16 R(IR+1,IR)=W(IR+1)
X=(NM-1)
A(MM-1)=R(NM-1,NM-1)
R(NM-1,NM-1)=X
X=A(NM)
A(NM)=R(NM,NM)
R(NM,NM)=X
B(NM)=R(NM,NM-1)
RETURN
END
*DECK VECTOR
SUBROUTINE VECOR(A,B,NM,LP,R,VEC,U,V,W,RM,LIG,
C O.S. AUGUST 1988 : precision improved
& NUMBER,VEC,ENERGIES,IZER)
C NOTE: In the neigth-l and neigth call the array ENERGIES will
be overwritten
C solves : D=0.1*VCC(I-1)+(A(I)-E)*VCC(I)+B(I+1)*VCC(I+1)
C with B=ENERGIES(NUMBER)
IMPLICIT REAL*8(A-H,O-Z)
DIMENSION R(LP,1),A(1),B(1),U(1),V(1),VEC(1),W(1),RM(1),LIG(1)
DIMENSION VCC(1),ENERGIES(1)
REAL*4 U,VEC
DATA SMALL /1.0D-15/
ENERGIES /NUMBER/
NN=NM-1
P=A(1)-E
Q=B(1)
B(NM)=0.
DO 1 I=L1,NM
1 LIG(I)=1
DO 6 I=1,NM
IF (ABS(B(I+1))-ABS(P)) 2,3,5
2 U(I)=0
V(I)=0
W(I)=0
RM(I+1)=B(I+1)/P
P=A(I+1)-E-B(I+1)*Q
Q=B(I+1)
GO TO 6
3 IF(ABS(P)-SMALL) 4,5,5
4 P=SMALL
REVISED(700826) TO PROVIDE THE RIGHT BRANCH
C

```

```

      GO TO 2
5 U(I)=B(I+1)
  V(I)=A(I+1)-E
  W(I)=B(I+2)
  RM(I+1)=P/U(I)
  P=Q-RM(I+1)*V(I)
  Q=RM(I+1)*W(I)
  LIG(I)=-1
6 IF(ABS(P).LT.SMALL) P=SMALL
  W(NM)=0.
  W(NM)=0.
  V(NM)=0.
  U(NM)=P
  IF(ABS(U(NM))>SMALL) 7,8,8
7 U(NM)=SMALL
8 NM=N-1
  VCC(NM)=1.00/U(NM)
  VCC(NM+1)=0.
  VCC(NM+2)=U(1)
  X=VCC(NM)*VCC(NM)
  DO 10 J=2,NM
  I=N-M-J+1
  VCC(I)=(1.00-VCC(I+1)*V(I)-VCC(I+2)*W(I))/U(I)
  X=VCC(I)*VCC(I)*X
  renormalize
  X=1.00/SQRT(X)
  DO 15 I=1,NM
10 VCC(I)=VCC(I)*X
  N=M-ZEEP
  n>0 to obtain better precision
  the number of iteration steps is 1-nj with nj<=0
11 NJ=NJ+1
  DO 13 I=2,NM
  IF(LIG(I-1)).LT.12,12,13
12 V=VCC(I-1)
  VCC(I-1)=VCC(I)
  VCC(I)=V=
13 VCC(I)=VCC(I)-PM(I)*VCC(I-1)
  reiterate eigenvector for improved precision
  VCC(NM)=VCC(NM)/U(NM)
  X=VCC(NM)*VCC(NM)
  DO 14 J=2,NM
  I=N-M-J+1
  VCC(I)=(VCC(I)-VCC(I+1)*V(I)-VCC(I+2)*W(I))/U(I)
14 X=VCC(I)*VCC(I)*X
  renormalize
  X=1.00/SQRT(X)
  DO 15 I=1,NM
15 VCC(I)=VCC(I)*X
  IF(NM-1).LT.16,16,16
  N=M-NM-2
  When two eigenvalues are degenerate VCC(I0) and VCC(I0+1) are
  equal to zero and there is an arbitrary sign for VCC(I) , I>I0
  Y=0.
16 DO 17 I=2,NM
17 X=B(I)*VCC(I-1)+(A(I)-E)*VCC(I)
  U(I)=X
  X=ABS(X+B(I+1)*VCC(I+1))
  IF(X.GT.1, Y=K
  STM
  ENDDO
  STM
  WRITE(2,*)'X',(U(I),I=2,NM)
  STM
  WRITE(2,*)'Y',X
  DO 20 I=1,NM
  I=N-M-LJ
  NJ=I+1
  PAK=0.
  *****
  DO 17 J=NJ,NM
17 PAK=PAK+VCC(J)*R(J,I)
  *****

2-B(NM)*R(NM,1)
  IX(Z)19,20,19
18 PAK=PAK/Z
  DO 19 J=NJ,NM
19 VCC(J)=VCC(J)-PAK*R(J,1)
20 CONTINUE
  XC
  renormalize
  DO 21 I=1,NM
21 X=X*VCC(I)*VCC(I)
  X=SQR(X)
  DO 22 I=1,NM
22 VCC(I)=VCC(I)/X
  RETURN
  END
1C VIP
  SUBROUTINE VIPD(A,INCA,B,INC8,N,C)
  DIMENSION A(INCA,1),B(INCB,1)
  C=0.3
  ENTRY VIMDA(A,INCA,B,INC8,N,C)
  DC 1 I=1,N
  1 C=C+A(1,I)*B(1,I)
  RETURN
  END
1C XPLIX
  SUBROUTINE XPLIX(LEM,IWD)
1C      THIS PROGRAM ROUTINE REPLACES THE FOLLOWING
1C      COMMENTED OUT PASS DRAK , WHILE REQUESTS
1C      DYNAMICALLY ALLOCATABLE CM-MEMORY ON
1C      C.D.C. COMPUTERS
1C      IF(IWD.EQ.0) RETURN
1C      WRITE(2,200) LEM
200 FORMAT(11A,'ARRAY SPACE IN USE ',16)
  RETURN
  END

```

```

*DECK ODDA
LOGICAL FIT,MUL,NPLOG,IIDA
INTEGER FITWIE,EVOD,P,PILOT,COMMENT
DIMENSION U(5),V(5),RTT(15),ANP(10),AMUL(6),AH(8),IREAD(20)
DIMENSION COEF(6),ALLPAR(173),ENERGY(1)
DIMENSION XTZ(600000)
COMMON/TEXT/PRINTV,V,COMMENT(10),IPR,IWD
COMMON/DISTR/SPE(5),DEL,EPER,PERN,OMEGA
COMMON/ECSEN/TECSBK(50,2,2)
COMMON/BANO/PBEN(15,8),GAM
COMMON/PPAR/ MPART,IPPAR(5,3),ILEV,
  6          BPO,CHI,BPF,BPM,BFT,VSQ(5),BPMJ(5),PEN(5),
C---- POSITION   1   2   3   4   5   6-10  11-15  16-20
  4          BPN(15),BETA(15),ESS(5),PDDO(5),PSD(15),PDS(15),
C---- POSITION  21-35  36-50  51-55  56-60  61-75  76-90 ,
  4          PDD(14,15),BETAD(15),BPJJ(5),BPF,BPEL,BFZ2
C---- POSITION  91-150 ,151-165
COMMON/CONT/NPMSU,NPMMAX,HEIG,IAI,IAM,IPPI,IPFM,EVOD
COMMON/R/HEAR,C(3),P,0,CH1,CH2
COMMON/ NP / ED,RGP,CBN,CIN(3),CHP,CLP(3),NN,NP,NPLOG
COMMON/ MUL / EPS,PAIR,BLL,QQ,OCT,HEX,MULT,CHQ
COMMON/REDMAT/REDGS(375,5),BETFAC(55,2),IBOEL(2,5)
COMMON/PCNTR/PPD,FTM,FAD,CINMAX,PT(6),PTT,PTWIE(6)
EQUIVALENCE (BPO,ALLPAR(1)),(AH,HEAR),(AMUL,EPS),(ANP,ED)
EQUIVALENCE (ENERGY,XIZ),(IREAD(1),XIZ(1))
DATA PTWIE/1,2,3,4,6,7/
DATA IREAD/40000,9*48
  6          48DECHE,48NUMBER ,48 '85 ,7*4H   /
DATA IEDM,IWD/0,0/
DATA NDM,IDI8,IDB,IGDS/14,5,56,375/
DATA LENMIN,LENMAX(1,600000)/
C      PT-SORT(5/4P)
DATA PTT,IPFD,HEIG/.63078313,1,3/
DATA IAI,IAM,IPPI,IPFM,PRINT,PRINTV,IPR/1,0,1,1,2*.FALSE./0/
DATA COMMENT/10*40/
DATA SFE,DEL,EPERL,EPER2,PEMN/5*0.,1..0.,2..1./
DATA VSG,HEP,HEP2,BPQJ,BPFJ,CHI,BPF,BPFZ2,BPM,BFT/62*0./
DATA PDD,PDS,PSD,PDS_PDD,PEN/5*0,5*1,5,0,105*0./
DATA BPF,BPJ(6)*0./
DATA TDA,OMEGA/.FALSE.,1.00/
DATA TDA,V/10*0./
C----- DIMENSIONS FOR ARRAYS IN COMMON REDMAT
C----- USED FOR THE COMPUTATION OF REDUCED MAT. ELEMENTS
C----- OF D+D- NUMBER OF PHONONS USED IN THE PROGRAM
C----- NDM=NDM/3+1
C----- IDB=(K+1)*(NDM-K) , K=NDM/3
C----- IDGS=(K+1)*(NDM/2-NDM/4+3)*(1-NDM+K) , K=NDM/3
C----- THESE DIMENSIONS MUST BE EXACTLY EQUAL TO THOSE IN
C----- COMMON/REDMAT , USED IN MAIN FROG AND SUBROUTINE RED
C----- NAMELIST/INPT/HEAR,C,F,G,IAI,IAM,IPPI,IPFM,IPR
  6          ,IPPAR,MUL,CH1,CH2,NPMMAX,NPMSU,ICUT
  6          ,HEIG,IND,ESS,PSD,PDS,PDDO,PDD,ED,PEN
  6          ,EPS,PAIR,BLL,QQ,OCT,HEX,CHQ
  6          ,PTT,PTWIE,PT,FTM,CINMAX,PPD,FAD
  6          ,ED,RGP,CBN,CIN,CHP,CLP,NN,NP
  6          ,ILEV,BPO,CHI,BPF,VSQ,BETA,BETAD,BPQJ,BPMJ,BPM
  6          ,SFE,DEL,EPERL,BPF,TDA,OMEGA,BPJ(5),BPFZ2,BFZ2
C----- OPEN(UNIT=1,STATUS='SCRATCH')
OPEN(UNIT=2,STATUS='NEW',NAME='OUTPUT')
OPEN(UNIT=3,STATUS='OLD',NAME='TAPE3',READONLY,FORM='UNFORMATTED')
OPEN(UNIT=5,STATUS='OLD',NAME='INPUT',READONLY)
OPEN(UNIT=11,STATUS='NEW',NAME='PWAVE',FORM='UNFORMATTED')
NPMSU=NDM
NPMMAX=NDM
CHI=SQRT(1.75)
C----- READ INPUT
CALL RCRD(COMMENT,IREAD)
READ(1,INPT)
C----- FIND MAXIMAL AND MINIMAL ALLOWED FIELD LENGTH
CALL XRFIX(LENMAX,1)
LEN=LENMAX-LENMIN
LENMAX=SQRT(81.+LEN)-9
C----- FIT=.FALSE.
NPLOG=NP.GT.0 .AND. NN.GT.0
IF(NPLOG) NPMMAX=NN+NP
IF(NPLOG) CALL PROJ
IF(MUL) CALL MULP
IF(ILEV.LT.-9) ILEV=-9
J=0
DO 101 I=1,5
K=IPPAR(I,1)
IF(K.LE.0) GOTO 102
IF(K.LE.J) GOTO 101
J=K
101 CONTINUE
I=6
102 MPART=I-1
IF(NPMSU.LE.0) NPMMAX=NDM
IF(NPMSU.GT.0.OR.NPMSU.GT.NPMMAX) NPMSU=NPMMAX
IF(NPMSU.GT.NDM) NPMSU=NDM
K=4*NPMSU+J
IF(IAM.EQ.0) IAM=K
IAM=(IAM/2)*2+1
NPMMAX=NPMMAX+1
CONTINUE
C----- PRODUCE STATES AND CPP'S
CALL READRED(NDM,IGDS,IDI8,REDGS,BETFAC,IBOEL)
C----- INVULLEN VAN PBEN . USED FOR DIAGONAL MAT. ELEMENTS
C----- ALPHA=(I**3)+(I**2)/7
C----- GAM=(C(12)-C(1))/4
TBETA=(C(11)-ALPHA-12*GAM)/5
DO 150 NB=1,NPMMAX
  NOTE : NB = NO OF PHONONS+1
  NBPM=(NB+1)/2
  PBEN(N,1)=(HEAR-*GAM+ALPHA*(N-2)/2)*(N-1)
  PBEN(N,1)=PBEN(N,1)+CH2*(NPBNGXP-N)*(N-1)+CH1*(NPMMAX-N)*(NPMMAX
  4 -N)/2
  DO 150 NB=1,NBPM
  NB-NP-1
  PBEN(N,NB)=PBEN(N,1)+TBETA*NB*(2*N-2*NB+1)
150 CONTINUE
IF(.NOT.FIT) GOTO 103
C----- INGEVAL VAN FIT : INLEZEN VAN ENERGETEN
II=IAI/2+1
IM=MIN(IAI/2+1,21)
CALL FITSU(ENERGY,1,COEF,II,IM,471,457)
C----- J=0
DO 49 I=1,6
  IF(PTT(I).EQ.0.0) GOTO 49
  K=PTWIE(I)
  J=J+1
  COEF(J)=ALLPAR(K)
49 CONTINUE
71 REWIND 11
  J=0
  DO 58 I=1,6
    IF(PTT(I).EQ.0.0) GOTO 58
    K=PTWIE(I)
    J=J+1
    ALLPAR(K)=COEF(J)
58 CONTINUE
103 CONTINUE
C----- CHECK THAT VSQ IS BETWEEN BOUNDARIES 0 AND 1
  DO 306 K=1,MPART
    IF(VSQ(K).LT.0.) VSQ(K)=0.
    IF(VSQ(K).GT.1.) VSQ(K)=1.
    K=IPPAR(1,1)/2.
    DO 306 I=K,MPART
      RI=IPPAR(I,1)/2.
      KIK=*(I-1)/2+K
      C----- RTT(KIK)<0//Y(2)//> in (s,1); coupling
      PTT(KIK)=PTT(SQRT(2*KIK-1.))*CLEBR(RK,-.5,2.,0.,RI,-.5)
      IF(IPPAR(1,2).NE.IPPAR(K,2)) RTT(KIK)=0.0
306 CONTINUE
C----- HANDLE INPUT OPTIONS
LEV=MOD(ILEV,10)
LEV1=MOD(ILEV/10,10)
IF(LEV1.GT.0) GOTO 500
385 DO 460 I=1,MPART
  V(I)=SQRT(VSQ(I))
  460 V(I)=SQRT(1.-VSQ(I))
  IF(ILEV=5) 383,395,395
  383 IF(ILEV=3) 381,393,394
  381 IF(ILEV=1) 300,391,392
C----- CALCULATE OCCUPATION PROBABILITIES FROM PAIRING
C----- IN : SFE(5),DEL,EPER,IPPAR
C----- OUT : BPF(5),VSQ(5),EPER
500 CONTINUE
R1=PART(IPPER1)-PERN
R2=PART(IPPER2)-PERN
502 EPER=(R2*EPERL-R1*EPER2)/(R2-R1)
DO-BPART(IPPER1)-PERN
  IF(ABS(R1).LT.0.01) GOTO 503
  IF(ABS(R1).LT.ABS(R2)) GOTO 501
  EPER1=EPER2
  R1=R
  GOTO 502
501 EPER2=EPER
R2=R
GOTO 502
503 CONTINUE
GOTO 385
C----- LEV=1
C----- USED PARAMETERS : BPF
395 CONTINUE
BPF=BPF/4.
C----- LEV=4
BPM=BPM
C----- USED PARAMETERS : BPM
394 CONTINUE
DO 340 K=1,MPART
  BPM(K)=BPM
340 CONTINUE
C----- LEV=3
BETA=(UK*VI+VK*VI)*CK//Y(2)//>
NO NORMALISATION
USED PARAMETERS : VSQ
393 CONTINUE
DO 330 K=1,MPART
  KIK=*(K-1)/2+K
  BETA(KIK)=U(K)*V(K)+U(K)*V(I))* RTT(KIK)
  BETA0=(BETA(KIK)-BETA(KIK))
  IF(.NOT.TDA) GOTO 330
  DENO=(BEN(K)+BEN(I))-OMEGA
  IF(DENO.LT.0.1) WRITER(2,200) DENO,K,I
  200 FORMAT(1X***** DENOMINATOR='FS.4' IN TDA FOR BETA('212,
  * TOO SMALL !')
  READ(KIK)=BETAD(KIK)/DENO
330 CONTINUE
C----- LEV=2
BPOJ=BPQ*(UK*VI-VK*VI)*CK//Y(2)//>
BPQ=BPV*SQRT(J*(J+1)*(2*J+1)/10/3)
USED PARAMETERS : BPO,VSQ,BPJ
392 CONTINUE
DO 320 K=1,MPART
  K=IPPAR(K,1)
  BPJJ(K)=BPV*SQRT(X*(X+1)*(X+2)*5./6.)
  DO 320 I=K,MPART
    KIK=*(I-1)/2+K
    BPJJ(KIK)=BPQ*(U(I)*U(K)-V(I)*V(K))*RTT(KIK)
320 CONTINUE
C----- LEV=1
DEFINING QUADRUPOLE AND PAULI FORCE AND CORIOLIS FORCE
USED PARAMETERS : BPF,BPF1,BPF2,CH1,BPMJ,BETA,BPOJ
391 CONTINUE
DO 311 I=1,15
  DO 311 L=1,I-1
    DO 311 PDU(L,I)=0
    DO 312 I=1,MPART
      L12=IPPAR(I,1)
      PDDO(I)=BPM(I)*SQRT(L12+1.)
      KIK=*(I+1)/2
      PDD(I,KIK)=3*BPJJ(I)
312 PDD(I)=0.
    DO 301 I=1,MPART
      L12=IPPAR(I,1)
      RI=L12/2.
      DO 301 K=1,MPART
        LK=IPPAR(K,1)
        RK=LK/2.
        DO 302 J=1,MPART
          L=MIN(I,J)
          M=MAX(I,J)
          KIK=*(M-1)/2+L
          BSGE=SQRT(5.)*BPF*( BETAD(KIJ) * BETA(KKJ) +
                                BETAD(KKJ) * BETA(KIJ) )
        302 J=J+1
      301 K=K+1
    300 I=I+1
311 I=I+1
C----- II=0
  IF(J.LT.I) II=II+RI+I-1
  IF(J.LT.A) II=II+1+RI*RK
  BSGE=BSQE*(-1)**II
  BSGE=0.
  KIK=*(K-1)/2+K

```

```

IF(K.NE.1) GOTO 303
1 IF(ABS(RJ-RK).GT.2.) GOTO 303
BSQT =SQRT(S.) *BFT*(BETAD(KLJ) * BETA(KKJ) +
* BETAD(KKJ) * BETA(KLJ) )
PDD(X)=PDD(X)+(BSQ+BSQT)*Z/SQRT(2*RK)
303 DO 304 L=1,4
RL=FLOAT(L)
PDD(L,KKJ)=(BSQ*Z-1)**L*BSQT)*(2**RL+1)*RACAH(R.,RL,RJ,RI,2.,RK)
4 PDD(L,KKJ)+PDD(L,KKJ)
304 CONTINUE
302 CONTINUE
PDD(2,KKJ)=PDD(2,KKJ)-5*CHI*BFOJ(KKJ)
PDD(KKJ)=SQRT(S.)*BFOJ(KKJ)-
4 SQRT(S.)*RTT(KKJ)*(BFE1*U(K)*V(I)+BFE2*V(K)*U(I))
PDS(KKJ)=SQRT(S.)*BFOJ(KKJ)-
4 SQRT(S.)*RTT(KKJ)*(BFE1*U(I)*V(K)+BFE2*V(I)*U(K))
301 CONTINUE
300 CONTINUE
C TRUNCATE PARTICLE BASIS
C IF(IPCUT.GT.MPART) IPCUT=MPART
C IF(IPCUT.GT.0) MPART=IPCUT
C START SERIOUS BUSINESS
ZEROEN=9999.
NSTTOT=1
IEDM=0
IEDMAX=1E9999
C OUTPUT . SMALL PRINT OUT
CALL PRFEDR(IPR,NPHSMU,NPHMAX,COMMENT)
C BEGIN ANGULAR MOMENTUM AND PARITY LOOPS
DO 1000 IPP=IPPI,IPFM
P=1H-
IF(IPCUT.EQ.2) P=1K-
DO 1000 IED=LAI,LAM,2
ED=LID/2.
LIP=IPIX(ED+0.6)
C 80 K=NSTTOT+5*IEDM+1
LEN=LENMAX+1850+K
IF(LEN.LT.LENMAX) GOTO 81
IEDM=(LENMAX-LENMIN-NSTTOT-1850)/5-1
GOTO 80
81 CALL KRPFLX(LEN,IED)
CALL GENST(NPHSMU,IEDMAX,LID,IPP,
4 XYZ(K),XYZ(K+50),XYZ(NSTTOT),IED)
IF(ED.LT.0) GOTO 127
MV=MING(ED,NEIG)+1
C IED=IED+1
IED=MAX0(ED,IEDM)
IBSR=NSTTOT+5*IED
IBSV=IBSR+IED
IBSEV=IBSV+IED*YED
IBSI=IBSEV*MV*IED
IBSR=IBSI+IED
IDBLE=2
IBSR2=IBSR+IED*IDBLE
IBSR3=IBSR2+IED*IDBLE
IBSR4=IBSR3+IED*IDBLE
IBSR5=IBSR4+IED*IDBLE
IBSR6=IBSR5+IED*IDBLE
LEN=IBSR6+IED*IDBLE+LENMIN
IF(LEN.GT.LENMAX) GOTO 93
WRITE(11) LTD+IPP,ED-1,MV-1,LID,IPP,IED-1,MV
K=NSTTOT+5*IED-6
WRITE(11) (XYZ(I),I=NSTTOT,K)
CALL KRPFLX(LEN,IED)
C TOTAL NEEDED LENGTH = LENMIN+IBSR4+IED
MV IS DECREASED BY ONE IN CALL
CALL H_A_M_I_L_T (LID,ED,MV,NSTTOT,ZEROEN
4 ,XYZ(1),XYZ(NSTTOT),XYZ(IBSR),XYZ(IBSEV)
4 ,XYZ(IBS1),XYZ(IBSR),XYZ(IBSR2),XYZ(IBSR3),XYZ(IBSR4),
4 ,XYZ(IBSR5),XYZ(IBSR6))
C K=IBSR+IED-2
WRITE(11) (XYZ(I),I=IBSR,K)
J=IBSEV
K=IBSEV
MV=MV
DO 130 J=1,MV
CALL MOVLV(XYZ(K),XYZ(J),IED)
K=MV
J=MV-1
130 CONTINUE
J=IBSEV-MV*(IED-1)-1
WRITE(11) (XYZ(I),I=IBSEV,J)
C CALL MOVLV(XYZ(IBSR),ENERGY(NSTTOT),IED)
J=NSTTOT+IED
NSTTOT=NSTTOT+IED-1
GOTO 127
283 FORMAT(/,* REQUIRED LENGTH OF 'I10' FOR THIS PROBLEM IS TOO MUCH*)
83 WRITE(2,129) LTD,P
129 FORMAT(/,2X,'NO STATE WITH L='I2'/2 AND PARITY ',AI)
C END PARITY LOOP
I=ED/2+
IF(I.GT.1) GOTO 1
IF(IPCUT.EQ.2) GOTO 1
IBCSBK(2,1,1)=1
IBCSBK(2,2,1)=1
GOTO 121
1 IBCSBK(1,1,1,IPP)=IBCSBK(1,1,IPP)
IBCSBK(1,1,2,IPP)=IBCSBK(1,2,IPP)
N2P=IBCSBK(1,1,1,IPP)
N2Q=IBCSBK(1,1,2,IPP)
IF(IPCUT.EQ.2) GOTO 121
LIP=LAI/2+
DO 2 I=1,LIP
IBCSBK(1,1,2)=N2P
IBCSBK(1,1,2)=N2Q
2 CONTINUE
121 CONTINUE
C END ANG. MOM. LOOP
1000 CONTINUE
C
193 WRITE(2,193) ZEROEN
FORMAT(193,' BINDING ENERGY =',FB.4)
DO 62 I=1,NSTTOT
62 ENERGY(I)=ENERGY(I)-ZEROEN
DO 63 IPP=IPPI,IPFM
P=1H+
IF(IPP.NE.1) P=1H-
DO 61 LA=LAI,LAM,2
LIP=(LA+1)/2
NA=IBCSBK(LIP,1,IPP)
ED=IBCSBK(LIP+1,1,IPP)-NA
ED=MING(ED,IED)
IF(ED.LT.0) GOTO 61
ND=MA+IED-1
WRITE(97) IA ,P,(ENERGY(I),I=NA,ND)
97 FORMAT(193,' ENERGIES , L='I2'/2',AI,/6(2X,16F8.4/))
61 CONTINUE
IF(.NOT.PIT) GOTO 57
C
IX=IAI/2+1
IN=MING(IAI/2+1,21)
CALL PIC(ENERGI,I,COPF,II,IM,671,657)
57 CONTINUE
C
LTD=-1
WRITE(11) LTD,IPP,LID,MV
WRITE(11) IECSEK
WRITE(11) NPHSMU,NPHMAX,NEIG,IAI,IAM,IPPI,IPFM,
4 MPART,IPAR,IECM
WRITE(11) ZEROEN,ILMV,ALLPAR,COMMENT
WRITE(11) AH,AMUL,MUL,CHO,ANP,NS,RP,NPLOG
C
PLOT*****PLOT*****PLOT*****PLOT*****PLOT*****PLOT*****PLOT*****PLOT
400 FORMAT(1X,A4,1X,12,1X,12)
410 IF(PLOT.NE.4*PLOT) GOTO 441
420 FORMAT(1HL)
441 FORMAT(1X,140)
450 FORMAT(1X,A4,1X,12,1X,12)
460 IF(PLOT.NE.4*PLOT) GOTO 441
470 FORMAT(2,452)
480 FORMAT(1HL)
490 IVM=IAM+7
IBSW=NSTTOT*8*IPM
IBSQ=IBSW*IPM
IBSIG=IBSQ*IPM
IBSLIG=IBSIG*IPM
IBSD=IBSLIG*30
IBSF=IBSD*40
IBSP=IBSF*18
IBSPW=IBSP*36
IBSWW=IBSPW*10
LEN=LENMIN+IBSWW+10
IF(LEN.GT.LENMAX) GOTO 86
CALL KRPFLX(LEN,IRD)
CALL PLOTE(LPMEV,LMAX,IPMEV,XYZ(1),XYZ(NSTTOT),XYZ(IBSW),XYZ(IBSQ)
4 ,XYZ(IBSIG),XYZ(IBSLIG),XYZ(IBSD),XYZ(IBSP),XYZ(IBSF)
4 ,XYZ(IBSPW),XYZ(IBSWW),NSTTOT)
86 CONTINUE
STOP 'NORMAL TERMINATION OF ODBA'
86 WRITE(2,286) LEN
286 FORMAT(* REQUIRED LENGTH FOR PLOT OF 'I10' IS TOO MUCH FOR THIS'
4 ' MACHINE')
END
*DECK EARLY
FUNCTION PART(SPEP)
COMMON//PPAR/ MPART,IPPAR(5,3),ILMV,
4 BFO,CHI,BFE,BFM,BFT,VSG(5),BNM(5),BEN(5),
C----- POSITION 1 ,2 ,3 ,4 ,5 ,6-10 ,11-15 ,16-20 ,
4 BFO(15),BFTA(15),BFS(5),PDD0(5),PSD(15),PDS(15),
C----- POSITION 21-35 ,36-50 ,51-55 ,56-60 ,61-75 ,76-90 ,
4 PDD(4,15),REPAD(15),BRUJ(5),BRUJ(5),BRJ
C----- POSITION 91-150 ,151-165
COMMON//DISTR//SPZ(5),DEL
PART=0.
DO 1 I=1,MPART
PEN(I)=SQRT(SPEP(I)-EPER)**2+DEL**2
VSQ(I)=(I-(SPEP(I)-EPER)/BEN(I))/2.
1 PART=PART+VSQ(I)*(IPPAR(I,1)+1.)
RETURN
END
*DECK GENST
SUBROUTINE GENST(NOM,IEDMAX,LID,IPP,IRN,ISTP,IST,NZ)
C
C INPUT :
C     NOM=MAX. NO. OF PHONONS
C     IED = 2*J
C     IPP=1 POS PAR. , -2 NEG. PAR.
C     IEDMAX=DIMENSION OF V AND EIGV IN MAIN FROG. , A CHECK IS
C     DONE ON THIS
C
C OUTPUT :
C     IST(1,N)=ND
C     IST(2,K)=NB
C
C     IST(3,N)=NC
C     IST(4,N)=LD
C     IST(5,N)=PART
C     IECSEK(1+1,1,1)=FIRST POSITION IN IECST WITH L AND POS. PAR.
C     IECSEK(1+1,1,2)= SAME BUT IN EIG WITH POS. PAR.
C     IECSEK(1+1,2,1)= SAME BUT IN EIG WITH NEG. PAR.
C     IECSEK(1+1,2,2)= SAME FOR NEG. PAR.
C
C     DIMENSION IAK(50),ISTP(3,600),IST(5,IEDMAX)
C     MAX 588 CORE STATES POSSIBLE WITH ONLY 14 PHONONS
COMMON//PPAR/ MPART,IPPAR(5,3),ILMV,
4 BFO,CHI,BFE,BFM,BFT,VSG(5),BNM(5),BEN(5),
C----- POSITION 1 ,2 ,3 ,4 ,5 ,6-10 ,11-15 ,16-20 ,
4 BFO(15),BFTA(15),BFS(5),PDD0(5),PSD(15),PDS(15),
C----- POSITION 21-35 ,36-50 ,51-55 ,56-60 ,61-75 ,76-90 ,
4 PDD(4,15),REPAD(15),BRUJ(5),BRJ
C----- POSITION 91-150 ,151-165
COMMON//CNTR//NPHSMU,NPHMAX,NEIG,IAI,IAM,IPPI,IPFM
COMMON//BCSR//IECSBK(50,2,2)
DATA IECSEK/200/1/
C
C CONSTRUCT CORE STATES
NZ=1
NZL=1
IAK(1)=1
NDP=NDM+1
LPM=2*NDM+1
DO 1 I=1,LPM
NDP=NDP-1
NC3P=(NDP-NDP-2)*NC
NC3P=(NDP-NDP-2)*NC/2+1/3
LIP=NC3P*IAK(1) NC3I=0
LIP=NC3I*IAK(1) NC3I=0
GOTO 3
NC3P=NC3P+1
NC3P=NC3P+1
DO 4 NC3P=NC3P,NCFF
NC3P=NC3P-1
LAMBD=ND-2*NDP-3*NC
LIP=LIP+(2*LAMBD-1) GOTO 4
ISTP(1,NZ)=ND
ISTP(2,NZ)=NB
ISTP(3,NZ)=NC
NZ=NZ+1
4 CONTINUE
3 CONTINUE
2 CONTINUE
NZL=NZ
IAK(LP+1)=NZ
1 CONTINUE
C
N2P=N2
LPM=LPM+1
DO 20 I=LPM,50
20 IAK(I)=N2P
C
N2=0
TOTAL=LID/2.
LIP=IPIX(TOTAL)+1
DO 203 MPART=1,MPART
IF(IPP.NE.IPPAR(MPART,2)) GOTO 203
J=IPPAR(MPART,1)/2

```

```

C-----      N=PART-5
LPI=LABS(LTP-J-1)+1
LPP=LTP-J+1
DO 204 LPP=LPI,LPP
LPP=LPP-1
C      LOOP OVER POSSIBLE PHONON L VALUES
N1=LNP(LNP)
N2=LNK(LNP+1)-1
N3=N2-N1+1
IP((N3-N2),GTR.IEDMAX) GOTO 225
DO 208 N=N1,N2
N2=N2+1
IST(1,N)=ISTP(1,N)
IST(2,N)=ISTP(2,N)
IST(3,N)=ISTP(3,N)
IST(4,N)=LPP
IST(5,N)=NPART
208 CONTINUE
204 CONTINUE
203 CONTINUE
N=N-MIN( N2 , NKEIG )
GOTO 206

C      ERROR MESSAGES
C
C      DIM. OF -(IEDMAX, IEDMAX) IS EXCEEDED
225 CONTINUE
WRITE(2,901) IEDMAX, IED+N2, LTD
901 FORMAT(10X,'// ERROR IN GRNSY // MAXIMAL DIMENSION OF L, 'I6
          ', EXCEEDED !'16' FOR 2=!'I3)
N2=0
206 CONTINUE
N2=N-ICCSBK(LTP, 1, ITP)+N2
N30=ICCSBK(LTP+1, ITP)+N2+NZ
ICCSBK(LTP+1, 1, ITP)-N2
ICCSBK(LTP+1, 2, ITP)-N3Q
IF(IPP.EQ.2) RETURN
LIP=IA/I+1
DO 301 LD=LTP
ICCSBK(1,1,2)-N2P
ICCSBK(1,2,2)-N3Q
301 CONTINUE
RETURN
END

*DECK PVALVR
SUBROUTINE PVALVR(LTD, IEDP1, V, ICON, IST)
DIMENSION IST(5, IEDP1), ICON(IEDP1), V(IEDP1, IEDP1)
DIMENSION ISTA(5), ISTB(5)
COMMON/STAB/NDA, NBB, NCA, LDA, NPA, NDB, NCB, LDB, NPB, RJ, K
EQUVALENCE (NDA, ISTA(1)), (NBB, ISTB(1))
RJ=LTD/2.
IED=IEDP1-1
DO 9 N=1, IED
LD=IST(4, N)
NP=IST(5, N)
9  ICON(NA)=10*LD+NP
DO 5 I=1, 5
S  ISTB(I)=IST(I, NB)
ICB=ICON(NB)
NB=NFB*(NFB-1)/2
DO 1 N=1, NB
EQ 6 I=1, 5
6  ISTA(I)=IST(I, NA)
R=0.
K=K+NP
NDD=NDA-NDA
INTERESTING VALUES ARE -1.0,+1.+2
1 IF(NDD+1) 1, 90, 3
3 IF(NDD) 90, 100, 4
4 IF(NDD-2) 110, 120, 1

C      H=H+PEAM0
90 CALL PEAM0(E)
GOTO 2

C      HAM02P ALWAYS CALLED WITH NEE .GE. NPA -> NO PHASE
      LIKE (-1)**(JB-JA)
100 V(NA, NB)=HAM02P(NA, EQ, NB)
GOTO 1

C      H=H-EM1
110 IF(ICB.EQ.ICON(NA)) CALL HAM1(S)
C      H=H-PEAM1
      CALL PEAM1(B)
GOTO 2

C      120 IF(ICB.EQ.ICON(NA)) CALL HAM2(V(NA, NB))
      GOTO 1
C      H=H-EM2
C      IN SIMD. STORAGE MOVE
C      W(I,J)=W(I*(I-1)+2+J) , J.LE.I
2  V(NA, NB)=H
      CONTINUE
      RETURN
END

*DECK PEAM1
SUBROUTINE PEAM1(H)
      NDB .GT. NDA BY ONE UNIT
COMMON/STAB/NDA, NBB, NCA, LDA, NPA, NDB, NCB, LDB, NPB, RJ, K
COMMON/CONTR/NPENSU, NEDMAX, NKEIG
COMMON/TEAR/ NPART, LPPAR(5,3), ILRV,
      BPG, CRI, RPF, BPT, BPT, VSQ(5), BPPM(5), BEN(5),
      POSITION 1, 2, 3, 4, 5, 6-10, 11-15, 16-20,
      BPG(15), BETA(15), BSS(5), PDDO(15), PSD(15), JDS(15),
      POSITION 21-35, 36-50, 51-55, 56-60, 61-75, 76-90,
      PDD(4,15), BETAD(15), BPUJ(5), BPU
      POSITION 91-120, 121-165
LDBA=LDB-LDB+J
IN(LDAB,GT,5,OR,LDAB,LT,1) GOTO 9
RPA=IPPAR(NPA, 1)/2.
RPP=IPPAR(NPB, 1)/2.
IF(LDAB.GT.(RPA-RPB).GT.2) GOTO 9
NDB=NDB-NDA
NCD=NCB-NCA
RDA=LDA
RDB=LDB
C      -PSD * < A / [(S*D)(A+B)] / B >
      H= H + PSD(K) * RACABER(RPA, RJ, 2., RDB, RDA, RPB) *
      RED(NDA, NBB, NCA, LDA, LDB, NDB, NCD) *
      SQRT(PLOAT(NEDMAX-NDA)) *
      (-1)**(LDA-LDB)
      RETURN

C      ENTRY PRANG(H)
      NDB .LT. NDA , DIFFERENCE = 1
LDBA=LDB-LDB+3
IF(LDAB.GT.5,OR,LDAB,LT,1) GOTO 9
RPA=IPPAR(NPA, 1)/2.
RPP=IPPAR(NPB, 1)/2.
IF(LDAB.GT.(RPA-RPB).GT.2) GOTO 9
NDB=NDA-NBB
NCD=NCA-NCB
RDA=LDA
RDB=LDB
C      -PSD * < A / [(D+S)(A+B)] / B >
      H= H + PSD(K) * RACABER(RPA, RJ, 2., RDB, RDA, RPB) *
      RED(NDA, NBB, NCA, LDA, LDB, NDB, NCD) *
      SQRT(PLOAT(NEDMAX-NDA)) *
      (-1)**(LDA-LDB)
      RETURN

      9  RETURN
      END
*DECK HAM02P
FUNCTION HAM02P(DIAG)
LOGICAL DIAG
COMMON/DAMO/PBN(15, 8), GAM
COMMON/STAB/NDA, NBB, NCA, LDA, NPA, NDB, NCB, LDB, NPB, RJ, K
COMMON/CONTR/NPENSU, NEDMAX, NKEIG
COMMON/TEAR/ NPART, LPPAR(5,3), ILRV,
      BPG, CRI, RPF, BPT, BPT, VSQ(5), BPPM(5), BEN(5),
      POSITION 1, 2, 3, 4, 5, 6-10, 11-15, 16-20,
      BPG(15), BETA(15), BSS(5), PDDO(15), PSD(15), JDS(15),
      POSITION 21-35, 36-50, 51-55, 56-60, 61-75, 76-90,
      PDD(4,15), BETAD(15), BPUJ(5), BPU
      POSITION 91-120, 121-165
      HAM02P=0.
      RPA=IPPAR(NPA, 1)/2.
      RPB=IPPAR(NPB, 1)/2.
      RDA=LDA
      RDB=LDB
      LCI=NAX0(LAAS (IPIX(RPA-RPB)), 1, LAAS (LDA-LDB))
      LCB=MINSQ(IPIX(RPA+RPB), 4, (LDA+LDB))
      IP(LC1.GT.LCF) GOTO 8
      DO 1 LC=LC1, LCF
      RLC=LC
      HAM02P=HAM02P+PDD(LC, K ) * RACABER(RPA, RJ, RLC, RDB, RDA, RPB)*
      DPD(NDA, NBB, NCA, LDA, NDB, NCB, LDB, LC)
1  CONTINUE
8  CONTINUE
      IF(.NOT.DIAG) GOTO 9
      HAM02P=HAM02P+LAAS (LDA+1)*GAM+PBN(NDA+1, NBB+1)*BEN(NPA)+*
      ((NEDMAX-NDA)*PS3(NPA)+NDA*PDD(NPA))/SQRT(PLOAT(LPPAR(NPA, 1)+1))
      9  RETURN
*DECK HAMILT
SUBROUTINE HAMILT(LTD, IED, MV, NSTOT, ZERGEN
      , ENERGY, STATE, ROOT, V, SIGV
      , LIG, W, Q, WW, RM
      , AN, BE)
      INTEGER ED, STATE, COMMENT, P
      LOGICAL PRINTV
      DIMENSION PROB(5)
      DIMENSION ENERGY(NSTOT), STATE(5, IED), ROOT(IED), V(IED, IED),
      , AN(IED), BE(IED)
      COMMON/ECBSK/ECBSK(50, 2, 2)
      COMMON/TEXT/PRINTV, P, COMMENT(10), IPR
      COMMON/TEAR/MPART
C
      MV=MV-1
      ED=IED-1
      DO 125 I=1, IED
      DO 126 J=1, IED
      125 V(I, J)=0.
      126 V(I, J)=1.

C      CALL PVALVR(LTD, IED, V, LIG, STATE)
C      OUTPUT , LARGE PRINT OUT
C
      N=MOD(IPR, 10000)
      B=N/100
      IF(N,LE,0) GOTO 12
      WRITE(2,26)
      26 FORMAT(10Z NR =IND, NB, NC, LD, NP, LP, : 1)
      WRITE(2,201)(I, STATE(J, I), J=1, 5), LTD, P, I=1, ED)
201  FORMAT(4(1M, I2, : 1, 4(12', ), 1L, :, 1L, AI, : 1))
      N=MOD(IPR, 10000)
      B=N/100
      IF(N,LE,0) GOTO 12
      WRITE(2, 330)
      330 FORMAT(//, 15E INITIAL MATRIX, /)

      DO 91 I=1, ED
      WRITE(2, 94) I, (V(J, I), J=1, I)
91  CONTINUE
12  CONTINUE
C
      DO 2 I=1, ED
      DO 1 J=1, ED
      1  V(J, I)=V(I, J)
      2  V(I, J)=V(I, J)+99.

C      NITER=1 ! for improved precision for later DODO run
      CALL EIGSYM(ED, IED, -MV, V, ROOT, EIGV, AN, BE, W, Q, WW, RM, LIG, NITER)
C
      DO 3 I=1, ED
      3  ROOT(I)=ROOT(I)-99.

C
C      MV DETERMINES THE NUMBER OF SIGV. TO BE COMPUTED
C      LAST INDEX IN SIGV ENUMERATES THE EIGENVECTORS
C
      IF(ROOT(1).LT.ZERGEN) ZERGEN=ROOT(1)
C
      OUTPUT
C
      WRITE(2, 92) LTD, P, (ROOT(I), I=1, ED)
92  FORMAT(//, E EIGENVALUES , L=12'/2', A1, /8(2X, 16F8.4))
      N=MOD(IPR, 100)
      N=N/10
      IF(N,LE,0) GO TO 133
      DO 131 I=1, MPART
      131 PROB(I)=0.
      DO 132 J=1, ED
      K=STATE(5, J)
      132 PROB(K)=PROB(K)+EIGV(J, N)*EIGV(J, N)*100.
      WRITE(2, 202)(N, PROB(I), I=1, MPART)
202  FORMAT(' PROB.DISTR.OF VECTOR 'I2' = '5F8.4)
      130 CONTINUE
C
      133 CONTINUE
      N=MOD(IPR, 1000)
      N=N/100
      IF(N,LE,0) GOTO 126
      WRITE(2, 93)
      93 FORMAT(10Z I, (SIGV(I, J), J=1, MV)
      94  FORMAT(1X, <I2>, 16F7.4, 5(/, 5X, 16F7.4))
      95  CONTINUE
126  CONTINUE
      RETURN
END

```